METODOLOGIA PARA LA ESTIMACION DE LOS PARAMETROS DE UN MODELO DE SIMULACION DE ESCORRENTIA DIARIA EN PEQUEÑAS CUENCAS

por Anne Marie Ketlynn Adrien

Tesis para Optar al Grado de Magister Scientiae en Planificación de Recursos Hidráulicos

CENTRO INTERAMERICANO DE DESARROLLO INTEGRAL DE AGUAS Y TIERRAS UNIVERSIDAD DE LOS ANDES Mérída - Venezuela 1986

Bdigital.ula.ve

A la memoria de Papá Kiki cuya vida, entregada a la formación académica de jóvenes haitianos, fue un ejemplo de dedicación y un verdadero sacerdocio.

AGRADECIMIENTO

Por haberme brindado apoyo para la realización de mis estudios de Postgrado y ami trabajo de tesis, quiero agradecer:

En primer lugar, a la Organización de los Estados Americanos, Institución que me concedió la beca para cursar este Postgrado.

Al Asesor principal de la tesis, Dr. Rafael Rojas, por aceptar mi $c\underline{o}$ laboración en su trabajo de investigación.

A mis asesores, Profesor Roberto Duque y Dr. Roger Amisial, en especial a este último por su ayuda desinteresada y los acertados consejos a lo largo del postgrado y en la realización de la tesis.

A todo el personal docente, administrativo y de apoyo del Centro Interamericano de Desarrollo Integral de Aguas y Tierras (CIDIAT), que de una u otra forma, ha colaborado con el desarrollo del presente trabajo.

A la "Faculté des Sciences de l'Universite d'Etat d'Haiti" por apoyar mi solicitud de beca y al "Ministère de l'Agriculture de la République d' Haiti" por concederme el tiempo necesario para realizar los estudios de maestría.

A mis padres que siempre supieron estar presentes en la ausencia.

A Emerly, mi amiga, por apoyar mi afán de superación y la Señora Ana Peñaloza de Torres por su dedicación en el trabajo de mecanografía de la tesis.

., I N D I C E

	•	Paģ.
AGRAD	DECIMIENTO	v
LISTA	A DE TABLAS	xiii
LISTA	DE FIGURAS	xv
LISTA	DE VARIABLES	xvii
RESUM	IEN	xxv
Cap	ītulo	
١.	INTRODUCCION	1
	Generalidades	1 2 2
	Revisión de literatura	2 3 3 4
	Importancia	4 4
11.	REVISION DE BILBIOGRAFIA	7
	Modelos de simulación hidrológica	8
		8 9 10 11
	Modelos de calibración automática	11
		12 13
	Trabajos de regionalización	13
111.		15 1 c

INDICE (Continuación)

		Pág
	Procesos hidrológicos	16
	Procesos de almacenamiento	16
	Sistema hidrológico regional	21
IV.	CONCEPTOS HIDROLOGICOS DEL MODELO	25
	Procesos relevantes del sistema físico modelado	25
	Precipitación	25 26 26 26
	Infiltración potencial	26 26 27 27 27
	Flujo subsuperficial saturado	27 27
	Percolación	27 28 28 28
٧.	EL MODELO CONCEPTUAL	29
	Consecuencia de la escala de tiempo	29 29 30
VI.	SIGNIFICADO DE LOS PARAMETROS EN LA FORMULACION MATEMATICA DE LOS PROCESOS	33
	Precipitación	33 34 35 37 38 40 40

INDICE (Continuación)

•		Pág.
VII.	POSIBLES USOS DEL MODELO DE SIMULACION	43 44
	Estimación del almacenamiento inicial de humedad del suelo . Estimación del almacenamiento inicial del agua subterránea . Estimación de RM, WP y S1 en base a factores fisiográficos .	44 45 46
	Delimitación de la cuenca	46 47 47 50 50 52
	Calibración	56
	Estimación del parámetro de flujo subterráneo aprovechable . Rango de variación de los parámetros	57 57
	Rango de variación de los parámetros F1, FL, FD, FB, FSE. Rango de variación del parámetro NX	57 58 58
	Calibración manual y calibración automatica	58
	Análisis de sensibilidad	60
vIII.	PROGRAMAS ELABORADOS	61
	Generalidades	61 62
	Componentes	62
	Subrutina CALCUL	62 63 63 64
	Entradas al Programa KEROJ	64 66 67 68
	Componentes	68
	Subrutina DATOS	68

INDICE	(Continuación))
--------	----------------	---

		ray
	Subrutina CALCUL	69
	Función CC(X)	69
	Subrutina COEFI	69
	Subrutina PLOTEO	70
	Entradas al Programa KEROJ	70
	Salidas	72
	Opciones	72
ıx.	INSTRUCCIONES PARA EL USO DE LOS PROGRAMAS	75
	Preparación de los datos de entrada	75
	Selección de los registros comunes	75
	Procesamiento de la información conseguida	75
	Estimación de la evaporación en ausencia de datos medidos	78
	Datos de entrada: su formato y unidades	80
	Elección de las diferentes opciones	88
	Prueba de sensibilidad	89
	Sensibilidad del modelo al parámetro RM	89
	Sensibilidad del modelo al parámetro Sl	91
	Sensibilidad del modelo al parámetro FI	91
	Sensibilidad del modelo al parametro FL	91
	Sensibilidad del modelo al parametro FE	95
	Sensibilidad del modelo al parámetro NX	95
	Sensibilidad del modelo al parametro FD	98
	Sensibilidad del modelo al parámetro FB	98
	Sensibilidad del modelo al parámetro FSE	98
	·	_
Х.	REGIONALIZACION DE PARAMETROS	103
	Generación en subcuencas	103
	Generación en quencas sin datos	104
	Estimación de los parámetros	104
	Características fisiográficas a estimar	104
	. Calibración del modelo	111
	Correlación, factores fisiográficos-parámetros	111
	correlation, factores fistograficos parametros	• • •
	Verificación y validez de la estructura de regionalización .	114
X1.	RESULTADOS, CONCLUSIONES Y RECOMENDACIONES	117
	Resultados	117
	Resultados parciales	117

INDICE (Continuación)

	Pág
Resultado final	118
Conclusiones	119
Sobre los resultados	119
De la implementación del modelo	119 119 120
De la información conseguida y de las hipótesis en su proce samiento	121 121 122
Recomendaciones	122
Para asegurar la representatividad de los datos	122 123 123 123
De la secuencia de cambio de los parámetros	123 124
Para completar el estudio de regionalización	125
BIBLIOGRAFIA	127
APEND I CES	131

LISTA DE TABLAS,

labla	n	Pág
1	Resumen de los valores de las propiedades físicas del suelo, según su textura. (Sacado de Israelsen y Hansen, 1965)	48
2	Clases de permeabilidad y rango de infiltración	49
3	Clasificación hidrológica de los suelos. Referencia:(Soil Conservation Service)	51
4	Valores del número de curva para los complejos suelo-cobertu- ra. (Según el Soil Conservation Service). Rojas (1979)	53
5	Definición de la condición de humedad antecedente, CHA. (Soil Conservation Service)	53
6	Número de curva para casos de condición de humedad anteceden- te I y III. (Soil Conservation Service). (Tomado de Rojas, 1979)	54
7	Datos de entrada para la calibración manual	82
8	Instructivo de organización de tarjetas para el programa de calibración manual	83
9	Datos de entrada para la calibración automática	85
10	Instructivo de organización de tarjetas para el programa de calibración automática	86
11	Parámetros típicos de la textura del suelo. (Tomado de Rojas, 1984b)	107
12	Vegetación: Orden según su influencia sobre infiltración. (Ba sado en el estudio del CN del SCS)	108
13	Cálculo del orden promedio para las cuencas analizadas.	108
14	Valores de los factores fisiográficos de las cuencas	109
15	Interrelación esperada. Factores fisiográficos-Parámetros	110
16	Valores estimados de RM, WP, OH, OA, S1 y SCI en base a factores fisiográficos	110
17	Valores de los parámetros estimados por calibración	112
18	Resumen de los valores de factores fisiográficos y parámetros de las cuencas	113
19	Resultados del estudio de regionalización de parámetros	115

LISTA DE FIGURAS

Figura		Pág.
1	Sistema hidrológico general. (Sacado de Amisial, 1982)	17
2	Representación esquemática del ciclo hidrológico	18
3	Sistema hidrológico regional. (Sacado de Amisial, 1982)	22
4	Cuenca del río Bumbun, un sistema hidrológico regional	24
5	Conceptualización del sistema hidrológico regional en el modelo de simulación de Rojas	31
6	Gráfico para la determinación del número de curva entrando con P y Qe. (Tomado de Rojas, 1979)	55
7	Flujograma de bloques del programa elaborado para la cali - bración manual	65
8	Flujograma de bloques del programa elaborado para la cali - bración automática	71
9	Variaciones con RM de la lámina total simulada, de la máxi- ma lámina simulada y la lámina mínima simulada	90
10	Variaciones con S1 de la lámina total simulada, de la máxi- ma lámina simulada y de la lámina mínima simulada	92
11	. Variaciones con FI de la lámina total simulada, de la máxi-mà lámina simulada y de la lámina mínima simulada	93
12	Variaciones con FL de la lámina total simulada, de la máxi- ma lámina simulada y de la lámina mínima simulada	94
13	Variaciones con FE de la lámina total simulada, de la máxi- ma lámina simulada y de la lámina mínima simulada	96
14	Variaciones con NX de la lámina total simulada, de la máxi- ma lámina simulada y de la lámina mínima simulada	97
15	Variaciones con FD de la lámina total simulada, de la máxi- ma lámina simulada y de la lámina mínima simulada	99
16	Varuaciones con FB de la lámina total simulada, de la máxi- ma lámina simulada y de la lámina mínima simulada	100
17	Variaciones con FSE de la lámina total simulada, de la máxi ma lámina simulada y de la lámina mínima simulada	101

LISTA DE VARÍABLES

Variable

Definición

- AMES() Arreglo de los nombres de los meses. Tiene 12 valores.
- ANOI Año con el cual comienza el período de interés para la calibración
- ANOF Año final del período considerado.
- AVQ Caudal promedio.
- BAL Balance hídrico, Rojas lo calcula como la suma de las variaciones de los almacenamientos de humedad de suelo y agua subterránea y de los diferentes flujos que salen de dichos almacenamientos. Tiene que ser igual a las entradas al sistema, en este caso la lluvia media acumulada en el período en estudio.
- CC En la calibración automática, define el valor de la función objetivo. Sirve para pasar el valor que toma la variable SUM del subprograma FUNCION CC(X) al algorítmo de optimización.
- CC() En la versión diseñada para calibración manual, es el vector que con tiene los valores del coeficiente de calibración.
- CC1 lo. En la versión con calibración manual, es una variable auxiliar en la que se guarda el valor del coeficiente de calibración hasta que se compruebe que su valor es menor al último coeficiente conseguido, en tal caso se traspasa su valor a CC(N).
 - 20. En la calibración automática, es el coeficiente de calibración que se calcula cuando ya se paró la optimización de los parámetros es decir que sólo se calcula con el último juego de parámetros.
- D() Vector que contiene los valores iniciales del intervalo (del algori \underline{t} mo de optimización).
- DAS Variación del almacenamiento de agua subterránea, es la diferencia entre los valores inicial y final de dicho almacenamiento.
- DHS Variación del almacenamiento de humedad de suelo en todo el período considerado.
- DIAI Día en el cual empieza el período para el cual se va a simular la es correntía diaria.
- DIAF Día final del período que abarca el registro común de los datos hidrológicos.
- DIF Cuadrado de la diferencia entre el valor estimado y el observado de la escorrentía en un mismo día.

Variable Definición

- EMAX Máximo valor de la escorrentía sea estimada u observada.
- EMIN Valor mínimo de la escorrentía.
- ESCALA En la subrutina que permite el ploteo de los valores observados y es timados de la lámina escurrida, esta variable define la escala del ploteo en función del máximo valor del caudal diario.
- ET() Arreglo que contiene los valores de la evapotranspiración real.
- ETA Valor acumulado de la evapotranspiración real.
- ETP Valor diario de la evapotranspiración potencial; máxima lámina de agua que puede ser evapotranspirada desde el almacenamiento de hume dad de suelo. Ocurre siempre y cuando la humedad del suelo es superior o igual a la retención máxima.
- EVD() Arreglo de los valores correspondientes a la evapotranspiración de tina.
- FB Parámetro del flujo subterráneo, define cual es la porción del almacenamiento subterráneo que sale como flujo aprovechable.
- FBM Valor mínimo del flujo base calculado.
- FD Parámetro de percolación, fracción del almacenamiento de humedad de suelo que fluye por gravedad hacia el almacenamiento de agua subte-rránea.
- FE Parámetro del modelo, corrige la evapotranspiración potencial.
- FG Valor estimado de la función objetivo correspondiente a XG() en el al gorítmo de Hooke-Jeeves.
- FI Parámetro que controla el flujo subsuperficial no saturado. Es la fracción del almacenamiento de humedad de suelo que sale hacia el ca<u>u</u> ce.
- FL Parámetro que rige la relación entre los valores de la infiltración potencial correspondiente a días seguidos y la variación de humedad del suelo.
- FO Función objetivo estimada para el vector XO() en la calibración automática.
- FP Factor de lluvia, convierte la lluvia puntual en promedio espacial so bre la cuenca. Rojas lo considera como un semi-prámetro y entonces xviii

Variable

٠.

Definición

lo calibra, pero sin dejar que pueda tomar cualquier valor como los demás parámetros.

- FSE Parámetro del flujo subterráneo efluente, es la porción del almacenamiento subterráneo que sale del sistema en estudio.
- FX Función objetivo estimada para el vector X() en el algorítmo de optimización.
- HF Valor de la lámina infiltrada, en el modelo se denomina infiltración real. Depende de la infiltración potencial y de la condición de hume dad antecedente.
- HS() Arreglo de los valores diarios de la humedad del modelo.
- Es un límite conocido como Pérdidas Iniciales lo cual constituye una referencia a partir de la cual el agua procedente de la lluvia no se infiltra toda. La parte que queda empieza a desplazarse sobre la su perficie del suelo, originándose la escorrentía directa.
- IAB Indice de abandono cuando se hace un movimiento exploratorio alrededor de un punto. Si no mejora la función objetivo estimada en un punto conseguido por un movimiento patrón, se abandona este punto a favor del antiguo punto. Entonces se hace la exploración alrededor del antiguo punto.
- ICCD Indice de corrección del caudal directo. Es una opción del modelo.
- IM Contador de los meses del año; es igual a 1 para Enero, 2 para Febrero, etc...
- INCOP Indice de corrección de los valores de precipitación diaria y de eva poración de tina diaria.
- INSIC Indice de lectura de los valores diarios de la precipitación, evaporación y escorrentía. Sólo se leen cuando INSIC es igual a 0, es decir cuando se entra por primera vez a la subrutina SICADI, igual a IPAR(I), variable auxiliar utilizado como subíndice.
- IPAR(I) Número de orden fijo del parámetro leído como el I-avo parámetro en el archivo de entrada estructurado para la calibración automática.
- Iso Indice que decide de la reducción a la mitad del valor de D(1) según sea igual a 0 ó 1. Constituye una modificación al algorítmo original de Hooke-Jeeves en cuanto permite que se reduzca sólamente el valor correspondiente al intervalo de aquel parametro cuya variación no mejoró la función objetivo.

	LISTA DE VANTADEES (CONTENIDACIONS
Varible	Definición
IUNIT	Indica la unidad en la cual se expresan los valores del caudal medio diario.
JA	Contador de años; JA = 1 para el año en el que se incian los cálculos
MBF	Valor mínimo del flujo base observado.
MESI	Mes inicial del registro común de datos hidrológicos.
MESF	Mes final del registro común de datos.
MQA	Valor acumulado de la escorrentía medida para el período en estudio.
MQD()	Arregio de valores del caudal medio diario en el punto de flujo.
N	Número de parámetros que se van a optimizar, se da como dato en la calibración automática.
NA	Indice del año en el cual se hacen los cálculos; son los dos últimos dígitos del año considerado.
NANO	Número total de años del registro común.
NDA ()	Arreglo de los valores correspondientes al número de días del año JA.
NDM ()	Arreglo de los valores del número de días del mes IM.
NDTOT	Número total de días del registro común.
NEF	Número de evaluaciones de la función objetivo o número de veces que se entra al subprograma función que, en realidad, es el modelo de s \underline{i} mulación.
NMES	Número total de meses del registro común.
NX	Parámetro del modelo. Exponente de la ecuación de evapotranspiración real. Determina la influencia de la humedad de suelo sobre la varia ción de la evapotranspiración.
OA	Valor inicial del almacenamiento del agua subterránea. Es un paráme - tro de la versión original de calibración manual. Actualmente se esti ma en función de FS y de la escorrentía medida en el día inicial del período común.

ОН

un dato.

Valor inicial del almacenamiento de humedad del suelo. Es un paráme - tro de la versión original de calibración manual. En la actualidad es

		LISTA DE VARTABLES (Continuación)
Var	iable	Definición
PAC		Valor acumulado de la precipitación media diaria sobre la cuenca para todo el período considerado.
PAR	(IP)	Vector que define la correspondencia entre los vectores $X()$ del algorítmo de optimización y los parámetros del modelo.
PD()	Arrego de precipitación diaria medida en la estación de pluviometría
PKQ	R	Caudal pico estimado.
PM		Representa la lluvia promedio sobre toda la cuenca para un día.
PP()	Arreglo que contiene los valores de la percolación.
PPA		Valor acumulado de la percolación para todo el período considerado
PQN	()	Vector de los valores de la tolerancia sobre la reducción del intervalo para cada parámetro. Cuando todos los $D(I)$ son menores o iguales a los correspondientes valores de $PQN(I)$, es cuando se para la búsqueda.
QD())	Arreglo de los valores de la escorrentía directa diaria estimada.
QDA		Valor acumulado de la escorrentía directa para el período considerado.
QI ())	Arreglo de los valores del flujo subsuperficial no saturado.
QIA		Valor acumulado del flujo subsuperficial no sarurado para el período considerado.
QPK		Caudal pico medido.
QS())	Arreglo de los valores del flujo subterráneo aprovechables o flujo base.
QSA		Valor acumulado del flujo subterráneo aprovechable.
QSTE	()	Arreglo que contiene los valores del flujo subterráneo efluente.
QSTE	ΞA	Valor acumulado del flujo subterráneo efluente para todo el período considerado.
QX		Flujo subsuperficial saturado diario.

Es un parámetro del modelo.

RM

Retención máxima o capacidad de campo; es el valor máximo de la humedad del suelo después de haberse drenado libremente (por gravedad).

Variable	Definición
RQD()	Arreglo que contiene los valores de la escorrentía diaria simulada.
\$1	Límite superior del rango de valores que puede tomar la infiltración potencial. Ocurre cuando la humedad del suelo es igual al punto de marchitez permanente. Es un parámetro del modelo.
\$3	Límite inferior del rango de variación de la infiltración potencial. Ocurre cuando la humedad del suelo llega a la capacidad de campo. Se gún el método del SCS, su valor depende del valor de S1.
SA()	Arreglo de los valores del almacenamiento subterráneo.
SC	Infiltración potencial calculada es el valor máximo de la lámina infiltrable. Es función de la humedad antecedente del suelo y, como repone el almacenamiento de humedad de suelo, a un valor mayor de esta última corresponde una menor infiltración potencial.
SCI	Valor inicial de la infiltración potencial, corresponde a SC en el día anterior a DIAI.
SE	Error estandar
ST	Es la humedad de saturación que alcanza el suelo, bien sea por impedimento de drenaje o como consecuencia de un nivel freático alto. No existe espacio poroso en el suelo en este caso. Es un dato fijo estimado en base a la textura del suelo de la cuenca.
Т()	Vector que contiene temporalmente los valores del vector X() con los cuales se está haciendo el movimiento exploratorio y probando si se logra una mejoría de la función objetivo.
TQA	Valor acumulado de la escorrentía simulada.
VAHS	Variación diaria del almacenamiento de la humedad de suelo.
WP	Es un nivel de humedad de suelo; corresponde al punto de marchitez permanente, límite inferior de los valores de la humedad de suelo se- gún el modelo de Rojas. Es parámetro de la versión original. Actual - mente se calcula en función de la textura del suelo de la cuenca.
x()	Vector que contiene los valores del óptimo corriente.
XE	Define el valor de la evapotranspiración real, es función de la oportunidad de evapotranspiración o agua útil, lámina disponible para ser evapotranspirada.

Variable

€.

Definición

- XG() En este vector se guardan en un primer tiempo los valores de los parámetros leídos del archivo de entrada. Estos valores se pasan des pués al vector XO() y, el vector XG() sirve para guardar los valores correspondientes a un punto de donde se hace el movimiento patrón.
- XI() Vector que contiene los valores del límite inferior del rango de variación de cada parámetro, datos de entrada para la calibración automática.
- XO() Vector que contiene los valores de los parámetros que determinan un punto alrededor del cual se va a hacer el movimiento explorativo.
- XS() Vector que contiene los valores del límite superior del rango de variación de cada parámetro, es un dato para la calibración automática.

Bdigital.ula.ve

RESUMEN

La planificación de los recursos hidráulicos requiere la disponibilidad de información referente a su cantidad en determinado tiempo y lugar. Muy a menudo, los organismos responsables de recabar esta información se preocupan por instalar estaciones de medición en las cuencas de grandes extensiones o en las zonas de interés para el desarrollo nacional o regional. Las cuencas de poca extensión y las zonas rurales no suelen tener registros de datos medidos de caudal, de ahí la preocupación de los responsables de la planificación cuando se piensa integrar dichas zonas al proceso de desarrollo regional. La muy reciente iniciativa de usar las pequeñas plantas hidroeléctricas por ejemplo, hace necesario el disponer de la información de caudal diario, información indispensable para la evaluación del potencial energético del río.

Como aporte a la planificación de los recursos hidráulicos en cuencas sin estación fluviométrica, el presente trabajo propone una metodología para la estimación del caudal medio diario de un río dadas las características fisiográficas de su cuenca hidrográfica. En una primera etapa, propone una manera de llegar a expresiones empíricas, ligando los parámetros de calibración de un modelo de simulación de escorrentía diaria con los factores fisiográficos de las cuencas analizadas. En una etapa complementaria, se usan las expresiones obtenidas para estimar los parámetros del modelo para una cuenca de la cual no se tiene registro de caudal medido, lo cual permite simular la escorrentía diaria para dicha cuenca, generando así una información muy valiosa a nivel de planificación y/o prediseño de obras.

A efecto de ilustrar la metodología propuesta, se usaron 9 cuencas de la región sub-andina y de los llanos occidentales de Venezuela. Se llegó a la conclusión de que se puede hallar una correlación aceptable entre los paráme - tros del modelo y las características fisiográficas de las cuencas. Las ecuaciones obtenidas por regresión lineal múltiple se usaron, con otra cuenca, para chequear la validez de la estructura de regionalización. El resultado de la simulación con los parámetros estimados se considera aceptable por lo que

no difiere en mayor grado del hidrograma obtenido por calibración automática de los parámetros del modelo para esta misma cuenca.

Sin embargo, a pesar de que el estudio demostró que el modelo escogido puede ser usado en los casos de ausencia de datos medidos de caudal ya que sus parámetros pueden ser estimados en base a las características fisiográficas de la cuenca, hay que hacer resaltar ciertas restricciones en cuanto a su uso. En efecto, el modelo no puede utilizarse para la simulación del caudal diario en cuencas de superficie mayor de 500 km² y la regionalización no es válida para las cuencas cuyas características fisiográficas presentan valores fuera de los rangos contemplados en las cuencas analizadas. Además, se recomienda reforzar la estructura de regionalización considerando mayor número de cuencas en la correlación con el fin de cubrir toda la gama de valores que pue dan tomar los factores fisiográficos.

Bdigital.ula.ve

CAPITULO I

INTRODUCCION

Generalidades

Muy a menudo, los organismos responsables de la planificación de los recursos hidráulicos, en su esfuerzo por conciliar la satisfacción de las demandas y la utilización adecuada de las disponibilidades de agua en determina do tiempo y lugar, se enfrentan al desconocimiento de los recursos aprovechables.

Hasta hace poco, esta inquietud de los responsables de la planifica - ción no abarcaba las cuencas de poca extensión por considerarse "no rentable".

Ultimamente, la explosión demográfica, el aumento incontrolable del costo de la vida y, de alguna forma, la cocientización de las masas rurales han obligado a los planificadores a integrar dichas comunidades al proceso de desarrollo regional y nacional. Como consecuencia, se ha planteado el proble ma del uso de tales cuencas para el abastecimiento en agua para uso urbano, así como para la producción de la energía eléctrica necesaria al alumbrado de pequeños poblados y a la instalación de pequeñas industrias, logrando así, in corporar dichas regiones al proceso de desarrollo y procurar el descongestionamiento de las grandes ciudades.

Lo reciente de la iniciativa del uso de las pequeñas plantas hidroeléc tricas conlleva a la necesidad de disponer de la información indispensable para evaluar el potencial energético de un río y poder así planificar su contribución al desarrollo de la región. Esta planificación de los recursos hídricos, en estas zonas ayer abandonadas, es difícil de lograr puesto que está dificultada por la escasez y muy a menudo por la carencia de registros observados. Dicha escasez puede deberse a razones variadas como:

- Registros cortos existentes en el sitio de interés.

- Registros existentes aguas abajo del punto de interés.
- Registros observados en cuencas vecinas.

La carencia es, en todo caso, la ausencia total de registros observados. En un sin número de casos que se presentan en la planificación de los recursos hidráulicos, la información de caudales diarios es de lo más importante; sin embargo, los pocos trabajos realizados para generar información en cuenca sin datos, lo han sido generalmente para simulación de eventos, y generación de caudales mensuales. Es hasta un poco paradójico ya que la información diaria es una de las más comunes tanto para los datos climáticos como para los hidrométricos.

Siendo indispensable la estimación de las disponibilidades de agua $p\underline{a}$ ra la planificación adecuada de su uso, varios métodos han sido desarrollados y utilizados en la estimación de la escorrentía en cuencas sin registro observado. Sin embargo, hasta la fecha, no se conocen métodos que sean de aplicación generalizada para la estimación de escorrentía diaria; de ahí el interés en desarrollar una metodología adecuada.

Objetivos

En el presente estudio se propone desarrollar una metodología para estimar los parámetros de un modelo de simulación de escorrentía diaria lo que permitiría lograr el objetivo final que es un procedimiento de generación de caudales diarios lo suficientemente sencillo para ser usado en las oficinas regionales de planificación.

Metodología de trabajo

Revisión de literatura

Antes que todo se hará una recopilación de los diferentes trabajos que de una forma u otra, intentaron producir la información de caudal disponible,

necesaria en las cuencas sin registros observados. Existen dos grandes corrientes en cuanto al cómo generar esta información: los modelos de simula - ción hidrológica, paramétricos y estocásticos, y los procedimientos empíricos que tratan de relaciorar directamente el volumen escurrido con algunos datos fisiográficos de la cuenca.

Escogencia y adaptación del modelo

Una forma de llevar a cabo lo que se propone el presente trabajo es tratar de combinar los logros de las dos corrientes arriba mencionadas. Se es cogerá pues un modelo de simulación paramétrica cuyos parámetros se tratarán de estimar mediante expresiones empíricas, relacionándolos con características fisiográficas de las cuencas en estudio. Logrado esto, no habría más que correr dicho modelo con valores precalculados de los parámetros y, obtener así, la escorrentía correspondiente a la lluvia registrada y a la evaporación medida en la cuenca.

La revisión de literatura permitirá hallar el modelo que más se preste a tal metodología. Deberá ser un modelo de formulación matemática relativamente sencilla y de precisión diaria.

Prueba de sensibilidad de parámetros

El análisis de sensibilidad es un paso importante que permitirá saber qué tanto afecta la respuesta del modelo, cada uno de los parámetros de la for mulación matemática. Una vez que se conoce la influencia de las variaciones de un parámetro sobre la salida será más fácil utilizar el modelo y, por consiguiente, calibrarlo con diferentes cuencas.

Escogencia de las cuencas y su calibración

Según Rojas (1984a), el modelo da resultados confiables si es utilizado para simulación de caudales diarios en cuencas de poca extensión, aceptando por tal las cuencas cuya superficie no sobrepasa los cuatrocientos kilómetros cuadrados.

Sin embargo, para el propósito de este trabajo, podrán incluirse cier tas cuencas cuya superficie sea mayor que la mencionada pero que se sepa no tiene mayor problema en cuanto a la confiabilidad de los datos de precipitación, evaporación y caudal, mientras que se evitarán las cuencas que cumplen con el requisito de la poca extensión pero que tienen problemas en cuanto a la confiabilidad de los registros de precipitación, evaporación y caudal del período común escogido para la calibración.

Estimación de parámetros en ausencia de registro

Luego de haber calibrado el modelo con gran número de cuencas con datos, se procederá al análisis de los valores obtenidos para los parámetros y coeficientes del modelo a fin de desarrollar un procedimiento de estimación de sus parámetros y coeficientes a partir de valores de características fisiográficas de las cuencas utilizadas.

Importancia

Aunque trabajando con intervalo mínimo del orden de minutos y horas, la mayor parte de los modelos de simulación paramétrica existentes dan resultados confiables a nivel mensual y en cuanto a volúmenes de escorrentía anual, para su aplicación, se necesitan computadoras con gran capacidad de memoria y relativamente largo tiempo de computación.

El modelo a ser usado deberá ser de simulación paramétrica, de formulación matemática sencilla, tener la ventaja de poder aplicarse a casos que requieren detalle y, no necesitar muy largo tiempo de computación.

Presentación del trabajo

Para conocer las soluciones tradicionales al problema de ausencia de registro de caudales, y para estar al tanto de los adelantos en el campo de generación de datos, se revisaron modelos de simulación de escorrentía diaria

y otros tuya estructura permite su utilización en un estudio de regionalización de parámetros. En el Capítulo II, se presentan brevemente aquellos modelos revisados así como algunos trabajos realizados anteriormente con el propósito de estimar las escorrentía en cuencas sin datos observados.

En el Capítulo III, se encuentran identificados los procesos que constituyen el ciclo hidrológico. Ese capítulo define además la noción de sistema hidrológico regional ya que los modelos de simulación se aplican a zonas con límites bien definidos y no al sistema hidrológico general.

La importancia de los procesos hidrológicos está muy relacionada con el sistema a modelar pero depende aún más de las características del modelo a utilizarse en lo que se refiere a su estructura y a la escala de tiempo adoptada. El Capítulo IV presenta los procesos relevantes para el modelo de Rojas, escogido para el estudio. Allí se pone enfasis en el fundamento conceptual del modelo y se describen las formulaciones matemáticas de los procesos hidrológicos haciendo resaltar la intervención de los parámetros del modelo en dicha descripción así como la relación cualitativa que existe entre los parámetros y las características fisiográficas de la cuenca hidrográfica de un río.

Mayor detalle del modelo se encuentra en los Capítulos V y VI.

Las posibles aplicaciones del modelo de simulación y la metodología, para estimar los valores iniciales de los parámetros y definir su rango de variación se exponen en el Capítulo VII. Las adaptaciones aportadas al modelo original de Rojas (1984a) así como las instrucciones para el uso de los programas elaborados se presentan en los Capítulos VIII y IX.

La técnica de regionalización presentada en el trabajo se desarrolla en el Capítulo X mientras que en el Capítulo XI se comentan los resultados parciales y finales del estudio, sí incluyen algunas conclusiones a cerca de dichos resultados y por último, se hacen recomendaciones sobre posteriores investigaciones que permitan mejorar los resultados obtenidos.

CAPITULO II

REVISION BILBIOGRAFICA

"La Ingeniería Hidrológica incluye aquellas partes del campo que atañen al diseño y operación de proyectos de ingeniería para el control y uso del agua" (Linsley, Kohler y Paulhus, 1977).

Siempre que se propone aprovechar el recurso agua es esencial disponer de datos básicos acerca de su disponibilidad. Las características de los fenómenos naturales relacionados con los procesos hidrológicos son tan complejas que resulta muy difícil determinar, mediante un razonamiento deductivo rigoroso, el resultado hidrológico esperado. En lugar de una ley básica, es necesario partir de un conjunto de hechos observados, los cuales se analizan con el objeto de formular las normas sistemáticas que gobiernan tales hechos. Muy a menudo, se requiere una información de valores promedios de una variable hidrológica, otras veces, se necesita estimar extremos que no se observan en un registro corto de datos medidos. Así, el hidrólogo se encuentra en una difícil posición cuando no cuenta con los datos históricos adecuados a la zona de interés para un estudio.

Aprovechando la alta velocidad de las computadoras electrónicas, varios investigadores buscaron la forma de remediar el problema desarrogiando modelos matemáticos, mediante las técnicas de simulación de sistemas aplicables a los procesos hidrológicos.

La simulación de flujos produce una información similar a la obtenida en una estación de medición, por lo que se le considera como un método para obtener datos de flujo necesarios en un análisis probabilístico que permita estimar los parámetros de diseño de obras hidráulicas o, simplemente, estimar el caudal seguro de un río, por ejemplo.

En general, la mayoría de los modelos desarrollados hasta la fecha

tienen dos tipos de parámetros: unos de tipo físico, y otros cuya estimación no es posible sino por calibración del modelo. Esto hace necesario disponer de datos observados de la variable de salida del modelo de simulación a utilizarse por lo que no es posible producir la información requerida en cuencas sin estaciones de medición. Sin embargo, los modelos continuos de simulación hidrológica son promisorios en lo que refiere a su utilidad en caso de falta de datos, en el sentido de que pueden constituir una herramienta para la regionalización de los parámetros.

En el marco del presente trabajo, se revisaron modelos de simulación de escorrentía diaria y otros cuya estructura permite su utilización en un estudio de regionalización. En la segunda fase de la revisión bibliográfica, se consultaron los estudios realizados anteriormente con el propósito de estimar la escorrentía en cuencas sin datos observados.

Modelos de Simulación Hidrológica

Modelo USDAHL-74

Este modelo desarrollado por el servicio de Investigaciones Agricolas del Departamento de Agricultura de los Estados Unidos de América (Holtan Stiltner, Henson y López, 1975) es una versión modificada del USDA HL-70 (Holtan y López, 1971; citado por Fisher et al 1979).

Uno de los más importantes conceptos del USDA HL-74 es la zonificación de la cuenca en estudio, es decir, la partición del área total en áreas homogéneas hidrológicamente. Existe dentro de cada zona una distribución unifor me de los factores que afectan la respuesta hidrológica de la cuenca. La zonificación puede hacerse tomando en cuenta cualquier característica fisiográfica de interés en la cuenca; sin embargo, muy a menudo se considera el tipo de suelo, la topografía o el uso de la tierra.

Las zonas se numeran respetando la secuencia de transferencia del agua

de una zona elevada a una de menos altitud.

Los datos de entrada incluyen unos parámetros que describen la cuen - ca: las zonas definidas, los suelos, el tránsito y la secuencia de transfe - rencia del aqua de una zona a otra.

Aunque se requiere gran cantidad de parámetros de entrada al modelo, es relativamente fácil derivar la información en base a los datos existentes. Además de los parámetros fisiográficos de la cuenca, son necesarios los datos climatológicos incluyendo la precipitación, la temperatura del aire y la evaporación de tina.

Según su capacidad de uso, los suelos son agrupados en clases para formar las zonas de respuestas que son consideradas en el cálculo de la infiltración, evapotranspiración y flujo subterráneo. Así mismo, el modelo considera el perfil del suelo en horizontes llamados niveles.

La estimación de la evapotranspiración potencial se hace mediante la aplicación de coeficientes a los datos de evaporación de tina, siendo esta técnica una combinación de las propuestas por Jensen (1966), Pruit (1966) y Mustonen y Mc Guiness (1968).

Revisar el modelo USDA HL-74 resultó ser de gran importancia en cuanto permitió tener ideas de una posible metodología para la estimación de los datos de entrada.

Modelo SSARR

Este modelo fue desarrollado por el Cuerpo de Ingenieros de los Estados Unidos de América. La primera versión fue realizada por Rockwood, 1958, citado por ASAE (1982) y tenía como propósito específico el tránsito de cauda les. Anderson, 1967, citado por ASAE (1982) presentó la tercera versión cuya finalidad era el análisis de la regulación de embalses y el pronóstico de cauda dales para cuencas relativamente grandes.

El "Streamflow Synthesis and Reservoir Regulation" water-shed model o SSARR es un modelo completo, general y continuo. Tiene una aplicación restringida principalmente por la necesidad de disponer de datos de escorrentía para el ajuste de los parámetros y la verificación del modelo.

Una de las mayores limitaciones del SSARR es que su aplicación a un nuevo sistema hidrológico está comprometida por la carencia de información y/o métodos que relacionen los parámetros con caractersiticas medibles de la cuenca.

Modelo STANFORD IV

Las investigaciones que condujeron al desarrollo por Crawford y Lins-ley (1966) del STANFORD IV se iniciaron en 1959. El objeto era entonces desa rrollar un modelo general de análisis para regimenes hidrológicos. El modelo tiene un total de 34 parámetros de los cuales 15 son del modelo para escorren tía de precipitación. Cuatro de estos últimos no pueden ser medidos, tienen que ser evaluados por calibración, son: la tasa promedio de infiltración, la función de flujo subsuperficial, la capacidad nominal de la zona superior y el índice de almacenamiento de la zona superior.

El STANFORD IV simula el escurrimiento en las vertientes y el flujo subsuperficial, considerando los llamados almacenamientos de zona alta, de zona baja y de agua subterránea, pero, no simula de manera explícita la humedad del suelo disponible para ser utilizada por la vegetación.

Es prácticamente imposible adaptar el modelo STANFORD IV para los fines de este trabajo ya que la cantidad de parámetros y el muy poco sentido $f\underline{i}$ sico de algunos de ellos hace difícil su correlación con los factores fisio - gráficos de la cuenca.

Modelo de simulación HSPF

Representa una extensión de la serie Stanford. La Hydrocomp (1969) reporta que es un modelo matemático que fue diseñado para usarse en computa - doras digitales para simulación hidrológica y procesos de calidad de agua en sistemas naturales y/o intervenidos por el hombre.

El modelo HSPF es una extensión y perfeccionamiento de modelos previamente desarrollados: The Agriculture Runoff Model o ARM (Crawford and Donigian, 1973), The Nonpoint Pollutant loading model o NPS (Donigian and Crawford, 1976), The Hidrologic Simulation Program o HSP, citados por Hydrocomp (1977).

Es probablemente el modelo más complejo y más flexible de todos los disponibles actualmente, tanto para simulación hidrológica como para calidad de agua de una cuenca. Además de las opciones de simulación de cantidad y calidad de agua, se puede aplicar en sedimentación y erosión.

Siendo el submodelo de simulación de escorrentía de precipitación el mismo del Stanford IV, se presentan problemas idénticos a los expuesto en con sideraciones anteriores.

Modelos de Calibración Automática

Los modelos con calibración automática constituyen un paso hacia las técnicas de regionalización: trabajan con un método de optimización que sistematiza la elección del mejor juego de parámetros. En efecto, la determinación sistemática de los parámetros facilita sin duda alguna, la obtención de la correlación entre los parámetros del modelo y cualquier característica fisiográfica de la cuenca. A continuación, un interesante ejemplo del uso de los métodos de optimización en la calibracón automática.

Modelo de Haan (1972)

Se desarrolló en torno a la idea que las características de retención y de transmisión de agua del suelo y de la capa inferior, así como la lluvia que infiltra, son los factores más importantes que gobiernan el volumen escurrido en cuencas pequeñas.

La capacidad de retención es dividida en un volumen Mr, el cual se encuentra disponible para la evapotranspiración, y un volumen Ml menos disponible para evapotranspirar. La máxima capacidad de Mr es 1 pulgada de agua; la máxima capacidad de M1 es C, un parámetro del modelo.

El modelo considera que la lluvia se divide en infiltración y escurr<u>i</u> miento superficial. La tasa de infiltración f varía según la relación entre Mr, M1 y C.

El modelo tiene cuatro parámetros que deben ser estimados fmax, Smax, C y F. El mejor juego de parámetros es aquel que minimiza la suma de los cuadrados de las desviaciones entre los volúmenes mensuales escurridos, observados y simulados.

Se supone una distribución horaria de la lluvia diaria y, se hacen los cálculos internos en base a dicha distribución. Sin embargo, la salida final da el flujo mensual escurrido, habiendo considerado Haan más aceptable la precisión de la simulación a nivel mensual.

El modelo de Haan es muy interesante en cuanto contempla una metodolo gía para la estimación de los parámetros que utiliza. Además, el programa de computación consta de un algorítmo de calibración automática.

Por la relativa sencillez del modelo y su reducido número de paráme - tros, se requiere muy poco tiempo de computación para su calibración. Sin embargo, esta misma simplicidad es considerada por Payen (1983) como una causa directa de las limitaciones del modelo en cuanto a su utilización para simular

caudales diarios, por ejemplo. Otra consecuencia es que algunos procesos que no toma en cuenta de forma explícita, se incorporan en uno u otro parámetro, alterando así el sentido físico de éste. Entonces, el modelo, "a pesar de su aspecto conceptual, llega a funcionar más bien como una caja negra". Payen (1983).

Modelo desarrollado por Douglas James

Una publicación de la ASAE (1982) hace referencia a Liou, E. Y. (1970) el cual cita un trabajo de Douglas L. James (1972) proponiendo una metodología para estimación de los parámetros del Stanford IV. Es una versión del Stanford IV que cuenta con un algorítmo de calibración automática. Permite hallar para cada parámetro el valor que optimiza el ajuste entre el hidrograma observado y el estimado. Esto es posible aún cuando no se tienen valores iniciales de los parámetros.

Trabajos de Regionalización

El caso de las cuencas sin datos ha retenido la atención de los encar gados de-estudios hidrológicos, de ahí los múltiples esfuerzos para desarro llar nuevas técnicas a usar en dicho caso.

Generalmente, se recurre a una estimación en base a estudios de regionalización, es decir que, mediante cuencas experimentales con datos medidos, se trata de llegar a expresiones empíricas relacionando el volumen escurrido con algunos factores fisiográficos de la cuenca.

Se pueden mencionar:

- El caso de Posewitz (1968) quien preparó, para Venezuela, unas tablas de rendimiento de cuencas.
 - Procedimientos empíricos como lo son los métodos coaxiales que tam-

bién tienen una validez regional son muy interesantes en cuanto permiten llevar un estudio de correlación de forma gráfica. En efecto, siendo la hidrología una "ciencia empírica", un gran número de problemas confrontados por el hidrólogo requieren un análisis de correlación o la aplicación de una función deducida por medio de estas técnicas. Sin embargo, frecuentemente, la correlación matemática necesita suponer una relación funcional que no siempre es fácil de especificar con anterioridad. En tal caso, es de mayor importancia para el analista estudiar los datos punto por punto y poder representar los gráficamente deduciendo después el tipo de relación que existe entre las dos variables.

Sin embargo, aún con una validez regional, sólo son aplicables cuando existen registros de datos observados, lo que hace que se reduzca el interés para el presente trabajo.

El procedimiento más generalizado y quizás más flexible y fácil de adaptar a cualquier región es el método del Soil Conservation Service de Estados Unidos (1972), el cual consiste en estimar la escorrentía provocada por una tormenta a partir de relaciones entre el suelo, la cobertura vegetal y la condición de humedad antecedente de una cuenca. La ecuación fundamental,

$$\frac{F}{S} = \frac{Q}{Pe}$$

es la relación que existe entre infiltración y escorrentía potenciales (S y Pe) y los valores reales de ambos (F y Q), relación que se considera válida a partir del momento en que empieza la escorrentía, considerándose como parte de las pérdidas o "abstracciones iniciales" (Ia), la precipitación ocurrida antes. Este método tiene una limitación en cuanto a que ha sido formulado para eventos aislados. Su desarrollo se sustenta en la estimación de la lluvia efectiva y no considera de manera explícita el flujo base. Por lo tanto se debe usar muy cuidadosamente cuando se necesita estimar recursos disponibles en forma continua.

CAPITULO III

SISTEMA HIDROLOGICO

Sistema hidrológico general

Una forma de representar el sistema hidrológico general es el cilo h \underline{i} drológico. El estudio de dicho ciclo es muy conveniente para la identifica - ción de los procesos hidrológicos.

Sistema físico general

El ciclo hidrológico se inicia con el paso del agua de los océanos a la atmósferca en forma de vapor, el cual es transportado por las masas móvi-les de aire.

Condiciones adecuadas de la humedad atmosférica provocan la condensación del vapor de agua que forma las nubes, dando lugar a la precipitación.

El agua que cae, llega a la tierra en donde se distribuye de diversas maneras. Una parte es interceptada por obstáculos como árboles y edificios. Otra parte, más importante, llega al suelo en donde una porción es retenida temporalmente en depresiones, y, eventualmente puede llegar a evaporarse, regresando a la atmósfera; otra porción se infiltra. La lámina almacenada en la superficie puede escurrir hasta alcanzar los canales de las corrientes.

El agua infiltrada puede viajar en la zona superior del suelo dando lu gar al flujo hipodérmico o subsuperficial hacia el cauce de un río o hacia un punto donde reaparecerá en la superficie en forma de manantial. Parte del agua de infiltración se queda en la zona radicular y repone eventualmente el déficit de humedad del suelo; se puede evaporar o ser absorbida por la vegetación que después la transpirará. Otra parte penetra más profundamente en el suelo hacia el depósito del agua subterránea del cual puede moverse por acción de la gravedad y, con el tiempo, salir e incorporarse a la escorrentía superficial y

llegar a un lago o al océano. El agua subterránea puede regresar cerca de la superficie por efecto de la capilaridad y ser evaporada.

Tanto la escorrentía superficial como el agua subterránea se mueven cada vez más hacia las zonas bajas y, eventualmente, se incorporan a un océano lo que completa el ciclo hidrológico.

Procesos hidrológicos

Visualizar el sistema físico hidrológico es más fácil, y por consiguiente ana lizarlo, conceptualizándolo como constituido fundamentalmente por dos tipos de procesos: uno de almacenamiento y otro de circulación o transferencia de agua entre los almacenamientos. Los diferentes ambientes de almacenamiento del agua se consideran como ambientes hidrológicos, y el traspaso del agua de un ambiente a otro está asegurado por los procesos de transferencia o flujos.

La Figura 1 muestra una representación conceptual del sistema hidrológico general en donde aparecen los procesos hidrológicos de almacenamiento y transferencia de mayor interés para la hidrología. La Figura 2 es una representación esquemática del ciclo hidrológico.

Procesos de almacenamiento

Almacenamiento en la atmósfera. Es el agua que se encuentra en la atmósfera en forma de vapor o de gotas de agua. Este almacenamiento es alimenta do por la evaporación y la sublimación de la nieve y, descarga su exceso de agua mediante la precipitación.

Almacenamiento de intercepción. El almacenamiento de intercepción está constituido por el agua, que una vez caída la lluvia, queda atrapada por el follaje o depositada en la superficie de las obras construidas por el hombre como lo son los edificios, los monumentos, etc.

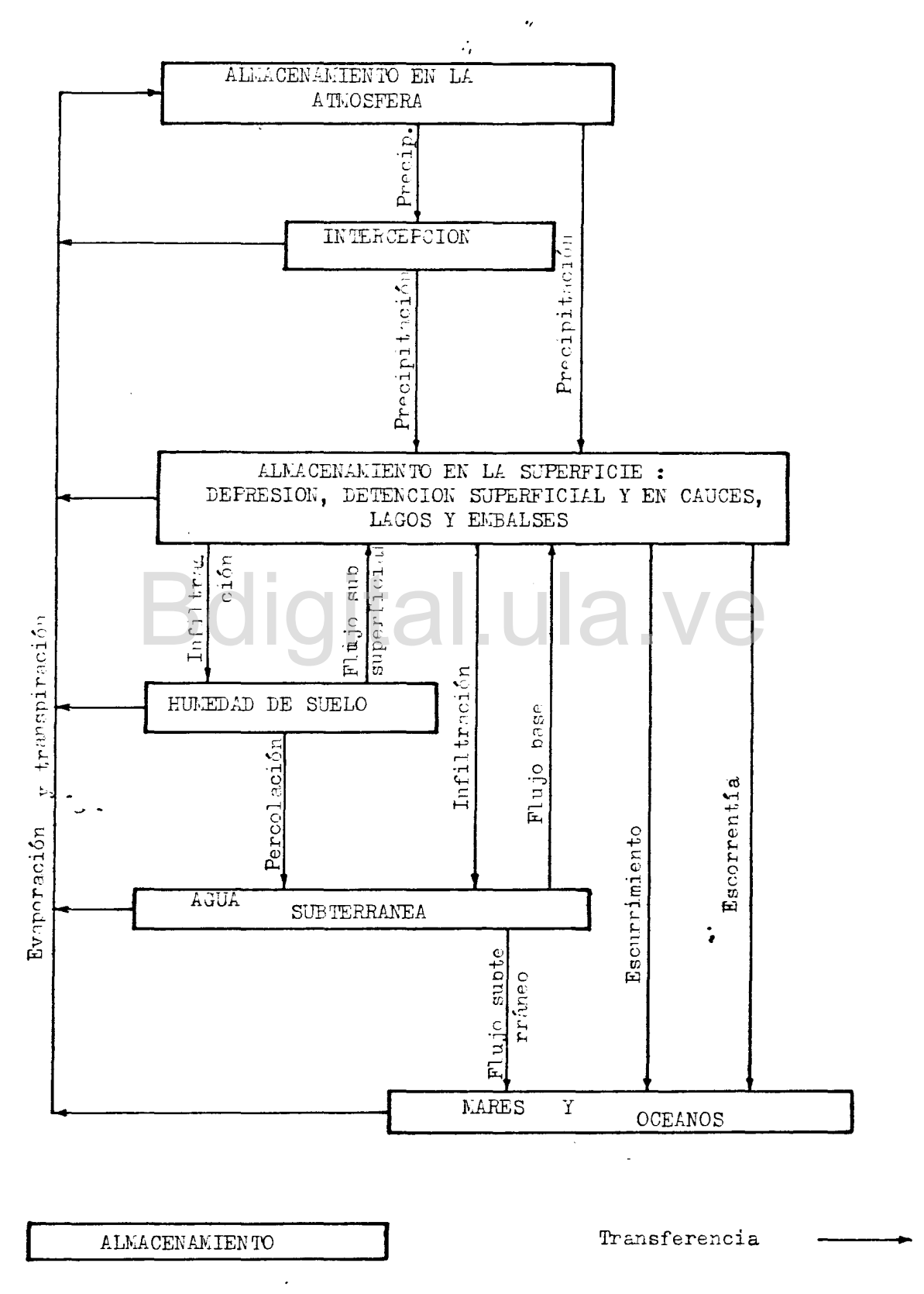


Figura 1 Sistema hidrológico general. (Sacado de Amisial, 1982).

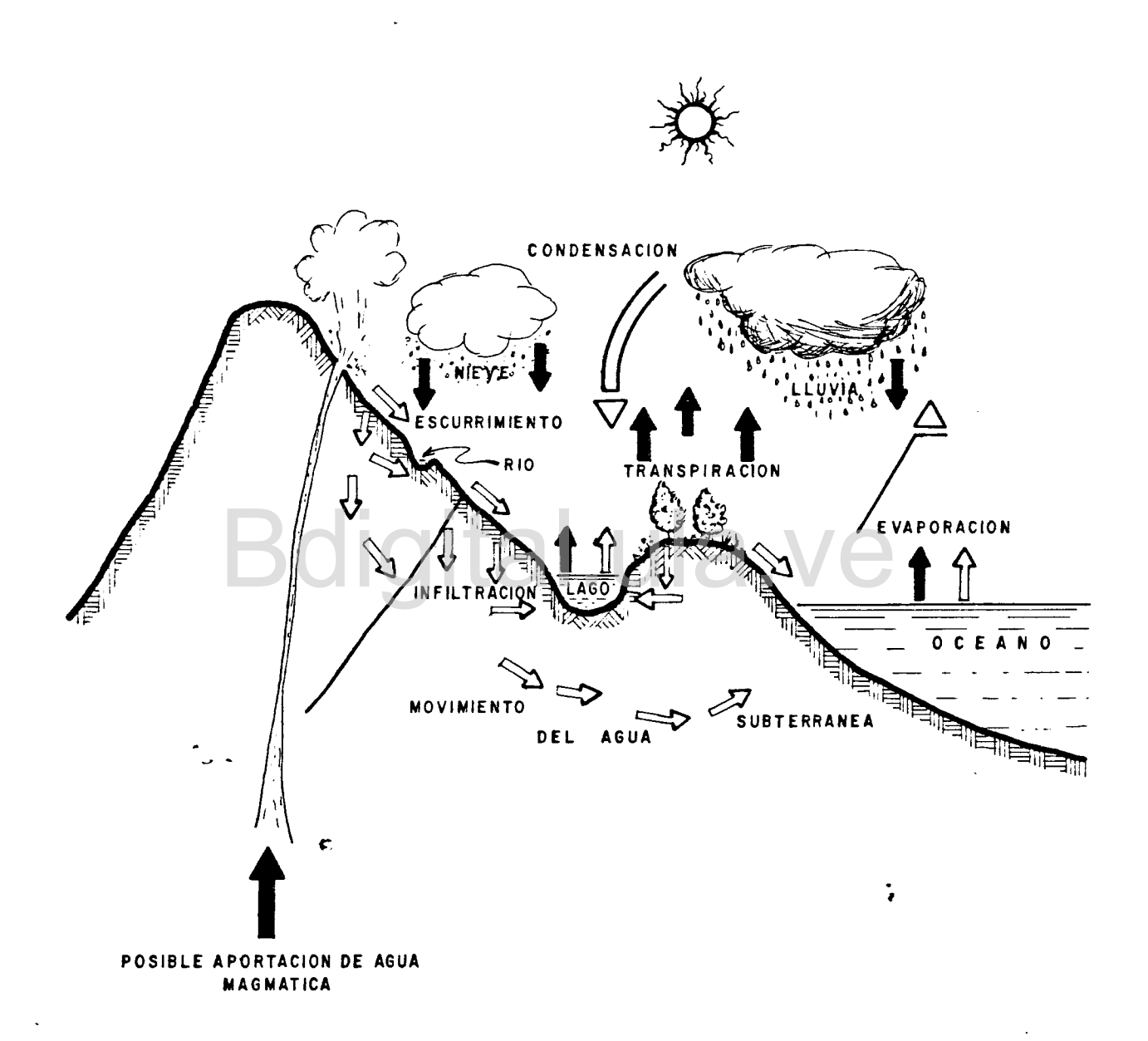


Figure 2 - REPRESENTACION ESQUEMATICA DEL CICLO HIDROLOGICO

Este almacenamiento cede su agua a la atmósfera por evaporación o a la superficie del suelo porque el agua, deslizándose, llega hasta allí,

Almacenamiento en depresión. El agua de lluvia que queda depositada temporalmente en pequeñas depresiones de la superficie del suelo forma el almacenamiento en depresión, el cual se agota por infiltración y evaporación.

Almacenamiento de detención superficial. Es el agua que procede de la lluvia; queda depositada y se acumula en la superficie del suelo. Tiende a escurrir hacia las partes más bajas, y en este recorrido está sujeta a disminuir, pudiendo pasar a la atmósfera por evaporación o al almacenamiento de humedad del suelo por infiltración. En la literatura, se hace referencia a este almacenamiento también como al almacenamiento de detención en vertientes.

Almacenamiento en cauces. Es el agua que, proveniente de la precipitación, el escurrimiento, el flujo subsuperficial y el flujo base, forma la escorrentía desplazándose, dentro del cauce, hacia las zonas más bajas. Está sujeta a la infiltración y a la evaporación.

Aún cuando están en movimiento, la detención superficial y la detención en cauce se consideran como almacenamiento para intervalos pequeños de tiempo.

Lagos y embalses. Pueden ser naturales o artificiales; pero, en todo caso son verdaderos almacenamientos a los cuales llega el agua proveniente de la precipitación, del escurrimiento, de la escorrentía, de los flujos subsuper ficial y base. Están sujetos a disminuir su almacenamiento por infiltra - ción, evaporación y escorrentía.

Almacenamiento de humedad del suelo. El agua almacenada bajo la superficie del suelo no saturado está calificada en la literatura bajo esta denominación. El almacenamiento de humedad del suelo se repone básicamente mediante la infiltración y disminuye por evapotranspiración, flujo subsuperfi cial y percolación.

Almacenamiento del agua subterránea. Este almacenamiento se encuentra en un suelo saturado y está delimitado por un estrato impermeable o semipermeable; se repone mediante la percolación desde el almacenamiento de humedad de suelo y, disminuye por efecto de la evapotranspiración, cediendo también agua del volumen almacenado mediante los flujos base y subterráneo. El límite vertical superior que marca la frontera entre éste almacenamiento y el de humedad del suelo, lo define el nivel freático.

<u>Mares y océanos</u>. Almacenamientos naturales que se reponen práctica - mente mediante todos los demás procesos del ciclo hidrológico, disminuyen más que todo por la evaporación.

Procesos de transferencia

<u>Precipitación</u>. Por efecto del vapor condensado, el agua pasa de la atmósfera a la superficie de la tierra. Esta transferencia de agua lleva el nombre de precipitación.

<u>Infiltración</u>. Parte del agua de almacenamiento superficial pasa a su mar el almacenamiento de humedad del suelo y, probablemente llega al almacenamiento subterráneo por efecto de la gravedad. El proceso que determina tal transferencia es la infiltración.

<u>Percolación</u>. Es el movimiento del agua desde el almacenamiento de humedad del suelo hacia el almacenamiento del agua subterránea por efecto de la gravedad.

Escurrimiento. Es el paso del agua de la detención superficial a otros almacenamientos como son: cauces, depresiones, lagos, embalses, mares y océanos, desplazándose siempre a la superficie del suelo.

Escorrentía. Es el movimiento del agua dentro de los cauces de los ríos y arroyos. Este flujo eventualmente alimenta a lagos, embalses, otros ríos, mares y océanos.

Flujo subsuperficial. Es el movimiento del agua desde el almacena - miento de humedad de suelo hacia la ladera o el cauce por efecto del gradiente hidráulico, eventualmente propicia manantiales.

Flujo base. Es el flujo del agua que sale del almacenamiento del a-gua subterránea pudiendo aparecer en la ladera o en el cauce, dando lugar a manantiales.

<u>Flujo subterráneo</u>. Es el movimiento del agua desde el almacenamiento subterráneo que, al no aparecer en la ladera ni en el cauce, alimenta a los mares y océanos.

<u>Evaporación</u>. El agua pasa de todos los almacenamientos de la superficie de la tierra a la atmósfera por intermedio de la evaporación.

Transpiración. Las plantas ceden agua a la atmósfera; el proceso mediante el cual se realiza este cambio es la transpiración.

<u>Sistema Hidrológico Regional</u>

El ciclo hidrológico o sistema hidrológico general se aplica a toda la tierra. Cuando el interés está en una zona con límites bien definidos, sean fisiográficos, políticos o simplemente delimitando una cuenca hidrográfica, se habla de un sistema hidrológico regional. En este caso, sus límites pueden ser impermeables, parte aguas por ejemplo, o permeables. A través de estos últimos, pasan flujos de agua, bien sea hacia el sistema o saliendo de él. El sistema con sus entradas o ganancias y salidas o pérdidas, está regido por el principio de conservación de masa; es decir, que el sistema y sus salidas dan cuenta de todas las entradas.

La Figura 3 es una representación conceptual de un sistema hidrológico regional. Las diferencias fundamentales con la representación del sistema hidrológico general, las constituyen las entradas y salidas al sistema a tra-

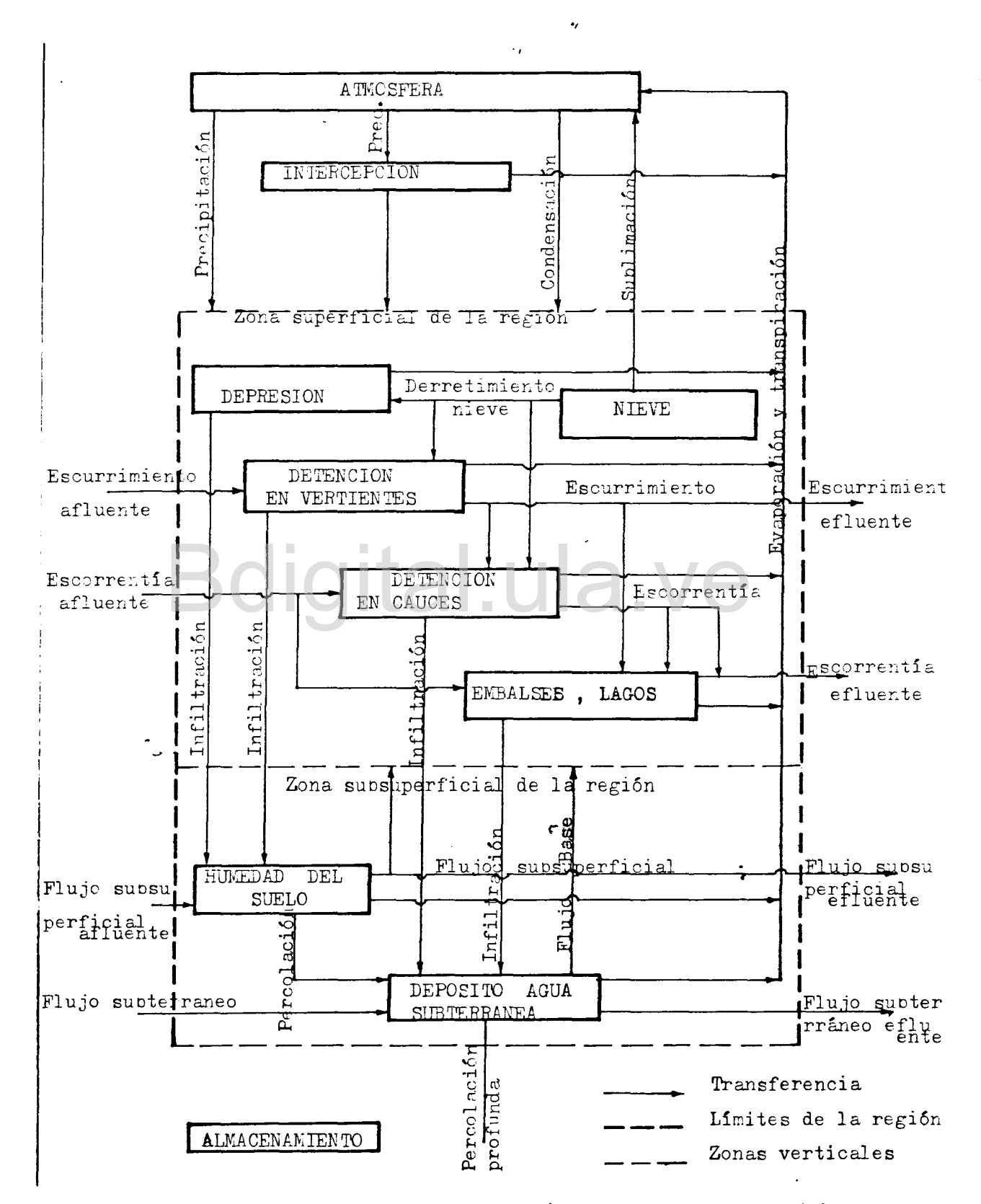


Figura 3 Sistema hidrológico regional. (Sacado de Amisial, 1982)

vés de los límites del sistema físico y la desaparición de ciertos ambientes hidrológicos, como los mares y océanos, en la representación del sistema físico-regional.

La Figura 4 también es un ejemplo de un sistema hidrológico regional; es la cuenca alta del río Bumbún, en el Estado Barinas, Venezuela. Los límites están constituidos por los parteaguas y por una línea artificial respectando la separación en subcuencas. En caso de considerarse la cuenca media, parte aguas abajo del límite artificial mencionado, se hablaría de la escorrentía afluente como de un aporte a la cuenca.

Bdigital.ula.ve

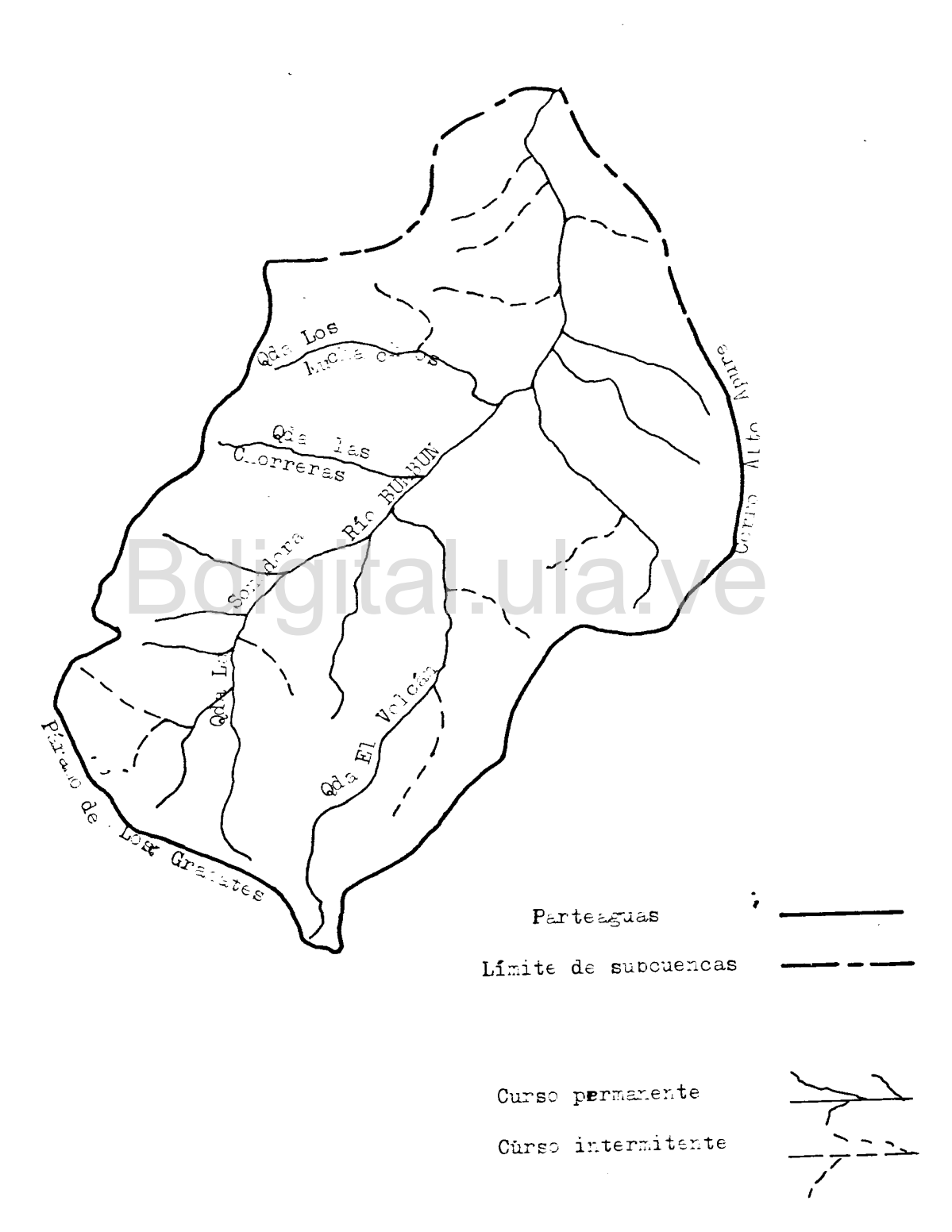


Figura 4 Cuenca del río Bumbun, un sistema hidrológico regional

CAPITULO IV

CONCEPTOS HIDROLOGICOS DEL MODELO

Procesos relevantes del Sistema Físico Modelado

La importancia de los procesos hidrológicos está muy relacionada con el sistema regional a modelar pero dependerá aún más de las características del modelo utilizado en lo que se refiere a su estructura y a la escala de tiempo adoptada.

En la mayoría de los casos, no se simulan almacenamientos como la atmósfera y el mar. Los modelos más conocidos no simulan lagos, pantanos ni em balses; esto se refleja en su estructura, en la cual no aparecen tales almace namientos. En cuanto a la escala de tiempo, es decir, el intervalo de tiempo escogido como unidad de operación, los modelos simulan o no un proceso hidrológico, según se pueda considerar que en este intervalo de tiempo las varia ciones de dicho proceso son o no de mayor importancia.

El modelo de Rojas (1984a) simula los procesos que a continuación se definen:

<u>Precipitación</u>

El modelo considera que la precipitación a tomar en cuenta es la lluvia media sobre la cuenca en estudio. Se estima a partir de observaciones en
estaciones de la cuenca o pertenecientes a cuencas vecinas. Existen varios mé
todos para convertir la lluvia puntual en espacial sobre el área en estudio. Los más utilizados son:

- El promedio aritmético.
- El método de los polígonos de Thiessen.
- El método de las curvas isoyetas y

- El método de la red de puntos.

Pérdidas iniciales

Bajo esa denominación, el modelo toma en cuenta toda el agua que pasa formar parte de la humedad del suelo, mediante la infiltración, antes de haberse iniciado la escorrentía directa. Se estiman empíricamente como los dos décimos de la infiltración potencial, utilizando el método del Soil Conservation Service de Estados Unidos de América. Se consideran como un indicador, un nivel de referencia del almacenamiento de humedad del suelo a partir del cual empieza la escorrentía directa.

Escorrentía directa

Es toda el agua que pasa directamente a formar parte de la escorrentía superficial como producto de la lluvia caída; también se estima según el método del U.S. Soil Conservation Service (1972).

Infiltración

Infiltración potencial

De acuerdo al método del U.S. Soil Conservation Service (1972) la infiltración potencial es la capacidad máxima de infiltración.; Depende del tipo y densidad de vegetación y de las condiciones antecedentes de humedad del suelo de la cuenca.

Infiltración real

La infiltración real es toda aquella parte del agua que pasa al alma cenamiento de la humedad del suelo durante un evento de precipitación y está formada por las pérdidas iniciales y el agua que se infiltra desde la superficie, después del inicio de la escorrentía directa.

Evapotranspiración

Es el paso del agua hacia la atmósfera, bien sea por evaporación, des de los almacenamientos superficiales, o por transpiración a través de los vegetales. El modelo las considera como un sólo proceso: la evapotranspira - ción.

Almacenamiento de humedad del suelo

Es el agua almacenada en la zona superior del suelo. Este almacena - miento se repone mediante la infiltración y está sujeto a disminuir por eva-potranspiración, flujo subsuperficial y percolación. El modelo considera tres niveles de almacenamiento: saturación, capacidad de campo y punto de marchitez.

Flujo subsuperficial Olda Ua Ve

Flujo subsuperficial saturado

Es el movimiento del exceso de humedad del suelo respecto a la humedad de saturación. El agua se mueve por el gradiente topográfico y depende de las características de transmisión de agua del suelo. Este flujo puede llegar al cauce de un río o propiciar eventualmente manantiales.

Flujo subsuperficial no saturado

Es el movimiento de una parte del exceso de la humedad de suelo respecto a la retención máxima hacia la ladera o el cauce de un río. Al igual que el flujo saturado, puede propiciar manantiales.

Percolación

Es el movimiento de una parte del volumen excedente de la humedad del suelo respecto a la retención máxima hacia el almacenamiento del agua subterr<u>á</u>

nea por efecto de la gravedad.

Almacenamiento del agua subterránea

Es el agua contenida en la zona inferior del suelo, proviene básica - mente de la percolación desde el almacenamiento de humedad del suelo y de la infiltración desde la superficie, estando sujeto a disminuirse por flujo subterráneo aprovechable y flujo subterráneo efluente. El modelo sólo considera la recarga de percolación.

Flujo subterráneo

El agua que eventualmente sale del almacenamiento de agua subterránea puede llegar al cauce de un río y pasar a formar parte de la escorrentía to tal antes del punto de flujo considerado, más abajo de dicho punto, o simplemente no reaparecer dentro de los límites de la cuenca. En el caso de que este flujo pueda ser aprovechado dentro de la cuenca, se habla del flujo subterráneo aprovechable; en el caso contrario, del flujo subterráneo efluente.

Escorrentia total simulada

Es toda el agua que llega al punto de flujo considerado. El modelo no considera un eventual aporte subterráneo procedente & cuencas vecinas. Enton ces, la escorrentía total es la suma de los siguientes flujos, contribuyentes: escorrentía directa, flujo subsuperficial, saturado y no saturado, y flujo subterráneo aprovechable.



CAPITULO' V

EL MODELO CONCEPTUAL

Consecuencia de la Escala de Tiempo

Al adoptar el día como escala de tiempo en el desarrollo de su modelo, Rojas (1984a) asume que no van a ser relevantes las variaciones, dentro del día, de las variables que de una forma u otra están asociadas con los procesos hidrológicos. Por ejemplo, el fenómeno de la intercepción de la lluvia por la cobertura vegetal no es de mucho interés y será descartado ya que este almacenamiento de intercepción es de carácter transitorio: el agua retenida por las hojas al principio de un día tiene amplio tiempo para evaporarse o deslizarse y llegar a la superficie del suelo antes de finalizarse el día. - Por otra parte, no se pueden utilizar las ecuaciones de infiltración tradicio nales ya que éstas funcionan sólo para tiempos cortos.

Desarrollo del Modelo

El modelo de Rojas (1984a) considera el sistema regional como un conjunto de ambientes dentro de los cuales ocurren los procesos hidrológicos У entre los cuales existen interacciones. Los ambientes considerados son, el almacenamiento de humedad de l suelo y el almacenamiento del agua subterránea. No simula el almacenamiento de la atmósfera ni reproduce el movimiento del aqua a la superficie del suelo (escurrimiento), ni el movimiento dentro cauce. Sin embargo, no niega la ocurrencia de dichos procesos o mejor dicho, reconoce de manera implícita su existencia. Por ejemplo, se sabe que la precipitación procede de otro almacenamiento pero, el modelo no lo considera por que el límite vertical adoptado para el sistema regional está ubicado más bajo que el mencionado almacenamiento. El agua que pasa directamente de la su perficie, a sumar la escorrentía es considerada como la escorrentía directa, sin discreminar entre escurrimiento y flujo subsuperficial rápido, asumiéndose que en el intervalo de tiempo considerado, habrán llegado al cauce.

El modelo conceptual considera que el ambiente suelo consiste de dos tanques simulando el almacenamiento de la humedad de suelo y el del agua subterránea. Las interacciones de los tanques entre sí, y con otros ambientes, están constituidas por los diferentes flujos.

La simulación empieza al llegar el agua a la superficie del suelo. -El modelo considera el ambiente suelo constituido por distintos niveles. agua en el suelo puede almacenarse o fluir, los procesos de almacenamiento se simulan como si estuvieran ocurriéndose en una serie de tanques intercomunica dos con varias salidas y los flujos que surgen de dichas salidas contribuyen a la escorrentía total. Un primer tanque simula el almacenamiento de humedad del suelo; las características de retención de humedad de los suelos definen los diferentes niveles que son: el punto de marchitez permanente, la capacidad de campo o retención máxima y la humedad de saturación. La lámina de agua en el tanque representa la humedad del suelo y procede de la superficie mediante la infiltración. El agua desde este tanque, puede regresar a la atmósfera mediante la evapotranspiración, fluir hacia el agua subterránea o salir hacia los cauces como flujo subsuperficial. Un segundo tanque representa el almacenamiento del agua subterránea el cual se recarga con la percolación y cuyas salidas son el flujo subterráneo aprovechable o flujo base y el flujo subterráneo efluente.

La Figura 5 es la conceptualización del sistema hidrológico regional adoptado por Rojas (1984a) en el desarrollo de su modelo. ;

Al igual que la escala de tiempo, la secuencia de ocurrencia de los procesos hidrológicos influye en la determinación de los procesos hidrológicos relevantes para la simulación. A continuación, una breve descripción de la estructura del modelo.

Estructura del Modelo

La escorrentía en el punto de flujo es, sin duda alguna, la respuesta de toda la cuenca a las entradas. Siendo el propósito el de realizar un ba-

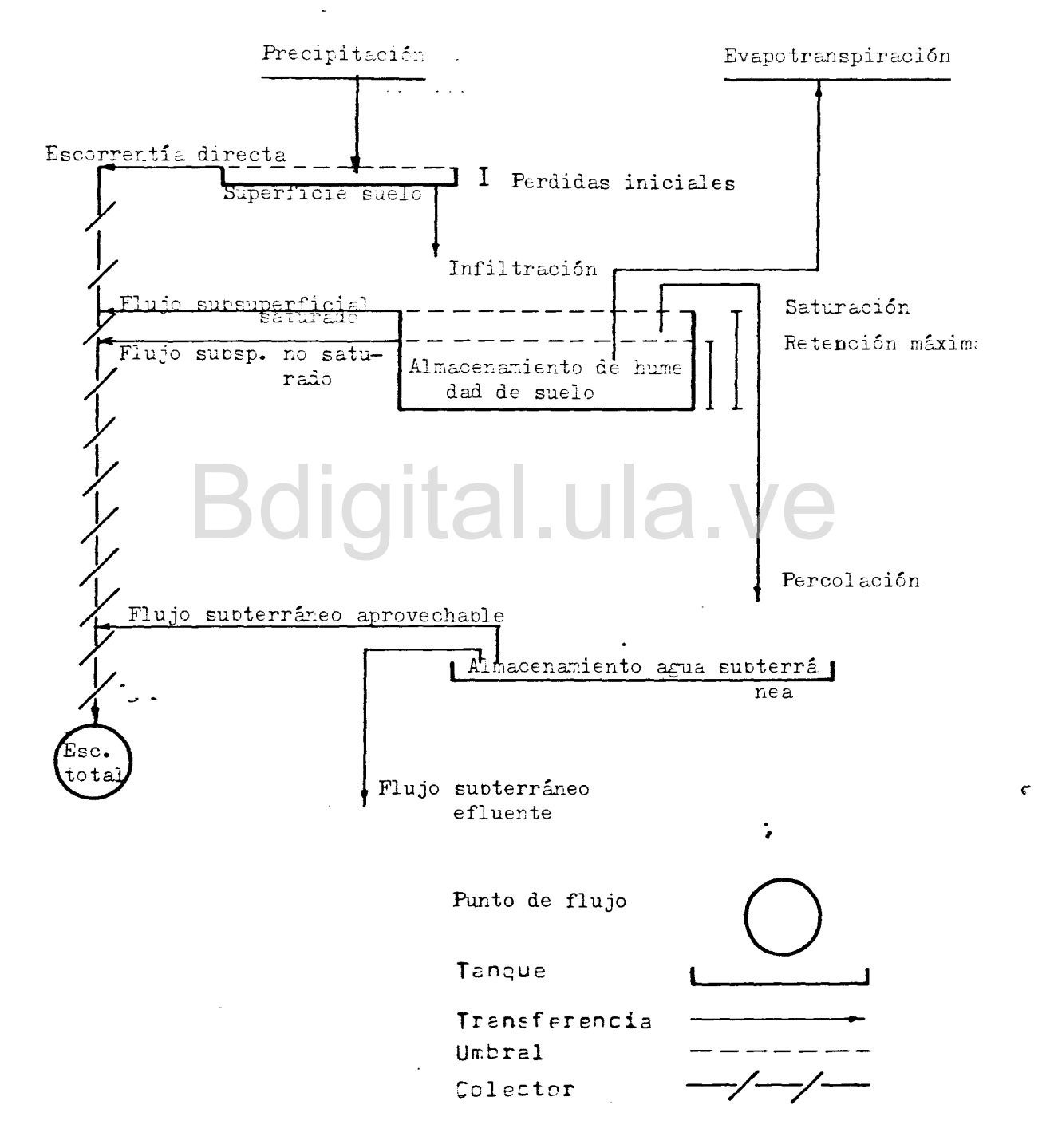


Figura 5 Conceptualización del sistema hidrológico regional en el modelo de simulación de Rojas.

lance realista del agua en la cuenca, se tiene que asegurar que también las entradas representen el promedio espacial sobre el área en estudio.

El primer paso que se simula es la conversión de la lluvia puntual en promedio espacial significativo para toda el área en estudio. Se hace llegar toda el agua caída a la superficie del suelo en donde se estiman la infiltración potencial y las pérdidas iniciales. Se considera que la capacidad de infiltración varía de un día a otro, y que es función de la variación del almacenamiento de humedad del suelo, o sea el volumen poroso disponible para ser ocupado por el agua.

Si la lluvia espacial es mayor que las pérdidas iniciales la diferencia entre sus respectivos valores se reparte entre la escorrentía directa y la infiltración real. De lo contrario, toda el agua pasa al almacenamiento de humedad del suelo por infiltración. La humedad del suelo en cualquier día es igual a la del día anterior aumentada de la diferencia entre la infiltra ción y la evapotranspiración de este mismo día. Si esta humedad resulta ser mayor que la humedad de saturación, entonces la humedad real del suelo es igual a la saturación y, el exceso sale como flujo subsuperficial saturado.

En caso de que la humedad del suelo exceda la retención máxima, la di ferencia entre sus respectivos valores descarga, parte como flujo subsuperficial no saturado y parte como percolación pasa a reponer el almacenamiento de agua subterránea.

Un porcentaje fijo de este último almacenamiento sale como flujo subterráneo aprovechable y el otro como flujo subterráneo efluente.

CAPITULO VI

SIGNIFICADO DE LOS PARAMETROS

EN LA FORMULACION MATEMATICA DE LOS PROCESOS

La selección del modelo de Rojas para este estudio se basa más que to do en la mayor facilidad que ofrecen sus parámetros a ser ligados a caracte - rísticas físicas y/o fisiográficas de la cuenca. Rojas (1984a) hace referencia a semiparámetros hablando de aquellos que tienen un sentido físico directo como la retención máxima o capacidad de campo, la capacidad máxima de in filtración, el factor corrector de la lluvia, etc.

A continuación, se trata de relacionar cada parámetro con una o más características medibles, cuantitativa o cualitativamente, de la cuenca. En la formulación matemática de los procesos hidrológicos, se irá indicando los parámetros del modelo y especificando para cada uno de ellos las características fisiográficas que tienen posible influencia sobre sus variaciones.

Precipitación

El primer paso en la simulación mediante el modelo desarrollado por Rojas es la estimación de la lluvia espacial representativa de toda la cuenca en base a los valores puntuales medidos. A tal efecto, se usa un factor de corrección de la precipitación observada cuyo valor se estimá por calibración.

Siendo PD(I) la lluvia puntual observada si se dispone de una sola es tación de medición o el promedio espacial cuando son varias estaciones con registros comunes de precipitación, la lluvia media que considera el modelo se estima mediante la siguiente relación,

$$PM = PD(1) * FP$$
 (6.1)

en donde, el factor FP depende de la ubicación de la estación de medición de pre

cipitación dentro de la cuenca, de su posición relativa respecto al punto de flujo considerado, de la distribución de la lluvia dentro de la cuenca, del método de estimación de la lluvia espacial, del área de la cuenca y del relieve.

Evapotranspiración

La evapotranspiración a la tasa potencial se estima a partir de la evaporación medida en tina y ocurre siempre y cuando la humedad del suelo sea mayor que la retención máxima. Se estima empíricamente como:

$$ETP = EVD(1) \div 0.80 \tag{6.2}$$

siendo EVD(I) la evaporación de tina medida en el día 1.

Sin embargo, el modelo considera que no siempre se cumple esta rela - ción y, entonces, define otro parámetro que es el factor corrector de la eva-potranspiración:

$$ETP = ETP * FE$$
 (6.3)

El factor FE depende básicamente del cultivo, su estado de crecimiento, su tipo y densidad, también es función de la profundidad y del tipo de suelo ya que definen la capacidad de retención de humedad y por consiguiente la menor o mayor facilidad de cederla. Además, también contribuye a corregir el error que se comete al utilizar valores puntuales de evaporación. Es función de la ubicación relativa de la estación de evaporación dentro del área en estudio, influye también la posición geográfica de la cuenca ya que la latitud determina la radiación solar en horas-sol/día y la temperatura media diaria que son factores meteorológicos cuyas variaciones afectan el valor de la evapotranspiración.

La evapotranspiración real, en cualquier momento, es función de la evapotranspiración potencial y de la oportunidad de evapotranspiración que se de-

fine en la literatura como la cantidad máxima de agua aprovechable en un momento. Para definir el mismo concepto, Rojas (1984a) menciona al "agua útil" que es la diferencia entre la retención máxima y el punto de marchitez permanente.

La ecuación para el cálculo de la evapotranspiración real se escribe:

$$ET(I) = ETP * FE * (XE ** NX)$$

$$(6.4)$$

siendo

XE = (HS(I-1) - WP) / (RM -WP), el cociente entre el agua disponible y el valor del agua útil para un determinado suelo.

ET(I) la evapotranspiración real

ETP la evapotranspiración potencial

NX el exponente de la ecuación de evapotranspiración

El parámetro NX tiene que ver con el tipo y la profundidad media del suelo de la cuenca y también con la vegetación. No tiene un sentido físico directo y su valor se estima por calibración.

Escorrentía directa

Rojas utiliza el procedimiento del Número de Curva "CN" del Soil Conservation Service (1972) de Estados Unidos de América para lá estimación de la escorrentía directa a partir del valor promedio de la precipitación sobre la cuenca, las pérdidas iniciales y la infiltración potencial.

$$QD(1) = (PM - 1A)^{2} / ((PM - 1A) + SC)$$
 (6.5)

En esta fórmula,

QD(I) representa la escorrentía directa

PM la precipitación media sobre la cuenca

- IA las pérdidas iniciales y
- SC la infiltración potencial

El valor de la infiltración potencial depende del complejo suelo-cobertura y de la condición de humedad antecedente. Se estima mediante la siguiente ecuación:

$$SC = SC + (VAHS * FL)$$
 (6.6)

en donde

SC es la infiltración potencial

VAHS la variación diaria del almacenamiento de humedad de suelo

FL el parametro de infiltración

El valor del parametro FL depende del suelo y, se espera una interrelación con FE, SC y NX.

El modelo asigna un rango de variación a la infiltración potencial. Los límites inferior y superior de dicho rango son parámetros de la versión
original del modelo.

Las pérdidas iniciales se estiman empíricamente a partir de la infiltración potencial; según el Soil Conservation Service (1972) valen las dos décimas partes de dicho valor. La ecuación que da su valor se escribe:

$$IA = 0.2 * SC \tag{6.7}$$

La escorrentía directa se calcula mediante la expresión matemática con sagrada por el SCS, ecuación (6.5), cuando se tienen los valores de PM, IA y SC.

Infiltración real

La fórmula utilizada en el cálculo de la escorrentía directa asume que ésta solamente ocurre cuando la lluvia es mayor que las pérdidas iniciales. En tal caso, el exceso de agua se reparte entre la infiltración real y dichas pérdidas. La infiltración real se calcula como:

$$HF = PM - QD(1) \tag{6.8}$$

siendo

HF la lámina infiltrada

PM la precipitación media sobre el área en estudio y

QD(I) la escorrentía directa

En caso de no producirse la escorrentía directa, se considera que toda la lluvia pasa a repone \dot{r} el almacenamiento de humedad del suelo por infiltración.

Aunque en la formulación matemática que simula el proceso hidrológico de la infiltración real no aparece ningún parámetro, se hace notar que su valor está ligado al de la infiltración potencial. Entonces, se puede deducir que, al igual que esta última, es función de las características del suelo de la cuenca.

Almacenamiento de humedad de suelo

El almacenamiento de humedad del suelo en cualquier día se estima como un balance hídrico mediante la siguiente ecuación:

$$HS(I) = HS(I-1) + HF - ET(I)$$
 (6.9)

siendo

HS(I-1) el almacenamiento de humedad del suelo al principio del día I

o al final del día I-1;

- HF la lámina infiltrada o aporte al almacenamiento en el día I y
- ET(I) la evapotranspiración real en el mismo día o pérdidas desde el almacenamiento.

Aunque la humedad del suelo no aparezca expresada en forma explícita como función de uno de los parámetros del modelo, la ecuación (6.9) permite deducir que los parámetros que influyen en la variación de la infiltración, así como los que afectan la evapotranspiración tienen igual importancia en las posibles fluctuaciones del almacenamiento de humedad de suelo.

Flujo subsuperficial y percolación

El agua que sale del almacenamiento de humedad del suelo, según reapa rece en las laderas o pasa a reponer el almacenamiento del agua subterránea se conoce como flujo hipodérmico o subsuperficial y percolación. El flujo subsuperficial a su vez, puede ser saturado o no. El flujo subsuperficial sa turado es todo el exceso respecto a la humedad de saturación. El flujo subsuperficial no saturado ocurre cuando la humedad de suelo sobrepasa la capacidad de campo sin superar la humedad de saturación; en este caso, el exceso respecto a la retención máxima tiene dos salidas posibles: el flujo subsuper ficial no saturado y la percolación.

El flujo subsuperficial saturado se estima como:

$$QX = HS(I) - ST \tag{6.10}$$

en esta relación

- QX es el flujo subsuperficial saturado
- HS(I) es el almacenamiento de humedad del suelo y,
 - ST el valor de la humedad de saturación que se estima de antemano y se asigna al modelo como un valor fijo ya que no se trata de un parámetro.

La expresión matemática que simula el flujo subsuperficial no saturado se escribe:

$$QI(I) = (HS(I) - RM) * FI$$
 (6.11)

y siendo

QI(I) el flujo subsuperficial no saturado

RM es la retención máxima

FI el parámetro del flujo subsuperficial no saturado

El valor del agua disponible para salir del almacenamiento de humedad de suelo como flujo hipodérmico o como percolación depende directamente del valor de la retención máxima, siendo ésta un parámetro del modelo. Sin embargo, si no se puede saber su valor, por lo menos es posible fijar el rango de variación de la capacidad de campo conociendo el tipo, la textura y la profundidad del suelo de la cuenca.

La ecuación (6.11), sólo expresa que el agua que sale del almacena - miento de humedad de suelo como flujo subsuperficial es una parte del exceso respecto a la retención máxima, pero qué tan grande es esta parte, lo dice el valor de Fl.

Aunque no es posible prefijar FI, se sabe que su valor depende de las características de tipo y textura del suelo así como de la topografía de la cuenca.

Para el cálculo de la percolación, el modelo usa una relación similar a la del flujo subsuperficial no saturado,

$$PP(1) = (HS(1) - RM) * FD$$
 (6.12)

en donde

FD es el parámetro de percolación, y

PP(I) la percolación desde el almacenamiento de humedad de suelo.

Al igual que el parámetro de flujo subsuperficial no saturado, FD es función del tipo de suelo, de la textura y de la topografía o relieve.

Almacenamiento del agua subterránea

El agua que sale del almacenamiento de humedad del suelo en forma de percolación pasa a reponer el almacenamiento del agua subterránea. Dicho almacenamiento, por otra parte, disminuye por el agua que sale como flujo subterráneo. El almacenamiento resulta ser, en cualquier día, un balance entre el valor almacenado el día anterior, el agua que llega al almacenamiento por percolación y el que sale como flujo subterráneo.

ALM. = ALM. ANTERIOR + APORTE - PERDIDAS

La ecuación para calcular el valor del almacenamiento subterráneo se escribe entonces:

$$SA(I) = SA(I-I) + PP(I) - QS(I) - QSTE(I)$$
 (6.13)

los términos de la ecuación (6.13) se definen más adelante.

Flujo subterráneo

Parte del agua del almacenamiento subterráneo sale, bien sea como flujo base o como flujo subterráneo efluente. El parámetro de flujo base define la porción aprovechable mientras que el flujo efluente, pérdidas para el sistema regional, lo define el parámetro de flujo subterráneo efluente.

El flujo base se estima mediante la siguiente relación:

$$QS(I) = SA(I) * FB$$
 (6.14)

en donde

QS(1) es el flujo base

SA(I) el almacenamiento del aqua subterránea

FB el parámetro del flujo base

El flujo subterráneo efluente se simula mediante una relación similar,

$$QSTE(1) = SA(1) * FSE$$
 (6.15)

en la que

QSTE(I) es el flujo subterráneo efluente y

FSE el parámetro del flujo efluente

Los parámetros FB y FSE son función de la textura y del tipo del suelo, de su estructura, de la estratigrafía, de la geología y de la topografía.

Escorrentía total

La escorrentía total simulada tiene como valor la suma de todos los flujos contribuyentes o sea: escorrentía directa, flujo subsuperficial satura do, flujo subsuperficial no saturado y flujo base. La expresión para su estimación se escribe:

$$TQ(I) = QD(I) + QX + QI(I) + QS(I)$$
 (6.16)

CAPITULO VII

POSIBLES USOS DEL MODELO DE SIMULACION

El programa de computación elaborado se puede utilizar de tres mane - ras distintas, todas igualmente valiosas.

En caso de contar con los valores de las variables hidrológicas que constituyen las funciones de entrada del modelo (precipitación y evaporación diarias), y con los valores medios diarios de la escorrentía para un determinado período, se pueden obtener, para una cuenca de interés, valores estimados de los parámetros al lograr que la salida del modelo se ajuste a la del sistema real. Esta técnica, conocida como la calibración, permite entre otras cosas, la generación de una información tan detallada como la suministra da para el proceso de calibración para períodos en los cuales no se tienen da tos observados. Esto significa, muy a menudo, la posibilidad de hacer un aná lisis probabilístico de frecuencia de una variable hidrológica, herramienta muy útil en la solución de problemas de ingeniería hidrológica. Sin negar el valor de los datos observados, hay que reconocer que sólo el tiempo podría producir la longitud de registros necesaria para el análisis probabilístico ya menciópado.

En la calibración propiamente dicha, una vez que se logró el ajuste de la salida del modelo a la salida del sistema real, se dispone también de una información relativa a cada uno de los procesos hidrológicos que entran en la formulación matemática del modelo.

La fase de generación deja de ser calibración y constituye otra aplicación del programa de computación elaborado. Es una técnica conocida como simulación hidrológica y no siempre es consecuencia de los resultados de la calibración.

La simulación es una técnica muy útil en el diseño hidrológico. Tiene varias aplicaciones, siendo una de ellas la predicción del efecto futuro

de posibles cambios en la cuenca sobre su respuesta a las funciones de entrada. Otras áreas de aplicación de la simulación paramétrica son la operación de sistemas hidrológicos y el manejo de cuencas.

Además de las dos técnicas mencionadas, el modelo de simulación tiene otra aplicación que es el análisis de sensibilidad a sus diferentes parámetros.

Simulación

Cuando el objeto es la simulación, el único paso previo a la utilización del programa es la estimación de los almacenamientos iniciales de hume - dad de suelo y agua subterránea así como de los valores de los factores fisio gráficos.

En caso que la simulación resulte de una calibración previa, los valores de los parámetros ya se conocen y sólo falta estimar valores de los almacenamientos iniciales. Se procede entonces a seguir los pasos que a continuación se describen:

Estimación del almacenamiento inicial de humedad del suelo

Si se comienza la calibración en un período seco, lo mejor es asignar a la humedad de suelo el valor correspondiente al punto de marchitez permanente, o sea :

$$OH = WP (7.1)$$

estimándose el punto de marchitez permanente en base a las características de textura del suelo de la cuenca.

Si se comienza en un período húmedo, el almacenamiento inicial de la humedad de suelo será igual o su valor será más o menos cercano a la capaci - dad de campo, siendo esta última, función de la textura del suelo.

El Apéndice IV-A presenta un ejemplo numérico que ayuda a la compre $\underline{\bf n}$ sión de la metodología expuesta anteriormente.

Estimación del almacenamiento inicial del agua subterránea

Siempre que se empieza en un período seco, es más fácil estimar los valores iniciales de los almacenamientos. Si la humedad de suelo inicial se hace igual al punto de marchitez y se sabe que no hay aporte por precipita - ción (período seco), se puede asumir que toda el agua que pasa por el punto de flujo proviene del agua subterránea cuyo almacenamiento inicial se calcula usando la fórmula consagrada en la literatura revisada para la estimación del coeficiente de recesión del agua subterránea, o sea:

$$Q_t = Q_0 k^t$$

Redicted 112 Ve

siendo

 $\mathbf{Q}_{_{\mathbf{O}}}$ el caudal ocurrido en el punto de flujo en un determinado día

 $\mathbf{Q}_{\mathbf{t}}$ el caudal ocurrido \mathbf{t} días después

k el coeficiente de recesión del agua subterránea

t- el número de días entre las dos mediciones

El valor de la constante k se saca directamente de la expresión arriba mencionada. .

Se tiene,

$$k = (Q_t/Q_0) ** (1/t)$$
 (7.3)

El almacenamiento de agua subterránea se estima como si fuera la única fuente de producción del flujo escurrido el primer día del período considera - do.

$$OA = MQD(1) / (-1n k)$$
 (7.4)

donde

OA es el valor inicial del almacenamiento subterráneo

MQD(1) el caudal medido en el punto de flujo el primer día y

k el coeficiente de recesión del agua subterránea.

La aplicación de esta metodología se puede apreciar mejor refiriéndose al aparte B del Apéndice IV.

Estimación de RM, WP y S1 en base a factores fisiográficos

Mediante un mapa topográfico, se determinan las características fisiográficas de la cuenca en estudio.

Delimitación de la cuenca

Consiste en determinar el lugar geométrico de los puntos más altos de la cuenca. La curva así obtenida se llama parteaguas por lo que, de una parte y otra de ella se originan dos corrientes de agua, de las cuales una alimenta al río de interés para el estudio. Es importante ubicar primero la estación de hidrometría ya que la curva que delimita la cuenca se cierra en este punto de flujo.

Una vez que se tiene este mapa base, se pueden estimar:

- La superficie del área en estudio, usando un planímetro y conociendo la escala del mapa base.
- 2. La longitud del curso principal, y si es necesario, las longitudes de los tributarios, utilizando un curvímetro.
- 3. La pendiente media del cauce, utilizando la relación entre el desnivel y la longitud de un tramo.

- 4. La pendiente media de la cuenca, utilizando la relación entre el desnivel de la cuenca y la longitud promedio de la misma.
- 5. El índice de forma de la cuenca, utilizando la relación entre la longitud del curso principal y el ancho promedio de la cuenca. También se estima como el cociente del cuadrado de la longitud del curso principal en tre la superficie de la cuenca.
- La densidad de drenaje que es la longit de cauce por unidad de superficie.

Zonificación del área según el suelo

A partir del mapa obtenido del paso anterior y en base a estudios de suelo de la región, se divide la cuenca en zonas homogéneas en cuanto al tipo de suelo. Se determina la superficie de cada una de las zonas así definidas y, se calcula el porcentaje del área total que ocupa cada tipo de suelo.

Relación suelo-nivel de humedad

Las características de los suelos revisten gran importancia en los estudios hidrológicos ya que controlan los procesos de infiltración, movimien to del agua en el suelo y retención.

En la literatura existen varios intentos de relacionar niveles de humedad y características físicos de un suelo. Los valores de la Tabla 1 son el resultado de un estudio en este sentido, de Isralsen y Hansen (1965).

Para entrar a esta tabla, habría que llegar a determinar una textura representativa para toda la cuenca. Sin embargo, muy a menudo, la información disponible, en cuanto a suelo, sugiere que es más lógico pensar en estimar un nivel de humedad para cada tipo de suelo y llegar a un valor promedio para toda la cuenca.

Resumen de los yalores de las propiedades físicas del suelo, según su textura. (Sacado de Israelsen y Hansen, 1965) Tabla 1

	Filtración v	Total,	Capacidad	Marchitez	Humedad	Humedad total utilizable ²	zable ²
Textura del suelo	permeabilidad cm/hora	espacio poroso %	específico del campo aparente A FC	permanente % PW	Peso seco Volumen % % P_FC-PW P_FCS	Volumen % P = P A S	cm/m $P = \frac{P}{100} A_{S} D$
Arenoso	(2.5-25.5)	38 (32-42)	1.65 9 (1.55-1.80) (6-12)	4 (2-6)	5 8 (4 - 10) (610)	8 (610)	8 (7 - 10)
Franco-aren.	2.5 (1.3 - 7.6)	43 (40-47)	1.50 (1.40-1.60) (10: 18)	6 4 - 8)	8 (6-10) (9-15)	12 (9 - 15)	12 (9 - 15)
Franco	1.3 (0.8 - 2.0)	47 (43-49)	1.40 22 (1.35-1.50) (18 - 26)	10 (8 - 12)	12 (10 - 14)	17 (14 - 20)	17 (14 - 19)
Franco-arc.	0.8 (0.25-1.5)	49 (47-51)	1.35 (1.30-1.40) (23-31)	13 (11 - 15)	14 (12 - 16)	19 (16 - 22)	19 (17 - 22)
Arc~arenoso	0.25 (0.03-0.3)	51 (49-53)	1.30 (1.25-1.35) (27 - 35)	15 (13 - 17)	16 (14 - 18)	21 (18 - 23)	; 23 (18 - 23)
Arcilloso	0.05 (0.01-0.1)	53 (51–55)	1.25 (1.20-1.30) (31 - 39)	17 (15 - 19)	18 (16 - 20)	23 (20 - 25)	23 (20 -25)
NOTA: Los inte	ervalos normales	son sonsig	NOTA: Los intervalos normales son sonsignados entre paréntesis.				

valor de la capacidad de campo y del punto de marchitez permanente se puede determinar a travês de la siguien El valor de l te ecuación:

Los intervalos filtración real varían mucho con la estructura del suelo y su estabilidad estructural,

La humedad fácilmente utilizable representa un 75% de la totalemnente utilizable.

incluso más aún de lo indicado en esta columna.

$$d = \frac{\Phi w}{100} \quad pa * D$$

es la lámina de agua almacenada en el suelo, en cm

contenido gravimétrico de humedad del suelo Б es

ייי ייין דיייייי טיייי ויייייין די ייי

En cualquier cuenca de drenaje, las características de la escorrentía se presentan muy influenciadas por el tipo de suelo predominante, debido a la forma en que los tipos de suelo determinan la capacidad de infiltración de la cuenca.

Cuando se tiene la textura de un suelo, se puede tener una idea de la clase de permeabilidad correspondiente.

A las texturas de grano fino o pesadas, corresponden las clases de me nor permeabilidad, mientras que a las de grano grueso o livianas, correspon - den clases de permeabilidad rápida.

La Tabla 2 sacada del Soil Survey Manual del Departamento de Agricultura de Estados Unidos de América (Soil Survey Staff, 1951) define para las diferentes clases de permeabilidad, el rango de infiltración.

Las características de permeabilidad y de infiltración son unos índices que permiten comparar el comportamiento hidrológico de las cuencas, de ahí el interés para ello en el presente estudio.

Tabla 2 Clases de permeabilidad y rango de infiltración

Clase	Clase de permeabilidad	Infiltración
1	Muy lenta	menos de 0.13 cm h
2	lenta	0.13 - 0.51
3	moderadamente lenta	0.51 - 2.03
4	moderada	2.03 - 6.35
5	moderadamente rápida	6.35 -12.70
6	rápida	más de 12.70 cm/h.

Si se estiman primero los valores de la retención máxima para cada zo na, según la textura y profundidad del suelo, el valor promedio para toda la cuenca se calcula como:

$$RM = \frac{1}{100} \sum_{i=1}^{N} P_{i} * RM_{i}$$
 (7.5)

siendo

RM: la retención máxima estimada para el suelo que ocupa la zona i

P; el porcentaje del área total que representa la superficie de la

zona i

De igual manera se puede tener un valor promedio del punto de marchitez permanente para toda el área en estudio.

El Apéndice IV-A ilustra con ejemplos numéricos la teoría expuesta en este aparte,

Zonificación en función de la cobertura vegetal

Siendo la combinación suelo-cobertura uno de los factores más importantes a considerar en el análisis hidrológico de una cuenca, se elabora también una zonificación de acuerdo a la vegetación. Para determinar las subáreas, se considera el tipo de vegetación, su estado de crecimiento y la clensidad de cobertura, es decir, el porcentaje de cobertura del terreno.

Relación suelo-cobertura, infiltración potencial

Según la textura de los suelos, se puede tener una idea cualitativa de su potencial de escorrentía e identificarlos en el grupo A, B, C o D de la Tabla 3 elaborada por elSCS.

El porcentaje del área total con una cubierta vegetal es la condición hidrológica que se define así:

Tabla 3 Clasificación hidrológica de los suelos. Referencia: (Soil Conservation Service).

Los grupos hidrológicos en que se pueden dividir los suelos son utilizados en planeamiento de cuencas para la estimación de la escorrentía a partir de la precipitación. Las propiedades de los suelos qué son considerados para estimar la tasa mínima de infiltración para suelos "desnudos" luego de un humedecimiento prolongado son: profundidad del nivel freático de invierno, infiltración y permeabilidad del suelo luego de humedecimiento prolongado y profundidad hasta un estrato de permeabilidad muy lenta. La influencia de la cobertura vegetal es tratada independientemente.

Los suelos han sido clasificados en cuatro grupos A, B, C y D de acuerdo al potencial de escorrentía.

- A. (Bajo potencial de escorrentía). Suelos que tienen alta rata de infiltración aún cuando muy húmedos. Consisten de arenas o gravas profundas bien o excesivamente drenados. Esos suelos tienen una alta rata de transmisión de agua. (Incluyen: Psamments¹ excepto por aquellas en los subgrupos Líticos, Aquicos o Aguadicos; suelos que no estén en los grupos C o D y que pernanezcan a las familias: fragmentarias, esqueleto-arenoso o arenosas; suelos grosarénicos de Udults y Udalfs; y suelos en subgrupos Arénicos de Udults y Udalfs excepto por aquellas en familias arcillosas o finas.
- B. (Moderadamente bajo potencial de escorrentía). Suelos con ratas de infiltración moderadas cuando muy húmedas. Suelos moderadamente profundos a profundos, moderadamente bien drenados a bien drenados, suelos con texturas mideradamente finas a moderadamente gruesas y permeabilidad moderadamente lenta a moderadamente rápida. Son suelos con ratas de transmisión de agua moderadas (suelos que no estén en los grupos A, C o D).
- C. (Moderadamente alto potencial de escorrentía). Suelos con infiltración lenta cuando muy húmedos. Consiste de suelos con un estrato que impide el movimiento del agua hacia abajo, suelos de textura moderadamente finas a finas; suelos con infiltración lenta debido a sales o alkali o suelos con mesas moderadas. Esos suelos pueden ser pobremente drenados o bien moderadamente bien drenados con estratos de permeabilidad lenta a muy lenta (fragipan, hardpan, sobre roca dura) a poca prófundidad (50-100 cm) (comprende suelos en subgrupos albicos o aquicos; suelos n subgrupos arénicos de aquents, aquepts, aquellas, aqualís y acuults en familias francas; suelos que no estén en el grupo D y que pertecen a las familias finas, muy finas o arcillosas exceptó aquellas con mineralogía caolinítica, oxídica o haloisítica; humods y orthods; suelos con fragipanes de horizontes petrocálcicos; suelos de familias "pco profundas" que tiénen subestratos permeables; suelos en subgrupos líticos con roca permeable o fracturada que per mita la penetraciób del agua).
- D. (Alto potencial de escorrentía). Suelos con infiltración muy lenta cuando muy múmedos. Consiste de suelos arcillosos con alto potencial de expansión; suelos con nivel freático alto permanente; suelos con "claypan" o estrato arcilloso su perficial; suelos con infiltración muy lenta debido o alkali y suelos poco profundos sobre material caso impermeable. Estos suelos tienen una rata de transmi sión de agua muy lenta (Incluye: todos los Vertisoles y Aquods; suelos en Auents, Aquepts, Aquols, Aqualfs y Aquults, excepto los subgrupos Arénicos en familias francés, suelos con horizontes máreicos, suelos en subgrupos Líticos con subestratos impermeables: y suelos en familias poco profundas que tienen un sub estrato impermeable).

Algunas traducciones del término en inglés han sido tomadas de: Fausto Maldonado P., "La Adaptación al Castellano de los nombres usados en la 7a. aproximación". ILCA, Costa Rica, 1971. (Tomado de Rojas, 1979)

- Buena: cobertura > 75%

- Regular: entre 50 y 75%

- Mala: menor del 50%

Entrando en las Tablas 4 y 5 con el grupo de suelo, el uso de la tierra, la práctica de cultivo y la condición hidrológica, se obtiene el correspondiente valor del número de curva CN para la condición de humedad antecedente II. En la Tabla 6 se lee el valor equivalente al CN para condición I, el cual permite calcular la infiltración potencial para la condición más desfavorable usando la siguiente ecuación:

$$S1_i = \frac{2540}{CN_i} - 25.4 \tag{7.6}$$

se repite el procedimiento para cada una de las zonas y se estima el valor representativo para toda la cuenca como:

$$S1 = \frac{1}{100} \sum_{i=1}^{N} P_i * S1_i$$
 (7.7)

siendo -

P_i el porcentaje del área total que representa la superficie de la zona i

S1; la infiltración potencial estimada para la zona ;

Relación precipitación-escorrentía, infiltración potencial

Rojas (1984c) describe una técnica para el cálculo de la infiltración potencial máxima utilizando la Figura 6. Consiste en la determinación de los valores de precipitación y escorrentía con los cuales se va a entrar en la mencionada figura. En todo el período de interés para el estudio se busca una época seca, al final de la cual se produce una determinada lluvia; se estima la escorrentía directa que produjo dicha precipitación sumando los excesos de escorrentía respecto al caudal mínimo que traía el río antes de producirse la lluvia y ésto hasta que regrese a dicho caudal.

Tabla 4 Valores del número de curva para los complejos suelo-cobertura. (Según el Soil Conservation Service). Rojas, 1979.

	Cobertura	•			Suelo		
Uso de la	Tratamiento.	Condición,		B	С	D	
Tierra	o práctica.	Hidrológica		Número de Curva			
Rastrojo Cultivos en hile	Hileras rectas		77	86	91	94	
ras	* n	Mala	71	81	83	91	
		Buena	67	78	85	89	
	c/curvas de nivel		70	79	43	88	
	H H	Buena	65	75 .	82	86	
	c/curvas de nivel	l	1				
•	y terrazas	Mala	66	74	60	-62	
		Buena	62	71 ·	78	81	
Cultivos en hile ras estrechas.	Hileras rectas	Mala	65	76	34	83	
		Buena	63	75	83	87	
-	Curvas de nivel	Mala	63	74	82	85	
	Curvas de nivel	Buena	61	. 73	81	84	
	y terrazas	Mala	61	72	79	82	
		Buena	59	70	78	81	
Leguminosas en1/	Hileras rectas	Mala	66	77	85	89	
hileras estrechas		Buena	58	72	81	85	
o forraje en	Curvas de nivel	Mala	64	75	83	85	
rotación	n n n Curvas de nivel	Buena	55	69	78	83	
	y terrazas Curvas de nivel	Mala	63	73	. 80	83	
	y terrazas	Buena	51	67	76	80	
Pastos de pas-		Mala	68	79	86	29	
toreo		Regular	49	59	79	84	
		Buena	39	61	74	80	
	Curvas de nivel	Mala .	47	67	81	68	
·	11 11	Regular	25	59	75	83.	
	n n n	Buena	6	35 .	70	79	
Pasto de corte		Buena	30	58	71	78	
Bosque		Mala	45	66	. 77	83	
· 1		Regular	36	60	73	79	
	j	Buena	25	55	70	77	
Patiós			59	74	82	86	
Caminos tierra	·		72	82	87	89	
Pavisentos2/			74	84	90	92	
		•		- •			
√Siembra tupida o // // // // // // // // //	al voleo.		1		•		
y Incluyendo derec	ho de vía		l .				

Tabla 5 Definición de la condición de humedad antecedente, CHA. (Soil Conservation Service).

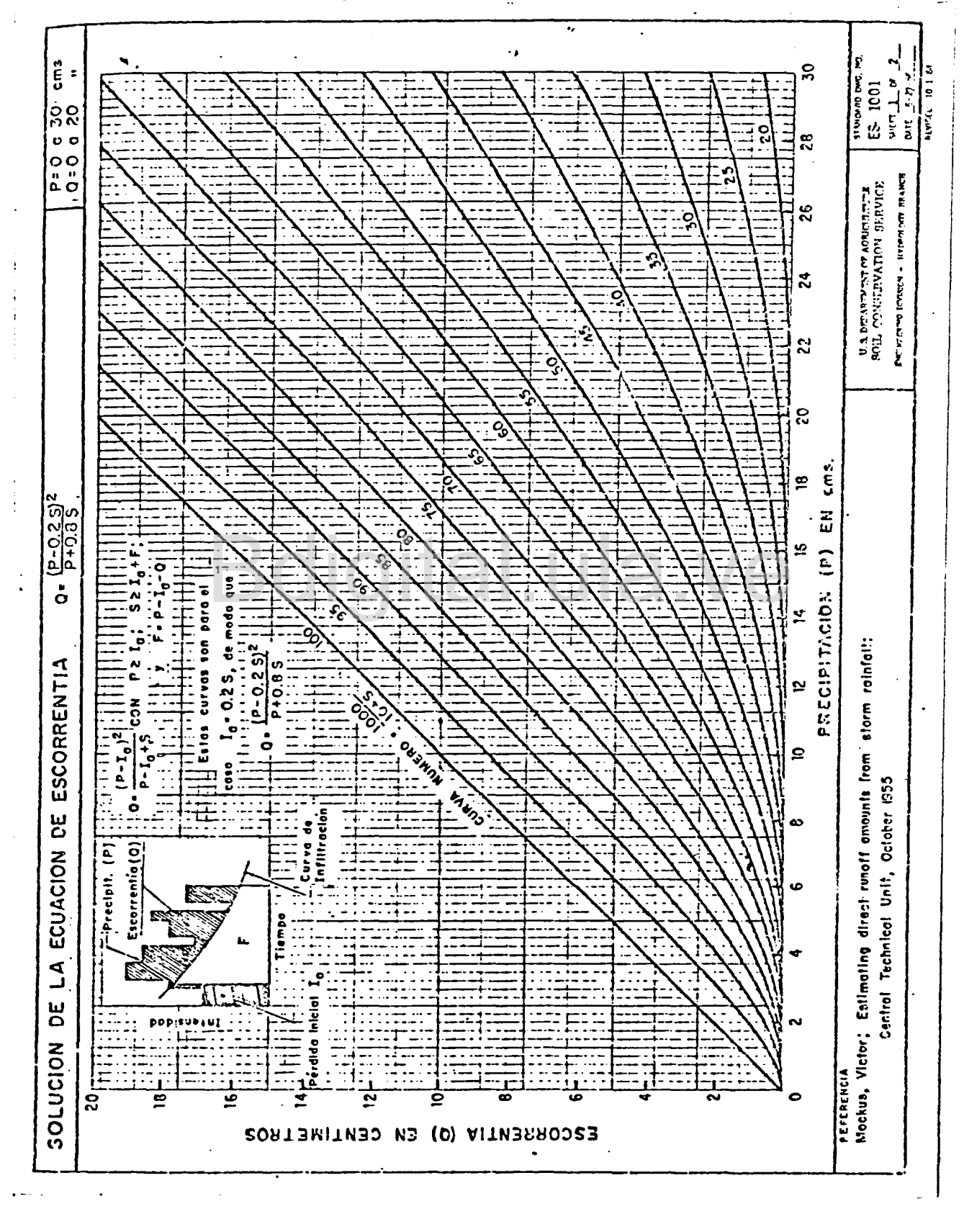
CONDICION DE HUMEDAD ANTECEDENTE (CHA)	PRECIPITACION ACUMULADA DE LOS 5 DIAS PREVIOS AL EVENTO EN CONSIDERACION (PA5)
. 1	0 - 3.60 cm
II	3.60-5.30 cm
111	más de 5.30 cm

Tabla 6 Número de curva para casos de condición de humedad antecedente I y III. (Soil Conservation Service). (Tomado de Rojas, 1979).

CN para		para ciones	Valores	La curva** comienza	CN para Condic.	CN p		Valores	La curva* comienza
	CONG			cuando		Condic			cuando
11		111	S*	P =			111	S	P =
			(pulgs)	(pulgs)				(pulgs)	(pulgs)
100	100	100	0	0	60	40	78	6.67	1.33
99	97	100	0.101	0.02	59	39	77	6.95	1.39
98	94	99	0.204	0.04	58	38	76	7.24	1.45
97	91	99	0.309	0.06	5 7	37	75	7.54	1.51
96	89	99	0.417	0.08	56	36	75	7.86	1.57
95	87	98	0.526	0.11	55	35	74	8.18	1.64
94	85	98	0.638	0.13	54	34	73	8.52	1.70
93	83	98	0.753	0.15	53	33	72	8.87	1.77
92	81	97	0.870	0.17	52	32	71	9.23	1.85
91	80	97	0.989	0.20	51	31	70	9.61	1.92
90	78 76	96	1.11	0.22	50	31	70	10.00	2.00
89	76 75	96	1.24	0.25	49 40	30	69	10.4	2.08
88	75	95	1.36	0.27	48	29	68	10.8	2.16
87	73	95	1.49	0.30	47	28	67	11.3	2.26
86	72	94	1.63	0.33	46	27	66	11.7	2.34
85 81	70	94	1.76	0.35	45	26	65	12.2	2.44
84 83	68	93	1.90	0.38 0.41	44 43	25 25	64 63	12.7	2.54 2.64
83 82	67 66	93 92	2.05 2.20	0.44	43 42	25 24	62	13.2 13.8	2.76
81	64	92 92	2.34	0.47	41	23	61	14.4	2.76
80	63	91	2.50	0.50	40	22	60	15.0	3.00
79	62	91	2.66	0.53	39	21	59	15.6	3.12
78	60 -	90	2.82	0.56	38	21	58	16.3	3.26
77 77	59	89	2.99	0.60	37	20	57	17.0	3.40
76	58	89	3.16	0.63	36	19	56	17.8	3.56
75	57	88	3.33	0.67	35	18	55	18.6	3 - 72
74 74	55	88	3.51	0.70	34	18	54	19.4	3.88
73	54	87	3.70	0.74	33	17	53;	20.3	4.06
72 72	53	86	3.89	0.78	32	16	52	21.2	4.24
71	52	86	4.08	0.82	31	16	51	22.2	4.44
70	51	85	4.28	0.86	30	15	50	23.3	4.66
69	50	84	4.49	0.90		_			
68	48	84	4.70	0.94	25	12	43	30.0	6.00
67	47	83	4.92	0.98	20	9	37	40.0	8.00
66	46	82	5.15	1.03	15	6	30	56.7	11.34
65	45	82	5.38	1.08	10	4	22	90.0	18,00
64	44	81	5.62	1.12	5	2	13	190.0	38.00
63	43	80	5.87	1.17	Ō	0	Ó		infinito
62	42	79	6.13	1.23					
61	41	78	6.39	1.28					

^{*} Para CN en la columna 1.

^{**} Se refieren al valor de P en que comienza la respectiva curva de la Figura 3.3 y considerando los valores de la primera columna.



P y Qe. (Tomado de Rojas, 1979) Gráfico para la determinación del número de curva entrando con Figura 6

Si ambos valores de infiltración potencial están dentro de un mismo rango, el valor inicial para la calibración se calcula sacando el promedio aritmético de los dos.-En caso contrario, habrá que revisar con detenimiento los datos medidos y asegurarse de la representatividad de la estación de precipitación elegida cuando se esté utilizando sólamente una estación pluviométrica. En todo caso, en el presente trabajo se le da mayor peso al valor de la infiltración potencial es timado en base a las características de la combinación suelo-cobertura. Esto se justifica por lo que el propósito es llegar a un procedimiento que permita expresar los parámetros del modelo como función de las características fisiográficas de la cuenca y generar registro de caudales diarios en ausencia de datos medidos.

Para el límite inferior de la infiltración potencial, Rojas aconseja, en la versión original del modelo, un valor inicial igual a:

$$S3 = S1 - (RM - WP)$$
 (7.8)

El valor inicial de la infiltración potencial, SCI, según empiece la simulación en un período seco o húmedo, será más o menos cercano al valor estimado para la condición de humedad antecedente I o al correspondiente a la condición III respectivamente.

El Apéndice IV-B ilustra con un ejemplo numérico la estimación de la infiltración potencial por ambos métodos.

Una vez estimados los valores de OH, OA, RM, WP, S1 y S3, sin importar el juego de parámetros que se use, se utiliza el modelo y se aprecia su respuesta a los datos de entrada constituidos por la precipitación y la evaporación diarias medidas.

Calibración

Las consideraciones que se hicieron en la simulación para estimar los almacenamientos iniciales de humedad de suelo y de aqua subterránea así como

las propiedades físicas de la cuenca son muy valiosas cuando el propósito es la calibración de un modelo para una determinada cuenca. Pero, además de ello, se debe definir una política de estimación de los parámetros de dicho modelo.

Estimación del parámetro de flujo subterráneo aprovechable

El parámetro FB determina la proporción del almacenamiento subterrá - neo que sale como una cantidad de agua aprovechable en la cuenca. En la literatura se refiere a esta agua como flujo base y el factor FB es similar al factor de flujo base que se estima en base al coeficiente de recesión del agua subterránea,

$$FB = ln k (7.9)$$

el valor así conseguido da una idea bastante aceptable del rango de variación del parámetro FB.

En el Apéndice IV-C se presentan los cálculos ilustrativos de la estimación del parámetro FB.

Rango de variación de los parámetros

Es difícil asignar de antemano valores a aquellos parámetros para los cuales no se dispone de métodos que permitan su estimación cuantitativa, aún cuando se tenga una idea cualitativa de la influencia de algunos factores físicos de la cuenca sobre su variación. Lo más lógico en este caso es tratar de determinar por lo menos, para cada uno de ellos, su rango de variación.

Rango de variación de los parámetros FI, FL, FD, FB, FSE

A los parámetros que definen una porción de un almacenamiento, por simple lógica, se les pueden asignar un rango de variación cuyos límites son 0 y 1. En efecto, en el caso de los flujos que emanan de los distintos almacena -

mientos, por ejemplo, es una simple hipótesis del modelo y en ningún momento se sabe con seguridad qué ocurre realmente; por eso, se puede aceptar que el límite inferior de los parámetros de flujo es cero. Ahora, aún con la seguridad de ocurrencia de un flujo, como no se puede saber de antemano la cantidad de agua que trae, se acepta que la cantidad máxima que puede surgir de un almacenamiento es igual a la capacidad del almacenamiento considerado, para la misma ocasión, se acepta a la unidad como límite superior de un parámetro de flujo. Los parámetros FI, FL, FD, FB, FSE caen en esta categoría.

Rango de variación del parámetro NX

Son otras las consideraciones cuando se tratan de parámetros como NX para los cuales hace falta una cierta experiencia en cuanto al modelo, ya que son verdaderos parámetros cuyos límites de variación se deducen por los valores que toman una vez conseguida la calibración de un gran número de cuencas y para condiciones diferentes de suelo, clima, humedad antecedente etc. En la etapa de prueba del modelo, se ha notado que NX varía desde valores menores de la unidad hasta mayores de seis.

Rango de variación de los parámetros FP y FE

El factor corrector de la evapotranspiración así como el de la lluvia puntual son otra categoría más dentro de los parámetros del modelo de Rojas. El No se pueden tratar como ninguno de los dos grupos mencionados, no son fracción de almacenamiento ni se pueden dejar tan libres de tomar cualquier valor como NX. En todo caso, su valor debe ser cercano a la unidad, siendo el rango más reducido para FP.

Calibración manual y calibración automática

El modelo de Rojas (1984a) está diseñado para la calibración manual de los parámetros. El aceptar una calibración conseguida como buena depende exclusivamente del usuario y se deja a su juicio la secuencia de las operaciones dentro del proceso de calibración. Esta libertad de acción que tiene el usua-

rio, en algunos casos se considera como una ventaja ya que el proceso no es - capa al control de la lógica.

Sin embargo, en el presente estudio se considera como peligrosa la facultad que tiene el usuario de poder manejar a gusto la secuencia de las operaciones ya que se notaron resultados diferentes según se muevan los parámetros, primero unos que otros. Se buscó pues, una forma de asegurar la sistematización del proceso y se consideró que una solución podría ser la automatización de la calibración.

Algunos objetarán que el hecho de dejar que la máquina lo haga todo, le quita al usuario la posibilidad de decidir, convirtiéndolo en un simple observador. A ellos se les puede dar la seguridad que la calibración automática sólo asegura la sistematización del proceso, llevándolo de igual manera to das las veces que se utilice el algorítmo elaborado a tal efecto pero que, de ninguna manera, se traspasa a la máquina el poder de decisión del usuario. La estructura del archivo de entrada al programa con algorítmo de calibración automática respalda lo dicho anteriormente.

Ya que no tiene el usuario del programa poder de decisión durante la calibración, es mayor su responsabilidad al decidir antes de empezarse el proceso.

Para la calibración automática se usó una versión modificada del algorítmo de Hooke-Jeeves. En el Apéndice I se encuentra un listado del programa de calibración manual junto con el de calibración automática.

Al utilizarse la calibración automática, se notó la muy poca influencia que tiene sobre la función objetivo una variación considerable del valor inicial de la humedad de suelo. Ocurre lo mismo con la variación del valor inicial del almacenamiento subterráneo. Por eso, se decidió que se pueden considerar como valores fijos a ser leidos y no como parámetros.

Como era lógico de suponer, al reducirse el número de parámetros a ca-

librar, también disminuyó el tiempo de computación requerido para una corrida del programa elaborado.

Otra manera de reducir parámetros es utilizando relaciones entre ellos como la correspondencia entre los valores de la infiltración para las condiciones I y II que se expresa mediante la siguiente relación:

$$S3 = 0.04834 * S1 ** 1.25$$
 (7.10)

Análisis de sensibilidad

El análisis de sensibilidad se puede considerar como una aplicación del modelo de simulación. Es de gran interés en la realización del presente trabajo ya que su objeto es la determinación de los parámetros de mayor in fluencia en la respuesta del modelo, los cuales también, se presume, tienen más peso en la estructura de regionalización. Los parámetros, así identificados, deben ser estimados en forma metodológica ya que valores errados de los mismos le restaría validez a la estructura de regionalización.

En el Capítulo IX, se presentan graficados los resultados de la prue ba de sensibilidad del modelo de Rojas (1984a) a la variación de sus diferentes parámetros.

CAPITULO'VIII

PROGRAMAS ELABORADOS

Generalidades

La versión original del modelo de Rojas (1984a) está programada en lenguaje BASIC y fue diseñada para un número reducido de días debido a las limitaciones del mini computador que utilizó Rojas. Se puede usar de manera opcional tanto en simulación como en calibración. El programa original que sustenta el modelo de simulación hidrológica permite la calibración manual y selectiva de un parámetro a la vez. Ofrece la posibilidad de visualizar el resultado de una simulación obtenida con un determinado juego de parámetros durante el proceso de calibración, sacando por pantalla un gráfico de los valores ploteados de las láminas observada y estimada.

El programa original ha sido revisado y llevado al lenguaje FORTRAN para ser montado en la computadora HP 1000 del CIDIAT. Se elaboraron dos programas diferentes a fin de adaptar el modelo y usarlo en el presente trabajo.

Actualmente, se pueden calibrar o simular hasta 10 años de caudal medio diario. Peroson tantas las variables que maneja el programa que fue in dispensable recorrer a la memoria virtual para que cargara con los arreglos dimensionados para 10 años.

Las versiones en lenguaje FORTRAN resultan de dos etapas diferentes, pero complementarias, de la metodología de trabajo.

La primera es una reestructuración del programa original con el fin de almacenar los valores de las variables en series de tiempo para períodos lar - gos. Para ello se implementó una subrutina adicional con la cual se logra con trolar lo que llamaremos el calendario de la simulación, facilitando así el manejo de las variables. La subrutina que saca por impresora el ploteo de los valores de la lámina media diaria escurrida, es otro logro del estudio. Sin

embargo, en lo que se refiere al módulo de calibración, no se cambió la filo sofía general del modelo original, es decir que se logra la calibración mediante simulaciones sucesivas cambiando el valor de un parámetro a la vez.

El segundo programa elaborado tiene un algorítmo de optimización de parámetros que permite la calibración automática del modelo. Además, se trató de limpiar el modelo, quitándole aquellas instrucciones que sirven al cálculo de una variable cuyo valor no fluctua con la variación de los parámetros o cuya estimación se requiere al lograrse la calibración.

A continuación, una breve descripción de cada versión con sus datos requeridos de entrada, las opciones que ofrece al usuario y la forma en que están estructurados los resultados o salida del programa.

Programa de calibración manual

Componentes Bdigital.ula.ve

El programa desarrollado consta de un programa principal y cuatro su \underline{b} rutinas.

El programa principal, desde el cual se llaman a las subrutinas, tiene como propósito la calibración del modelo. Un ajuste por separado de los pará metros trata de hallar para cada uno de ellos el valor que permite lograr el menor coeficiente de calibración. Por otra parte, desde este mismo módulo, es posible escoger entre las diferentes opciones que la versión para calibración manual ofrece en cuanto a representación de resultados y salida del mode lo. Además, valiéndose de la comparación entre valores observados y estimados de la lámina escurrida, el usuario escoge el parámetro cuyo valor se va a cambiar y decide cuándo una calibración es aceptable.

Subrutina CALCUL

Este modelo calcula todo lo que se refiere a la longitud del registro

común: número de años, número de meses, número de días de cada mes, número total de días del registro. Estos datos tienen gran importancia ya que facilitan la estructuración cronológica de los cálculos y de la representación gráfica de los resultados finales. Por otra parte, esta subrutina ofrece la posibilidad de reducir la capacidad de memoria requerida, al permitir la disminución de la cantidad de valores almacenados. Gracias a este módulo, se ha ce más fácil la lectura del ploteo de los valores medidos y estimados ya que es posible identificar el día en el cual ocurrió un valor ploteado de escorrentía.

Subrutina STCADI

Es el módulo de simulación; permite calcular la escorrentía diaria a través de la formulación matemática, lógica y secuencial de las expresiones que describen el comportamiento hidrológico de la cuenca simulando los procesos relevantes del sistema regional considerado.

Se hace notar que la primera parte de esta subrutina está esencialmen te constituida por instrucciones de lectura que serán ejecutadas según sea o no la primera vez que se llama a la subrutina desde el programa principal (INSIC = 1). La formulación matemática está dentro de dos lazos, el primero tiene un contador de años y el segundo, un contador de días. Allí se usan los resultados de los cálculos llevados a cabo en la subrutina precedente.

En la subrutina se define además un concepto muy importante para la calibración del modelo, el coeficiente de calibración, cuya variación constituye el criterio de más peso para seguir optimizando el valor de un parámetro ya que se seguirá cambiando el valor de dicho parámetro mientras vaya disminu yéndose el valor del coeficiente de calibración.

Subrutina GRAFI

Es el grupo de instrucciones que permite sacar un gráfico por pantalla durante el proceso de calibración. El interés radica en que los hidrogramas,

tanto el observado como el simulado, se grafican utilizando un mismo sistema coordenado de referencia, facilitando así la comparación entre ellos. Se pue de entonces apreciar el ajuste de las curvas, definiéndose a la vez los tramos en los cuales se nota mayor desviación entre ellas. El objetivo principal de este análisis es observar la tendencia de ambos hidrogramas para determinar cuáles parámetros hay que variar y en qué sentido tiene que hacerse la variación. En el caso, por ejemplo, que el flujo base simulado mantenga una cierta tendencia respecto al observado, se puede pensar en el parámetro de flujo base, el cual define prácticamente la cantidad de agua que sale del almacenamiento de agua subterránea. Si las curvas presentan una mayor desviación en los picos, habrá que pensar en los límites del rango de variación de la infiltración potencial, etc.

Subrutina PLOTEO

Consiste de varias instrucciones ejecutables que permiten la representación en forma gráfica de los valores medidos y estimados de la escorrentía diaria versus el día en el cual ocurre en el punto de flujo considerado. Jun to con una tabla resumen, constituye la salida por impresora de una de las opciones de representación de resultados.

La Figura 7 es el diagrama de bloques del programa elaborado para la calibración manual.

Entradas al Programa KEROJ

El modelo requiere de tres tipos de datos: las variables cuyo valor, fijo en el desarrollo del estudio, se suministran mediante un archivo de entra da, los valores iniciales de los parámetros y una información suministrada de manera repetida al modelo.

El archivo de entrada está constituido por: una información general de la cuenca, nombre del río y especificación del tipo de estudio a realizarse; fechas de inicio y fin del período para el cual se va a hacer la simulación hi

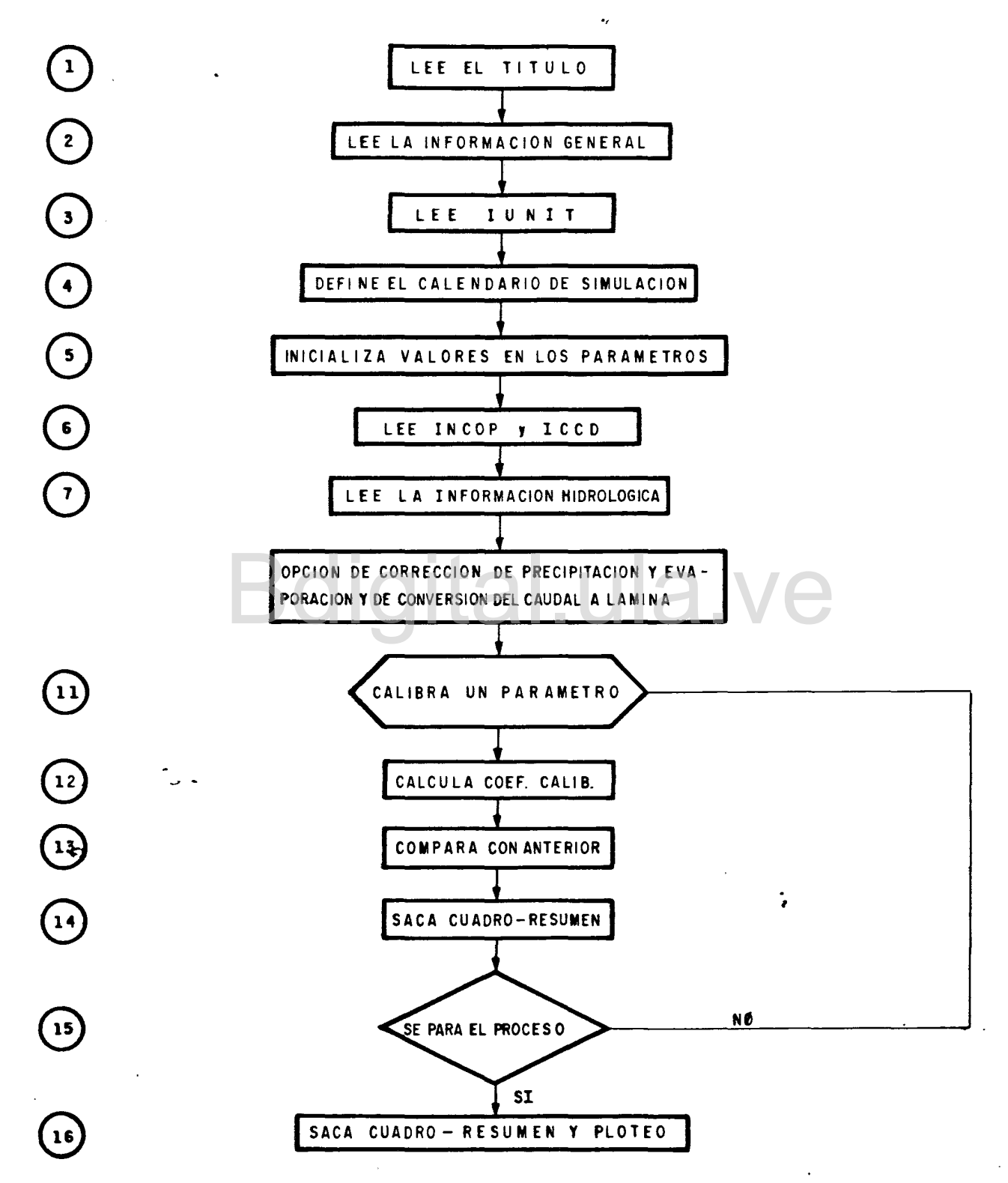


Figura 7.- Flujograma de bloques del programa elaborado para la calibración manual.

drológica; superficie de la cuenca y valor estimado de la humedad de satura - ción; series de tiempo constituidas por los valores diarios de precipitación, evaporación y escorrentía.

El juego de parámetros con el cual se hace la primera simulación se suministra al programa por pantalla en el orden que lo va pidiendo.

La información que se da en forma repetida se define a continuación:

- 1. Los valores de las variables que deciden entre las diferentes opciones durante el proceso de calibración manual: primero se define la unidad en la cual se expresa el caudal diario; luego, el usuario decide si va a parar el proceso, en cuyo caso escoge la manera de representar los resultados. Si decide seguir con la calibración, se lo indicará al programa mediante el valor adecuado de la variable que determina esta opción.
- 2. Para poder calibrar el modelo, es necesario poder designar en el programa cuál es el parámetro cuyo valor se piensa optimizar. Luego se suministra la información referente al valor inicial del parámetro, el incremento y el número máximo de veces que se cambia el valor de dicho parámetro.

Salidas

Están constituidas por:

- 1. El juego de parámetros con el cual se consiguió la calibración.
- 2. Unos resultados intermedios como son:
- a. El arreglo de la escorrentía diaria observada expresada en milímetros cuando los valores medidos lo han sido en otras unidades como metros cúbicos por segundo o litros por segundo.
 - b. Los datos corregidos de precipitación y evaporación

- c. Una tabla resumen donde se leen valores de los flujos componentes de la escorrentía total, la evapotranspiración acumulada, los valores de la escorrentía mínima observada y estimada, los valores de la escorrentía máxima y el balance hídrico. Este último debe ser igual a la precipitación media acumulada.
- 3. Las salidas finales constituidas por: la lámina media diaria escurrida en el punto de flujo considerado, presentada en forma de ploteo de los valores medidos y estimados y el valor del coeficiente de calibración.

En el Apéndice VI-A se presentan los resultados de la calibración manual de la cuenca del río Canaquá.

Opciones

En este aparte se irá designando las variables que definen las diferentes opciones que en esta versión están a disposición del usuario para llevar a cabo el proceso de calibración manual.

En el Capítulo IX, de instrucciones para el uso del programa, se explica de manerá más amplia lo que se logra al asignarle un determinado valor a cada una de estas variables.

IUNIT es el indicador de unidad de la escorrentía diaria.

INCOP, el índice de corrección de la precipitación y de la evaporación.

ICCD, el índice de corrección del caudal directo.

INT según su valor decide si se sacan los resultados o si se va a seguir calibrando el modelo.

LARE dice si se quiere cambiar el valor de un parámetro.

IRES sirve de chequeo antes de que el programa ejecute la instrucción referente al cambio de valor del parámetro.

Programa para calibración automática

Componentes

El programa elaborado para calibración automática difiere de la ver - sión descrita anteriormente más que todo en lo relativo a su estructura gene - ral. Se notará por ejemplo que tiene subrutinas adicionales las cuales han sido pensadas con el fin de lograr la reducción del tiempo de computación.

El programa principal de la presente versión se distingue en dos aspectos fundamentales del programa principal concebido para calibración manual.

- 1. Los únicos datos de entrada que se leen directamente desde el programa principal son los referentes a la calibración propiamente dicha, valores estimados de características fisiográficas, valores iniciales de los paráme tros, intervalo y rango de variación de cada parámetro, número de parámetros a optimizar y subíndices de los parámetros cuyo valor se va a optimizar.
- 2. El módulo de calibración es en este caso el algorítmo de optimización de parámetros de Hooke-Jeeves con una ligera modificación. Cada vez que en el algorítmo original se cambia el valor de un parámetro sin conseguir una mejoría de la función objetivo, se dividen entre dos los valóres de los intervalos de chequeo de todos los parámetros mientras que en la versión que se utilizó en este trabajo, sólo disminuye el intervalo correspondiente al parámetro cuya variación no permitió mejorar la calibración. Además, es lógico que desa parezcan aquellas variables cuyo valor, asignado por el usuario, definía la opción escogida en el proceso de calibración manual: INT, LARE, IRES.

Subrutina DATOS

Esta subrutina se llama desde el programa principal en la primera ins-

trucción ejecutable. En ella se leen los datos generales de la cuenca: nombre del río junto con el tipo de estudio que se va a realizar; las fechas, día, mes y año de comienzo y fin del período coincidente de los registros de precipitación, evaporación y caudal medio diario; la superficie de la cuenca de interés, el indicador de unidad del caudal medio diario, el índice de corección de la lluvia y de la evaporación, el índice de corrección del caudal directo.

Subrutina CALCUL

Esta subrutina permite los mismos cálculos que la subrutina del mismo nombre en la versión de calibración manual. Pero, además de lo referente al "calendario" de la simulación, este módulo, sirve para leer los arreglos que en el archivo de entrada contienen los valores de precipitación, evaporación y caudal. gital.ula.ve

Es un subprograma al igual que las subrutinas. Es el equivalente la subrutina SICADI de la calibración manual. El interés de esta modifica ción radica en que se reduce el número de instrucciones necesarias para en trar a la subrutina y hacer una nueva simulación cada vez que se cambie valor de un parámetro.

Subrutina COEFI

Gracias a esta subrutina se calcula el valor acumulado de la escorren tía diaria observada para todo el período, el valor promedio del caudal medio diario para el período de interés y el error estandard. Las operaciones precedentes sirven para lograr el verdadero propósito de la subrutina, que es la estimación del coeficiente de calibración. El montar estas instrucciones como un módulo a parte tiene el objeto de reducir el tiempo de computación evitar que se ejecuten tantas veces como se haga una simulación adicional sino únicamente cuando ya se tiene el mejor juego de parámetros.

Subrutina PLOTEO

Es idéntica a la subrutina del mismo nombre en la versión elaborada para calibración manual.

La Figura 8 ilustra a grandes rasgos los diferentes pasos de la cal<u>i</u> bración automática mediante el programa elaborado.

Entradas al Programa KEHOJ

Las entradas al programa elaborado para la calibración automática se suministran mediante un archivo estructurado para tal efecto. Dicho archivo de datos está constituido por:

- 1. Una información general de la cuenca que consiste en:
- El nombre del río y la especificación del tipo de estudio que se quiere realizar. "TITULO".
- La información en cuanto a fechas de inicio y fin del período coincidente de los registros de valores observados de las variables hidrológicas.

 "DIAI, MESI, ANOI, DIAF, MESF, ANOF".
 - La superficie de la cuenca en estudio. "AREA"
- Los valores adecuados del indicador de unidad de la escorrentía medida, del indice de corrección de precipitación y evaporación y del indice de corrección del caudal directo. "IUNIT", "INCOP", "ICCD".
- 2. Una información relacionada con los parámetros de la calibración y algunas variables del modelo.
- El número de parámetros cuyo valor se va a optimizar y sus respectivos subíndices. "N", "IPAR(I)".

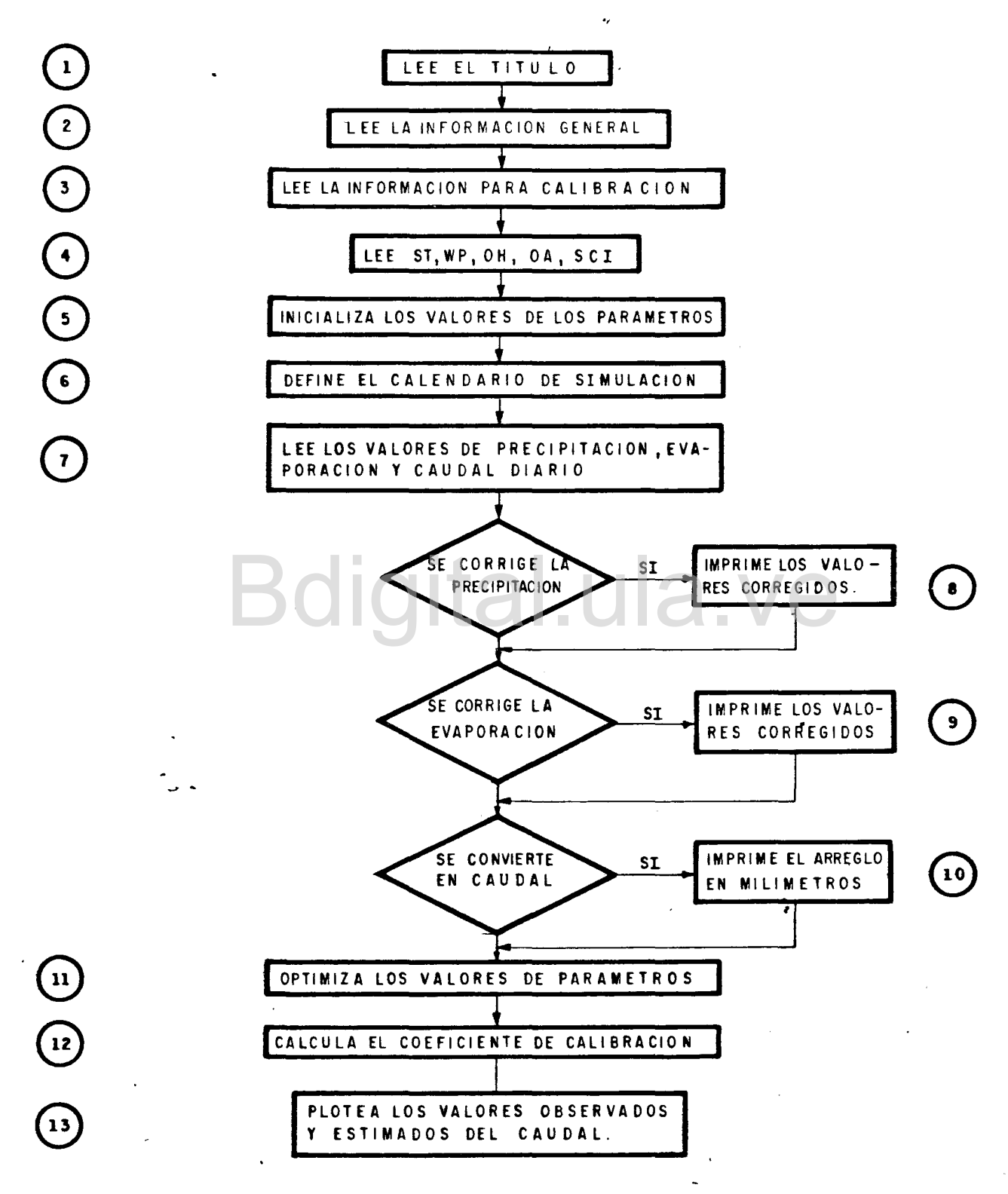


Figura 8 — Flujograma de bloques del programa elaborado para la calibración automática.

- Los valores estimados de las características fisiográficas: hume dad de saturación, punto de marchitez permanente, humedad inicial del suelo, almacenamiento inicial del agua subterránea, valor inicial de la infiltración potencial. "ST", "WP", "OH", "OA", "SCI".
 - Los valores de los parámetros del modelo. "PAR(I)".
- Los valores iniciales de los parámetros a calibrar, el valor inicial del intervalo de variación para cada parámetro, la tolerancia sobre la reducción del intervalo para cada parámetro, el límite inferior del rango de variación de cada parámetro y el límite superior del rango de variación de cada parámetro. "XG", "D(I)", "PQN(I)", "XI(I)", "XS(I)".
 - 3. Las series de tiempo de las variables hidrológicas
 - El arreglo de valores diarios de la precipitación medida. "PD(I)".
- El arreglo de los valores de la evaporación medida en tina. "EVD (1)".
- El arreglo de los valores de la escorrentía media diaria observada en el punto de flujo considerado. "MQD(1)".

Salidas

Los resultados finales de la calibración automática se representan de manera idéntica a los correspondientes a una simulación o a la calibración manual. El Apéndice IV-B contiene los resultados de la calibración automática de la cuenca del río Guaraque.

Opciones

En la presente versión, tres variables representan las opciones que se ofrecen al usuario, se leen como parte del archivo de entrada de datos. Son: el indicador de unidad de la escorrentía observada, el índice de corrección de

precipitación y evaporación, el índice de corrección del caudal directo o sea, "IUNIT", "INCOP", "ICCD".

El Capítulo IX explica con detalle cómo se deben utilizar estas opciones, es decir, qué valor de cada variable corresponde al resultado que se quiere obtener.

Bdigital.ula.ve

CAPITULÖ IX

INSTRUCCIONES PARA EL USO DE LOS PROGRAMAS

En esta sección se señalan los lineamientos generales a seguir por el usuario para el correcto uso del programa de computación implementado.

El primer paso, en cualquier tipo de estudio hidrológico, es la recopilación de datos. Luego de haberse conseguido registros de valores observados de las variables hidrológicas y de las características físicas de la cuen
ca, se pasará a seguir los siguientes pasos:

Preparación de los datos de entrada

Selección de los registros comunes

Cuando se quiere trabajar en simulación hidrológica, es imprescindible tener, para el período a simular, registros de valores de las variables cuyo comportamiento se va a estudiar. Entonces se escoge, para cada cuenca, un período de años seguidos para el cual se dispone de registros de valores medidos de lluvia, evaporación y escorrentía. Para determinar este período de registros coincidentes de las variables hidroclimáticas citadas anteriormente, se usa la técnica conocida como diagrama de barras.

Procesamiento de la información conseguida

Es casi imposible encontrar registros de datos completos y aptos para ser utilizados. Muy a menudo al revisarse los registros existentes se consiguen datos englobados y generalmente se observan lagunas, es decir, una cantidad más o menos grande de datos faltantes cuya estimación es obligatoria cuando sea necesario disponer de un registro contínuo. En la literatura revisada existen varias técnicas desarrolladas con el objeto de lograr, tanto el desenglobe como también la estimación de datos faltantes.

Duque (1980a) menciona, para desenglobe de datos, un método conocido como el método de la proporción normal, el cual asume que la razón entre el valor del mes considerado y el promedio mensual es constante para todos los meses e igual a la razón entre el acumulado del año considerado y la precipitación normal anual. Lo anterior dicho se puede traducir en términos matemáticos como:

$$\frac{Na}{Pa} = \frac{Ni}{Ai}$$
 (9.1)

$$\frac{Ai}{Pacum} = \frac{Ai}{Pi}$$
(9.2)

donde

Na precipitación normal anual

Ni precipitación normal del mes considerado

Pa precipitación anual para el año en que aparece la acumulación

Ai precipitación del mes i

Pacum precipitación acumulada

Pi. precipitación correspondiente al mes

En el Banco de Programas del CIDIAT existe un programa que permite dis tribuir el valor total acumulado en sus diferentes componentes, es decir, que a cada intervalo de tiempo se le asigna una parte del valor acumulado, basándo se esta repartición en un estudio del comportamiento de la variable hidrológica en estudio a lo largo del período considerado. En una revisión de la formu lación del programa GUANA se llegó a la conclusión de que en su desarrollo se utilizó una variante del método de la proporción normal.

Cuando por una u otra razón existen interrupciones en el registro de valores medidos, se hace necesario completar dicho registro estimando los da - tos faltantes. Para el cálculo de estos datos existen varios métodos de los cuales los más conocidos son:

- El promedio aritmético
- La proporción normal
- La correlación lineal
- El análisis doblemente acumulativo o curva doblemente másica.

Aunque en la actualidad el modelo acepta solamente un vector de valores de precipitación y un vector de valores de evaporación, se pueden utilizar varios puntos de medición para cada una de estas variables. Un procesamiento previo de los registros de valores coincidentes así obtenidos permitirá la estimación de valores promedios del proceso hidrológico considerado. La entrada al modelo la constituye entonces el arreglo de valores estimados.

Para determinar el valor promedio de variables hidrológicas, como la precipitación y la evaporación, existen varios métodos. Los más conocidos son:

- El método del promedio aritmético
- El método de los polígonos de Thiessen
- El método de las curvas isoyetas o del factor isoyético
- El método de la red de puntos o del promedio ponderado.

Algunos autores recomiendan que se haga, como paso previo a la utilización del registro completado, un análisis de consistencia y homogeneidad de los datos y una prueba de confiabilidad de los mismos.

Duque (1980a) recomienda, en el caso de utilizarse como herramienta la curva doblemente másica, seguir la tendencia de la recta correspondiente al período más antiguo y corregir los datos más recientes, tramo después del punto de quiebre, utilizando una fórmula basada en la relación de las pendientes.

Pero, cuál es el criterio para ajustar los datos del segundo tramo a la tendencia antigua?. Se puede decir sin riesgo a equivocarse, que siempre se debe aceptar como patrón el período más antiguo?.

La decisión a tomar siempre será función del caso en estudio, de la historia de la estación de medición considerada y nunca se apoyará ciegamente en una norma sin considerar el caso específico. Un requisito indispensa ble será entonces el poder disponer de la historia completa de la estación de medición considerada ya que la corrección debe hacerse solamente en aquellos casos en los cuales la causa del cambio en la tendencia está plenamente identificada y proviene de interferencia del hombre o de otros objetos con la estación de medición.

Estimación de la evaporación en ausencia de datos medidos

En general, la información de evaporación se publica como valores medios diarios o mensuales. En el caso de que no se pueda disponer de esta información, se pueden utilizar resultados de estudios anteriores que hayan demostrado que se pueden adoptar promedios de áreas vecinas o, estimarse los promedios para el área de interés en base a la precipitación, la temperatura media y la altitud. Estudiando un gran número de estaciones de evaporación de tina en Venezuela, Christiansen (1971) citado por Rojas (1979) obtuvo una relación que permite estimar la evaporación a partir de la precipitación media anual y la altitud.

$$EVPA = CPMA * EVPL$$
 (9.3)

en donde

EVPA evaporación de tina de tipo A estimada; se expresa en milíme - tros por año.

$$CPMA = 1.22 - 0.22 * PMA / 1200$$
 (9.4)

$$EVPL = 2340 - 650 * EL / 1000 + 60 * (EL / 1000)^{2}$$
 (9.5)

El elevación en metros sobre el nivel del mar o altitud.

PMA precipitación media anual

La evaporación mensual se consigue utilizando los porcentajes respecto al valor anual de la evaporación mensual en estaciones vecinas.

Esta relación es válida en zonas con altitud superior a 400 metros para altitudes menores, se recomienda utilizar la información de áreas vecinas o de áreas con características climáticas parecidas.

Un análisis de las estaciones de la zona del Alto Apure (CIDIAT - CORPOANDES, 1971) dió una relación un tanto parecida a la Christiansen:

$$EVAC = 1600 * CE * CPMA$$
 (9.6)

con

$$CE = 1.19 - 19 * EL / 1000$$
 (9.7)

$$CPMA = 1.09 - 0.09 * PMA / 1000$$
 (9.8)

siendo

EL la elevación en metros sobre el nivel del mar

PMA la precipitación media anual

CE un coeficiente de evaporación y

CPMA un coeficiente de precipitación media anual

La correlación da buenos resultados sólo para las estaciones ubicadas sobre los 300 metros de elevación. Se recomienda en caso de zonas con menor elevación utilizar la información de evaporación de estaciones de áreas vecinas o de áreas con características climáticas similares.

En el presente trabajo, se utilizó la ecuación obtenida en el estudio de la zona alta del Apure para estimar la evaporación en caso de no contar con una estación de medición.

Datos de entrada: su formato y unidades

Para la calibración manual, la información a ser procesada se suminis tra a la computadora de dos maneras distintas:

- 1. Un archivo constituido por las entradas constantes al modelo como son:
- Un arreglo alfanumérico, TITULO, pudiendo ser cualquier comentario que identifique el trabajo que se propone llevar a cabo y la cuenca en estudio. Sin unidad. Tiene un formato de A60.
- La información indicando las fechas (día, mes y año) de inicio (DIAI MESI,ANOI) y fin (DIAF, MESF y ANOF) del período común de los registros. Sin unidad. Esta tarjeta contiene 6 valores con un formato I10 cada uno.
- El valor estimado de la humedad de saturación, ST, expresado en mil \underline{i} metros con un formato F8.3.
- La superficie de la cuenca, AREA, expresada en kilómetros cuadrados y con un formato F10.2.
- Un arreglo de valores de la lluvia diaria, PD(), expresada en milíme tros y con formato 10F8.2, es decir que se ponen de a diez valores por líneas, ocupando cada valor un campo de 8 dígitos y aceptando dos decimales.
- Un arreglo de valores de la evaporación diaria, EVD(), expresada en milímetros y con formato 10F8.2.
- Un arreglo de valores de la escorrentía diaria, MQD(), expresada en milímetros (lámina de agua), en m/seg o en l/seg (caudal) ya que una opción del programa de computación permite la conversión a lámina pudiéndose comparar con los valores estimados por el modelo que vienen expresados en milímetros. Los valores de este arreglo también se ubican de a 10 por línea, obedeciendo a un formato de F10.2.

- 2. Una información adicional suministrada directamente por pantalla la cual está constituido por:
 - El juego de valores iniciales de los parámetros
- La elección de las diferentes opciones del programa de computación tanto en cuanto a la información general de la cuenca así como para el proceso de calibración manual.
- La información correspondiente al parámetro a optimizar es decir: su valor inicial, el incremento positivo o negativo, el número de veces que se $h\underline{a}$ rá el cambio o número máximo de iteraciones.
- El instructivo de entrada correspondiente al archivo de datos preparado para la calibración manual se encuentra en la Tabla 7. La Tabla 8 muestra la organización de las tarjetas de dicho archivo.

Cuando se usa la versión del programa que contiene el algorítmo de Hooke-Jeeves utilizado para la calibración automática, habrá que modificar el archivo de datos ya que dicha versión requiere de entradas suplementarias tales como valores límites de los parámetros a calibrar, el número de parámetros que se quiere calibrar, el incremento mínimo para cada parámetro y el rango de variación. Además, se suministran también los valores iniciales de los parámetros mediante una tarjeta adicional del archivo de entrada. A continuación la estructura del archivo de entrada modificado.

- EI TITULO
- DIAI, MESI y ANOI; DIAF, MESF y ANOF
- El AREA de la cuenca considerada.
- Un indicador de unidades de la escorrentía diaria observada IUNIT, un índice de corrección para la precipitación y de la evaporación INCOP, un índice de corrección del caudal directo ICCD. En esta tarjeta se ponen las variables con un formato 315.

Tabla 7 Datos de entrada para la calibración manual

Tarjeta	Variable	Descripción	Uni dad
1	TITULO	Nombre de la cuenca y cualquier otro comentario	
2	DIAI MESI ANOI DIAF MESF ANOF	Día de inicio del registro común Mes de inicio del registro común Año de inicio del registro común Día final del registro común Mes final del registro común Año final del registro común	
3	AREA ST	Area de la cuenca Humedad de saturación	km mm
4	PD(J)	Precipitación del día J-1	mm
5	EVD(J)	Evaporación de tina del día J-1	mm
6	MQD (J)	Caudal medio del día J-1	l/seg m/seg mm

F8.2 F8.2 F8.2 F8.2 F8.2 F8.2 KEROJ (calibración manual) F8.2 F8.2 F8.2 FECHA: ANOF 110 F8.2 F8.2 F8.2 MESF F8.2 F8.2 F8.2 110 ω Tabla TITULO A60 PROGRAMA: F8.2 F8.2 F8.2 DIAF 110 5 y 6 se repiten -CODIGO: F8.2 F8.2 F8.2 ANO I 110 **PROGRAMAS** Las tarjetas 4, F8.2 F8.2 F8.2 CENTRO INTERAMERICAND DE DESARROLLO INTEGRAL DE AGUAS Y TIERRAS CUENCA COL F10.2 MES I 110 AREA PD(I) I=1,NDTOT MQD(I) I=1,NDT01 1 10 1 1 1 1 1 1 1 1 1 1 111/11/11/1/11/1 F8.2 $EVD(I) \cdot I = 1NDTOT$ F8.2 F8.2 NOTA: F8.2 F8.2 F8.2 F8.3 DE 10 × DIAI 110 ST BANCO VARIABLE VARIABLE VARIABLE VARIABLE VARIABLE VARIABLE VARIABLE VARIABLE Formato Formato Formato Formato Formato Formato Formato Formato Valor Valor Valor Valor Valor Valor Valor Valor oi Z ~ က 4 S 9

Instructivo de organización de tarjetas para el programa de calibración manual

∞

Tabla

- El número de parámetros que se quiere calibrar, N, y los correspondientes subíndices de dichos parámetros, IPAR(). La tarjeta está compuesta de N+1 valores con un formato de 1015.
- ST, WP, OH, OA, SCI; valores estimados de la humedad de saturación, del punto de marchitez permanente, del almacenamiento de humedad del suelo inicial, del almacenamiento inicial del agua subterránea y de la infiltración potencial inicial.
- Valores iniciales de los parámetros del modelo, PAR(), con formato 5F10.4.
- Un arreglo de un conjunto de cinco valores los cuales representan: el valor inicial de un parámetro que se quiere calibrar, el valor mínimo del intervalo de variación de este parámetro, el intervalo correspondiente al salto del movimiento exploratorio del algorítmo de Hooke-Jeeves, los límites inferior y superior del rango de variación del parámetro: XG(), PQN(), D(), XI(), XS(), con formato 5F10.4.
 - El arreglo de los valores de la precipitación, PD().
 - £1 arreglo de los valores de la evaporación, EVD()
- El arreglo de los valores de la escorrentía media diaria medida, $\mbox{MQD}()$.

Las tres últimas tarjetas son idénticas a las últimas del archivo de entrada construido para la calibración manual.

El instructivo de entrada para esta versión se encuentra en la Tabla 9 y la Tabla 10 muestra la organización de tarjetas en el archivo de entrada elaborado para la calibración automática.

Tabla 9 Datos de entrada para la calibración automática

DIAI MESI ANOI DIAF MESF ANOF	Nombre de la cuenca y cualquier otro comentario Día de inicio del registro común Mes de inicio del registro común Año de inicio del registro común Día final del registro común Mes final del registro común	
MESI ANOI DIAF MESF	Mes de inicio del registro común Año de inicio del registro común Día final del registro común Mes final del registro común	
ANOI DIAF MESF	Año de inicio del registro común Día final del registro común Mes final del registro común	
DIAF MESF	Día final del registro común Mes final del registro común	
MESF	Mes final del registro común	
ANOF		
	Año final del registro común	
AREA	Area de la cuenca.	km
IUNIT	Indice de unidad en la cual viene expresa	
INCOP	Indice de corrección de precipitación y	
ICCD	Indice de corrección del caudal directo	
N D	Número de parámetros a ser calibrados	
IPAR(I)	Suníndice del parámetro de orden I a ser calibrado.	
PAR(I)	Valores iniciales de los parámetros del modelo.	
XG(1)	Valor inicial del parámetro cuyo subín-	
n(1)		
PQN(I)	Valor de chequeo; cuando todos los D son	
X1(1)	Valor mínimo del rango de variación del	
xs(1)	Máximo valor del rango de variación del lavo parámetro.	
PD(J)	Precipitación del día J-1	mm
EVD(J)	Evaporación de tina del día J-1	mm
(L) DOM	Caudal medio del día J-1	l/seg m/seg mm
	IUNIT INCOP ICCD N IPAR(I) PAR(I) XG(I) PQN(I) XI(I) XS(I) PD(J) EVD(J) MQD(J)	IUNIT Indice de unidad en la cual viene expresa da la escorrentía. INCOP Indice de corrección de precipitación y evaporación. ICCD Indice de corrección del caudal directo N Número de parámetros a ser calibrados Suníndice del parámetro de orden I a ser calibrado. PAR(I) Valores iniciales de los parámetros del modelo. XG(I) Valor inicial del parámetro cuyo subíndice es I Valor del incremento del lavo parámetro PQN(I) Valor de chequeo; cuando todos los D son menores que los PQN, se para la calibración. XI(I) Valor mínimo del rango de variación del lavo parámetro. XS(I) Máximo valor del rango de variación del lavo parámetro. PD(J) Precipitación del día J-1 EVD(J) Evaporación de tina del día J-1

Ť	Tabla 10 Instructivo	de organización de tarjetas	para el programa de calibración automática	•
0 2 ⊢∢ແ⊃		CENTRO NTERAMERICANO DE DESARBOLLO NTERAMERICANO DE DESARBOLLO NTERRALDE AGUAS YTERRAS	PROGRAMA: KEHOJ (calibración automática)	
E A	BANCO	DE PF	CODIGO: Tabla 10 FECHA:	
	VARIABLE			
,-	Formato	10 X 7 H .		
	Valor	LILLIN CUENGALINALITATION	and a constant and the substant and an extension	1
,,,,,,,,,,,,,,,,,,,,,,,,,,,,,,,,,,,,,,,	VARIABLE	DIAI MESI ANOI	DIAF MESF ANOF	
2	Formato	I10 I10 I10	110 110 110	
	Valor			
	VARIABLE	AREA	9	
က	Formato	F10.2		-
	Valor			
	VARIABLE	IUNIT INCOP ICCD	a	
4	Formato	I5 I5 I5		
	Valor			1111
	VARIABLE	N IPAR(I) I=1,N	J	
5	Formato	I 5 I5 I5 I5 I	15 15 15 15	•/
	Valor			
	VARIABLE	ST WP OH	OA SCI	
9	Formato	F10.4 F10.4 F10.4	F10.4 F10.4	
	Valor			1,,,,1,,,,,
	VARIABLE	PAR(I) I = 1,10		
7	Formato	4	F10.4 F10.4	
	Valor		- - - -	
	VARIABLE	XG(I) PQN(I) D(I)	XI(I) $XS(I)$ $I = 1,N$	
∞	Formato	F10.4 F10.4 F10.4	F10.4 F10.4	
	Valor			
		2 - 1 - 1 - 1 - 1 - 1 - 1 - 1 - 1 - 1 -	13. 24. 55. 27. 29. 20. 2. 2. 2. 2. 2. 2. 2. 2. 2. 2. 2. 2. 2.	27 27 37 37 37 38 38 38 38

	⊢ ۷ ۲ ۲		CENTRO INTERANERICANO DE DESARROLO INTERAL DE AGUAS Y TERRAS	PROGRAMA:	(Tabla 5:	continuación)	ón)	
		BANCO DE	DE PROGRAMAS	cobigo: Tabla	10 (continuac	ic.) FECHA:		
		VARIABLE	ρο(Ι) Ι = 1,νοτοτ					
	6	Formato Valor	F8.2 F8.2 F8.2	F8.2	F8.2	F8.2	F8.2	F8.2
J.		VARIABLE	I = 1, NDTO	В				
	10	Formato	F8.2 F8.2 F8.2	F8.2	F8.2	F8.2	F8.2	F8.2
/ .		Valor		11,11,11,11,1	1111111111	edining.	11111111111	11111111
R		VARIABLE	MQD(I) I = 1,NDTOT					
e	11	Formato	F8 -	F8.2	F8.2	F8.2	F8.2	F8.2 '
C		Valor						11011111
0		VARIABLE		a				
		Formato			_			•
)(
j		VARIABLE		ا ل				•,
m		Formato	-		-	-	-	
ni		Valor						
е		VARIABLE		_ \				
nt		Formato Valor		\ <u></u>	-		- - - - - -	-
0		VARIABLE		9				
		Formato	- - -	-	-	-	_	_
		VARIABLE						
		Formato Valor	NOIA: Las tarjetas 7, 9, 10 y 11	se repiten. La	tarjeta 8	se repite sólo	0 Si N ≠ 1	
			C	27 23 4 25 25 25 25 25 25 25 25 25 25 25 25 25	5+ ++	N- 0 6 6 6 6 6 6 6 6 6 6 6 6 6 6 6 6 6 6	지원	08 62 82 11 92 91 92 92

Elección de las diferentes opciones

Los diferentes valores que pueden ser asignados a las variables IUNIT, INCOP e ICCD constituyen las opciones que el programa de computación elaborado para calibración automática ofrece al usuario.

IUNIT, el indicador de la unidad en la cual se expresa el flujo medio diario en el punto de medición vale:

- O si la lámina escurrida se expresa en milímetros
- 1 si el caudal observado viene expresado en m³/seg
- 2 si el caudal se expresa en l/seg

INCOP, indice de corrección de la precipitación y de la evaporación, vale:

- O sino se va a corregir la precipitación ni la evaporación.
- 1 cuando el propósito es el de corregir sólo la precipitación
- 2 cuando se corrigen los datos de precipitación y de evaporación.

ICCD, índice de corrección del caudal directo, vale:

- 0 si no se va a corregir
- 1 cuando se quiere corregir el caudal directo

En el proceso de calibración manual, existen otras opciones entre las cuales el usuario tiene que escoger; a continuación las variables que representan esas opciones y los diferentes valores que pueden tomar:

Por orden de entrada, se suministra al programa KEROJ los correspon - dientes valores de LARE, INT, PAR, DX, NI.

LARE es una variable alfanumérica que dice al programa si el usuario

quiere seguir cambiando el valor de algún parámetro o si decide que es aceptable la calibración obtenida, o simplemente si el usuario decide parar el proceso de calibración. LARE valdrá:

- SI cuando se va a seguir cambiando los valores de los parámetros
- NO cuando por una razón u otra el usuario quiere discontinuar la calibración.

Cuando el valor de LARE es SI, hay que suministrar al programa la información relativa al parámetro cuyo valor se quiere cambiar, "PAR", su valor inicial, "VI", el incremento o decremento que es el intervalo de variación de dicho parámetro.

Prueba de Sensibilidad

El resultado de la prueba de sensibilidad de un modelo a las variaciones de sus parámetros es de sumo interés en el proceso de calibración manual. En efecto, es una herramienta muy utilizada, en cuanto que permite identificar los parámetros cuya variación produce la respuesta deseada y, cuál debe ser el sentido de dicha variación.

A continuación, los resultados del análisis de sensibilidad del modelo modificando sus diferentes parámetros:

;

Sensibilidad del modelo al parámetro RM

De la Figura 9, se deduce que la lámina total escurrida simulada varía en forma inversa a RM. Una recta ajustando los puntos ploteados tendría una pendiente de 57.14 %.

La lámina máxima estimada presenta un mínimo en su variación cuando a \underline{u} menta el valor de RM.

90

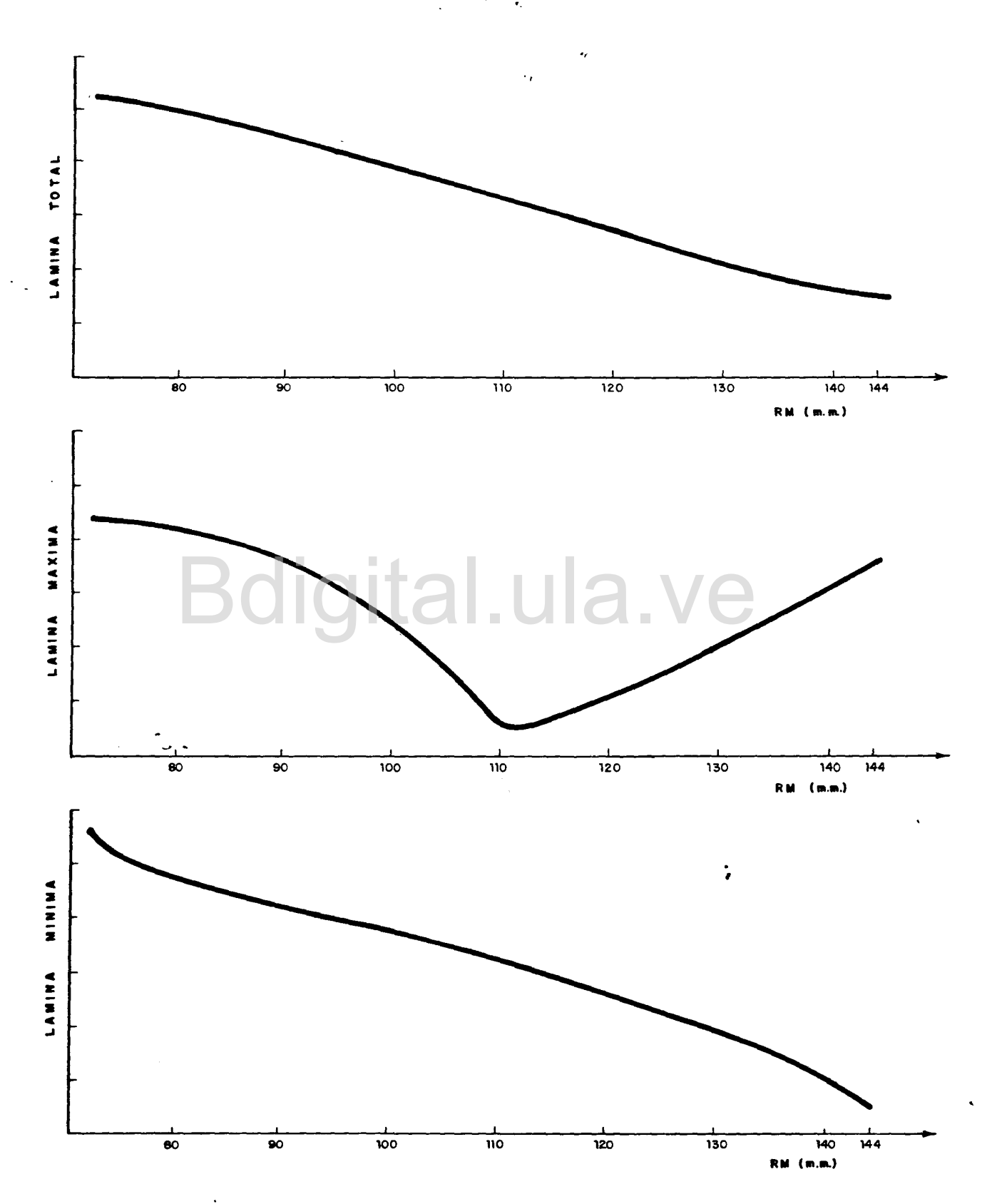


Figura 9. Variaciones con RM de la lámina total simulada, de la máxima lámina simulada y de la lámina mínima simulada.

Se puede observar que la lámina mínima escurrida disminuye a medida que incrementa RM. Los puntos ploteados, en este caso muestran tres tenden - cias: los primeros se ajustan a una curva, a continuación viene un tramo de recta y los últimos puntos se ajustan a una curva cuyo radio de curvatura es mayor que el de la primera.

Sensibilidad del modelo al parámetro S1

Según la Figura 10, se tiene una brusca disminución de la lámina total cuando aumenta el valor de S1. Se observa una variación lineal hasta un punto a partir del cual los cambios de S1 ya no afectan la cantidad total escurida. Se nota un comportamiento similar en la variación de la lamína máxima estimada.

El valor mínimo del caudal base en este caso, no depende de S1.

Sensibilidad del modelo al parámetro FI

La Figura 11 muestra un ajuste de los puntos a una curva para representar la variación de la lámina total escurrida cuando incrementa el valor de FI.

El máximo valor de la lámina diaria simulada por el modelo varía en forma lineal y en el mismo sentido que FI.

La variación de la lámina mínima escurrida respecto a FI se ajusta a una curva con tendencia a estabilizarse en un valor, haciéndose paralela al eje de FI.

Sensibilidad del modelo al parámetro FL

Para este parámetro, según la Figura 12, se tiene que al aumentar su valor, se produce un incremento de la lámina total simulada. Los puntos que representan esta variación se ajustan a una curva suave hasta un punto a par -

92

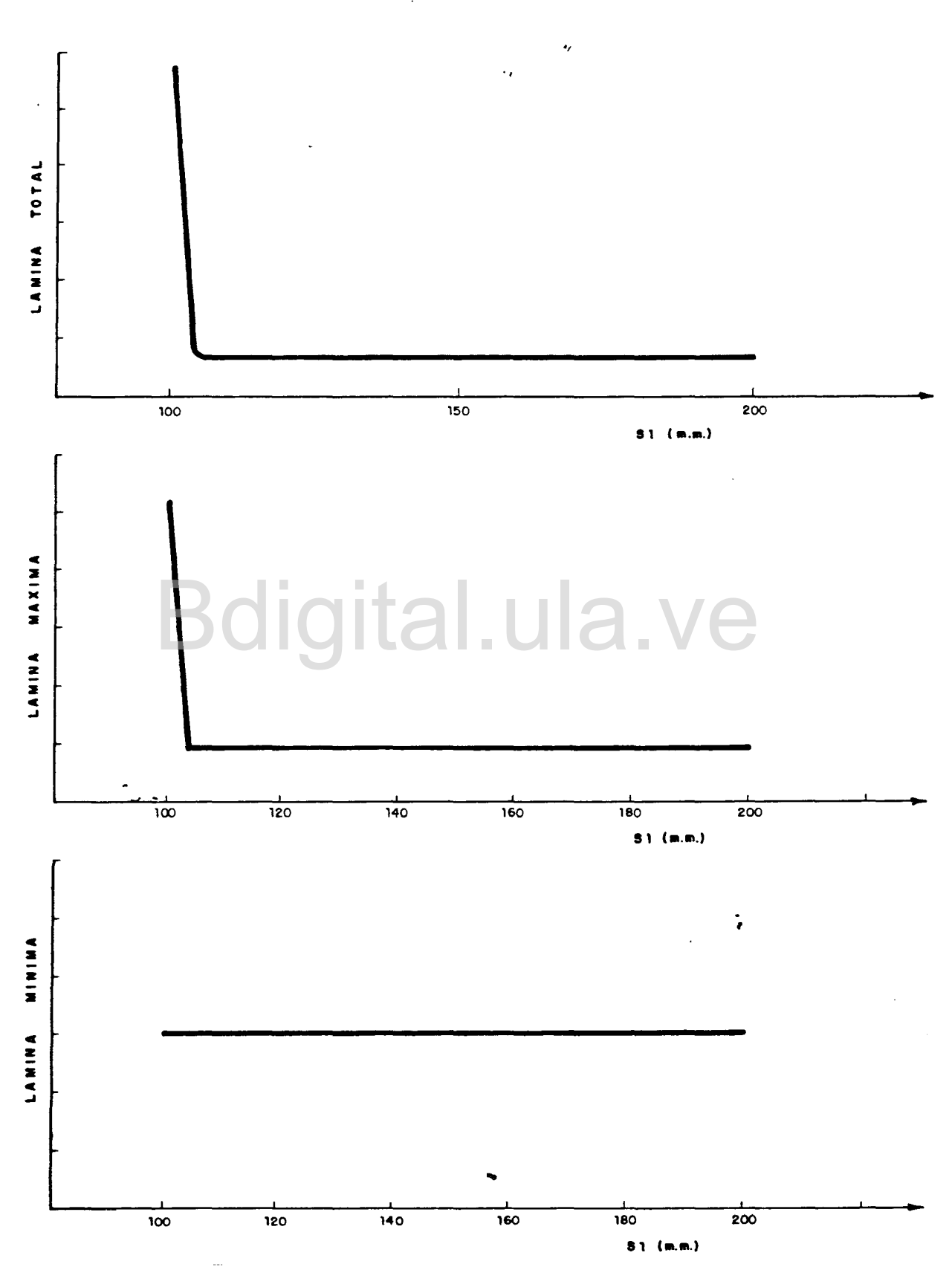


Figura 10 Variaciones con S1 de la lámina total simulada, de la máxima támina simulada y de la lámina mínima simulada.



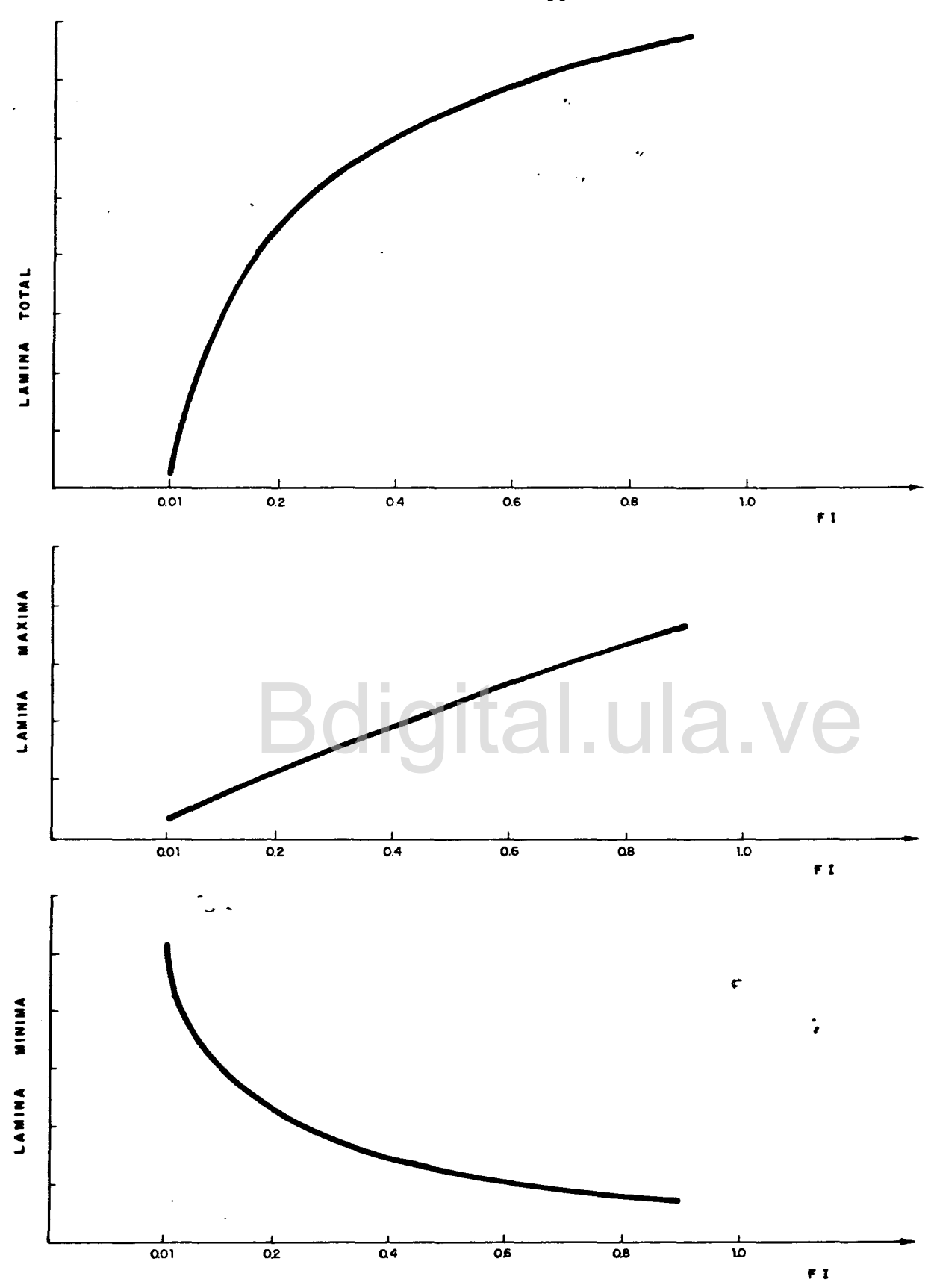


Figura 11. Variaciones con FI de la lámina total simulada, de la máxima lámina simulada y de la lámina mínima simulada.

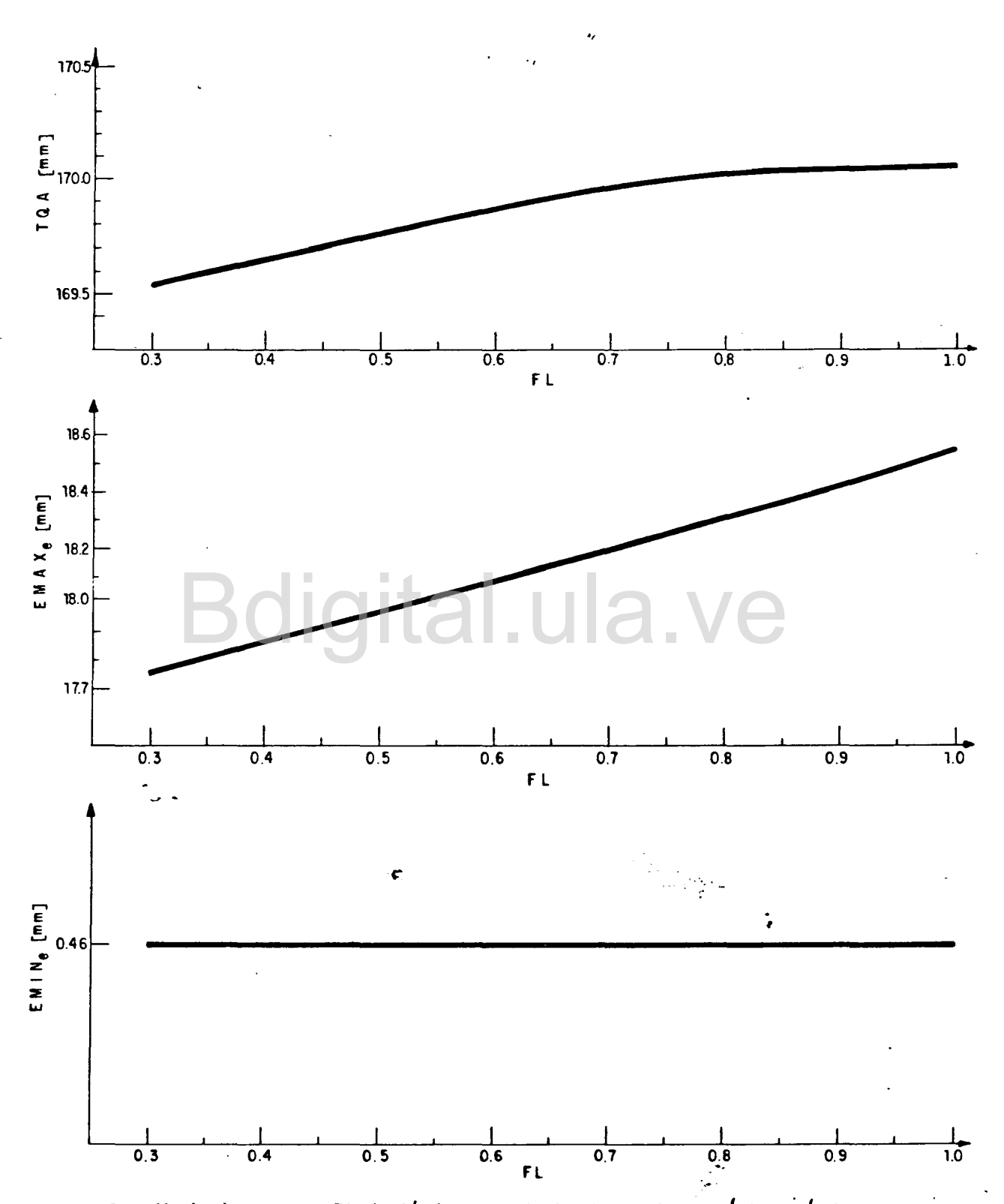


Figura 12.— Variaciones con FL de Jámina total simulada, de la máxima lámina simulada y de la Jámina mínima simulada

tir del cual la escorrentía total se estabiliza.

El valor máximo de la lámina diaria escurrida incrementa al aumentarse el valor de FL, se observa un ajuste a una recta cuya pendiente es 113.04%.

Las variaciones del parámetro FL no afectan la lámina mínima simulada.

Sensibilidad del modelo al parámetro FE

Tal como lo muestra la Figura 13 el valor total de la lámina escurrida disminuye a medida que incrementa el valor de FE. Se puede decir que los puntos ploteados se ajustan a una recta cuya pendiente es 8000 % hasta un punto a partir del cual el ajuste se hace con otra recta de pendiente igual a 6000 %.

La lámina máxima varía en el sentido inverso a FE ajustándose los pun tos ploteados a tramos de rectas cuyas pendientes son más suaves a medida que va incrementando el valor de FE.

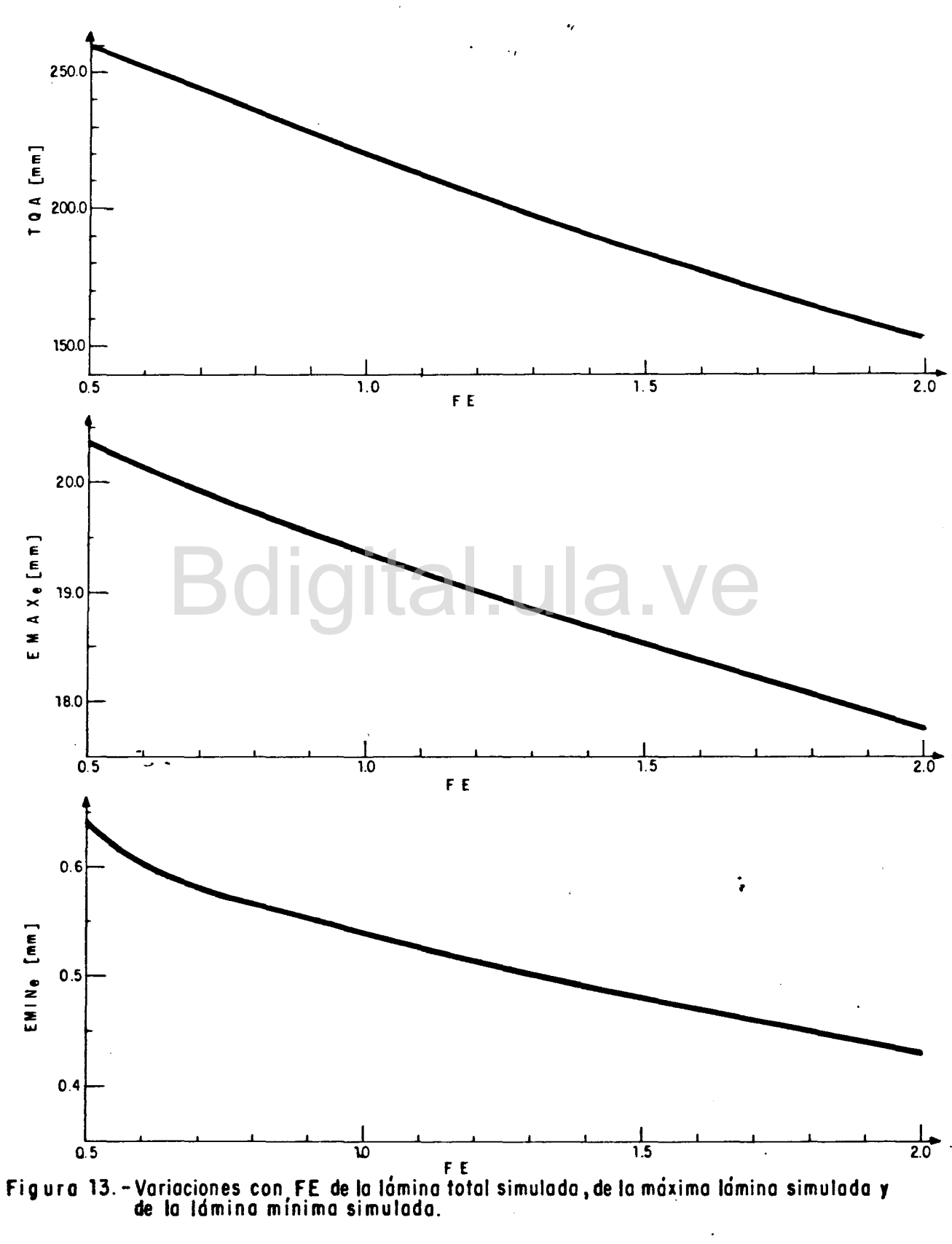
El valor mínimo de la lámina simulada disminuye cuando aumenta FE, y los puntos graficados se ajustan a una curva cóncava.

Sensibilidad del modelo al parámetro NX

La lámina total escurrida y el máximo valor de la lámina diaria varían en forma similar cuando aumenta el parámetro NX. Se observa un incremento rápido al principio, para después irse reduciendo el incremento relativo a medida que crece NX.

El comportamiento de la lámina mínima respecto a la variación de NX presenta bastante similitud; sin embargo, presenta una diferencia en vista de que tien de a estabilizarse en un valor.

Los resultados del análisis de sensibilidad para NX se encuentran graficados en la Figura 14.



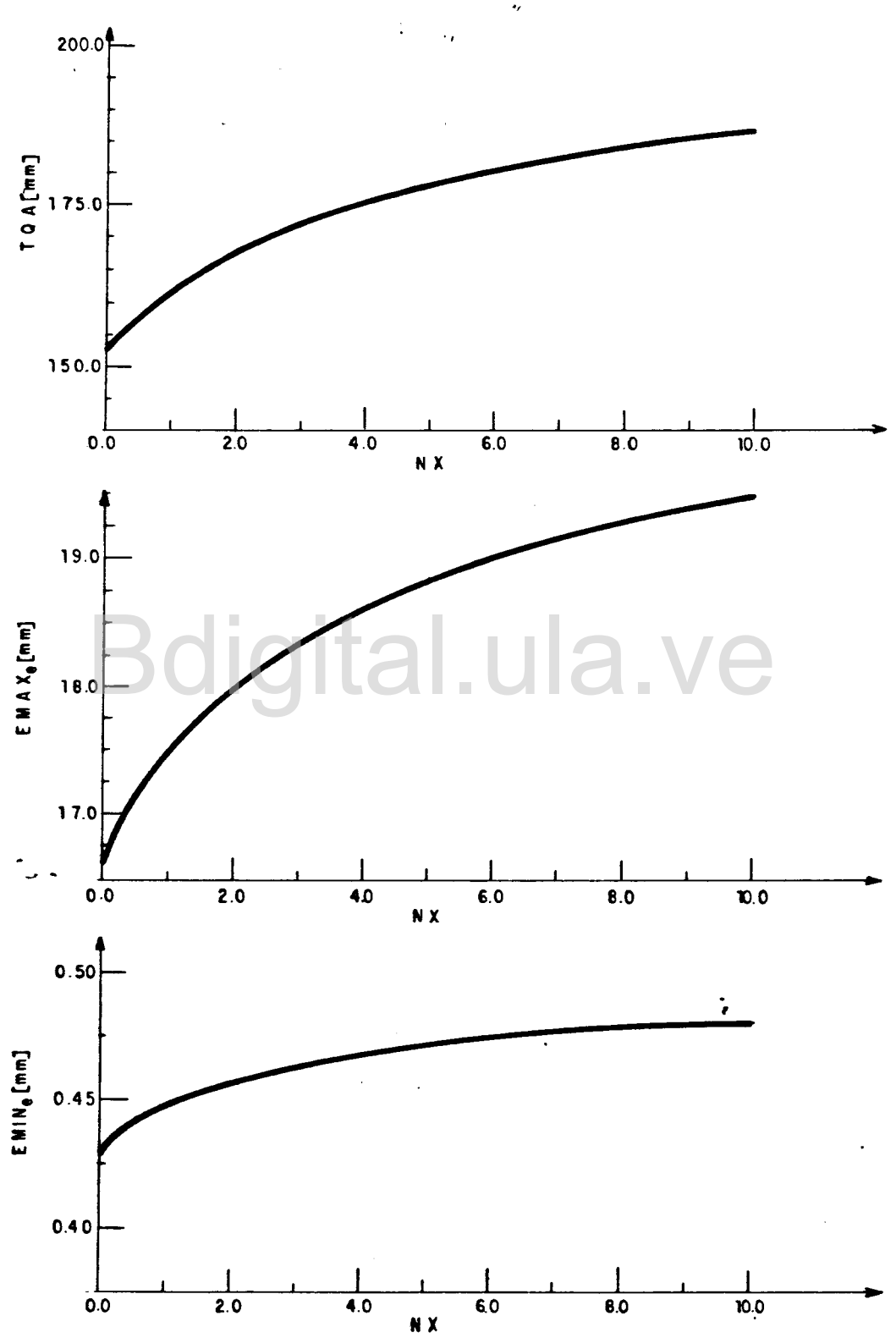


Figura 14.— Variaciones con NX de la lámina total simulada, de la máxi—
ma lámina simulada y de la lámina mínima símulada.

Sensibilidad del modelo al parámetro FD ..

De la Figura 15 se deduce que la cantidad total escurrida varía en el sentido inverso al parámetro FD, ajustándose los puntos ploteados a una curva. Cuando FD se aproxima al límite superior de su rango de variación, el valor de la lámina total tiende a un límite inferior.

Los puntos que representan la variación de la lámina máxima respecto al parámetro FD se ajustan a una recta con pendiente igual a 202.02%.

El valor mínimo de la lámina diaria simulada por el modelo varía en el mismo sentido que FD; una curva ajusta los puntos graficados.

Sensibilidad del modelo al parámetro FB

Según la Figura 16, se tiene que un incremento relativamente pequeño de FB produce al principio un brusco aumento del valor total escurrido. Esta variación se hace más moderada a medida que aumenta el valor de dicho parámetro.

El máximo valor de la escorrentía diaria varía en el mismo sentido que FB, ajustándose los puntos graficados a una recta cuya pendiente es 2000%.

La variación del mínimo valor de la lámina diaria escurrida respecto al parámetro FB presenta un máximo.

Sensibilidad del modelo al parámetro FSE

Para este parámetro, tal como lo muestra la Figura 17, se tiene que mientras crece su valor, disminuye la lámina total escurrida, el valor máximo de la lámina diaria y el valor mínimo del flujo base. La variación para la lámina total y la lámina mínima se hace de forma brusca para valores pequeños de FSE y menos brusca a medida que incrementa su valor. La variación del máximo, es para cualquier FSE, relativamente moderada.

99.

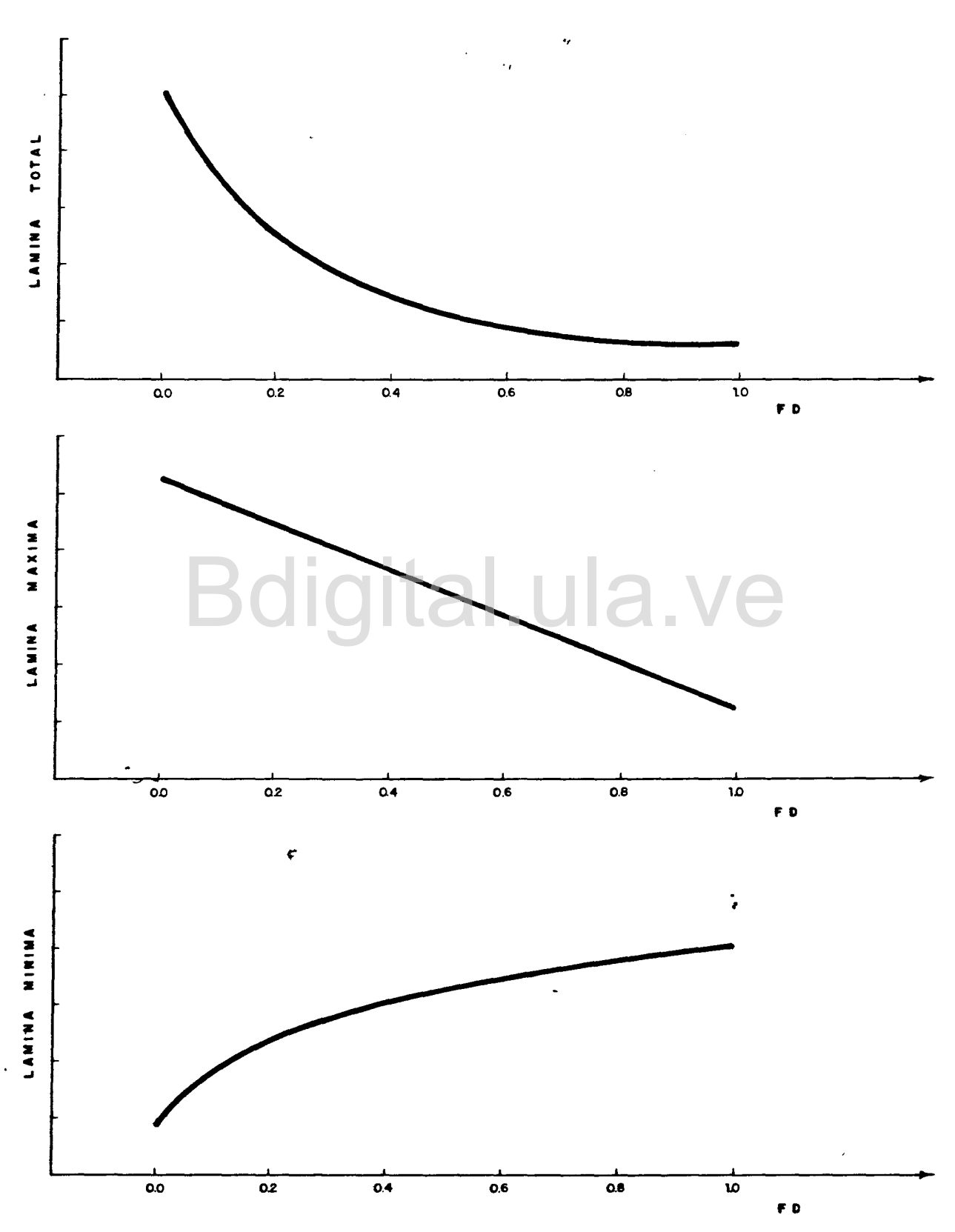


Figura 15. Variaciones con FD de la lámina total simulada, de la máxima lámina simulada y de la lámina mínima simulada.

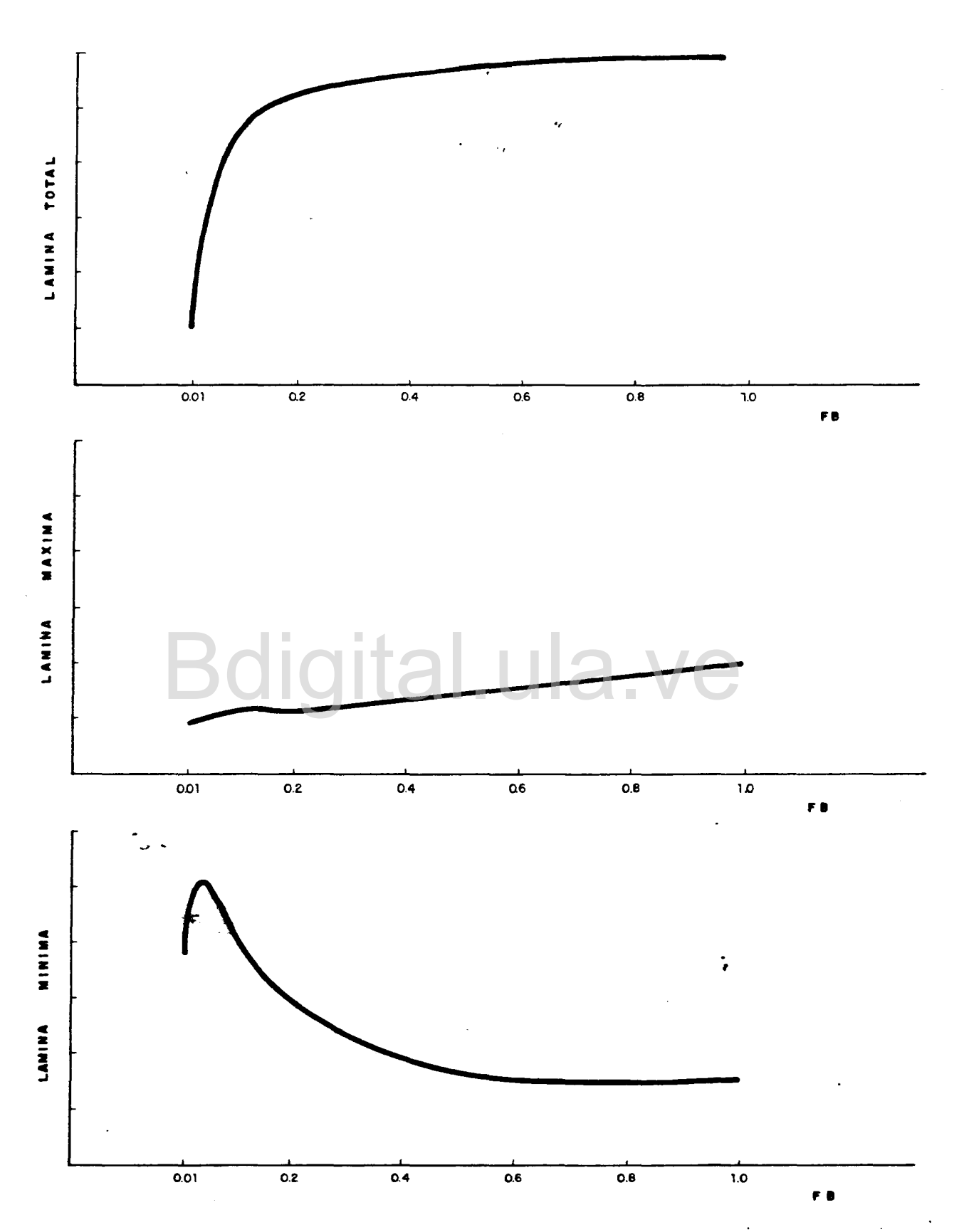


Figura 16. Variaciones con FB de la lámina total simulada, de la máxima lámina simulada y de la lámina mínima lámina simulada.

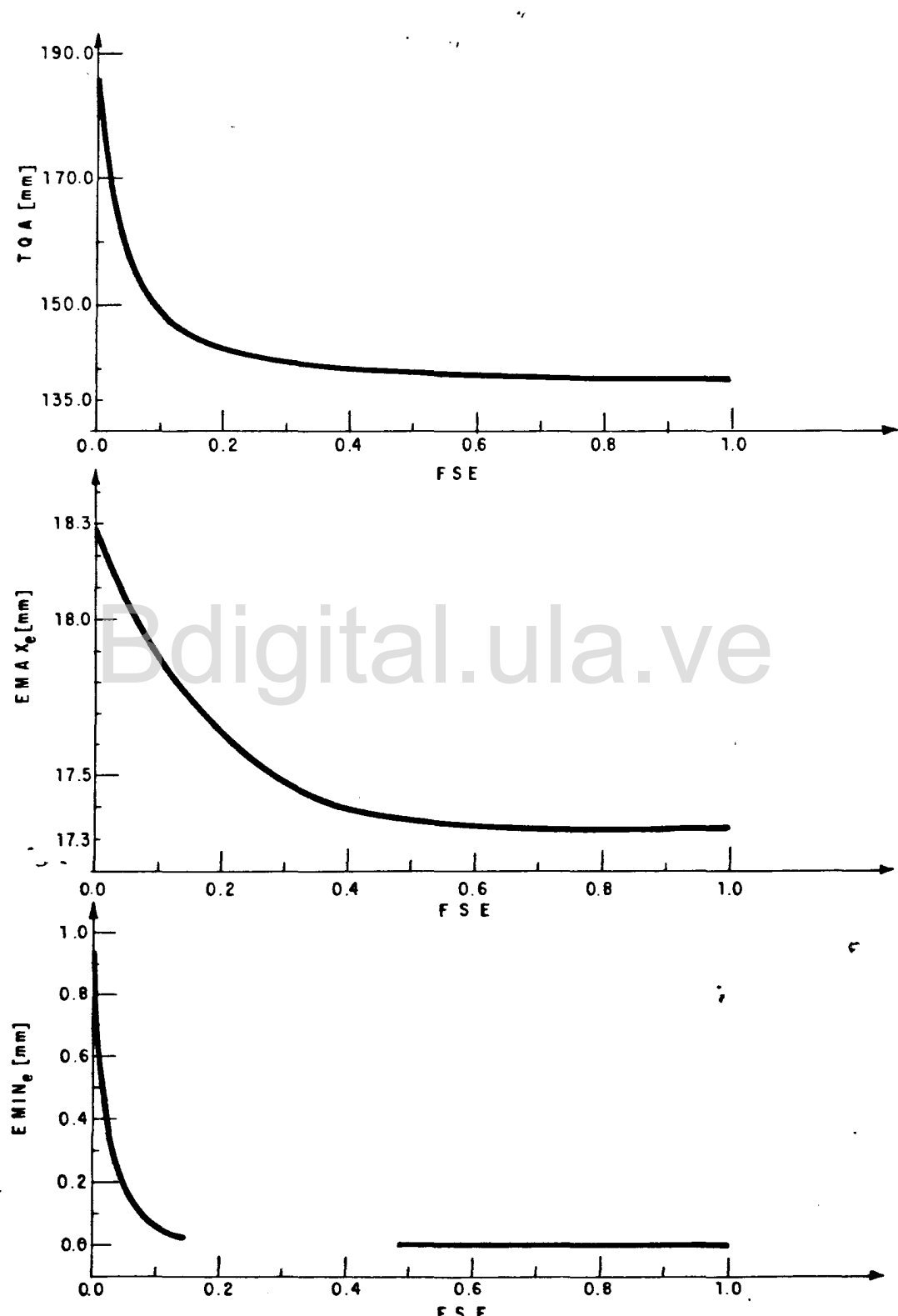


Figura 17. - Variaciones con FSE de la lámina total simulada, de la máxima lámina simulada y de la lámina mínima simulada.

CAPITULO X

REGIONALIZACION DE PARAMETROS

Generación en subcuencas

Una aplicación de interés del modelo es la posibilidad de estimar cau dales en un punto que no sea el punto de flujo correspondiente a la estación de hidrometría. Esto se lograría haciéndole pequeños cambios al programa de computación elaborado. Dichas modificaciones se harían con el objeto de asimilar la cuenca a un sistema de subcuencas y secuenciar entonces los cálculos por subcuenca. El programa debería contar con unos índices que identificasen los tributarios para cada subcuenca. Habiendo sido el modelo diseñado para cuencas cuyo tiempo de concentración es inferior a un día, se puede admitir como válida la hipótesis según la cual el agua que pasa por cualquier punto del río en un día llega a la salida de la cuenca en este mismo día. Entonces, es posible estimar el caudal diario de una subcuenca, sumando al caudal estimado para su área de drenaje, los estimados para sus tributarios.

Al calibrar el modelo para el área total, se contaría con una valiosa información consistiendo en caudales medios diarios estimados para todas las subcuencas.

Si la generación de registro en subcuencas es posible a partir de la calibración de la hoya de un río cuando sólo existe un punto de medición a la salida de ésta, es aún más factible si se dispone de varios puntos de flujo. En efecto, éstos se convierten en puntos de chequeo, reduciéndose la posibilidad de que los resultados de la calibración se aparten mucho de la realidad. En el caso de las subcuencas cuya salida coincide con un punto de medición de caudal, el interés ya no es la generación de registro de datos; en algunos casos, podría ser la estimación de los parámetros del modelo.

Generación en cuencas sin datos

Estimación de los parámetros

Siempre que haya una manera de estimar los parámetros de un modelo de simulación hidrológica, existe una herramienta útil para la planificación de los recursos ya que permite disponer de una información básica en cuencas sin registros de escorrentía.

El presente trabajo propone una metodología de tres etapas para la estimación de los parámetros del modelo de Rojas.

En la primera etapa, se estiman, para diferentes cuencas de Venezuela, valores de sus características fisiográficas. En base a las características de suelo y cobertura vegetal, se calculan algunas variables del modelo de Rojas que no son verdaderos parámetros y que pueden ser estimados sin que sea por calibración del modelo.

La segunda etapa es de calibración del modelo para las cuencas seleccionadas. Se llevó a cabo de acuerdo a la metodología expuesta en el Capítulo VII.

En la última etapa, se trata de correlacionar los parámetros estimados por calibración con los valores de los factores fisiográficos de las cuencas.

Características fisiográficas a estimar

Las características fisiográficas que se considera tienen mayor influencia sobre la escorrentía diaria y que se estiman para cada una de las cuencas elegidas son:

- El área, definida como la proyección horizontal de la superficie que contribuye con su escurrimiento superficial al cauce del río, considerada como un factor muy importante que influye la escorrentía.

- La <u>densidad de drenaje</u> que se define como la longitud de cauce por unidad de área. Es una medida lineal que permite comparar las características topográficas de dos cuencas. En general, a un valor menor de la densidad de drenaje corresponde una cuenca de relieves menores donde los materiales del suelo son, o muy resistentes, o altamente permeables.
- La pendiente media del terreno es definida como la longitud total de las curvas de nivel dentro de la cuenca multiplicado por el intervalo existente entre ellas y dividido por el área de la cuenca es una característica de gran importancia para el presente estudio ya que se espera pueda constituir un índice que defina la compleja relación entre la infiltración, el flujo subsuperficial, el flujo base y la escorrentía.
- La <u>pendiente del cauce</u> es otra característica fisiográfica que afecta la escorrentía total en cuanto a su distribución en el tiempo. Además in fluye en la contribución del agua infiltrada, sea en forma de flujo subsuper ficial o de flujo base, a la escorrentía superficial.
- La <u>longitud del colector principal</u> también es una característica f<u>i</u> siográfica que influye en la intersección de los flujos hipodérmico y/o subs<u>u</u> perficial \sim con el cauce.
- El <u>suelo</u> es un elemento importante que provee una información vali<u>o</u> sa en cuanto se considera uno de los factores que influyen sobre la respuesta de una cuenca a las entradas climáticas.

El presente estudio propone una herramienta para llegar a índices cuan tificados que definan al suelo de una cuenca y permitan obtener una correla - ción sin tener que recurrir a técnicas sofisticadas las cuales aceptan series expresadas de manera cualitativa. Para este propósito, se escogieron tres propiedades físicas relacionadas con la clase textural de un suelo, la rela - ción de arena, la densidad aparente y el contenido de humedad después de 24 horas de drenaje natural. Estas características fueron utilizadas por Rojas (1984a) con buenos resultados.

En la Tabla 11, aparecen los valores de la relación de arena, de la densidad aparente y del contenido de humedad después de 24 horas de drenaje natural para diferentes texturas. Se estimaron además, promedios para las clases hidrológicas.

- La <u>cobertura vegetal</u>, factor determinante de la capacidad de infiltración por ejemplo, puede constituir una información básica que permita in tuir una diferencia en el comportamiento hidrológico de dos cuencas con sue los parecidos. Al igual que el suelo, es difícil llegar a un valor cuantificado de la cobertura vegetal. Se clasificó la cobertura según su influencia sobre la infiltración y le fue asignado un número de orden que mientras mayor es, menor será la oportunidad de infiltración que ofrece.

La Tabla 12 muestra los valores del número de orden asignado a cada tipo de vegetación y para diferentes densidades de cobertura. Los cálculos del número de orden representativo para cada una de las cuencas se presentan tabulados en la Tabla 13.

En la Tabla 14 se muestra valores estimados de los factores fisiográficos de las cuencas seleccionadas para el estudio. En la Tabla 15 se muestran las interrelaciones esperadas entre los parámetros y los factores fisio gráficos.

A partir de las características fisiográficas, y de datos hidrológicos, se estimaron valores de la retención máxima, del punto de marchitez permanente, de la humedad inicial del suelo, del coeficiente de recesión del agua subterránea, del almacenamiento subterráneo inicial, de la capacidad máxima de infiltración y del valor inicial de dicha capacidad. La Tabla 16 es el resumen de los valores estimados de estas variables en base a los factores fisiográficos.

Tabla 11 Parámetros típicos de la textura del suelo. (Tomado de Rojas, 1984b)

				
Textura	Clase H.	RELA	DENSAP	CH24DN
Arena	A	7.33	1.62	0.6
Arena fina	A	4.88	1.64	6.5
Franco arenoso	В	1.63	1.55	17.9
Franco	В	1.04	1.26	38.2
Franco limeso	С	0.2	1.31	32.0
Franco arcillo arenoso	В	1.38	1.64	16.5
Franco arcilloso	В	0.98	1.34	28.4
Franco arcillo limoso	С	0.11	1.3	32.4
Arcillo arenoso	В	1.22	1.4	21.9
Arcillo limoso	D	0.111	1.3	32.1
Arcilloso	D	0.111	1.22	38.3
	Valores	promedios		clase Hi- ológica.
_	A	6.1	1.63	3•55
	В	1.2	1.44	24.8
	С	0.16	1.31	32-2
	D	0.11	1.26	35.2

NOTA: Las abreviaciones utilizadas en el cuadro se definen a continuación:

RELA : Relación de arena = Arena/(limo+arcilla)

DENSAP: Densidad aparente

CH22DN: Contenido de humedad después de 24 horas de drenaje natural

Tabla 12 Vegetación: Orden según su influencia sobre la infiltración. (Bas<u>a</u> do en el método del número de curva, Tabla 4)

Tipo de vegetación .	De ns i dad	N° orden
	Rala	5
Bosque	Regular	3
	Densa	1
Pasto de corte		2
	Rala	9
Pasto de pastoreo	Regular	6
	Densa	4
	Rala	8
Cultivos en hileras rectas	Densa	7
Rastrojo		10

A continuación, un cuadro resumen de los cálculos del orden promedio representantivo de toda la cuenca

Tabla 13 Cálculo del orden promedio para las cuencas analizadas

Orde	en p	rome	dio rep	rese	ntati	vo d	e una	cuen	ca: 1	/100	N ;∑1	Or _i	* Pi	•
Río	٠, ٠	0r ₁	P ₁	0rջ	P ₂	0r ₃	P ₃	Or4	P.u	0ṛ ₅	P _{'5}	Or ₆	P ₆	0r
Acequia		8	6%	33	40%	9	54%					·c	1	6.54
Azuero		3	23%	9	32%	7	42%							6,51
Burate		3	32%	5	25	6	43%					;		4.79
Canaguá		1	23%	5	77%									4.08
Guaraque		3	35%	5	65%									4.30
Las María	S													7.00
0spino		5	22%	8	72%	9	6 %				•			7.40
Torbes		3	24.5%	5	8%	9	51.6%	7	9.6%	sin	vege	tac.	6.3%	6.45
Tucupido		3	64%	5	31%	9	5%							3.92

Tabla 14 Valores de los factores fisiográficos de las cuencas

Río	Area cuenca km	Longi tud cauce km	Pendiente media cauce	Pendiente media cuenca	Dens. de renaje km/km	Cobert.	Suelo relarena D	o Dens.apar.
Acequia en Pte. La Acequia	478.0	42.00	5.71	67	0.6490	6.54	1.2000	1.4400
Azuero en Pte. Junín	371.0	35.00	2.50	36	0.8922	6.51	6.1000	1.6300
Burate en La Vega	125.0	14.10	8.00	oq Ji	1.1200	4.79	1.2000	1.4400
Canaguá en Canaguá (Mérida	129.0	15.0	3.00	e git	0.7830	4.08	6.1000	1,6300
Guaraque en Pte. El Salado	85.0	12.50	4.67	42	0.6000	4.80	1.2758	1.3906
Las Marías en Pte. Las Marías	325.0	47.20	1.47	26	0.5430	7.00	1.4450	1.4495
Ospino en Ospino La Estac.	95.0	19.00	4.92	33	0.5260	7.40	1.2000	1,4400
Torbes en Sabaneta	311.0	35.00	3.85	29	0.8040	6.45	6.1000	1.6300
Tucupido en Pte. Tucupido	440.0	99.00	4.76	/ e	0.7450	3.92	1.0474	1.4148

Tabla 15 Interrelación esperada. Factores fisiográficos - Parámetros

Car.fis.	Long. de	Pend.media	Car.fis. i Long. de Pend, media Pend, media Dens, de Cob. Suelo Area	Dens, de	Cop.	Suelo	Area
Parámet.	cance	caùce	cuenca	drenaje	veg		
RH			В			×	
S1					×	×	
Ħ	×	×	×	×		×	×
딘				×	×	×	×
××			9		×	×	
FD	×		×	×		×	×
FB	×			×		×	
FSE			3	×			

Tabla 16 Valores estimados de RM, WP, OH, OA, S1 y SCI en base a factores fisiográficos

Río	RM M	WP	OH FB	FB	0A	S1	108
Acequia	70.00-144.00	60.00	65.00	0.0231	100.0000	220.0000	190.0000
Azuero	70.00-144.00	35.00	40.00	0.0426	50.0000	185.0000	160.0000
Bura te	125.00-172.00	50.00	55.00	0.0180	225.0000	125.0000	100.0000
Canaguá	70.00-144.00	40.00	45.00	0.0114	85.0000	230.0000	210.0000
Guaraque	70.00-150.00	30.00	35.00	0.0273	100.0000	200,0000	190.0000
Las Marías	104.60-175.48	94.59	65.00	0.0191	15.0000	150.0000	120.0000
Ospino	100.40-171.74	62.34	65.00	0.0328	15.0000	149.1700	120.0000
Torbes	70.00-144.00	40.00	45.00	0.0164	85.0000	200.0000	170.0000
Tucupido	115.02-184.18	70.28	75.00	75.00 0.0735	5.0000	142.8700	140.0000

Calibración del modelo

Siguiendo las instrucciones expuestas en los Capítulos VII y IX se procedió a la calibración del modelo para las cuencas seleccionadas. Las correspondientes salidas, ploteo de valores medidos y estimados se encuentran en el Apéndice VI.

En la Tabla 17 aparecen los valores estimados de los parámetros del modelo para cada cuenca calibrada. La Tabla 18 expone a la vez los valores estimados de las características fisiográficas y los valores de parámetros resultando de la calibración.

Correlación, factores fisiográficos-parámetros

Como preparación a esta etapa se procedió a establecer interrelaciones entre los parámetros y las características fisiográficas de una cuenca.

41. WIG.

Mediante un programa desarrollado en el CIDIAT se escogió el modelo de regresión lineal a utilizarse o sea, se pudieron encontrar las series inde pendientes que permiten una mayor correlación con la serie dependiente considerada. Después, con el programa MULRE, se obtuvieron las ecuaciones de regresión lineal múltiple ligando un parámetro con una o más características fi siográficas.

Las ecuaciones, resultado del estudio de regionalización se presentan a continuación:

$$FD = -0.0188 * CLONG + 0.00354 * AREA - 0.0102 * RELA + 0.0339 * DENDRE$$
(10.3)

Tabla 17 Valores de los parámetros estimados por calibración

Río	RM	\$1	FI	FL	FE	XN	FD	FB	FSE	F P	
cequia	125.0000	245.0000	0.0287	0.6812	0.5000	0.2500	0.9000	0.0300	0.000.0	1.0062	
zuero	70.0000	185.0000	0.0110	0.3000	0.5000	4.1500	0.8750	0.0300	0.0500	0.8000	
urate	125.0000	100.0000	0.2000	0.9875	0.5000	10.0000	00000.0	0.0100	000000	1.2000	
anaguá	70.0000	230.0000	0.0475	0.3000	0.5000	5.0500	0.0813	0.0100	00000.0	1.2000	
uaraque	70.0000	200.0000	0.0350	0.3000	0.5000	10.0000 0.4063	0.4063	0.0200	0.000.0	0.8125	
as Marías	129.8655	150.0000	0.1125	0.3000	0.6750	0.0000	0.1500	0.0300	0.000.0	0.8000	
Spino	100,4000	170.0000	0.0688	0.3000	0.6813	0.0250	0.0250 0.1500	0.0400	0000.0	0.8000	٠,
orbes	70.0000	200.0000	0.0550	0.3000	0.5000	0.9500	0.1813 0.0238	0.0238	0000.0	0.9625	
[ucupido	158.3678	142.8700	42.8700 0.2188	0.3000	0.5000	1.4000	0.3625	1.4000 0.3625 0.0600 0.0000	0000.0	0.8125	

Tabla 18 Resumen de los valores de factores fisiográficos y parámetros de las cuencas

		i de s	The District		TOCOATO	١				VATOR	NATARE DE 100 DABANEMENDO PORTANAMO DOS DE 1800 PARAMONICA DE 1800 PAR	year accommand	DOG DOG	MOTORGETING			
RIO		5	CARACTERISTICAS	- 1	FISTOURAFICAS	2			7	VALOR	ES DE LOS FR	KAMETRUS ES	TIMMOS FOR	CALLBRACTON			•
	A P.E.A	LONGC	PCAU 1	DENDRE	SULLO RELA	LO DENSAP	COBVEG	RM	SI	Id	FL	स्ट	NX	FD	FD	FSE	FР
ACEGUIA en Pie. La Ace.	478.0	42.0	17.5	0.649	1.2	1.44	6.54	125,0000	245.0000	0.0287	0,6812	0.5000	0.2500	0.9000	0.0300	0.0000	1.0062
AZUBRO en Pte. Junin	371.0	35.0	2.50	0.8922	6.1	1.63	6.51	70,0000	185,0000	0.0100	0.3000	0.5000	4.1500	0.8750	0.0300	0.0500	0.8coc
BURATE en La Vega	125.0	15.0	8.00	8.00 1.1200	1.2	1.44	4.79	125.0000	100,0000	0.2000	0.9875	0.5000	10,0000	0.000	0,0100	00000	1.200
CANAGUA en Cnaguá Wérid	129.0	15.0	3.00	3.00 0.783	6.1	1.63	4.08	70.0000	230,0000	0.0475	00.3000	0.5000	5.0500	0.0813	0.0100	000000	7. 2000
GULRAÇUE en Pte, Saledo	85.0	12.5	4.67	4.67 0.6000	1.2758 1.3906	1.3906	4.30	70,000	200,0000	0.0350	00.3000	0.5000	10,0000	0.4063	0.0200	0.000	0.8125
LAS MARIAS en Pto. Las Ha-	.325.0	47.2	1.47	0.5430	1.4450	1.4495	7.00	129.8655	150.0000	0.1125	0.3000	0.6750	00000	0.1500	0.0300	0000000	0.800
OSPINO . en Ospino La Es	0.26	19.0	4.92	0.5260	1.2	1.44	7.40	. 100, 4000	170.0000	0 0688	0.3000	0.6813	0.0250	0.1500	00,000	0,000	0.5000
108323 en Sacaneta	311.0	35.0	3.85	0.8040	6.1	1.63	6.45	70.0000	200,0000	0°0550	0.3000	005*0	0°660	0.1813	0.0238	0,000	0.9525
TUCUPIDO en Pte. Tucupi-	440.0	999	4.76	0.745	1.0474	1.0474 1.4148	3.92	158.3678	142.8700	0,2188	0.3000	0.5000	1.4000	0.3625	0.0600	0000°0	0.8125

•

114

$$FB = 0.000762 \times CLONG - 0.00107 \times RELA + 0.0082 \times DENDRE$$
 (10.4)

$$FSE = -0.00542 * PCAU + 0.0000454 * RELA + 0.0396 * DENDRE$$
 (10.5)

$$S1 = 3.35 * RELA + 104.0 * DENSAP + 2.55 * COBVEG$$
 (10.6)

$$RM = -13.9 * RELA + 94.9 * DENSAP$$
 (10.7)

$$NX = 8.39 * DENSAP - 1.58 * COBVEG$$
 (10.8)

La Tabla 19 muestra los resultados del estudio de correlación: par<u>á</u> metro, coeficientes que multiplican cada característica fisiográfica, coeficiente de correlación y error porcentual.

Verificación y validez de la estructura de regionalización

Es una etapa complementaria de la calibración y regionalización que consiste en verificar si los valores de los parámetros calculados a partir del método de regionalización no difieren de manera significativa de los valores estimados por calibración de una determinada cuenca.

Con las ecuaciones de regresión lineal obtenidas en el estudio de regionalización, se estimaron valores de los parámetros del modelo para la cuenca del río Curvatí y se hizo una simulación con dichos valores. El resultado de esta simulación se puede apreciar en el Apéndice VII. De acuerdo a ello, se puede considerar aceptable la simulación, ya que, al comparar los hidrogramas simulado y medido, se pudo notar una semejanza con los resultados de las calibraciones anteriores.

Los valores de factores fisiográficos estimados para Curvatí son:

Area : AREA : 157.00 km

Longitud de cauce : CLONG : 42.10 km

Tabla 19 Resultados del estudio de regionalización de parámetros

O contract of the contract of	Coeficientes	ites que afປີເ	que afûctan las característ. fisiogr. en las ecuaciones	acteríst.	fisiogr.	en las ec	uaciones	טפני טב	
	CLONG	PCAU	AREA,	RELA	DENDRE	DENSAP	COBVEG	CORREL	ιω %
Ħ	0.00457	-0.007912	-0.000503	-0.0205	0.229			0.814	60.442
7	-0.00785	0.0982	0.00101	-0.009	0.285			0.776	
	-0.018		0.00344	0100	lic			969.0	70.804
FD	-0.018		0.00345	00/00.0-	-0.00603	m		969.0	70.440
	-0.0188		0.00354	-0.0102	0.0339			969.0	63.093
F8	0.000762			-0.00107	0.0082			0.705	29.877
		-0.000856		0.00318				0.513	,
FSE		-0.00547		0.0000454	0.0401 4 0.0396	0		0.586	
æ				17.7	2	94.9		-0.723	71.548
X					\/	8.39	-1.58	0.538	
SI		,		3.35		104.0	2.55	0.414	18.760

es el coeficiente de correlación obtenida con una ecuación dada es el promeduo del error porcentual para las 9 muestras CORREL.

Pendiente media del cauce : PCAU : 1.25 %

Densidad de drenaje : DENDRE: 0.8439

N° de orden de la cob. vegetal: COBVEG: 3.94

Relación de arena : RELA : 1.298

Densidad aparente : DENSAP: 1.4438

Los valores calculados para los parámetros se dan a continuación:

FI = 0.2702

FL = 1.3101 (se hizo igual a 1.0 ya que 0.3 < FL < 1.0)

FD = -0.2203 (se hizo iqual a 0.00 ya que 0,0 < FD < 1.0)

FB = 0.0376

FSE = 0.0267

ital.ula.ve

\$1 = 164.5505

NX = 5.8883

Considerando que la estación de precipitación está ubicada a la salida de la cuenca, se estimó para la simulación de la escorrentía diaria en la cuenca del Curvatí, un FP menor que 1.00 para reducir el error que se comete al asumir que la lluvia observada es representativa de toda 🕫 área. Esto se justifica por el hecho que, por lo general, la cantidadde lluvia es mayor en las zonas de menor altitud.

FP = 0.9

Por la posición de la estación de evaporimetría considerada, y por la cobertura vegetal de la cuenca, se estimó un factor FE parecido al obtenido por calibración del Tucupido.

FE = 0.50

CAPITULO XI

RESULTADOS, CONCLUSIONES Y RECOMENDACIONES

En este capítulo se comentan los resultados obtenidos de la simulación de la escorrentía diaria mediante el modelo de simulación paramétrica de Rojas, de la metodología desarrollada para estimación de valores iniciales y rango de variación de los parámetros y de la correlación parámetro- características fisiográficas. Se incluyen algunas conclusiones acerca de la bondad de dicho modelo, de la metodología para estimar valores de sus parámetros en ausencia de datos observados y de la validez de las ecuaciones de correlación obtenidas. - Por último, se hacen algunas recomendaciones sobre investigaciones posteriores que podrían mejorar los resultados obtenidos en el marco del presente trabajo.

Resultados

Este aparte presenta los resultados parciales o intermedios así como los resultados finales del trabajo.

Resultados parciales

Los logros de las diferentes etapas de la metodología propuesta por el presente trabajo constituyen los resultados intermedios que a continuación se enumeran:

- La traducción a FORTRAN e implementación del modelo de Rojas (1984a) en la computadora HP 1000 del CIDIAT y una adaptación con calibración automática asegurando la sistematización del proceso de calibración. Los listados y diagramas de flujos correspondientes se encuentran en los Apéndices I y II.
- Los resultados de la prueba de sensibilidad proporcionan una informa ción valiosa en cuanto a la influencia de las variaciones de cada parámetro so bre la respuesta del modelo. De acuerdo a ello, todos los parámetros tienen in fluencia sobre el pico estimado y la lámina total escurrida mientras que S1 y FL son los únicos parámetros cuyas variaciones no influyen el valor mínimo de

la lámina simulada. Mas detalles se pueden conseguir consultando el Capítulo IX de la tesis.

- Un procedimiento para llegar a índices cuantificados de la vegeta ción facilitando así el uso de la regresión lineal múltiple ya que permite obtener una serie numérica y no una estimación cualitativa de la cobertura vege tal de las cuencas analizadas. La Tabla 12 presenta el número de orden asignado a cada tipo de vegetación según su influencia sobre la infiltración: a mayor oportunidad de infiltración, número de orden menor.
- Un procedimiento para estimar los valores iniciales y rango de variación de los parámetros del modelo; importante logro del presente trabajo ya que el poder determinar el rango de variación de cada uno de los parámetros permite disponer a fin de cuenta de una información referente a los límites in ferior y superior de su amplitud, información de mucho interés en la regionalización. Los valores iniciales y rango de variación para RM, WP, OH, FB, OA, S1, SCI se presentan en la Tabla 16.
- El juego de parámetros de calibración correspondiente a cada cuenca. Esta información puede utilizarse para extender el registro existente en una cuenca cuando son disponibles los datos observados de la precipitación y de la evaporación para un mismo período. Los valores calibrados de los paráme tros se encuentran en la Tabla 17.

Resultado final

Combinando los logros de las etapas de la realización del trabajo, se llegó a una forma de expresar los parámetros del modelo de Rojas (1984a) en función de los factores fisiográficos de las cuencas o, por lo menos, se de-mostró que se puede hallar una correlación aceptable entre sus valores calibrados y los estimados de las características fisiográficas. Las ecuaciones (10.1) a (10.8) son el resultado del estudio de regionalización.

Conclusiones

Sobre los resultados

De la implementación del modelo

En el Capítulo VIII se encuentran expuestos los pormenores de la traducción a lenguaje FORTRAN del programa de computación, originalmente en BASIC, sustentando al modelo de simulación paramétrica de Rojas. Se elaboraron dos versiones, una para calibración manual, y la otra para calibración automática de los parámetros. Ambas versiones, implementadas en la computadora HP 1000 del CIDIAT, están sujetas a mejoría en cuanto se puede lograr una estructura que permita cargar el programa sin tener que recurrir a la memoria virtual, por ejemplo.

De la aplicación del modelo de Rojas

Simulación de la escorrentía. En el Apéndice VI se presentan los resultados de la etapa de calibración; son ploteos de los valores observados y simulados de la lámina escurrida diaria a la salida de las cuencas seleccionadas. Por lo general, se nota que el ajuste de la lámina diaria simulada con respecto a la observada es poco satisfactoria. Sin embargo, la estimación de la lámina total a la salida de las cuencas se considera bastante representativa ya que los valores estimados tan sólo difieren en un 16.5% de los valores medidos.

El ploteo de los valores estimados y observados de la lámina escurrida acusa una tendencia general que muestra un ajuste aceptable a nivel de los picos, no reproduciendo adecuadamente las pequeñas crecidas ocasionadas por precipitaciones de poca íntensidad. En las crecidas importantes, la escorrentía simulada produce picos del mismo orden que los observados; pero, en general, la rama decreciente del hidrograma simulado presenta valores sensiblemente mayores que los medidos.

Puede decirse que la simulación del caudal base no fue satisfactoria

en cuanto se logró poco ajuste entre láminas escurridas observadas y estima - das; en general, el hidrograma simulado se aparta bastante del medido en los períodos secos, resultando una desmejora de la calibración.

Es necesario hacer notar que los resultados obtenidos en las calibraciones no se deben considerar como los únicos y verdaderos, ya que están supe ditados al criterio de optimización o función objetivo y a los valores inicia les de los parámetros. Se puede afirmar, sin lugar a dudas, que el op optimo conseguido es en todo caso un óptimo local, es decir, que posiblemente se obtendrían otros resultados empezando el proceso de calibración con valores diferentes.

Análisis de sensibilidad. La prueba de sensibilidad realizada para el modelo modificado, arrojó los resultados que se encuentran gráficados en las Figuras 9 a 17 del Capítulo X. Todos los parámetros influyen sobre la lámina total escurrida y el valor del máximo pico, S1 y FL no tienen influencia en el flujo base.

El resultado del análisis de sensibilidad puede no ser concluyente ya que se trata de una sola aplicación del modelo. Sin embargo, es bastante representativo por haberse utilizado registros de valores medidos en una cuenca experimental cuya confiabilidad de las observaciones puede considerarse satisfactoria.

De la estimación de valores iniciales de los parámetros

El Capítulo VII describe la metodología desarrollada para la estima - ción de valores iniciales y rango de variación de los parámetros del modelo. Es de gran interés en cuanto permite la sistematización del proceso de cali - bración, proporcionando al modelo los valores alrededor de los cuales el algoritmo de automatización de la calibración busca, para cada parámetro, el valor que optimiza la función objetivo. Además, el desarrollo de dicha metodología es una importante etapa del estudio de regionalización de parámetros el cual permite simular la escorrentía diaria en cuencas sin datos hidrométricos observados.

De la información conseguida y de las hipótesis en su procesamiento

Por utilizarse una sola estación pluviométrica y una estación evaporimétrica en la aplicación del modelo realizada en este trabajo, debe conside rarse comprometida la efectividad de la calibración. En efecto, se corre el riesgo de que los datos medidos en estas estaciones no sean representativos de toda la cuenca y en tal caso, se obtiene un ajuste con valores errados, lo que repercute en la confiabilidad de los resultados.

Al analizarse los registros de precipitación y escorrentía consegui - dos para las cuencas calibradas, se pudo observar en varios casos, que en eventos de lluvia aislados no se nota una respuesta de la cuenca a la salida de la misma. De allí, un desmejoramiento de la calibración ya que los valores estimados de lamína escurrida se deducen directamente de la precipitación leída.

Por falta de tiempo y, sólo a efecto de ilustrar la metodología pre - sentada, se asumió que las estaciones de medición utilizadas son representativas de toda el área. Por éso, el presente estudio no permite concluir sobre la bondad del modelo utilizado. En efecto, por muy preciso que sea un modelo, es incapaz de vencer las limitaciones que le crean datos de entrada muy poco confiables.

La hipótesis acerca del tiempo de concentración de las cuencas escogi das resultó bastante cercana a la realidad por lo que no se nota un desfase sistemático entre los picos observados y estimados.

De las limitaciones del modelo

En la actualidad, el modelo sólo puede ser aplicado a cuencas sin importaciones y/o exportaciones desde o hacia cuencas vecinas.

El modelo no hace tránsito de los flujos componentes de la lámina total escurrida, sino que considera que salen todos al cauce y llegan a la sali da de la cuenca en menos de un día. Se presume que esto puede influir de ma-

nera apreciable sobre los resultados del modelo, ya que la variación de los aportes a la escorrentía total del flujo subsuperficial y aún más del flujo base ocurre lentamente a lo largo del tiempo, comparándolo con el caudal directo por ejemplo.

Del estudio de regionalización de parámetros

En cuanto a los resultados de la regionalización de parámetros, se pueden considerar válidos para las cuencas cuyas características de suelo, co bertura vegetal y fisiografía caen en el rango de los valores estimados para las cuencas utilizadas en el estudio.

Aunque los resultados no son del todo concluyentes, se ha podido de - mostrar que existe relación entre los parámetros del modelo y las características de las cuencas lo que lleva a pensar que si se obtienen mejores calibraciones, también se obtendrán mejores correlaciones.

Recomendaciones

Teniendo en cuenta las conclusiones anteriores se presentan las sisiguientes recomendaciones:

Para asegurar la representatividad de los datos

Hay varias formas de resolver este problema de las cuales dos se exponen a continuación:

- 1. Adaptar el programa de computación para poder considerar subáreas de influencia de estaciones pluviométricas y evaporimétricas, aplicando el modelo de simulación a cada subárea independientemente y considerando una secuencia de transferencia del agua de una a otra hasta llegar a la salida de la cuenca.
 - 2. Hacer un programa que permita estimar la lluvia promedio de auna

cuenca utilizando, a conveniencia, uno de los métodos citados en el Capítulo IV. En el Apéndice VI se presenta el listado del programa concebido a efecto de estimar la precipitación o la evaporación media de una cuenca hidrográfica en base a los datos observados en varias estaciones de la región y mediante el método de los polígonos de Thiesen.

Para mejorar el modelo de simulación

Se recomienda probar la simulación del flujo base mediante otras formulaciones matemáticas; se puede considerar por ejemplo una función exponen cial del almacenamiento subterráneo.

Para mejorar la calibración

El problema del mal ajuste del flujo base puede ser debido a la estimación del flujo base como un porcentaje del almacenamiento total de agua subterránea. De considerarse un umbral de dicho almacenamiento a partir del cual suceden los flujos subterráneos, podría reducirse el problema de la recesión rápida del agua subterránea.

Por otra parte, deberían investigarse otras formas de estimar el factor del flujo base, FB.

El retardo en la recesión de los picos puede ser debido a una sobre evaluación del flujo subsuperficial por lo que se recomienda investigar su formulación.

Para mejorar el algorítmo de optimización de parámetros

De la secuencia de cambio de los parámetros

Para llegar a la secuencia de parámetros que mejor resulta en el proceso de calibración automática, bien sea en lo referente al tiempo de computación requerido o al mejor juego de parámetros, se recomienda hacer un estudio

sistemático comparando los resultados de series de corridas cambiando el orden de los subíndices de los parámetros. No se puede asegurar que el orden
seguido para la realización del presente trabajo sea el mejor, ya que fue escogido arbitrariamente y que sólo se trató de respetar la secuencia de los fe
nómenos naturales. Sin embargo, ésto no le resta valor a la metodología propuesta, siendo consistente el estudio en cuanto se calibraron todas las cuencas con la misma secuencia de los parámetros a optimizarse.

De la función objetivo

Por otra parte, es muy importante hacer notar que la función objetivo tiene que ser elegida en función de los resultados que se desean en la calibración automática. Por ejemplo, será diferente, según se quiera ajustar la escorrentía directa o el caudal base. Ya que el algorítmo de optimización trata de mejorar la función objetivo, si no se considera una manera de dar más peso a la parte del hidrograma de mayor interés para el estudio no se está logrando el mejor juego de parámetros. El algorítmo busca siempre el mejor ajuste de los hidrogramas, pero siempre está supeditado a la función objetivo ya que no existe una solución única al problema.

ta función objetivo que usa Rojas para calibrar su modelo favorece los picos. En efecto, siendo una función del cuadrado de la diferencia entre valo res observado y estimado de la lámina escurrida, y siendo tan grande el rango de los picos comparado al rango del caudal base, una mejora del valor estimado para un pico influirá más la correspondiente mejora de la función objetivo . - Por consiguiente, se podría llegar a mejores resultados en la fase de calibración, escogiendo con más cuidado la función objetivo a usarse. Para conseguir lo, habría que seguir haciendo pruebas, considerando otras funciones en la calibración automática.

Sefe y Boughton (1982) presentan diez funciones diferentes. Se recomienda investigar los resultados de las calibraciones utilizando como función objetivo cada una de las cuatro funciones que se reportan a continuación y que se piensa, puedan mejorar el ajuste del flujo de estiaje.

 $FO_1 = (\Sigma[y_i - x_i]) / \Sigma y_i$

da igual peso a las diferencias y es adimensional.

 $FO_2 = \left[\Sigma \left(y_i - x_i \right) \right] / \Sigma y_i$

es adimensional y pesa igual las diferencias. Debido a los errores de compensación, esta función puede ser cero sin que se haya conseguido una buena calibración del modelo.

FO₃ = $\left[\left\{\Sigma\left(y_{i}^{\frac{1}{3}} - x_{i}^{\frac{1}{3}}\right)^{2}\right\}^{\frac{3}{2}}\right] / n^{\frac{1}{2}}\Sigma y_{i}$, cuyo objetivo es reducir los efectos de las grandes diferencias y de la longitud del registro; es adimensional.

FO₄ = $\Sigma[(y_i - x_i) / y_i)^2 / (n-1)]^{1/2}$

tiene los mismos propósitos que la función anterior, da mayor peso al residuo relativo de las escorren tías bajas.

Para completar el estudio de regionalización

Se recomienda reforzar los resultados del estudio y la validez de la estructura de regionalización, considerando mayor cantidad de cuencas en la correlación. En efecto, a mayor número de puntos, mayor confiabilidad en las ecuaciones de regresión obtenidas.

Para llegar a generalizar cualquier resultado, habría que deducirlo de trabajos realizados con muchas cuencas cubriendo toda la gama de valores que pueden tomar los factores fisiográficos.

BIBLIOGRAFIA

- Amisial, R.A. 1982. Disponibilidad de agua superficial. CIDIAT, Mérida, Venezuela.
- Amisial, R.A. y G. Uzcátegui B. 1970. Desarrollo y explotación de un modelo matemático del Sistema Hidrológico del Alto Apure en Venezuela. CIDIAT U.L.A. Venezuela. 27 p.
- ASAE. 1982. Hydrologic Modeling of small watersheds. St. Joseph, Michigan.
- Chow, Ven Te. 1964. Handbook of applied hydrology. Mac Graw Hill Book Co. New York.
- CIDIAT-CORPOANDES. 1971. Proyecto para el control y desarrollo de los recursos hidráulicos del Alto Apure. CIDIAT. Mérida, Venezuela.
- Crawford, N. H. and R.K. Linsley. 1966. Digital simulation in hydrology: Stanford Watrershed IV. Stanford University, Department of Civil Engineering, Tecnical Report N° 39. Stanford, California. 210 p.
- Custodio, Emilio y Ramón M. Llamas. 1976. Hidrología subterránea. Barcelona, Omega.
- Donigian, A.S., Jr., and N.H. Crawford. Modeling nonpoint from the land surface: Office of Pesearch and Development, U.S. Environmental Protection Agency, EPA-600/3-76-083, July, 1976.
- Duque, C. Roberto A. 1979. Modelo de simulación paramétrica Stanford IV. CIDIAT. Mérida, Venezuela.
- Duque, C. Roberto A. 1980a. Precipitación: formación, medición y análisis de datos.
- Duque, C. Roberto A. 1980b. Introducción a la simulación paramétrica de sistemas hidrológicos. CIDIAT. Mérida, Venezuela.
- Duque, C. Roberto A. 1981. Modelo de simulación hidrológica para la estima ción de la escorrentía a nivel mensual. CIDIAT. Mérida, Venezuela. 96 p.
- Fisher, Gary T., James E. Ayars, Heggie N. Holton and David L. Nelson. 1979. USDAHL-74 Model as a planning tool. ASAE Paper N° 77-4045.
- Fleming, G. 1975. Computer simulation technics in hydrology. Elsever. New York. 333 p.
- García, M. Eldon. 1975. Adaptación de un modelo de simulación con aplicación al cálculo del déficit agrícola. U.L.A. CIDIAT. Mérida, Venezuela.

- García, M. Martín. 1976. Estimación de escorrentía en cuencas pequeñas mediante un modelo de simulación hidrológica. Ministerio de Obras Públicas, Barquisimeto, Venezuela. 167 p.
- Haan, C.T. 1972. A water yield model for small watersheds. Water Resources Research 8(1), 58-69.
- Haan, C.T., H.P. Johnson, and D.L. Brakensiek. 1982. Hydrologic modeling of small watersheds. ASAE. St. Joseph, Michigan.
- Holtan, H.N., G.J. Stiltner, W.H. Henson, and N.C. López. 1975. USDAHL-74 Revised model of watershed hydrology. United States Department of Agriculture Technical Bulletin N° 1518, ARS, Beltsville, MD.
- HYDROCOMP. 1969. Hydrocomp simulation programing operations manual. Segunda Edición. Ministerio de Obras Públicas, Venezuela. 84 p.
- HYDROCOMP. 1977. Hydrocomp Water Quality Operations Manual, Hydrocomp Inc. Palo Alto, C.A.
- Israelsen, O.W. y Vaughn E. Hansen. 1965. Principios y aplicaciones del riego. Editorial Reverté. Barcelona, España. 396 p.
- Jensen, M.E. 1966. Empirical methods of estimating or predicting evapotranspiration using radiation. Conference on evapotranspiration and its role in water resources management proc. pp. 49-53. ASAE. St. Joseph, Mich.
- Linsley, R. K. Jr., M.A. Kohler y J.L.H. Paulhus. 1977. Hidrología para ingenieros. Mc Graw-Hill Latinoamericana, S.A. Bogotá, Colombia. 386 p.
- Liou, E.Y. 1970. OPSET: Program for computerized selection of watershed parameters values for the Stanford Watershed Model. Water Research Report 34, Water Resources Institute, University of Kentucky, Lexington, K.Y.
- Medina, J. y J. López. 1981. Aprovechamiento de las aguas superficiales en el estado: Táchira. CIDIAT-ULA. Mérida.
- Mustonen, S.W. and J.L. Mc Guiness. 1968. Estimating evapotranspiration in a humid region. U.S. Department of Agriculture Technical Bulletin. 1289, 123 p.
- Overton, D.E. and M.E. Meadows. 1976. Stormwater modeling. Academic Press.
- Payen, Jean. 1983. Un modelo sencillo de simulación de las escorrentías mensuales en cuencas pequeñas. CIDIAT. Mérida, Venezuela.
- Posewitz, Guido. 1968. Estimación del rendimiento medio anual. En: manual de estudios preliminares para el aprovechamiento integral de cuencas hidrográficas, Cap. II, Parte 2, DOH., MOP. Venezuela.
- Pruitt, W.O. 1966. Empirical method of estimating evapotranspiration using primarly evaporation pans. Conference on evapotranspiration an its role in water resources management, pp. 57-61, ASAE. St. Joseph, Mich.

- Roche, M. 1970. Les divers types de modeles deterministes. Cahiers ORSTOM, serie hydrologie 7(4): 39-66.
- Rojas, Rafael M. 1979. Hidrología de tierras agrícolas. CIDIAT. Mérida, Venezuela. 109 p.
- Rojas, Rafael M. 1984a. Un modelo hidrológico para estimación de caudales diarios en pequeñas cuencas. CIDIAT (en preparación). Mérida, Venezuela.
- Rojas, Rafael M. y L,S, Wiliamson. 1984b. Estimation of the Allowable Flooding time for surface drainage design. 12 th International Irrigation and Drainage Congress. Fort Collins, Co. USA.
- Rojas, Rafael. 1984c. Conversaciones personales (Febrero-Agosto)
- Sefe, F.T. and W.C. Boughton. 1982. Variation of model parameter values and sensivity with type of objective function. Journal of Hydrology (N.Z.) 21: 117-132.
- Soil Survey Staff. 1951. Soil Survey Manual. US. Department Agriculture Handbook 18.
- TRANARG, C.A. 19 . Planificación preliminar de las cuencas altas de los ríos Quinimarí, Torbes, Grita, Lobaterita y Táchira, Estado Táchira.
- U.S. Soil Conservation Service, 1972. "SCS National Enginnering Handbook". Sec. 4

APENDICE I-A

Programa elaborado para la calibración manual de Keroj

```
### FILES(#,3)

3 *FILES(#,3)

3 *EMA /CI/

PPYCOAM VEROI

CMAPACTER *6 OTITULD

CMAPACTER *6 NOTINAR**3, CALI*6, IRES*2, LARE*2

CCACA /CIV MOISSA, EVOISSA, MADIGASA) **RDNIASAN, NDTOT

CCACA /CIV MOISSA, EVOISSA, MADIGASA) **RDNIASAN, NDTOT

CCACA /CIV MOISSA, SATAT, GRISST) **GETISTAN, ESCACH, TICSCA, CALIFORMAN, COLAR MADISTAN, MADIGA, SA, CALIFORMAN, PA, ETA, TGA, HGA, RGA, PAC, BAL, SUM, GRK, PKGR,

COMPAN, COA, NGA(10) **NDM(120) **ND(12)

CCACAN /COA, NGA(10) **NDM(120) **ND(120)

CCACAN /COA, NGA(10) **NDM(120) **ND(120)

CCACAN /COA, NGA(10) **ND(120) **ND(120
   AKERCJ T=00003 IS ON CR30016 USING 00024 PLKS R=0000
                                                                                        LCPR=35

PEAD(1,'(A6)') NOHI $ GPEN(LCRD,FILE=NCHI,STATUS='OLD')

LCPT=1

LTMP=1

WEITE(1,'("TAR UNIDAD DE SALIPA")')

READ(1 *) I'M*

PEAD(1 *) I'M*

PEAD(1 *) SALI

CPEX:141 FILE=SALI,STATUS='NEY')

WRITE((LERT,62)

WRITE(LERT,62)
 345647899112745557899129744444445679781755555555555555789817274555778
                                                                             PO 2 I=1 50
CC(I)=105000.00
2 CONTINUE
                                                                                             INTICATOR DE UNIDADES DEL ARPEGLO DE VALCRES
CRESTO-100 DEL CAUTA...

PERO(LORT, *) IUNIT
                                            0000 00
                                                                                            SELEE IMPORMACION GENERAL DE LA CUENCA
PEAD (CRO 31) TITULO
PEED(CRO 31) DIAT MEST, ANCI, DIAF, MESF, ANGE
READ (CRO 32) ST, AREA
                                              ,00000
                                                                                          SE CALCULAN : EL NUMERO DE AMOS DE REGISTRO, EL MUMERO DE MESES, EL MUMERO DE DIAS DE CADA MES Y EL MUMERO TOTAL DE DIAS.
                                                                                        CALL CALCID
MRITE(LIRT,55) HESE,AMBE,NDM(NHES),NDA(NAND),MDTOT
                                              ניני
                                                                                             SP LEEN PARAMETROS DE CALIBRACION
                                                                   WRITE(1681.4)
PEFDICET, 4) FE,FB,FI,S3,MX,FD,FL,FSE.04,9H,S1,RM,MP,FP,SCI
IMS.0=0
M=2
CAL SIGNI(N)
60 PRITE(1691.29)
READ(1081,22) INT
                                              נונינו
                                                                                             INT DEFINE LA OPCION DE PEPRESENTACION DE RESULTADOS;
PUEDE SER IGUAL À 2 SIEMPRE Y CUANDO NOTET ES HENGR QUE 120.
                                                                 | FOR THE SEA SHEAP A 2 SIEMP RE Y CL

| IF (147, EQ. 4) GO TO 70

| J= 147-2

| J= 147-2
```

```
ELSE

M-2

CALL ETCADI(N)

GOTO 50

93 ESTITE

ELSTE, EST, 100 TPES

ITCLESS, EST, 100') GO TO 70

PO 209 N-2, (NI+1)

NIE-1-1

CC(1)=CC

ITC(NPRO NE, 'FP') GO TO 148

FP-VI-('N-1)) GO TO 290

FP-VI-('N-1)) GO TO 290

FP-VI-('N-1)) GO TO 150

SCI=VI-(NCH)

CALL SICADI(N)

ITCN (EQ.2) FF-FP-DX

97 TO 100

SCI=VI-(NCH)

CALL SICADI(N)

IFCC (IT. C(N-1)) GO TO 290

SCI=VI-(NCH)

CALL SICADI(N)

IFC (EQ.2) SCI=CI-DX

GO TO 300

IST ICCN (MARK NE, 'FF') GO TO 160

FE-VI-('N-1) DX

IST ICCN (MARK NE, 'FF') GO TO 170

FF-VI-('N-1) DX

IST ICCN (MARK NE, 'FF') GO TO 170

FF-VI-('N-1) DX

IST ICCN (MARK NE, 'FF') GO TO 170

FF-VI-('N-1) DX

IST ICCN (MARK NE, 'FF') GO TO 180

FF-VI-('N-1) DX

IST ICCN (MARK NE, 'FF') GO TO 180

FF-VI-('N-1) DX

IST ICCN (MARK NE, 'FF') GO TO 180

FF-VI-('N-1) DX

IST ICCN (MARK NE, 'FF') GO TO 180

FF-VI-('N-1) DX

IST ICCN (MARK NE, 'FF') GO TO 180

FF-VI-('N-1) DX

IST ICCN (MARK NE, 'FF') GO TO 190

SCI-UT (TO 100 MARK NE)

FF-VI-('N-1) DX

IST ICCN (MARK NE, 'FF') GO TO 190

SCI-UT (TO 100 MARK NE)

FF-VI-('N-1) DX

IST ICCN (MARK NE, 'FF') GO TO 190

SCI-UT (TO 100 MARK NE)

FF-VI-('N-1) DX

IST ICCN (MARK NE, 'FF') GO TO 190

SCI-UT (TO 100 MARK NE)

FF-VI-('N-1) DX

IST ICCN (MARK NE, 'FF') GO TO 190

SCI-UT (TO 100 MARK NE)

FF-VI-('N-1) DX

IST ICCN (MARK NE, 'FF') GO TO 190

SCI-UT (TO 100 MARK NE)

FF-VI-('N-1) DX

IST ICCN (MARK NE, 'FF') GO TO 190

SCI-UT (MARK NE, 'FF') GO
  0079
    9489
  0071
0071
0073
  9348
994
994
994
01015678998
01015678998
  0111
0113
0114
0115
0116
0116
    0119
6120
6121
0122
                                                                              F[=V]+'(+-1)*EX)

IF (N EQ. 2) FI=FI-DX

GO 10 300

190 FE MOLR AE '52') GO TO 190

$32*(1+(0+1))

CALL CICAPI(N)

IF (CC LT.(C)+1)) GO TO 290

$3=07*((N-1)*EX)

IF (N EQ. 2) S3=S3-DX

CO 10 360
  011122799
011122799
                                                                         IF(W EQ 2) S3-S3-DX
GO TO 301

193 IF(WPS WE 'MX') GO TO 200
NEWLY (35-0)
CALL SIG-DI'N)
IF(CCI, 17.CC (+1)) GO TO 279
MX=U+(74-1)-0X
TF W EQ 2) NX-X-DX
GO TO 303

200 IF(W-SF NEW 'FD') GO TO 210
FF (FI+FD-I).GT.1.) THEN
FD-(1.-FI)/FI
END IF
CALL SIG-DI(N)
IF(CCI LT.CC'N-1)) GO TO 290
FD-VI-((N-1)-0X)
IF(M_EQ 2) FD-FD-DX
    0130
  0131
0132
0134
    0:35
0:35
0:37
0:38
  8137
0141
0142
  0143
0144
0145
0147
                                                                              4455145514558
4455145514558
```

```
FSE=(1,-FB)/FB
END IF
CALL SICADI(N)
IF:(C1LLT.CC'N-1)) GO TO 290
FSE=VI+(N-1+DK)
IF:N EQ. 2) FSE=FSE-DX
CO TO 3:(0)

230 IF:(MPAR. VE. 'OA') GO TO 248

OA=VI+(DK-N)
CALL SICADI(N)
IF:(NEQ. 2) CA=DA-DX
CO TO 3:09

240 IF:(MFAR NE. 'OH') GO TO 250
OA=VI+(N-1)*DX)
IF:(N EQ. 2) CA=DA-DX
CO TO 3:09
CALL SICADI(N)
IF:(C1LT.CC'N-1)) GO TO 290
OA=VI+(N-1)*DX)
IF:(MEQ. 2) DA=OH-DX
CO TO 3:09
250 IF:(MPAR NE. 'OH') GO TO 260
S1=VI+(DK-N)
CALL SICADI(N)
IF:(C1LT.CC'N-1)) GO TO 290
S1=VI+(N-1)*DX)
IF:(M-1)*DX)
IF:(M-1)*DX)
IF:(M-1)*DX
IF:(
    0160
0151
0152
    0163
0164
0165
279 TO 306 (N) THEN

WP=U!+(D(*W))

IF CCL SICAL(N)

IF CCL SICAL(N)

IF CCL SICAL(N)

IF (N ES 2) WP=WP-DX

ED 17

200 CCNTINUE

TO 17

CCNTINUE

TO 50

WE SICAL(N)

END IF

CO 10 S0

WE SICAL(N)

END IF

SO TO 50

WITE(LIAP) B4)

WRITE(LIAP) B6) 9DA, 9SA, 9IA, ETA, HQA, TQA, QPK,

WPTTE(LIAP) P6)

WP TE (LIAP) P6

WP TE (LIAP) P6)

WP TE (LIAP) P6

WP
1112345478
1112345478
1112345478
2222455-5-7-39-9-0 CCC
                                                                                                                                                                                                                                          WPITE(IMP,05) RM,S1,WP,FI,FD,FP,FB

UPITE(IMP,02) RM,S1,WP,FI,FD,FP,FB

UPITE(IMP,02) FL,MX,FE,OH,OA,S3,FSE,SCI

CALL PLOTED
                                                                                                                                                                                                                                                   10 FOPMAT(SX, "CD(1)=",F11.4)
14 FOPMAT(SX, "INDIGUENEL VALOR DE LOS SIGUIENTES",/,
20, "10, FE",/,2X, "42, FR",/,2X, "3), FI",/,2X, "4), SI",/,2X, "4), SI",/,2X, "4), SI",/,2X, "8), FSE",/,2X, "5), NX",/,2X, "5), FSE",/,2X, "7), FL",/,2X, "8), FSE",/,2X, "8), FSE",//,2X, "8), FSE",///,2X, "8), FSE",//////////
```

٠.

```
* 2X, "9) DA* // 2X, "10) DH* // 2X, "11) S1* // 2X, "12) RM* //,

* 2X, "17) WP* // 2X "14) FP* // 2X, "15) S1* //

20 FORMAT(2X; "DESEA DEPRESENTATION TE RESULTADOS ?* //,

* 2X, "2= PANTALLA CON GENERO */

* 2X, "3= SALIVA FOR THERESERA* //,

* 2X, "4= NO* /

22 FORMAT(2X)

25 FORMAT(2X)

26 FORMAT(2X) DESEA CAMPIAR ALGUM PAFAMETRO ? (SI/NO)*)

27 FORMAT(2X)

30 FORMAT(3X, "ESCPIPA: PAFAMETRO* /

* 2X, "MALOR INICIAL / INCREMENTO , NUMERO DE ITERACIONES*)

40 FORMAT(2X, "IDDO CORRECTO ? (SI/NO)*)

41 FORMAT(2X, "IDDO CORRECTO ? (SI/NO)*)

42 FORMAT(2X, "IDDO CORRECTO ? (SI/NO)*)
   0240
0241
0242
34456789012334
244444789555534
255522232334
255523232334
                                                                                                                                    41 COMP. 151.19.
42 FORMATICES.3, FIG. 2)
45 FORMATICES.3, FIG. 2)
45 FORMATICES.3, FIG. 2)
55 FORMATICES.3, FIG. 2)
52 FORMATICES.3, FIG. 2)
62 FORMATICES.3, FIG. 2, ALLER BE IUMIT. / ,

* 2x, "= CA.DAL EN M*AZ EGG, / ,

* 2x, "= CA.DAL EN M*AZ EGG, / ,

* 2x, "= CA.DAL EN M*AZ EGG, / ,

* 2x, "= CA.DAL EN M*AZ EGG, / ,

* 2x, "= CA.DAL EN M*AZ EGG, / ,

* "FORMATICES.3, ALLER BE ILEN J. / ,

* "FORMATICES.3, ALLER BE INTERPRETABLE BE ITERACIONES.",

* "FORMATICES.3, "CLADED RÉSUPEN / / )

86 FORMATICES.3, "CLADED RÉSUPEN / / ,

* "FORMATICES.3, "FORMATICES.3, ALLER BE ILEN J. ,

* "FORMATICES.3, "FORMATICES.3, " / ,

* "FORMATICES.3, "FORMATICES.3, " / ,

* "FORMATICES.3, "FORMATICES.3, " ,

* "FORMATICE
### PACHATY CALCUL

CHARACTER #50 TITULO

COMPANION TO THE FACTOR OF THE FORMAT OF THE
0291
0290
0293
0294
0294
0296
0296
0296
0296
                                                                                                                                                                  MO101=1

MA=ANDI

JA=1

WPITE(IMP J9) NA, JA

DO J7 JJ=1, NMES

ND(IM)=31

R=MA/A,

P1=MT(P)

IF(R.EQ.RI) THEN

IF(IM.EQ.2) ND(IM)=29

ELSE

IF(IM.EQ.2) ND(IM)=28

DO IF

IF(IM.EQ.4.OR.IM.EQ.6.OR.IM.EQ.9.OP.IM.EQ.11) ND(IM)=39

NDM(JJ=MO(IM)

NDM(JJ=MO(IM)

PITE(JJ.Q.1) NDM(JJ)=NDM(JJ)-DIAI+1

**F(JJ.EQ.4.OR.IM.EQ.6.OR.IM.EQ.1) THEN

NDM(JJ=MO(IM)

PITE(JJ.Q.1) NDM(JJ)=DIAI+1

**F(JJ.EQ.4.OR.IM.EQ.1) THEN

NDM(JA)=NDM(JJ)

NDM(JA)=NDM(JJ)
0299
0300
0301
0312
0303
0304
0304
0305
0307
   0319
0313
0313
0314
   0315
```

```
ELSE
NDALIA:=NDA(JA)+NIM(JJ)
END IF
INSIM+1
IF/IM.LE.12) SO TO 37
WRITE(IMP,51) NDA/JA)
IM=1
JA=1A+1
      0.000 0.000 0.000 0.000 0.000 0.000 0.000 0.000 0.000 0.000 0.000 0.000 0.000 0.000 0.000 0.000 0.000 0.000 0.000 0.000 0.000 0.000 0.000 0.000 0.000 0.000 0.000 0.000 0.000 0.000 0.000 0.000 0.000 0.000 0.000 0.000 0.000 0.000 0.000 0.000 0.000 0.000 0.000 0.000 0.000 0.000 0.000 0.000 0.000 0.000 0.000 0.000 0.000 0.000 0.000 0.000 0.000 0.000 0.000 0.000 0.000 0.000 0.000 0.000 0.000 0.000 0.000 0.000 0.000 0.000 0.000 0.000 0.000 0.000 0.000 0.000 0.000 0.000 0.000 0.000 0.000 0.000 0.000 0.000 0.000 0.000 0.000 0.000 0.000 0.000 0.000 0.000 0.000 0.000 0.000 0.000 0.000 0.000 0.000 0.000 0.000 0.000 0.000 0.000 0.000 0.000 0.000 0.000 0.000 0.000 0.000 0.000 0.000 0.000 0.000 0.000 0.000 0.000 0.000 0.000 0.000 0.000 0.000 0.000 0.000 0.000 0.000 0.000 0.000 0.000 0.000 0.000 0.000 0.000 0.000 0.000 0.000 0.000 0.000 0.000 0.000 0.000 0.000 0.000 0.000 0.000 0.000 0.000 0.000 0.000 0.000 0.000 0.000 0.000 0.000 0.000 0.000 0.000 0.000 0.000 0.000 0.000 0.000 0.000 0.000 0.000 0.000 0.000 0.000 0.000 0.000 0.000 0.000 0.000 0.000 0.000 0.000 0.000 0.000 0.000 0.000 0.000 0.000 0.000 0.000 0.000 0.000 0.000 0.000 0.000 0.000 0.000 0.000 0.000 0.000 0.000 0.000 0.000 0.000 0.000 0.000 0.000 0.000 0.000 0.000 0.000 0.000 0.000 0.000 0.000 0.000 0.000 0.000 0.000 0.000 0.000 0.000 0.000 0.000 0.000 0.000 0.000 0.000 0.000 0.000 0.000 0.000 0.000 0.000 0.000 0.000 0.000 0.000 0.000 0.000 0.000 0.000 0.000 0.000 0.000 0.000 0.000 0.000 0.000 0.000 0.000 0.000 0.000 0.000 0.000 0.000 0.000 0.000 0.000 0.000 0.000 0.000 0.000 0.000 0.000 0.000 0.000 0.000 0.000 0.000 0.000 0.000 0.000 0.000 0.000 0.000 0.000 0.000 0.000 0.000 0.000 0.000 0.000 0.000 0.000 0.000 0.000 0.000 0.000 0.000 0.000 0.000 0.000 0.000 0.000 0.000 0.000 0.000 0.000 0.000 0.000 0.000 0.000 0.000 0.000 0.000 0.000 0.000 0.000 0.000 0.000 0.000 0.000 0.000 0.000 0.000 0.000 0.000 0.000 0.000 0.000 0.000 0.000 0.000 0.000 0.000 0.000 0.000 0.000 0.000 0.000 0.000 0.000 0.000 0.000 0.000 0.000 0.000 0.000 0.000 0.000 0.000 0.000 0.000 0.000 0.000 
                                                                                                                                JA=:8+1
NA=:48+1
IF: JA: CT NA=NO: CO IO 37
WITE: I-P.677 MA, JA
37 CONTINE:
WEITE: IMP. 202: NIA: NA=NO:
WRITE: (IMP. 332.) NDTO!
      0331
0332
0333
0334
03234
03334
03335
03336
03338
                                                                                                                                                                   ##############FORMATOS#############
                                                                                                                   12 F05#AT(/2X, 12 4X, 16)
36 F05#AT(27, NAMO=", 111)
38 F05#AT(/2X, "NHES=", 111)
39 F05#AT(/2X, "NHES=", 111)
51 F05#AT(/2X, "NHA(1A)=", 15)
67 F05#AT(/2X, "NHA(1A)=", 16)
28 F09#AT(/2X, "NDTOT=", 110)
132 FCRMAT(/2X, "NDTOT=", 110)
                                                                     50151545
0015155567
0015150
0015150
0015150
   0759
                                                                                                        134567.890 10374.7679
14567.857.777.779
1567.857.777.779
1577.779
1577.799
1577.799
1577.799
1577.799
1577.799
1577.799
1577.799
1577.799
1577.799
1577.799
1577.799
1577.799
1577.799
1577.799
1577.799
1577.799
1577.799
1577.799
1577.799
1577.799
1577.799
1577.799
1577.799
1577.799
1577.799
1577.799
1577.799
1577.799
1577.799
1577.799
1577.799
1577.799
1577.799
1577.799
1577.799
1577.799
1577.799
1577.799
1577.799
1577.799
1577.799
1577.799
1577.799
1577.799
1577.799
1577.799
1577.799
1577.799
1577.799
1577.799
1577.799
1577.799
1577.799
1577.799
1577.799
1577.799
1577.799
1577.799
1577.799
1577.799
1577.799
1577.799
1577.799
1577.799
1577.799
1577.799
1577.799
1577.799
1577.799
1577.799
1577.799
1577.799
1577.799
1577.799
1577.799
1577.799
1577.799
1577.799
1577.799
1577.799
1577.799
1577.799
1577.799
1577.799
1577.799
1577.799
1577.799
1577.799
1577.799
1577.799
1577.799
1577.799
1577.799
1577.799
1577.799
1577.799
1577.799
1577.799
1577.799
1577.799
1577.799
1577.799
1577.799
1577.799
1577.799
1577.799
1577.799
1577.799
1577.799
1577.799
1577.799
1577.799
1577.799
1577.799
1577.799
1577.799
1577.799
1577.799
1577.799
1577.799
1577.799
1577.799
1577.799
1577.799
1577.799
1577.799
1577.799
1577.799
1577.799
1577.799
1577.799
1577.799
1577.799
1577.799
1577.799
1577.799
1577.799
1577.799
1577.799
1577.799
1577.799
1577.799
1577.799
1577.799
1577.799
1577.799
1577.799
1577.799
1577.799
1577.799
1577.799
1577.799
1577.799
1577.799
1577.799
1577.799
1577.799
1577.799
1577.799
1577.799
1577.799
1577.799
1577.799
1577.799
1577.799
1577.799
1577.799
1577.799
1577.799
1577.799
1577.799
1577.799
1577.799
1577.799
1577.799
1577.799
1577.799
1577.799
1577.799
1577.799
1577.799
1577.799
1577.799
1577.799
1577.799
1577.799
1577.799
1577.799
1577.799
1577.799
1577.799
1577.799
1577.799
1577.799
1577.799
1577.799
1577.799
1577.799
1577.799
1577.799
1577.799
1577.799
1577.799
1577.799
1577.799
1577.799
1577.799
1577.799
1577.799
1577.799
1577.799
1577.799
1577.799
1577.799
1577.799
1577.799
1577.799
1577.799
1577.799
1577.799
                                                                                                                                                                                                                                                                                                                                                                                                                                                                                                                                                                                                                                                                                                                                                                                                                                                                                                                                                                                                                                                                                                                                                                                                                                                                                                                                                                                                                             r
   90-00 9000 0000 0000 0000
```

É

ĺ

```
END IF

35 CONTINUE

WRITE (149 15)

WRITE (149 15)

IF INCOR CO.20 THEN

FRITE (149 17)

WRITE (149 17)

WRIT
     1400
טטטט
4956778901123451578991123456787777444444456778901123456777774444445677777744444445677777774444444567777777
                                                                        IF(TCD.E3.1) THEN
PAD(I)=I#(I)-QD(I)+0.75+QD(I-1)+0.25*QD(I)
ELSE
     0475
0475
                                                                                                                                       คั้จิติใน):=IQ(I)
```

```
EMD IF

IF (25(J1) LE 0.) POD(J1)=0

IF (25(J1) LT FM) FBM-R3D(J1)

IF (MED(J1) LT MBF) MEF=MGD(J1)

R9A=-2A-E9(J1)

MOS=-J1-

DIF=(PD/J1)-MDD(J1))**2.

SUB=-C4-MDF

IF (25(J1) F PYSP) PYSP=PD(J1)

B11 IF (1EQ 10J3) TYEM

IF (3-C4) PS(J1)

RS(1)=PS(J1)

RS(1)=PS(J1)

GD(J)=SA(J1)

GD(J)=SA(J1)

GD(J)=SA(J1)
#S(1)=$6(1)
$A(1)=$A(1)
$Q(1)=$Q(1)
$Q(1)=$Q(1)
$Q(1)=$Q(1)
$A(1)=$A(1)
$A(1)=$A(1)=$A(1)
$A(1)=$A(1)=$A(1)=$A(1)=$A(1)=$A(1)=$A(1)=$A(1)=$A(1)=$A(1)=$A(1)=$A(1)=$A(1)=$A(1)=$A(1)=$A(1)=$A(1)=$A(1)=$A(1)=$A(1)=$A(1)=$A(1)=$A(1)=$A(1)=$A(1)=$A(1)=$A(1)=$A(1)=$A(1)=$A(1)=$A(1)=$A(1)=$A(1)=$A(1)=$A(1)=$A(1)=$A(1)=$A(1)=$A(1)=$A(1)=$A(1)=$A(1)=$A(1)=$A(1)=$A(1)=$A(1)=$A(1)=$A(1)=$A(1)=$A(1)=$A(1)=$A(1)=$A(1)=$A(1)=$A(1)=$A(1)=$A(1)=$A(1)=$A(1)=$A(1)=$A(1)=$A(1)=$A(1)=$A(1)=$A(1)=$A(1)=$A(1)=$A(1)=$A(1)=$A(1)=$A(1)=$A(1)=$A(1)=$A(1)=$A(1)=$A(1)=$A(1)=$A(1)=$A(1)=$A(1)=$A(1)=$A(1)=$A(1)=$A(1)=$A(1)=$A(1)=$A(1)=$A(1)=$A(1)=$A(1)=$A(1)=$A(1)=$A(1)=$A(1)=$A(1)=$A(1)=$A(1)=$A(1)=$A(1)=$A(1)=$A(1)=$A(1)=$A(1)=$A(1)=$A(1)=$A(1)=$A(1)=$A(1)=$A(1)=$A(1)=$A(1)=$A(1)=$A(1)=$A(1)=$A(1)=$A(1)=$A(1)=$A(1)=$A(1)=$A(1)=$A(1)=$A(1)=$A(1)=$A(1)=$A(1)=$A(1)=$A(1)=$A(1)=$A(1)=$A(1)=$A(1)=$A(1)=$A(1)=$A(1)=$A(1)=$A(1)=$A(1)=$A(1)=$A(1)=$A(1)=$A(1)=$A(1)=$A(1)=$A(1)=$A(1)=$A(1)=$A(1)=$A(1)=$A(1)=$A(1)=$A(1)=$A(1)=$A(1)=$A(1)=$A(1)=$A(1)=$A(1)=$A(1)=$A(1)=$A(1)=$A(1)=$A(1)=$A(1)=$A(1)=$A(1)=$A(1)=$A(1)=$A(1)=$A(1)=$A(1)=$A(1)=$A(1)=$A(1)=$A(1)=$A(1)=$A(1)=$A(1)=$A(1)=$A(1)=$A(1)=$A(1)=$A(1)=$A(1)=$A(1)=$A(1)=$A(1)=$A(1)=$A(1)=$A(1)=$A(1)=$A(1)=$A(1)=$A(1)=$A(1)=$A(1)=$A(1)=$A(1)=$A(1)=$A(1)=$A(1)=$A(1)=$A(1)=$A(1)=$A(1)=$A(1)=$A(1)=$A(1)=$A(1)=$A(1)=$A(1)=$A(1)=$A(1)=$A(1)=$A(1)=$A(1)=$A(1)=$A(1)=$A(1)=$A(1)=$A(1)=$A(1)=$A(1)=$A(1)=$A(1)=$A(1)=$A(1)=$A(1)=$A(1)=$A(1)=$A(1)=$A(1)=$A(1)=$A(1)=$A(1)=$A(1)=$A(1)=$A(1)=$A(1)=$A(1)=$A(1)=$A(1)=$A(1)=$A(1)=$A(1)=$A(1)=$A(1)=$A(1)=$A(1)=$A(1)=$A(1)=$A(1)=$A(1)=$A(1)=$A(1)=$A(1)=$A(1)=$A(1)=$A(1)=$A(1)=$A(1)=$A(1)=$A(1)=$A(1)=$A(1)=$A(1)=$A(1)=$A(1)=$A(1)=$A(1)=$A(1)=$A(1)=$A(1)=$A(1)=$A(1)=$A(1)=$A(1)=$A(1)=$A(1)=$A(1)=$A(1)=$A(1)=$A(1)=$A(1)=$A(1)=$A(1)=$A(1)=$A(1)=$A(1)=$A(1)=$A(1)=$A(1)=$A(1)=$A(1)=$A(1)=$A(1)=$A(1)=$A(1)=$A(1)=$A(1)=$A(1)=$A(1)=$A(1)=$A(1)=$A(1)=$A(1)=$A(1)=$A(1)=$A(1)=
                                                                                                                                                                                     <del>⋞⋟⋫⋞⋞⋷⋼⋞⋇⋇⋞⋇⋇⋞</del>₽⋝⋻⋭⋈⋨<u>Т</u>⋻⋚⋄⋇⋇⋇⋇⋇⋇⋇⋇⋇⋇⋇⋇⋇
                                                                                                                           THE REPLY AND LAND TO THE TALLON OF THE TALLON OF THE TOTAL TO THE TOTAL THE TALLON OF THE TALLON OF
      PBMIN=RGD(1)
ROMAY=RGD(1)
MG*1V=MGD(1)
HG*A:=*GD(1)
HG*A:=*GD(1)
DO 5 I=2,MDTOT
```

€.

(

```
IF(RRD(I).LT.RRMIN) FRMINSESO(I)
IF(RRD(I).GT.RRMIN) MEMINSESO(I)
IF(MRD(I).LI MRMIN) MEMINSESO(I)
IF(MRD(I).GT.MRMIN) MEMINSESO(I)
5 CASTAMAN
IF(TARMIN) MEMINSESO(I)
MATHEMATICAL MATHEMATICAL MEMINSESO(I)
MATHEMATICAL MATHEMA
   010101100
                                                                                                                                                                  IF(MQMAX.GT.NMAY) NMAY=MQMAX
MMIX=I(1)
NX=1
                                                                                                                                                        NX=1
NY=2
NT:T=4
NFIX=T(1)
NFA(=T(4DIDT)
NEELX=(T MEIDT)=T(1))/(11)
MEELX=(T MEIDT)=T(1))/(11)
MEELX=(T MEIDT)=T(1))/(11)
MEELX=(MANY-NMIY)/21
NEELX=(MANY-NMIY)/21
NEELX=(MANY-NMIY)/21
                                                                                                                NUS-Y-(man-170-172)

NUS-Y-(ma
                                                                                                                                                                                                                                                                                                                                                                                                                                                                                                                                                                                                                                                                                                                                                                                                                                                             *F4.1,"p","2,"q","4.1,"r","2,"stu",
                                                                                                                                                                                                                                                                                                                                                                                                                                                                                                                                                                                                                                                            *I3, " ",I3, "Z",24LAMING ESCURRIDA EN ANTS., " 0596
                                                                                                                                                                                                                                                                                                                                                                                                                                                                                                                                                                                                                                                                                                                                                                                                                                                                                                                                                                                                                                                                                                                                                                                                                                                                                                                                                                                                                                                                  ITA=1
                                                                                                                   INCLE2
IANGE1
IY=500
IY=500
IY=300
IY=100
IY=100
INCLE2
IN
                                                                                                                                                                                                                                                                                                                                                                                                                                                                                                                                                                                                                                                                                                                                                                                                                                                                                                                                                                                                                                                                                                                                                                                                                                                                                                                                                                                                                                               ITA=1
                                                                                                                                                                                                                                                                                                                                                                                                                                                                                                                                                                                                                                                               *13, " ",13, "Z",22H----HITROGRA*A HEDIDO, " 0694
                                                                                                                                                                  ÎY=279
                                                                                                                   1 1=2/2

UPITE/LIMP,70) ITA IANG IX IY

70 FOPATT'1, n, 1, np, 2511

IANG=1

IANG=1

IY=225

IX=5
                                                                                                                                                                                                                                                                                                                                                                                                                                                                                                                                                                                                                                                               #13, * *,13, *Z*,244.....HIDFOGRAMA ESTIMADD, * 0612
                                                                                                                                                                                                                                                                                                                                                                                                                                                                                                                                                                                                                                                                                                                                                                                                                                                                                                                                                                                                                                                                                                                                                                                                                                                                                                                                                                                                                                                                  ITA=1
   0614
                                                                                                Ty=725
IY=175
IY
                                                                                                                                                                                                                                                                                                                                                                                                                                                                                                                                                                                                                                                                                                                                                                                                                                                                                                                                                                                                                                                                                                                                                                                                                                                                                                   WRITE(LIMP,188)
                                                                                                                                                                                                                                                                                                                                                                                                                                                                                                                                                                                                                                                               *13, " ",13, "Z",12HTIShFO (DIA), " 0620
0618
0621
0623
0624
0625
0627
WRITE(LIMP, 160)
                                                                    0643
0644
0645
   0646
0547
0648
0649
```

```
CALCULO DE LOS VALORES MAXIMOS Y MENIMOS DE LA ESCOFRENTIA
                                                                                                                                              IF(QPV.GT.PKQR) THEN
EFAX=QPX
                                                                                                                                         ELSE
EMAY=PYGR
END IF
IF (M3F.LT.FRM) THEN
10.00 to 10.
                                                                                                                                         IF/MBF.LT.FEM) THEM
ENIMEMES
ELSE
ELSE
ESTAFEM
ENZIFE
ENZIFE
ENZIFE(14P.29) EMAX,EMIN,FQA
WRITE(14P.29) EMAX,EMIN,RQA
                                                                                                                                            PLOTED DE LOS VALORES DE ESCERRENTIA
DESERVADOS Y ESTINADOS.
                                                                                                                                              PO 6 J=1,10
ESCALA/J)=J*0.1*EMAX
                                                                                                                    6 CONTINUE
                                                                                                                                              HRITE(IMP.16) TITULO, AMES(MESI), AMOI, AMES(MESF), AMOF
MRITE(IMP.21) ESCALA
                                                                                             9 CONTINUE

LS=(PGN(IJ+1)/CMAX)*198.+1.5
LO=(PGN(IJ+1)/CMAX)*198.+1.5
LF(LS-GT.181) LS=181
LF(LS-GT.181) LD=181
LNCA(LS)=ASSER
LNCA(LS)=ASSER
LNCA(LS)=CRZ
PFITE(CHP, 39) ID,LINEA, NQD(IJ+1), PQD(IJ+1)
ID=18+1
IJ=IJ+1
IF(CH.E. MEM:(XM)) GO TO 8
22 IF(IJLE MEM:(XM)) GO TO 8
24 IF(IJLE MEM:(XM)) GO TO 8
IF(IJLE MEM:(XM)) GO TO 8
IF(IJLE MEM:(XM)) GO TO 7
ID=1
IM=IM+1
KM=EM+1
IF(IM.CE.12) GO TO 12
IM=18+1
NA=MA+1
12 SRITE(1 IS)*AMES(IM),NA
8 CONTINUE
                                                                      C
  0771123
0771145
077117117
077117
077117
077117
077117
077117
077117
077117
077117
077117
077117
077117
077117
077117
077117
077117
077117
077117
077117
077117
077117
077117
077117
077117
077117
077117
077117
077117
077117
077117
077117
077117
077117
077117
077117
077117
077117
077117
077117
077117
077117
077117
077117
077117
077117
077117
077117
077117
077117
077117
077117
077117
077117
077117
077117
077117
077117
077117
077117
077117
077117
077117
077117
077117
077117
077117
077117
077117
077117
077117
077117
077117
077117
077117
077117
077117
077117
077117
077117
077117
077117
077117
077117
077117
077117
077117
077117
077117
077117
077117
077117
077117
077117
077117
077117
077117
077117
077117
077117
077117
077117
077117
077117
077117
077117
077117
077117
077117
077117
077117
077117
077117
077117
077117
077117
077117
077117
077117
077117
077117
077117
077117
077117
077117
077117
077117
077117
077117
077117
077117
077117
077117
077117
077117
077117
077117
077117
077117
077117
077117
077117
077117
077117
077117
077117
077117
077117
077117
077117
077117
077117
077117
077117
077117
077117
077117
077117
077117
077117
077117
077117
077117
077117
077117
077117
077117
077117
077117
077117
077117
077117
077117
077117
077117
077117
077117
077117
077117
077117
077117
077117
077117
077117
077117
077117
077117
077117
077117
077117
077117
077117
077117
077117
077117
077117
077117
077117
077117
077117
077117
077117
077117
077117
077117
077117
077117
077117
077117
077117
077117
077117
077117
077117
077117
077117
077117
077117
077117
077117
077117
077117
077117
077117
077117
077117
077117
077117
077117
077117
077117
077117
077117
077117
077117
07717
077117
077117
077117
077117
077117
077117
077117
077117
077117
077117
077117
077117
077117
077117
077117
077117
077117
077117
077117
077117
077117
077117
077117
077117
077117
077117
077117
077117
077117
077117
077117
077117
077117
077117
077117
077117
077117
077117
077117
077117
077117
077117
077117
077117
077117
07717
077117
077117
077117
077117
077117
077117
077117
077117
077117
       972334
97234
97234
97236
97239
97239
```

ĺ

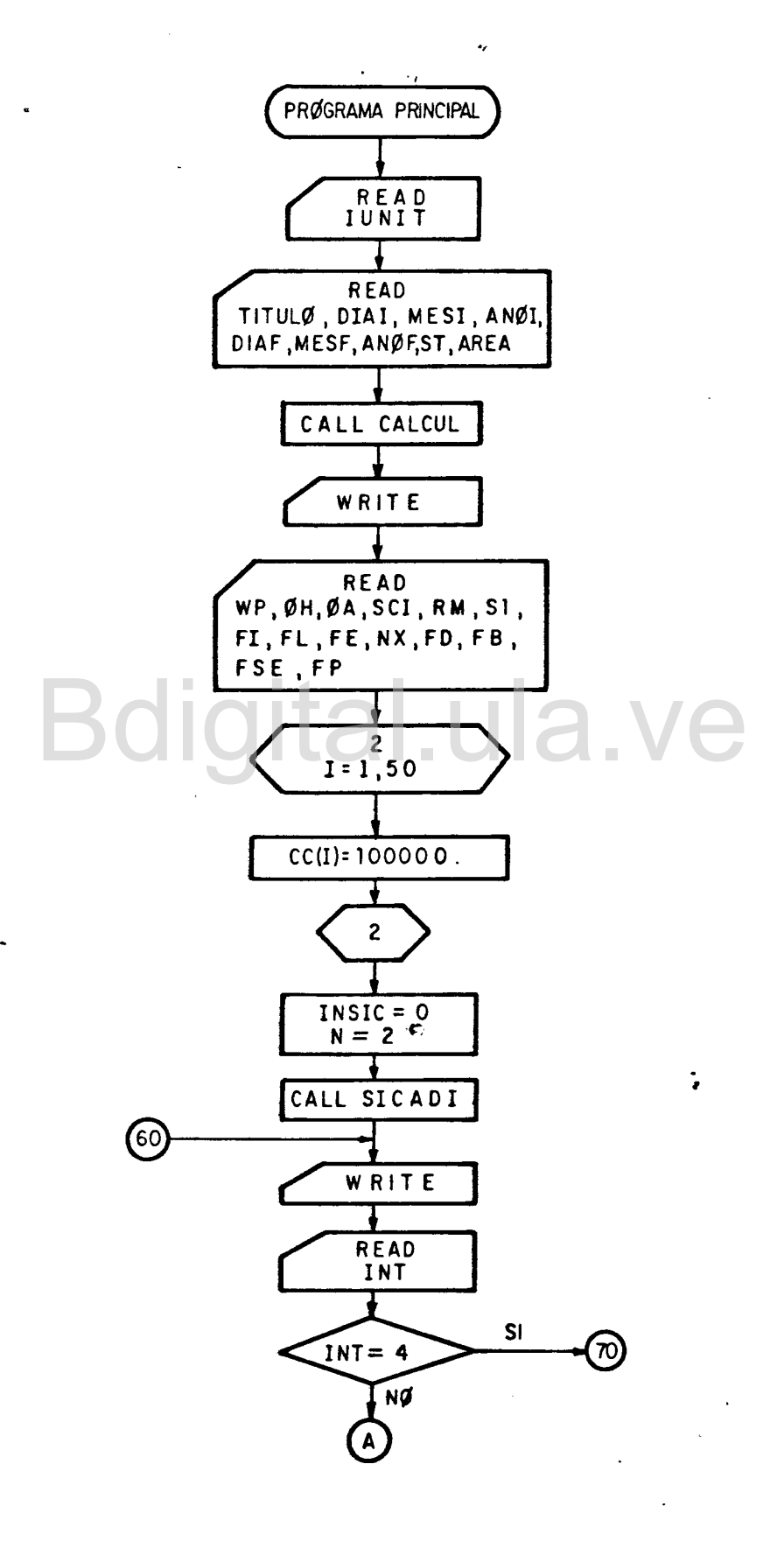
```
0730 C
0731 C
7732 C
7732 C
10 FORMAT(1H1,10X,7HOUENCA ,A60,18X,8HPEPIDED A3.1H ,I2,1H-,A3,1H ,
12 // 29X, "ELOTED DE LOS VALORES DE SECOMFENTIÀ",//
15 FORMAT(1H,14,71,11)
15 FORMAT(1H,14,71,13)
16 FORMAT(7X,F11.1,9F10.1,4X,44+035.5X,4H*5IH,/)
1738 C
1739 20 FORMAT(7X,F11.1,9F10.1,4X,44+035.5X,4H*5IH,/)
1739 20 FORMAT(7X,F11.1,9F10.1,4X,44+035.5X,4H*5IH,/)
1740 C
1741 C
1742 RETURN
1742 RETURN
1743 RETURN
1744 RETURN
1750 RETURN
1750
```

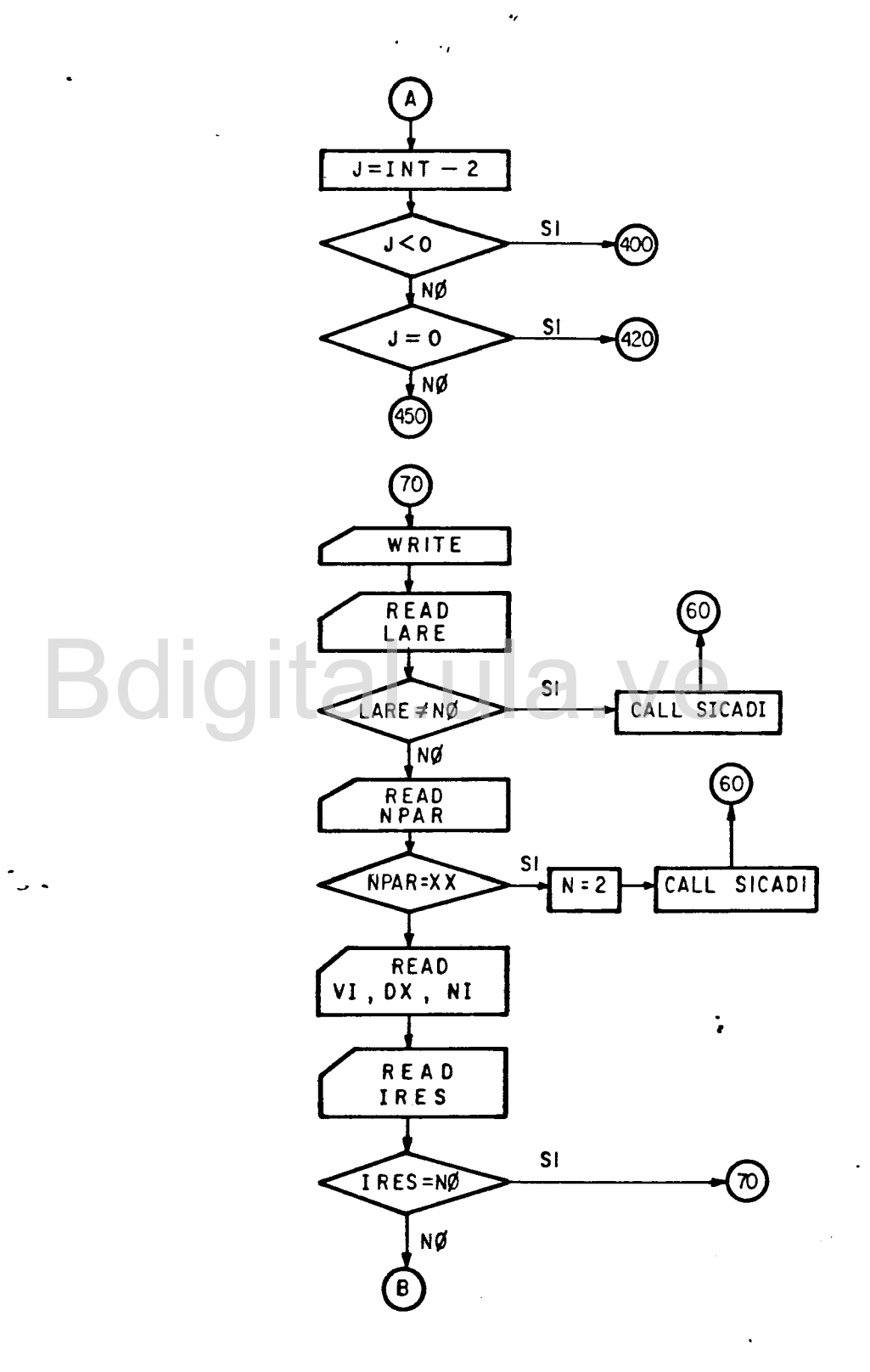
Bdigital.ula.ve

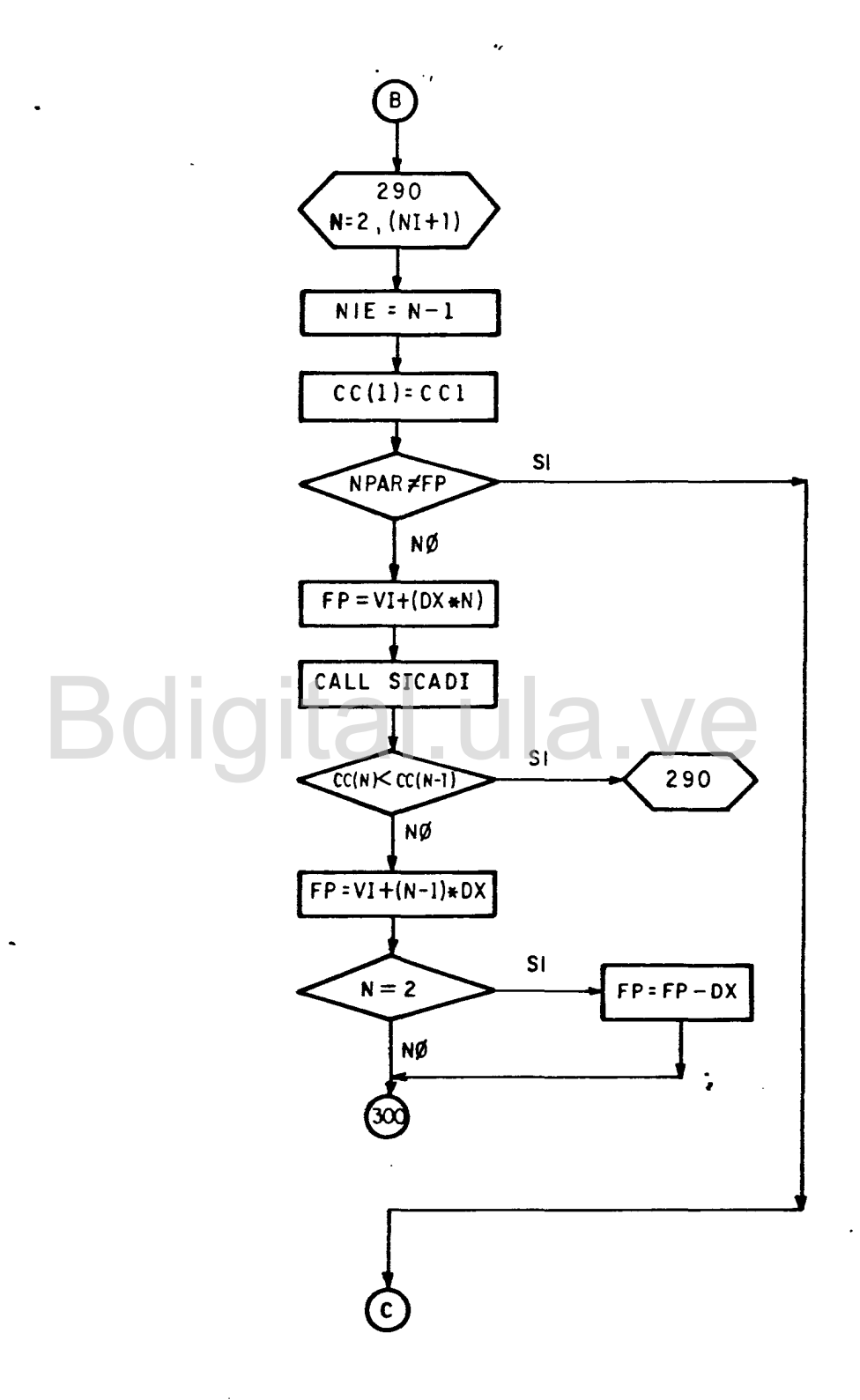
APENDICE I-B

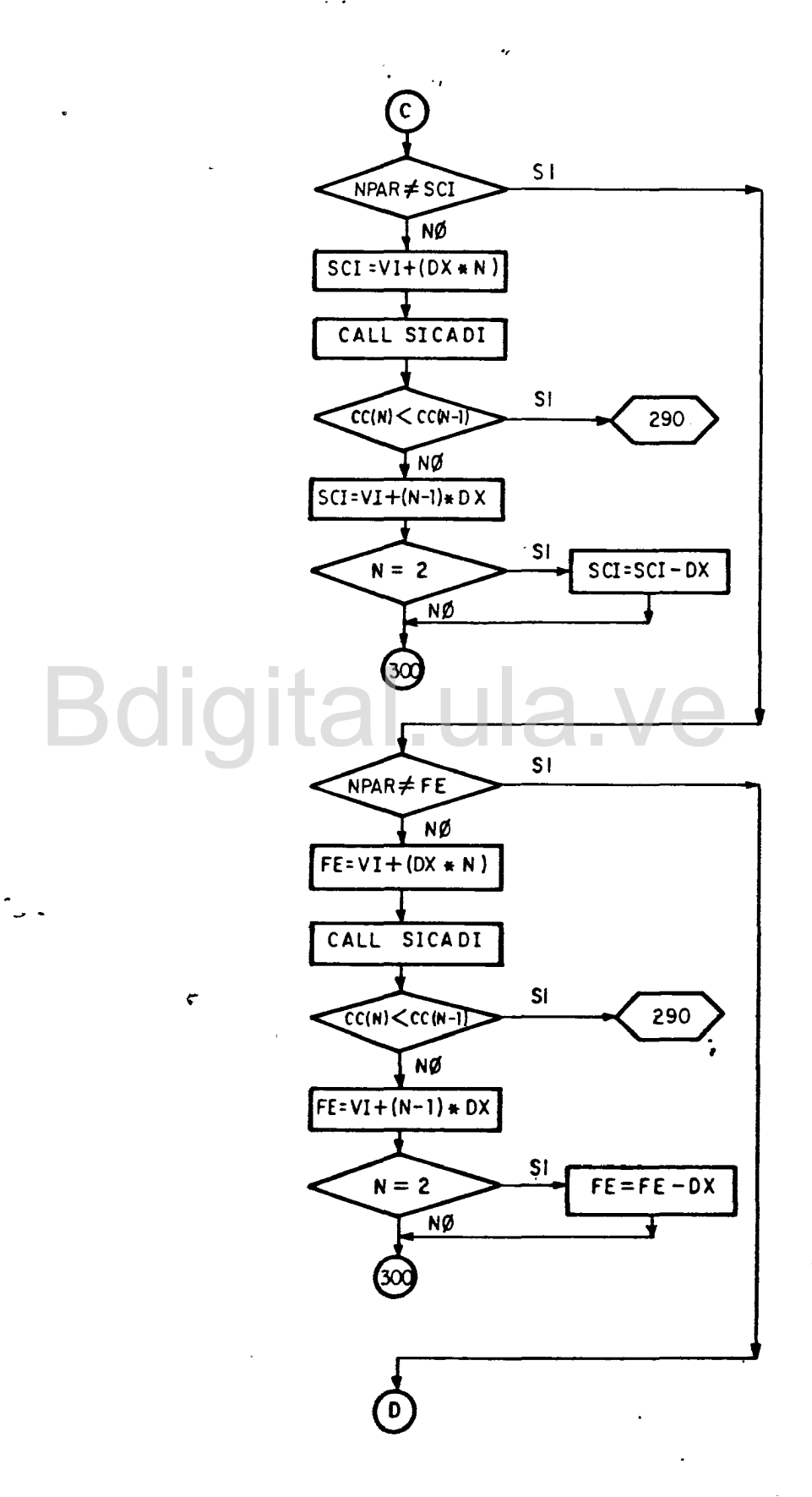
Diagrama de flujo de la calibración manual, Programa Keroj

Bdigital.ula.ve

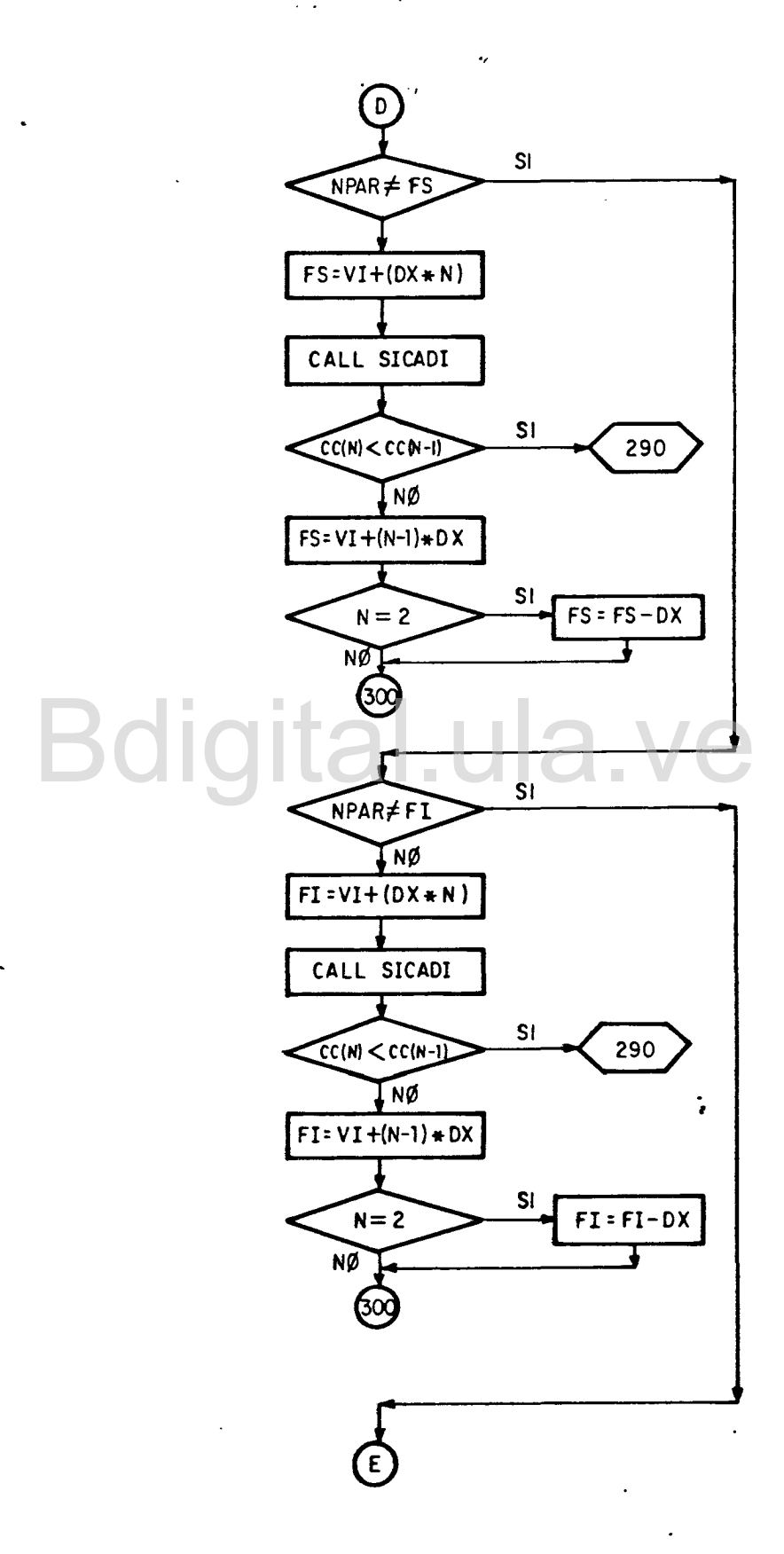




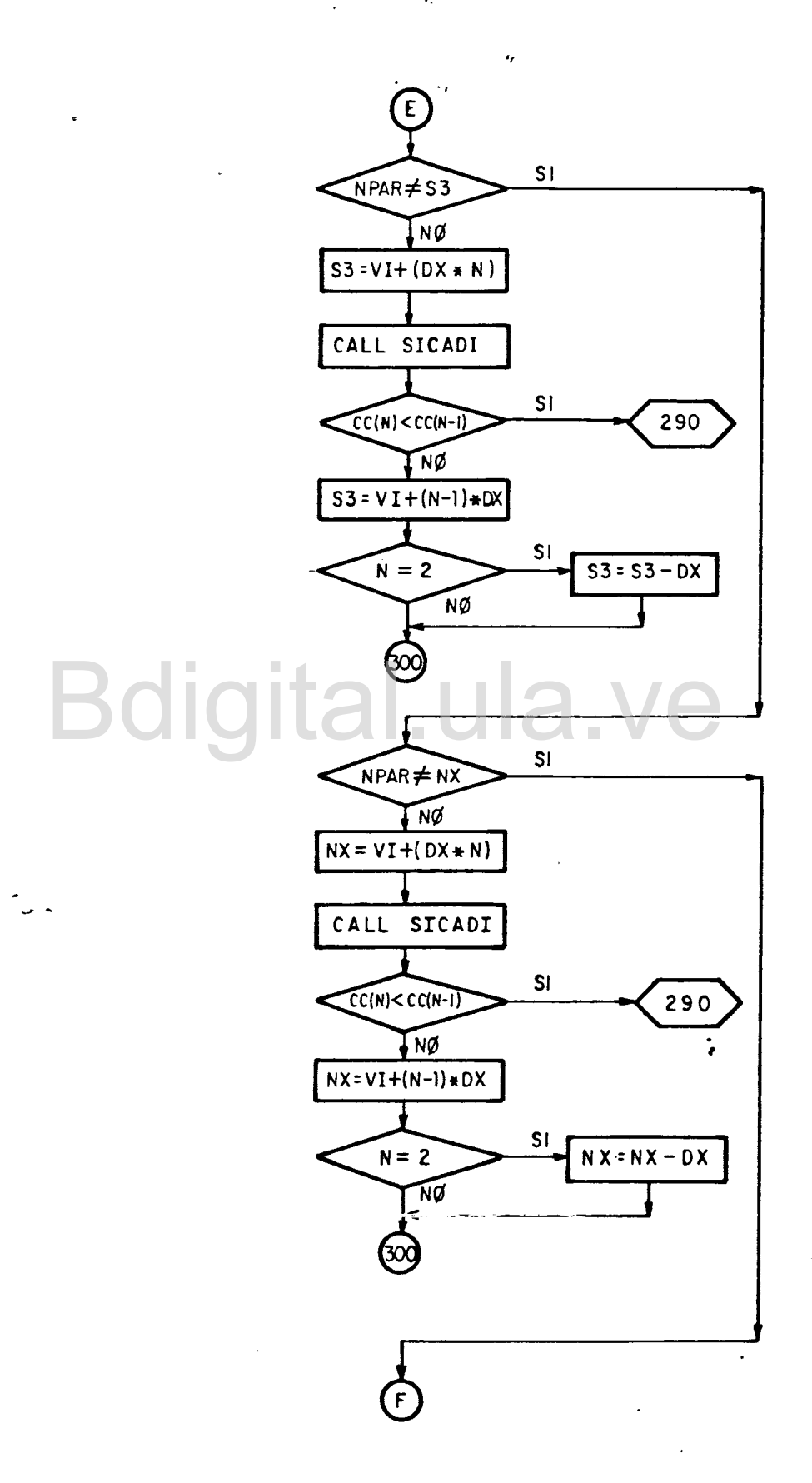




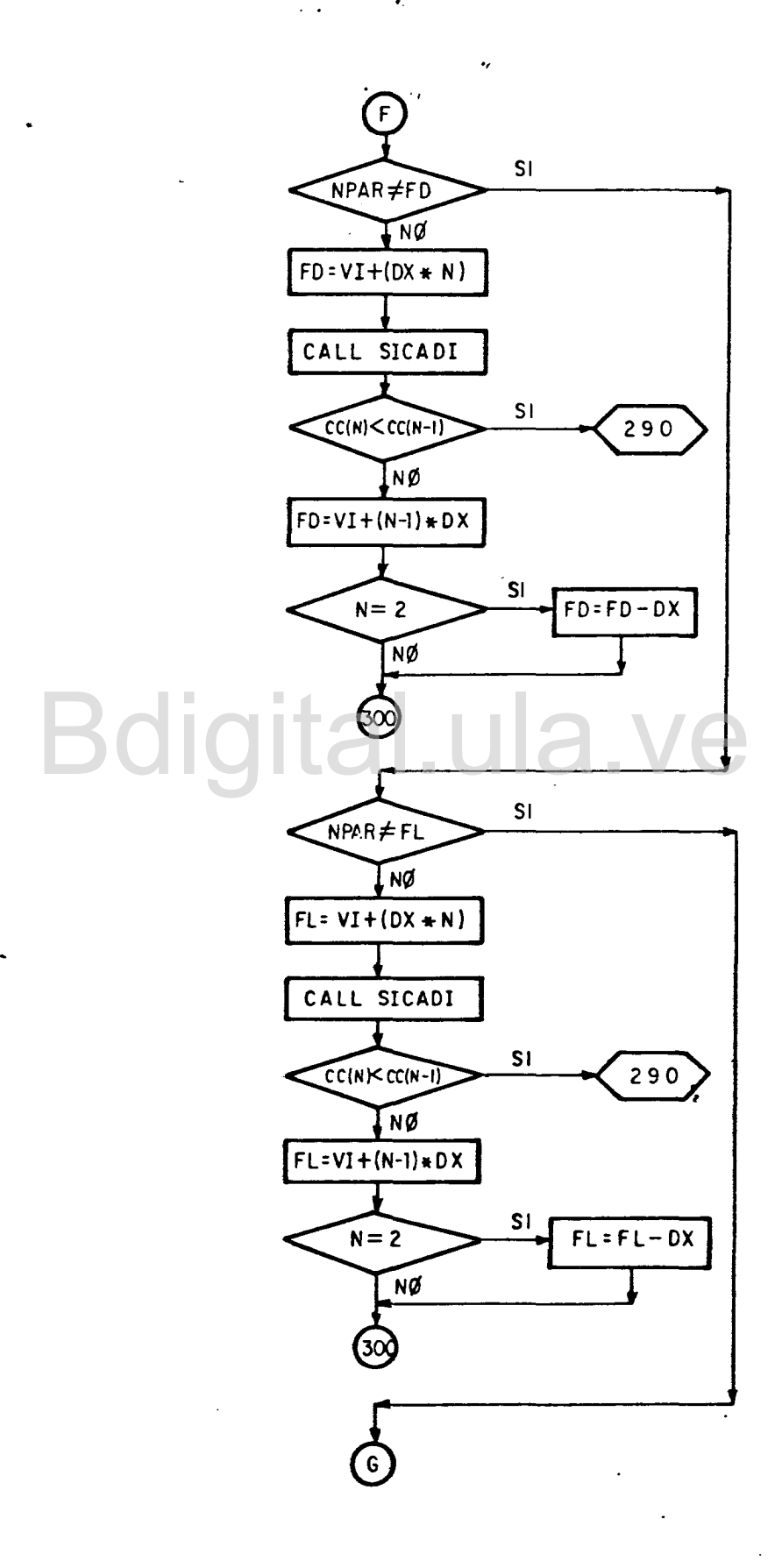
C.C.Reconocimiento



150

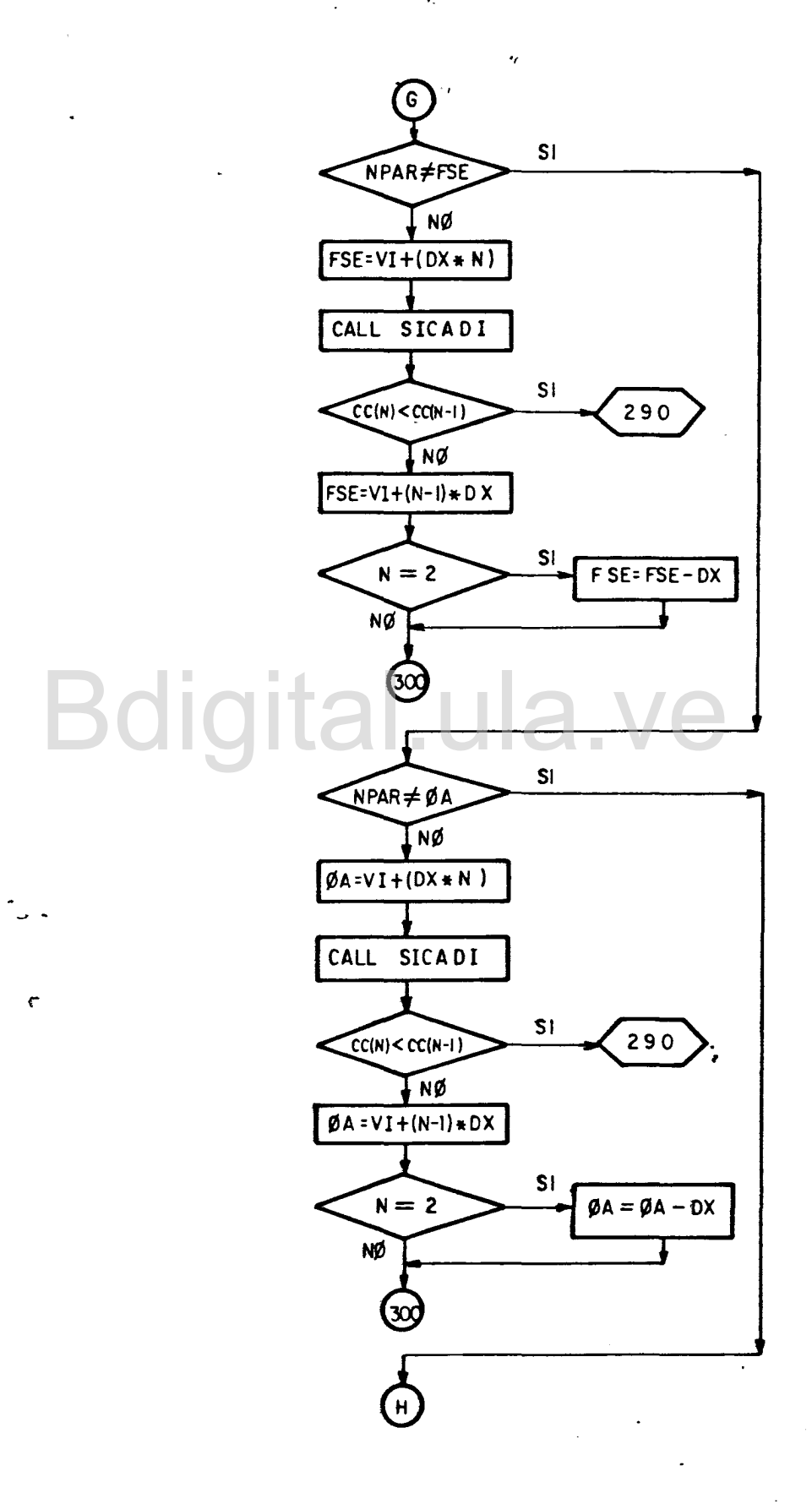


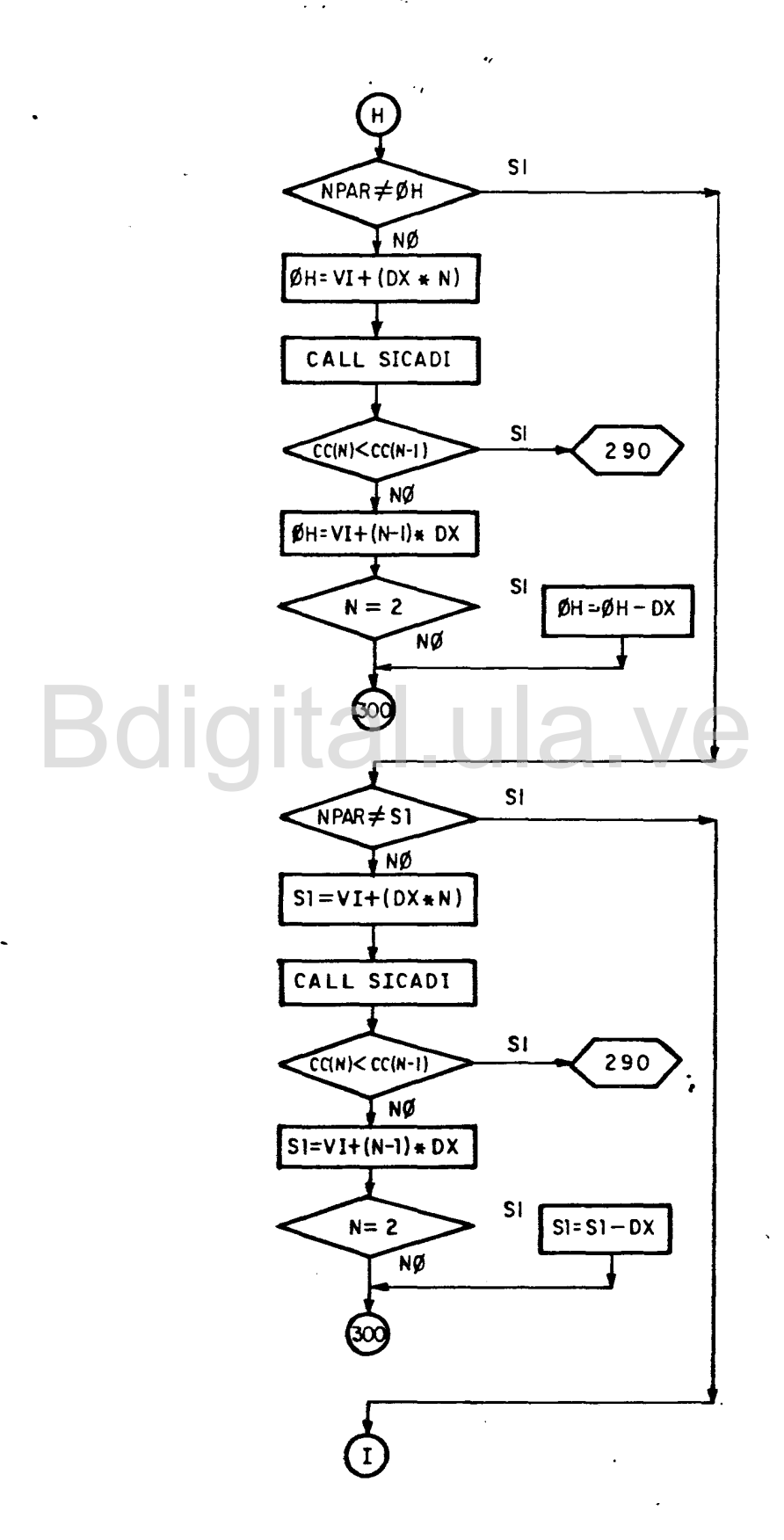
C.C.Reconocimiento

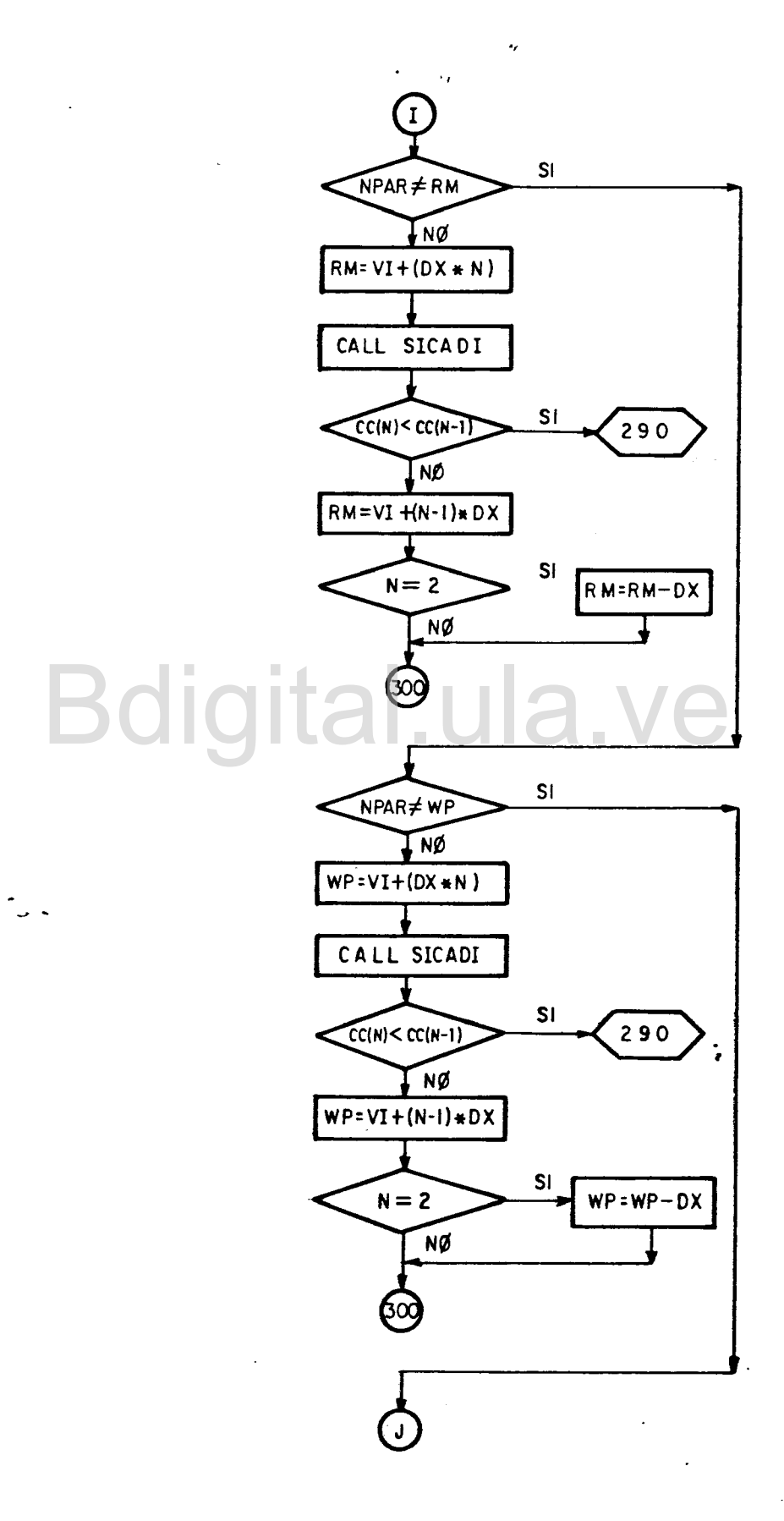


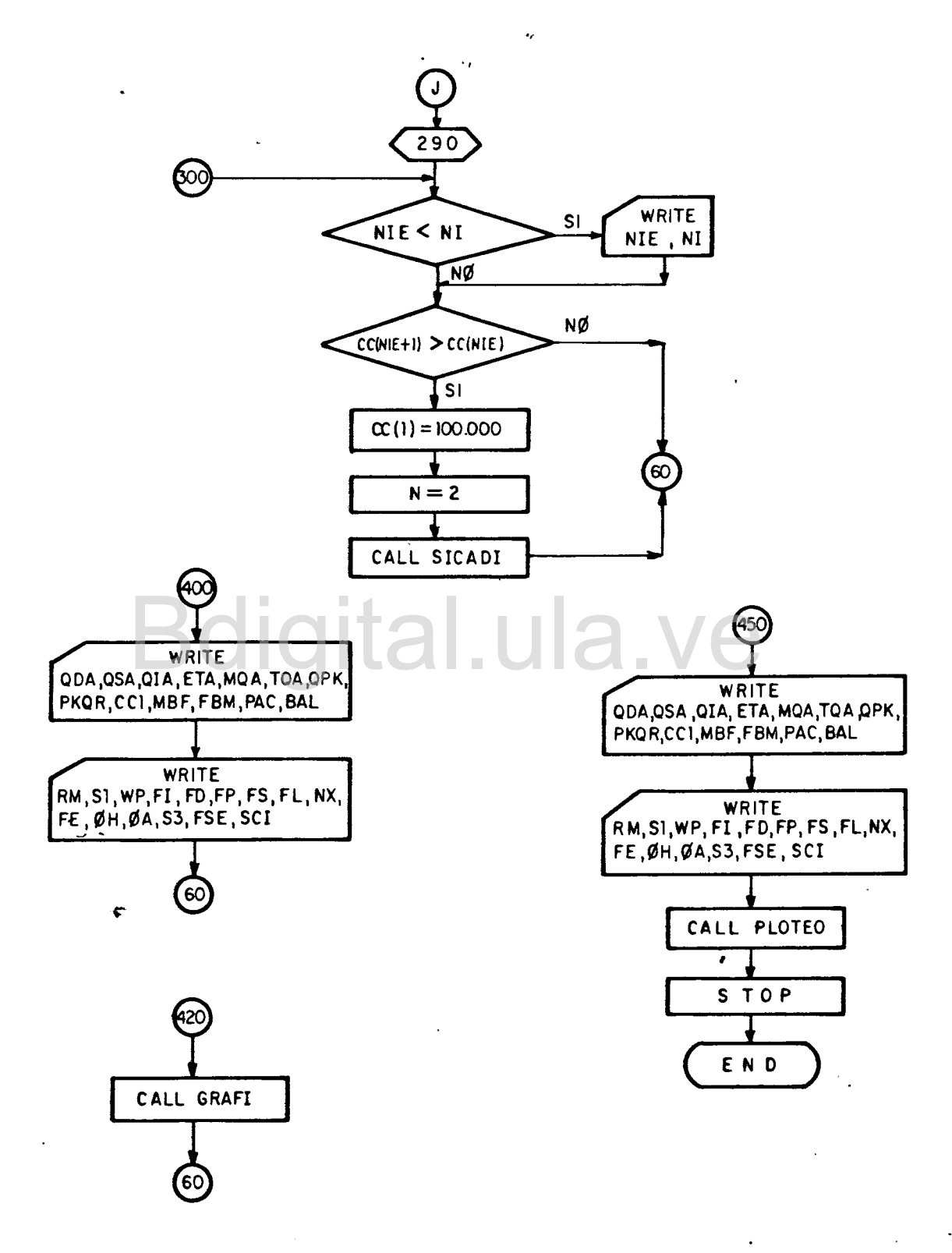
¢

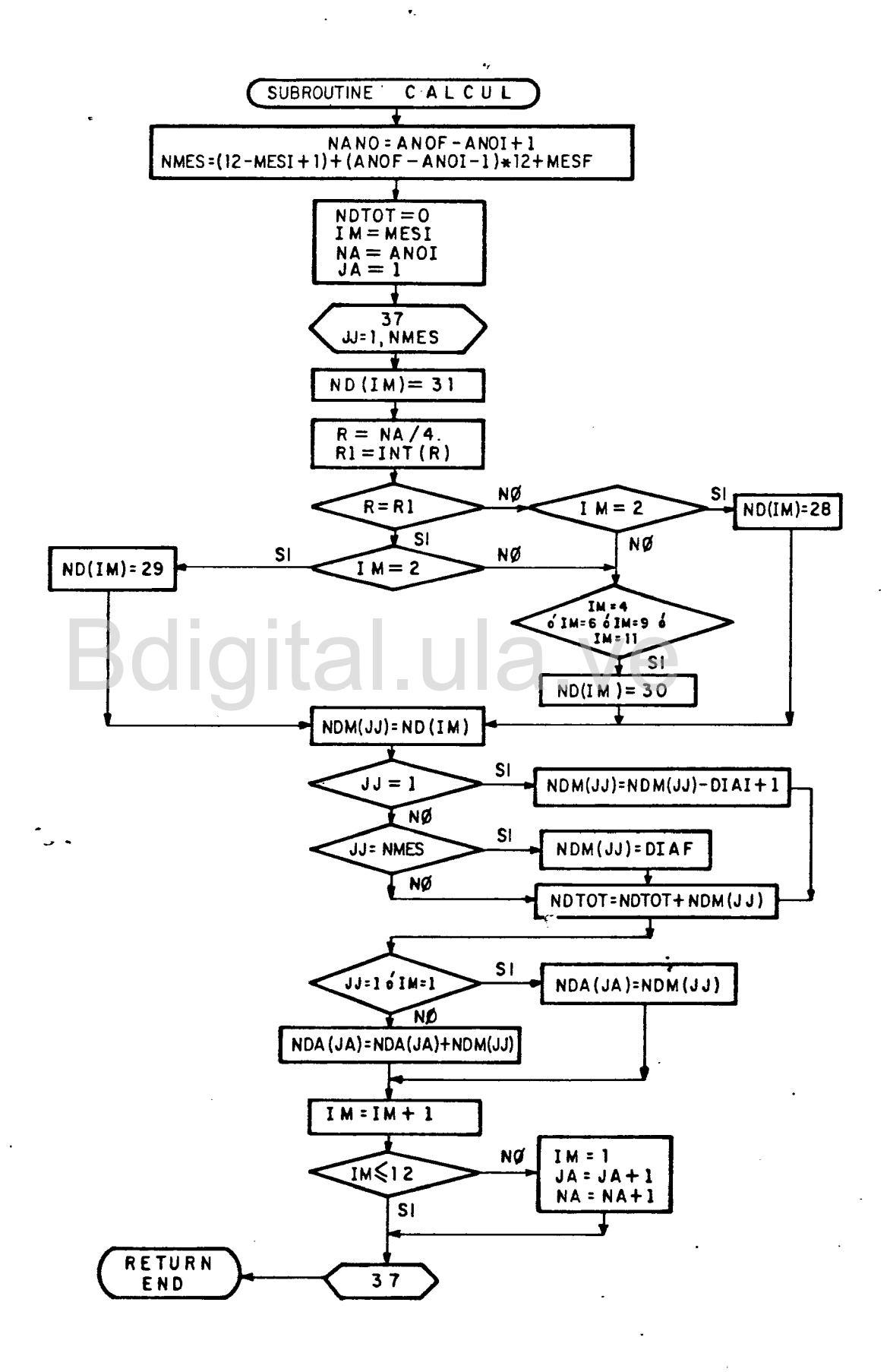
152

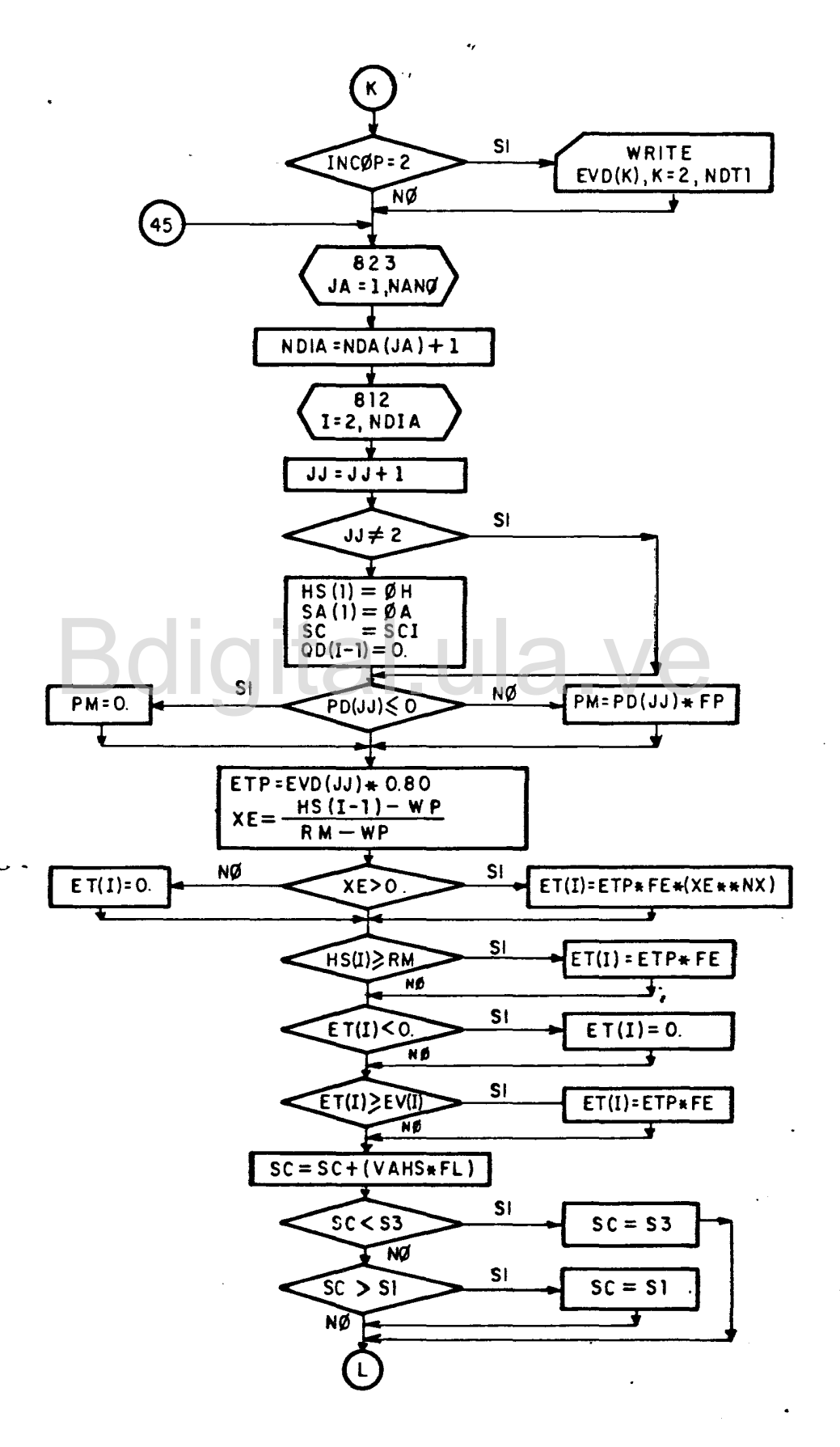




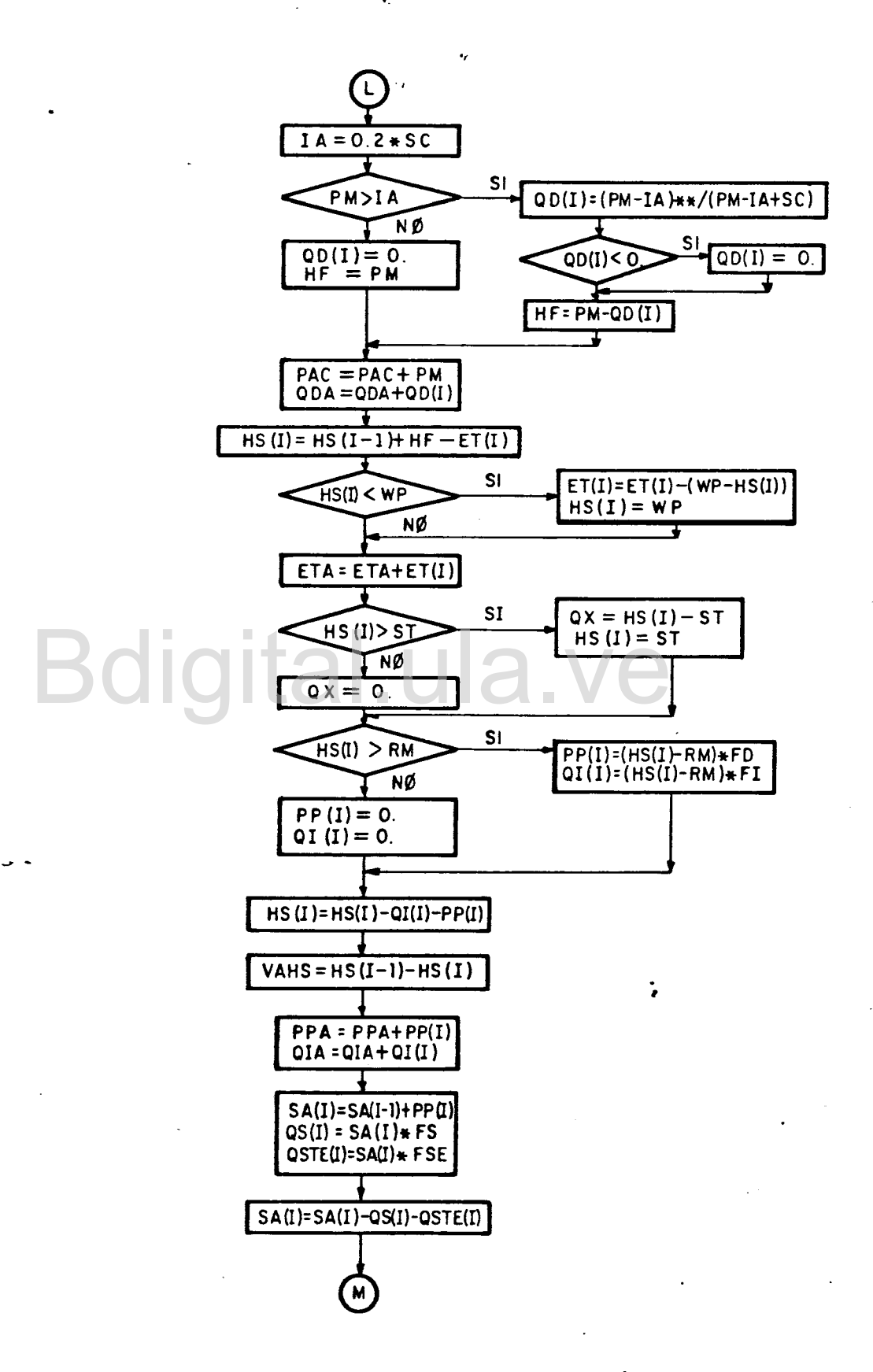


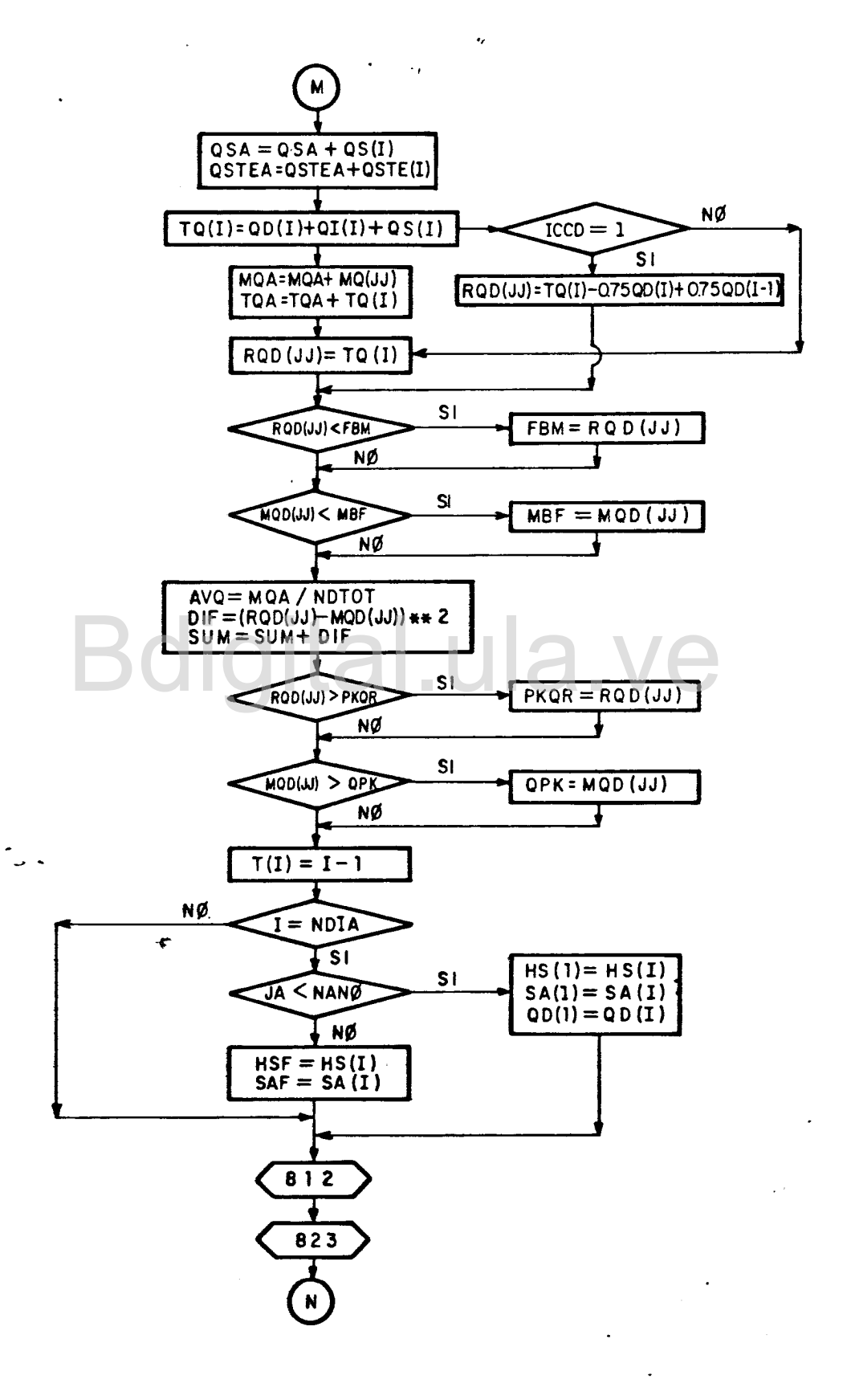


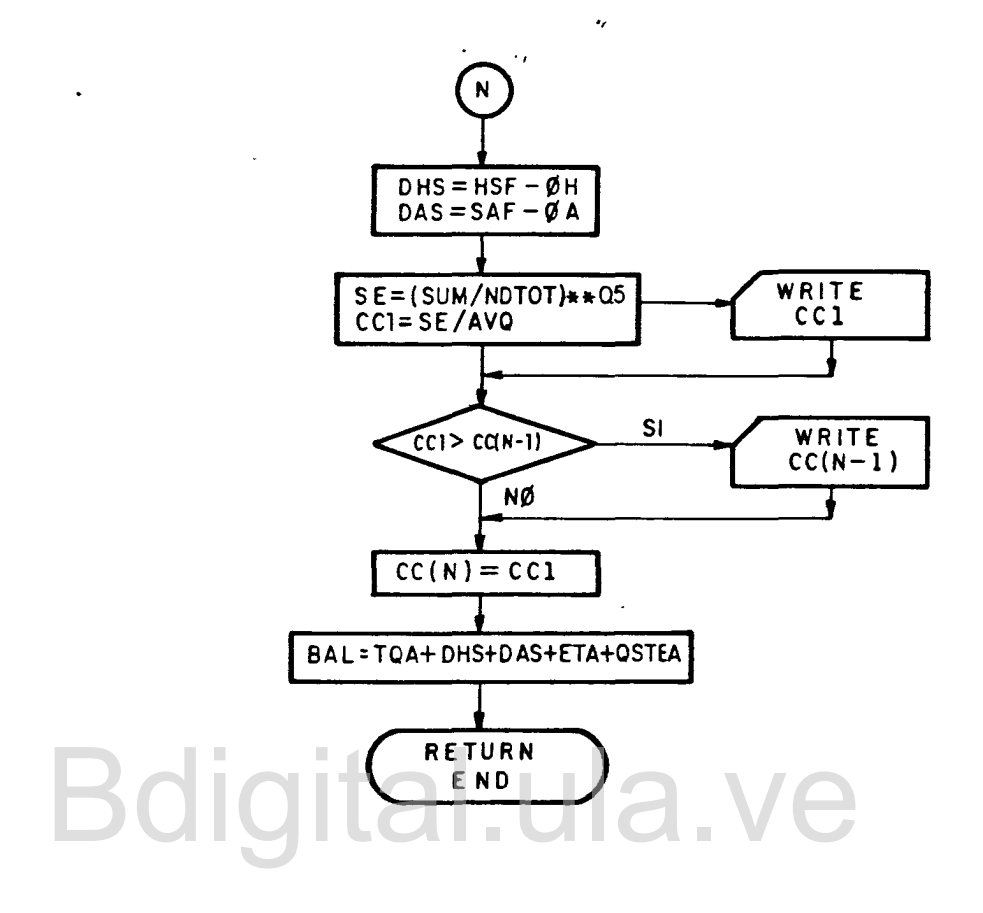


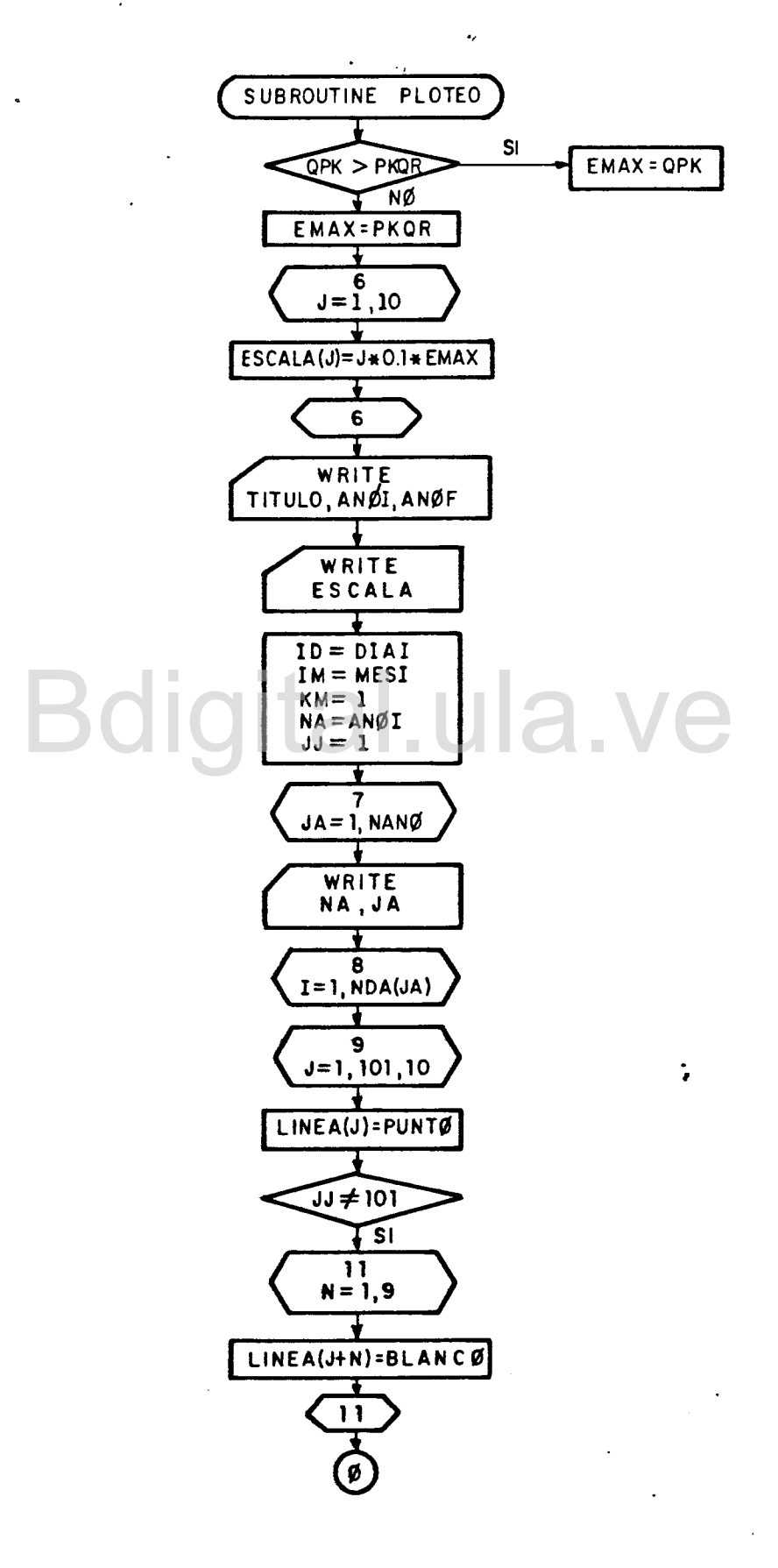


C.C.Reconocimiento

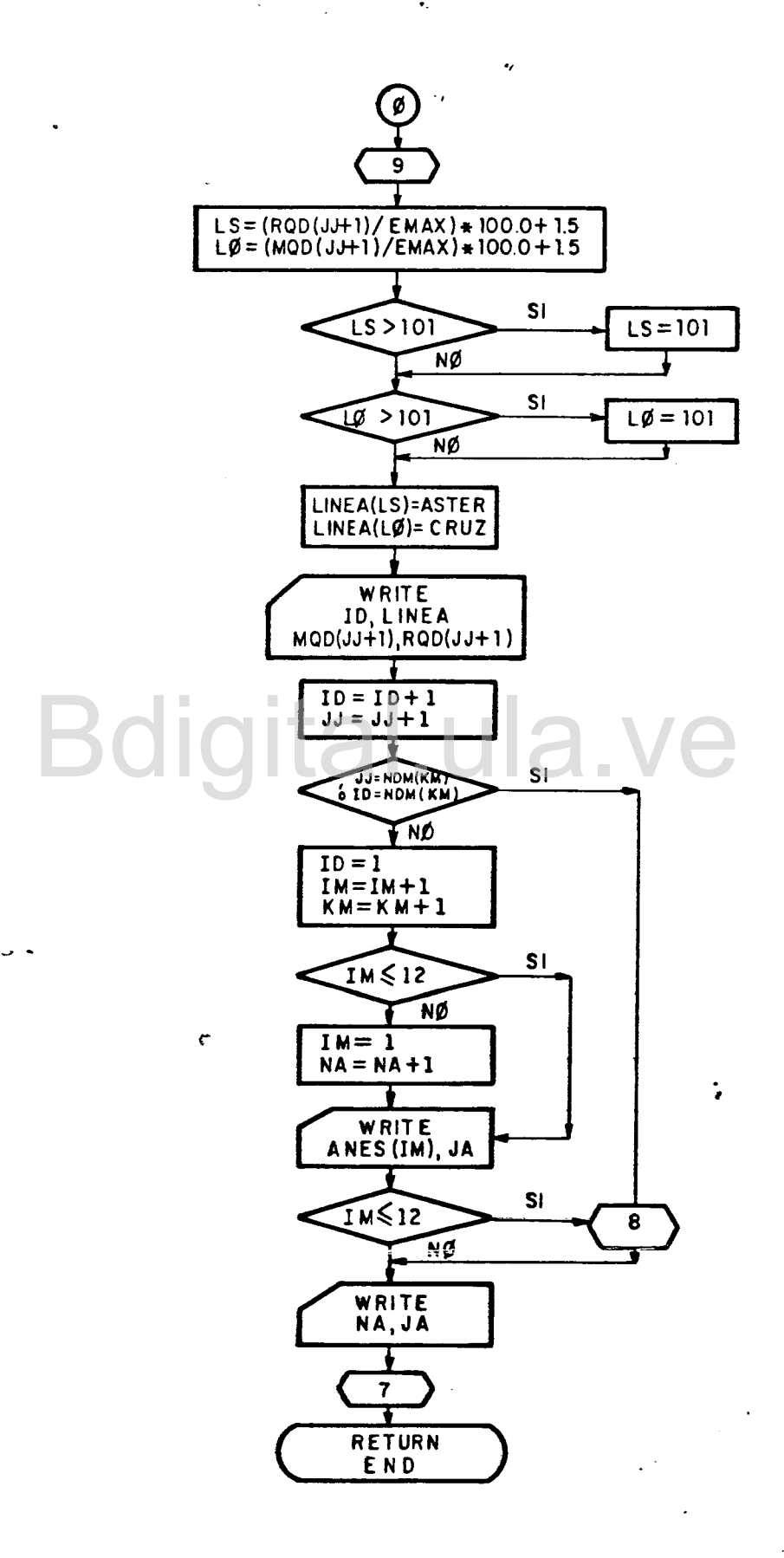








C.C.Reconocimiento



APENDICE II-A

Listado del programa elaborado por la

Calibración Automática

```
00001
00002
 00003
                                                        PROGRAMA ELABORADO PARA LA CALIBRACION AUTOMATICA
 00005
00007 L
00008 FTN
00009 $FILES(0,3)
00010 $ENA /C1/,/C2/
PROGRAM KEHOJ
 00007
                              PROGRAM KEHOJ
CHARACTER *60 TITULO
CHARACTER *60 TITULO
CHARACTER *60 TITULO
CHARACTER *60 NOTISALI*6
COMMON /C1/ PD(1827) EVD(1827) NOD(1827) ROD(1827)
COMMON /C2/ HS(367) EVD(367), QSTE(367), QSTE(367), TI(367),
*QI(367) TQ(367) PP(367) ET(367)
COMMON /C3/ FE,FB,FI,FD,FL,FP,S3,NX,FSE,DA,OH,ST,RH,WP,S1,SCI,
*QDA,QSA,QSTEA,QIA,PPA,ETA,TQA,MQA,RQA,PAC,BAL,SUM,QPK,PKQR,CCI,
*MBF,FBM
COMMON /C4/ NDA(5),NDM(60),ND(12),NDTOT
COMMON /C5/ ANDI,ANOF,MESI,MESF,DIAI,DIAF,IUNIT,AREA,NMES,NANO,
*TITULO,LCRD,TMP,LCRT,INCOP,ICCD
COMMON /C6/ N,IPAR(10),PAR(10)
 00012
 00014
 88819
 00018
00019
 00020
 00021
00022
 00023
00024 C
00025
                                 INTEGER DIAI,DIAF,ANDI,ANDF
INTEGER TI
REAL IA,MBF,NX,MQA,MQD
REAL LINEA
DIMENSION XG(10),PDN(18),D(10),XI(10),XS(10),XD(10),T(10),X(10)
WRITE(1,'("DAR NOMBRE DEL ARCHIVO DE ENTRADA DE DATOS")')
 00026
00027
00028
 00029
 00031 C
00032
00033
                                LCRD=35

READ(1, '(A6)') NOMI $ OPEN(LCRD, FILE=NOMI, STATUS='OLD')

LCRT=1 $ LIMP=1

WRITE(1, '("DAR UNIDAD DE SALIDA")')

READ(1, *) IMP

WRITE(1, '("NOMBRE DEL ARCHIVO DE SALIDA",

" N.B. DEBE HABER SIDO CREADO")')

READ(1, '(A6)') SALI

OPEN(IMP, FILE=SALI, STATUS='OLD')
 00034
 00035
00036
 00037
00038
 00039
00040
00041 C
00042 C
00043 C
                                  CALL DATOS
                                  READ(LCRD, 15) N, (IPAR(I), I=1,N)
 00045
00046
                                  READ(LCRD,10) ST, WP, OH, OA, SCI
READ(LCRD,10) (PAR(1), I=1,10)
                                  DO I=1.N
READ(LCRD,10) XG(I),PQN(I),D(I),XI(I),XS(I)
 00047
 00049
00050 C
                                  END DO
 00051
00052 c
                                  CALL CALCUL
000534
000556
000556
00057
00058
00058
                                  A=1
                                  ALGORITHO DE HOOKE-JEEVES HODIFICADO UTILIZADO
                                  PARA LA CALIBRACION AUTOMATICA
                         I=0 $ IAB=0
FG=-CC(XG)
NEF=1
11 DO J=1,N
XO(J)=XG(J)
END DO
FO=FG
 00060
 00061
 00062
00063
00064
```

```
00065
                21 DÜ J = 1 P 1 X (J) = X (J) = X (J) = X (J) = X (J)
00067
84000
00069
                      END DO
                      FX=F0
I=I+1
00070
00071
00072
                       J=0
                J=U
41 J=J+1
IF(J.GT.N) GO TO 14
T(J)=AMIN1(XS(J),X(J)+D(J))
FT=-CC(T)
NEF=NEF+1
IF(T.LE.FX) GO TO 12
X(J)=T(J)
00073
00074
00075
00076
00077
00078
00079
00080
                      EX=ET
GO TO 41
                U 1U 41

12 T(J)=AMAX1(XI(J),X(J)-D(J))
FT=-CC(T)
NEF=NEF+1
IF(FT.LE.FX) GO TO 13
X(J)=T(J)
FX=FT
CO TD 44
00082
00083
00084
00085
00086
00087
                       GO TO 41
00088
00089
                 13 T(J) = X(J)
                 14 IF(FX,LE,FG) GO TO 17
00070
                      IAB=0

IF(FX.LE.FD) GO TO 18

DO J=1 N

XO(J)=X(J)+A*(X(J)-XG(J))

XO(J)=AMAX1(XO(J),XI(J)) $ XO(J)=AMIN1(XO(J),XS(J))

XC(J)=X(J)

END DO
00092
00093
00094
00095
 00096
00037
                      FG=FX
FO=-CC(XO)
00099
 00100
                 NEF=NEF+1
GO TO 21
17 IF(IAB.LT.1) GO TO 11
00103
                 18 ISO=0
DO 40 J=1,N
IF(D(J),L1,FQN(J)) GO TO 40
00106
                ISO=1
D(J)=D(J)*0.5
40 CONTINUE
00107
00108
                      IF(ISO.EQ.1) GO TO 31
FX=-CC(X)
60110
00111
00112 C
                      CALL COEFI
00114 C
00115
00116
                      WRITE(IMP,84)
WRITE(IMP,86) QDA,QSA,QIA,ETA,MQA,TQA,QPK,
PKQR,CC1,MBF,FBM,PAC,BAL
00117
                      WRITE(IMP,88)

WRITE(IMP,92) ST,RM,WP,OH,OA,S1,S3,SCI
WRITE(IMP,94)
WRITE(IMP,92) FP,FI,FL,FE,NX,FD,FB,FSE
00118
00119
00120
88122 c
00123 C
                      CALL PLOTEO
00125 C
00126 C
                       #############FORMATOS##############
00127
00128
                 10 FORMAT(5F10,4)
15 FORMAT(1615)
                 84 FORMAT(//,35X, "CUADRO RESUMEN",//)
00129
```

```
00130
00131
00132
00133
00134
00135
88136
00138
00139
00140 C
00141
                       STOP
00142 END
00143 C
00144 $EMA /C1/,/C2/
00145 SUBROUTINE DATOS
                    SUBROUTINE DATOS
CHARACTER *60 TITULO
COMMON /C1/ PD(1627), EVD(1827), MQD(1827), RQD(1827)
COMMON /C2/ HS(367), SA(367), QD(367), QSTE(367), QS(367), TI(367),
*8I(367), TQ(367), PP(367), ET(367)
COMMON /C3/ FE, FB, FI, FD, FL, FP, S3, NX, FSE, DA, OH, ST, RM, WP, S1, SCI,
*QDA, QSA, QSTEA, QIA, PPA, ETA, TQA, MQA, RQA, PAC, BAL, SUM, QPK, PKQR, CCI,
*MBF, FBM
CDMAON /C4/ NDA(5), NDM(60), ND(12), NDTOT
COMMON /C5/ ANOI, ANOF, MESI, NESF, DIAI, DIAF, IUNIT, AREA, NMES, NANO,
*TITULO, LCRD, IMP, LCRT, INCOP, ICCD
COMMON /C6/ N, IPAR(10), PAR(10)
00146
00148
00149
00150
 00151
00152
00153
001534
001555
001557
00158
00158
00161
                      INTEGER DIAI, DIAF, ANOI, ANDF
INTEGER TI
REAL IA, MBF, NX, MQA, MQD
REAL LINEA
00161
00162 C
                       SE LEE INFORMACION GENERAL DE LA CUENCA
 00164 C
00165
00166
00167
00168 C
00169 C
                       READ(LCRD,32) TITULO
READ(LCRD,42) DIAI,MESI,ANDI,DIAF,MESF,ANDF
READ(LCRD,45) AREA
                       IUNIT : INDICADOR DE UNIDADES DEL ARREGLO DE VALORES
                       OBSERVADOS DEL CAUDAL
00171 C
00172 C
00173 C
00174 C
00175 C
                       LANINA ESCURRIDA EN MM.
                       CAUDAL EN m**3/seg
CAUDAL EN 1/seg
                                                                       : IUNIT=1
                                                                       : IUNIT=2
                       INCOP: INDICE DE CORRECCION DE LA PRECIPITACION Y
88138
                                      DE EVAPORACION F
00179 C
00180 C
00181 C
00182 C
00183 C
                       NO SE CORRIGE LA PRECIP. NI LA EVAP.
SE CORRIGE LA PRECIPITACION
                                                                                                   INCOP=0
INCOP=1
                                                                                                   INCOP=2
                       SE CORRIGEN PRECIP. Y EVAP.
                       ICCD : INDICE DE CORRECCION DEL CAUDAL DIRECTO
                       SI NO SE CORRIGE EL CAUDAL DIRECTO
                                                                                                : ICCD=0
00185 C
00186
00187
00188
                       SI SE CORRIGE EL CAUDAL DIRECTO
                       READ(LCRD, 20) IUNIT, INCOP, ICCD
00189 C
00190 C
00191 C
00192
00193
                       *****************************
                 20 FORMAT(315)
32 FORMAT(10X,7HCUENCA,A60)
42 FORMAT(6110)
00194
```

```
80195 C 45 FORNAT(F10.2)
88133
                                 RETURN
END
00199 C
00200 $ENA /C1/,/C2/
                                 SUBROUTINE CALCUL
00201
                             SUBROUTINE CALCUL
CHARACTER*60 TITULO
COMMON /C1/ PD(1627), EVD(1827), HQD(1827), RQD(1827)
COMMON /C2/ HS(367), SA(367), QD(367), QSTE(367), QS(367), TI(367),
*QI(367), TQ(367), PP(367), ET(367)
COMMON /C3/ FE, FB, FI, FD, FL, FP, S3, NX, FSE, DA, OH, ST, RM, NF, S1, SCI,
*QDA, QSA, QSTEA, QIA, PPA, ETA, TQA, HQA, RQA, PAC, BAL, SUM, QPK, PKQR, CCI,
*MBF, FBM
COMMON /C4/ NDA(5), NDM(60), ND(12), NDTOT
COMMON /C5/ ANOI, ANOF, MESI, MESI, NDTOT
COMMON /C5/ ANOI, ANOF, MESI, MESI, NDTOT
COMMON /C6/ N, IPAR(10), PAR(10)
00202
00203
00204
00205
00205
00206
00207
00208
00209
00210
 00211
00212
88213 C
                                INTEGER DIAI,DIAF,ANOI,ANDF
INTEGER TI
REAL IA,NEF,NX,NQA,NQD
REAL LINEA
00214
00215
00216
00217
00218 C
00219
00220
00221
                                 06222
06223
06224
06225
                                 DO 37 JJ=1 NMES
ND(IH)=31 $ R=NA/4. $ R1=INT(R)
IF(R,EQ,R1) THEN
IF(IH,EQ,2) ND(IH)=29
                                ELSE

IF(IH, EQ.2) ND(IH)=28

END IF

IF(IH, EQ.4.OR.IH, EQ.6.OR.IH, EQ.9.OR.IH, EQ.11) ND(IH)=30
                            IF (1M, EQ, 4, UK, 1M, EQ, 8, UK, 1M, EQ, 9, UK, 1M, EQ, 9, UK, 1M, EQ, 9, UK, 1M, EQ, 9, UK, 1M, EQ, 1) - DIAI+1
IF (JJ, EQ, 1) - NDM(JJ) - DIAF
NDTOT=NDTOT+NDM(JJ)
IF (JJ, EQ, 1, UR, 1M, EQ, 1) - THEN
NDA(JA) = NDM(JJ)
ELSE
- NDA(JA) = NDA(JA) + NDM(JJ)
END IF
END IF
IM=IM+1
IF(IM.LE.12) GO TO 37
00241
00242
                                 IM=1 $ JA=JA+1 $ NA=NA+1
IF(JA.GT.NANO) GO TO 37
                                                                                                                                                                                              €*
00244
00244
00245
00246
00247
00248
00248
00255
00255
00255
00255
00255
00255
                        37 CONTINUE
                                 NDT1=NDTOT+1 $ NDT2=NDTOT+2
                                 SE LEEN LOS ARREGLOS DE PREC. , EVAP. Y CAUDAL
                                 READ(LCRD,43) (PD(I),I=2,NDT2)
READ(LCRD,43) (EVD(I),I=2,NDT2)
READ(LCRD,43) (HQD(I),I=2,NDT1)
                                 IF(IUNIT.EQ.1.OR.IUNIT.EQ.2) THEN DO I=2,NDTI
00255
00256
00257
                                 MOD(I)=MOD(I)*86.4/AREA
IF(IDNIT.EQ.2) THEN
                                 MQD(I)=MQD(I)/1000.
00258
                                 END IF
```

```
10250
                                 ERITEVINP, 39)
                                 WRITE(IMP,43) (MQD(I),I=2,NDT1)
00261
00262
00263 C
                                 END IF
                                 IF (INCOP.EQ.1.OR.INCOP.EQ.2) THEN
                                DO K=2,NDT1
PD(K)=FD(K+1)
IF(INCOP,ED,2) THEN
EVD(K)=EVD(K+1)
00265
00265
00267
00268
00270
00270
00271
00272
00273
                                 ENB JE
                                END DO
WRITE(IMP, 35)
WRITE(IMP, 43) (PD(K), K=2, NDT1)
IF(INCOP.EQ.2) THEN
WRITE(IMP, 43) (EVD(K), K=2, NDT1)
8827<del>3</del>
8827<del>3</del>
                                ENB IF
00278 C
00279 C
00280 C
00281
00282
00283
                                 ******************************
                        35 FORMAT(/,15X, "ARREGLO DE LA PRECIPITACION CORREGIDA",/)
33 FORMAT(/,15X, "ARREGLO DE LA EVAPORACION CORREGIDA",/)
39 FORMAT(/,15X, "ARREGLO DE LA LAMINA ESCURRIDA EN MM.",/)
43 FORMAT(/,15X, "ARREGLO DE LA LAMINA ESCURRIDA EN MM.",/)
00285
00286
00287 C
00288 $1
00289
                                RETURN
END
               $ENA /C1/,/C2/
FUNCTION CC(X)
                            FUNCTION CC(X)
CHARACTER*60 TITULO
COMHON /C1/ PD(1827), EVD(1827), HQD(1827), RQD(1827)
COMHON /C2/ HS(367), SA(367), QD(367), QSTE(367), QS(367), TI(367),
*QUMON /C2/ HS(367), PP(367), ET(367)
COMHON /C3/ FE FE FI FD FL FP, S3, NX, FSE, OA, DH, ST, RN, MP, S1, SCI,
*QDA, QSA, QSTEA, QIA, PPA, ETA, TQA, KQA, RQA, PAC, BAL, SUN, QPK, PKQK, CCI,
*HBF, FBM,
COMHON /C4/ NDA(5), NDM(60), ND(12), NDTOT
COMHON /C5/ ANDI, ANDF, MESI, MESF, DIAI, DIAF, IUNIT, AREA, NMES, NANO,
*TITULO, LCRD, IMP, LCRT, INCOP, ICCD
COMHON /C6/ N, IPAR(10), PAR(10)
00290
00291
00293
00293
00293
88296
88297
00298
00299
00300 -
00301 C
00302
00303
00304
00305
                                INTEGER DIAI,DIAF,ANOI,ANOF
INTEGER TI
REAL IA,MBF,NX,MQA,MQD
REAL LINEA
DIMENSION X(18)
00306
00307 C
00308
                                 WRITE(1,'("ENTRO A SICADI")')
00309 C
00310
00311
00312
                                PAC=0. $ ETA=0. $ QDA=0. $ QIA=0. $ PPA=0. $ QSTEA=0. $ BAL=0. QSA=0. $ TQA=0. $ RQA=0. $ SUM=0. $ QPK=0. $ PKQR=0. $ VAHS=0. HBF=150. $ IBH=150.
00313 C
00314
                                 DO I=1,N
IP=IPAR(I)
003117
000318
000321
000321
000322
                                 PAR(IP)=X(I)
                                  IF(IP.EQ.1) THEN
                                 ÎF(OH,GT.PAR(1)) OH=PAR(1)
                                  IF(IP.EQ.2)THEN
00323
                                  IF(SCI.GT.PAR(2)) THEN
```

```
00325
00326
                  END IF (2)
                   END IF
00327 C
00328
00329
                  IF(IP.E0.3.DR.IP.E0.7) THEN PENAL1=PAR(3)+PAR(7) IF(PENAL1.GT.1.0) THEN
00330
                   CC=9999999999.
00331
                   WRITE(LCRT,'("SOLUCION ILOGICA")')
RETURN
00332
00333
                   EN IF
00334
00335
00336 C
                   IF(IP.EQ.8.OR.IP.EQ.9) THEN
                  00338
00339
00340
00341
00342
00343
                   RETURN
END IF
                   END IF
00344
00345
00346 C
00347
00348
00349
                  S3=0.04834*PAR(2)**1.25
IF(SCI.LT.S3) THEN
SCI=S3
00350
00351 C
                   END IF
00352
00353 C
00354 C
00355 C
00356 C
                   RM=PAR(1) $ S1=PAR(2) $ FI=PAR(3) $ FL=PAR(4) $ FE=PAR(5)
NX=PAR(6) $ FD=PAR(7) $ FB=PAR(8) $ FSE=PAR(9) $ FP=PAR(10)
                 DO 823 JA=1,NAND
NDIA=NDA(JA)+1
DO 812 I=2,NDIA
JJ=JJ+1
00359
00360
00361
00362
00363
             00364
00365
00366
00367
00368
00369
00370
00371
00372
00373
00374
00375
                  E(1)=0.

END IF

IF(HS(I-1).GE.RK) ET(I)=ETP*FE

IF(ET(I).LT.0.) ET(I)=0.

SC=SC+(VAHS*FL)

IF(SC.LT.0.) SC=0.
                  #F($£:61:87) $£=$7
88379
00378
00379
                   IA=0.2*SC
IF(PM.GT.IA) GO TO 500
00380
00381 C
                   QD(1)=0. $ HF=PH $ GO TO 515
                  ESTIMACION DEL CAUDAL POR EL METODO DEL SCS EEUU
Q=Pe×∗2/(Pe+S)
00382 C
00384 C
00385
            500 QD(I)=(PH-IA)*(PH-IA)/((PH-IA)+SC)
00386
00387
                  HF=PN-QD(I)
IF(HF.LT.O.) HF=0.
            515 PAC=PAC+PH
00388
```

```
QDA=QDA+QD(I)
HS(I)=HS(I-1)+HF-ET(I)
IF(HS(I).LT.WP) THEN
ET(I)=ET(I)-(WP-HS(I))
HS(I)=WF
END IF
ETA=ETA+ET(I)
IF(HS(I).GT.ST) GO TO 550
 00389
00390
00391
 003394
003394
0033995
0033996
00033990
00033990
                                                              0X=0

  00400
 60403
00404
                                                          GO TO 580

565 PP(I)=FD*(HS(I)-RM)
QI(I)=FD*(HS(I)-RM)
HS(I)=HS(I)-PP(I)-QI(I)
QIA=QIA+QI(I)

580 VAHS=HS(I-1)-HS(I)
PPA=PPA+PP(I)
SA(I)=SA(I-1)+PP(I)
QS(I)=FE*SA(I) $ QSA=QSA+QS(I)
QSTE(I)=FSE*SA(I) $ QSTEA=QSTEA+QSTE(I)
SA(I)=SA(I)-QS(I)-QSTE(I)
IF(SA(I)-I.U.) SA(I)=U.
TQ(I)=QD(I)+QI(I)+QS(I)+QX $ TQA=TQA+TQ(I)
IF(ICCD.EQ.1) THEN
RQD(JJ)=TQ(I)-QD(I)+0.75*QD(I-1)+0.25*QD(I)
ELSE
RQD(JJ)=TQ(I)
END IF
IF(RQD(JJ).LT.FBM) FBM=RQD(JJ)
IF(RQD(JJ).LT.FBM) FBM=RQD(JJ)
IF(RQD(JJ).LT.HBF) MBF=HQD(JJ)
RQA=RQA+RQD(JJ)
DIF=(RQD(JJ)-MQD(JJ))*(RQD(JJ)-MQD(JJ))
SUM=SUM+DIF
IF(RQD(JJ)-MQD(JJ))*(RQD(JJ)-MQD(JJ))
IF(MQD(JJ).GT.PKQR) PKQR=RQD(JJ)
IF(MQD(JJ).GT.QPK) QPK=MQD(JJ)

811 IF(I.EQ.NDIA) THEN
IF(JA.LT.NANO)THEN
-AS(I)=HS(I) $ SA(I)=SA(I) $ QD(I)=QD(I)
ELSE
RSE=HS(I) $ SAF=SA(I)
 00405
 00407
  00408
 00409
00410
00411
00412
  00415
  00418
 00419
  00421
 00422
00423
00423
00425
00425
00427
00428
00431
                                                                                                  FLSE
HSF=HS(I) $ SAF=SA(I)
    004<u>32</u>
00433
                                                                HSF=HS(1) SAF=SA(1)
END IF
END IF
TI(1)=I-1
812 CONTINUE
823 CONTINUE
DHS=HSF-OH $ DAS=SAF-OA
CC=SUM
00436
00437
00438
00439
00440
00441 C
 00442
00443
                                                                                                     WRITE(1,88)
WRITE(1,92) ST,RH,WP,OH,DA,S1,S3,SCI
                                                                                                  WRITE(1,94) FP,FI,FL,FE,NX,FD,FB,FSE WRITE(1,31) SUN
 88445
 00446
00447 C
 00448
00449
                                                                                                    BAL=TOA+DHS+DAS+ETA+QSTEA
 00449 C
00450 C
00451 C
                                                                                                     ##############FORMATOS##############
                                                                           31 FORMAT(3X, "CC=",F8.4)
 00452
```

```
00453
00454
00455
00456
    00457 c
                                                             RETURN
    00459
    00460 C
                                                            END
    00462 $EHA /C1/,/C2/
00463 SUPROVIINE COEFI
00464 CHARACTER*60 TITULO
     00463
00464
                                                            COMMON /C2/ PD(1827), SA(367), 40(387), 8572 (587), 85(367), TI(367),
    00465
00465
                                                       COMMON /C2/ HS(367),5A(367),QD(367),QSTE(367),QSTE(367),TG(367),TG(367),TG(367),TG(367),TG(367),TG(367),TG(367),TG(367),TG(367),TG(367),TG(367),TG(367),TG(367),TG(367),TG(367),TG(367),TG(367),TG(367),TG(367),TG(367),TG(367),TG(367),TG(367),TG(367),TG(367),TG(367),TG(367),TG(367),TG(367),TG(367),TG(367),TG(367),TG(367),TG(367),TG(367),TG(367),TG(367),TG(367),TG(367),TG(367),TG(367),TG(367),TG(367),TG(367),TG(367),TG(367),TG(367),TG(367),TG(367),TG(367),TG(367),TG(367),TG(367),TG(367),TG(367),TG(367),TG(367),TG(367),TG(367),TG(367),TG(367),TG(367),TG(367),TG(367),TG(367),TG(367),TG(367),TG(367),TG(367),TG(367),TG(367),TG(367),TG(367),TG(367),TG(367),TG(367),TG(367),TG(367),TG(367),TG(367),TG(367),TG(367),TG(367),TG(367),TG(367),TG(367),TG(367),TG(367),TG(367),TG(367),TG(367),TG(367),TG(367),TG(367),TG(367),TG(367),TG(367),TG(367),TG(367),TG(367),TG(367),TG(367),TG(367),TG(367),TG(367),TG(367),TG(367),TG(367),TG(367),TG(367),TG(367),TG(367),TG(367),TG(367),TG(367),TG(367),TG(367),TG(367),TG(367),TG(367),TG(367),TG(367),TG(367),TG(367),TG(367),TG(367),TG(367),TG(367),TG(367),TG(367),TG(367),TG(367),TG(367),TG(367),TG(367),TG(367),TG(367),TG(367),TG(367),TG(367),TG(367),TG(367),TG(367),TG(367),TG(367),TG(367),TG(367),TG(367),TG(367),TG(367),TG(367),TG(367),TG(367),TG(367),TG(367),TG(367),TG(367),TG(367),TG(367),TG(367),TG(367),TG(367),TG(367),TG(367),TG(367),TG(367),TG(367),TG(367),TG(367),TG(367),TG(367),TG(367),TG(367),TG(367),TG(367),TG(367),TG(367),TG(367),TG(367),TG(367),TG(367),TG(367),TG(367),TG(367),TG(367),TG(367),TG(367),TG(367),TG(367),TG(367),TG(367),TG(367),TG(367),TG(367),TG(367),TG(367),TG(367),TG(367),TG(367),TG(367),TG(367),TG(367),TG(367),TG(367),TG(367),TG(367),TG(367),TG(367),TG(367),TG(367),TG(367),TG(367),TG(367),TG(367),TG(367),TG(367),TG(367),TG(367),TG(367),TG(367),TG(367),TG(367),TG(367),TG(367),TG(367),TG(367),TG(367),TG(367),TG(367),TG(367),TG(367),TG(367),TG(367),TG(367),TG(367),TG(367),TG(367),TG(367),TG(367),TG(367),TG(367),TG(367),TG(367),TG(367),TG(367),TG(367),TG(367),TG(367),TG(367
    00467
   00459
00459
00470
00471
00472
00474
    00475 C
00476
00477
00478
                                                            INTEGER DIAI, DIAF, ANDI, ANDF
INTEGER TI
REAL IA, MEF, NX, MQA, MQD
    88428 с
                                                             REAL LINEA
     00481
00482
                                                            MGA=0.
DO J=2,NDTOT+1
MGA=MGA+MQD(J)
                                                                                                                                                                       ital.ula.ve
     00483
    00484
00485
00485
                                                             END DO
                                                            AVQ=#QA/NDTOT
SE=(SUM/NDTOT)**0.5
     80487 c
                                                             CC1=SE/AVQ
00489 RETURN
00490 END
00491 C
00492 $EMA /C1/,/C2/
00493 SUBROUTINE PLOTEO
CHARACTER *60 TITE
    00493
00494
00495
                                                      SUBROUTINE PLOTED
CHARACTER *60 TITULO
COMMON /C1/ PD(1827), EVD(1827), MQD(1827), RQD(1827)
COMMON /C1/ PD(1827), EVD(1827), MQD(1827), RQD(1827)
COMMON /C2/ HS(367), SA(367), QD(367), QSTE(367), QS(367), TI(367),
*8QI(367), TQ(367), PP(367), ET(367)
COMMON /C3/ FE, FB, FI, FD, FI, FP, S3, NX, FSE, DA, DH, ST, RM, WP, S1, SCI,
**QDA, QSA, QSTEA, QIA, PPA, ETA, TQA, MQA, RQA, PAC, BAL, SUM, QPK, PKQR, CCI,
**MBF, FBM
COMMON /C4/ NDA(5), NDM(60), ND(12), NDTOT
COMMON /C4/ NDA(5), NDM(60), ND(12), NDTOT
COMMON /C5/ ANOI, ANOF, MESI, NESF, DIAI, DIAF, IUNIT, AREA, NMES, NANO,
**TITULO, LCRD, IMP, LCRT, INCOP, ICCD
COMMON /C6/ N, IPAR(10), PAR(10)
     00496
    00497
00498
    00499
00500
00501
00502
     00503
    00564
00505 C
                                                            INTEGER DIAI, DIAF, ANDI, ANDF
    88585
                                                             REAL 16 MBF, NX, NQA, NQD
    00508
                                                        DIMENSION LINEA(101) ESCALA(10), AMES(12)
DATA BLANCO, PUNTO, CROZ, ASTER/1H, 1H., 1H+, 1H*/
DATA AMES/3HENE, 3HEEP, 3HKAP, 3HABR, 3HMAY, 3HJUN, 3HJUL, 3HAGO,
3HSEP, 3HUCT, 3HNUV, 3HJUL,
    00510
00511
    88513
    00514 C
00515 C
00516 C
                                                             CALCULO DE LOS VALORES MAXIMOS Y MINIMOS DE LA ESCORRENTIA
                                                             IF (DPK.GT.PKQR) THEN
```

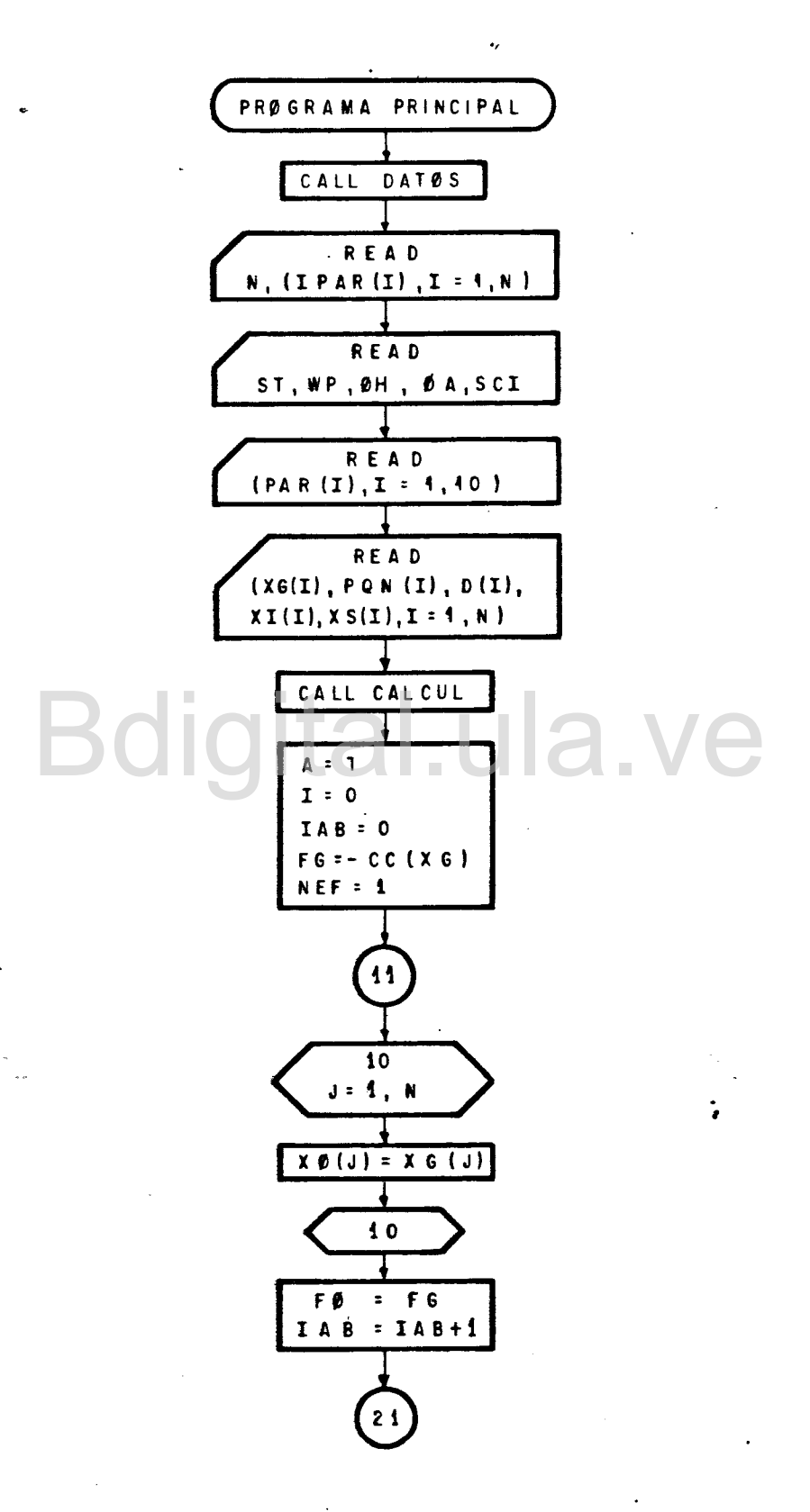
```
98519
                                ELSE OPK
80520
80521
                                 ENEX=PKOR
                                IF (MBF.LT.FBM) THEN EMIN=MBF
00522
805234
•0524
•0525
60527
00529
00533
00533
00533
00533
00533
00533
00533
00533
00533
00533
00533
                                 ELSE
                                ĒMĪN=FBM
END IF
WRITE(IMP,29) EMAX,EMIN,RQA
                                PLOTEO DE LOS VALORES DE ESCORRENTIA OBSERVADOS Y ESTINADOS.
                          DO 6 J=1,10
ESCALA(J)=J*0.1*EMAX
6 CONTINUE
00534
00537
00538
00539
00540
00541
00542
                                WRITE(IMP,10) TITULO,AMES(NESI),ANOI,AMES(MESF),ANOF WRITE(IMP,20) ESCALA
                                 ID=DIAI $ IM=MESI $ KH=1 $ NA=ANDI $ JJ=1
                       D=DIAT & IM=NEST & KM=1 & KM
DO 7 J6=1,NANO
WRITE(IMP,16) AMES(IM-1),NA
DO 8 J=1,NDA(JA)
DU 9 J=1,101,10
LINEA(J)=PUNTO
IF(J.NE.181) THEN
DO 11 N=1.9
LINEA(J+N)=BLANCO
11 CONTINUE
FND IF
99544
99545
00545
00547
00548
00549
00549
00551
00551
00553
00554
00556
00557
00558
00559
                                                                                                           tal.ula.ve
                           END IF
9 CONTINUE
                                LS=(RQD(JJ+1)/EHAX)*100.+1.5
LO=(MQD(JJ+1)/EHAX)*100.+1.5
IF(LS.GT.101) LS=101
IF(LO.GT.101) LO=101
LINEA(LS)=ASTER
                                LINEA(LS)=HSIER
LINEA(LO)=CRUZ

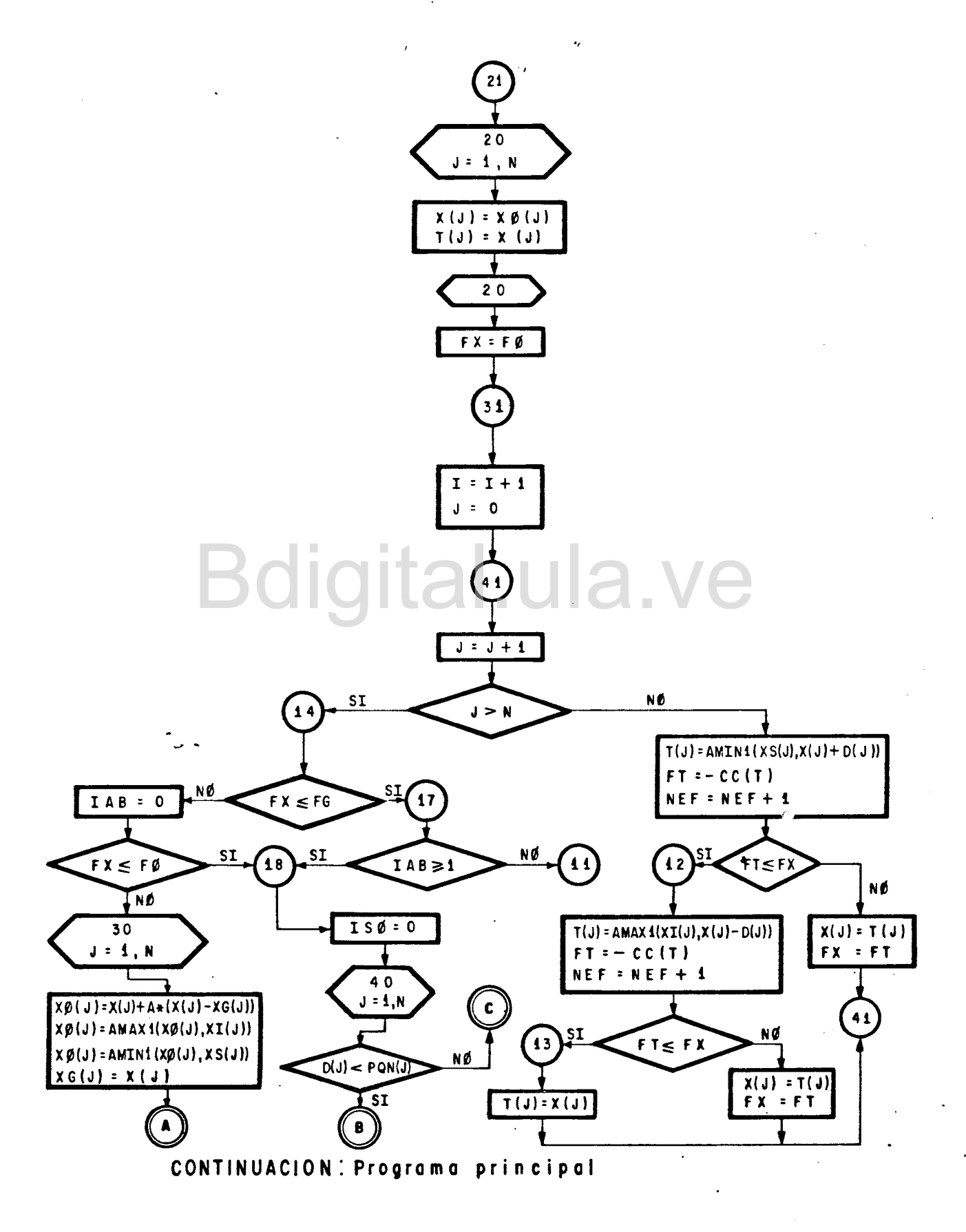
WRITE(IMP,30) ID,LINEA,MQD(JJ+1),RQD(JJ+1)
ID=ID+1 * JJ=JJ+1
IF(KM.EQ.1) GO TO 22
IF(ID.LE.NDM(KM)) GO TO 8
FETT LE NUMBER OF TO Q
00560
00561
00562
00583
                        22 IE(II.LE.NDN(KM)) GO TO 8
IF(JJ.GT.NDTOT) GO TO 7
ID=1 $ IM=IM+1 $ KM=KM+1
IF(IM.LE.12) GO TO 12
IM=1
00564
00565
00566
00567
00568
00569
                        NA-NA+1
12 WRITE(1,15) AMES(IM),NA
8 CONTINUE
7 CONTINUE
                                 **************FORMATOS*********
08573 C
00574
00575
                       10 FORMAT(1H1,10X,7HCUENCA,660,10X,8HPERIODO 63.1H J2,1H-A3,1H , 12,77,26X, FLOTEO DE COS VALORES DE ESCORRENTIA , //)
15 FORMAT(/,1H ,A3,1H ,I2)
16 FORMAT(//,1H ,A3,7X,I3,/)
20 FORMAT(7X,F11:1,9F10.1,4X,4H+OBS,5X,4H*SIM,/)
29 FORMAT(7/,15X, FAMX=" F10.2,5X, "EMIN=",F10.2,5X, "RQA=",F10.3)
30 FORMAT(1H1,13,2X,101A1,2F9.2)
00576
00577
00578
00579
00580
00581 C
00582
                                 RETURN
00583
                                END
```

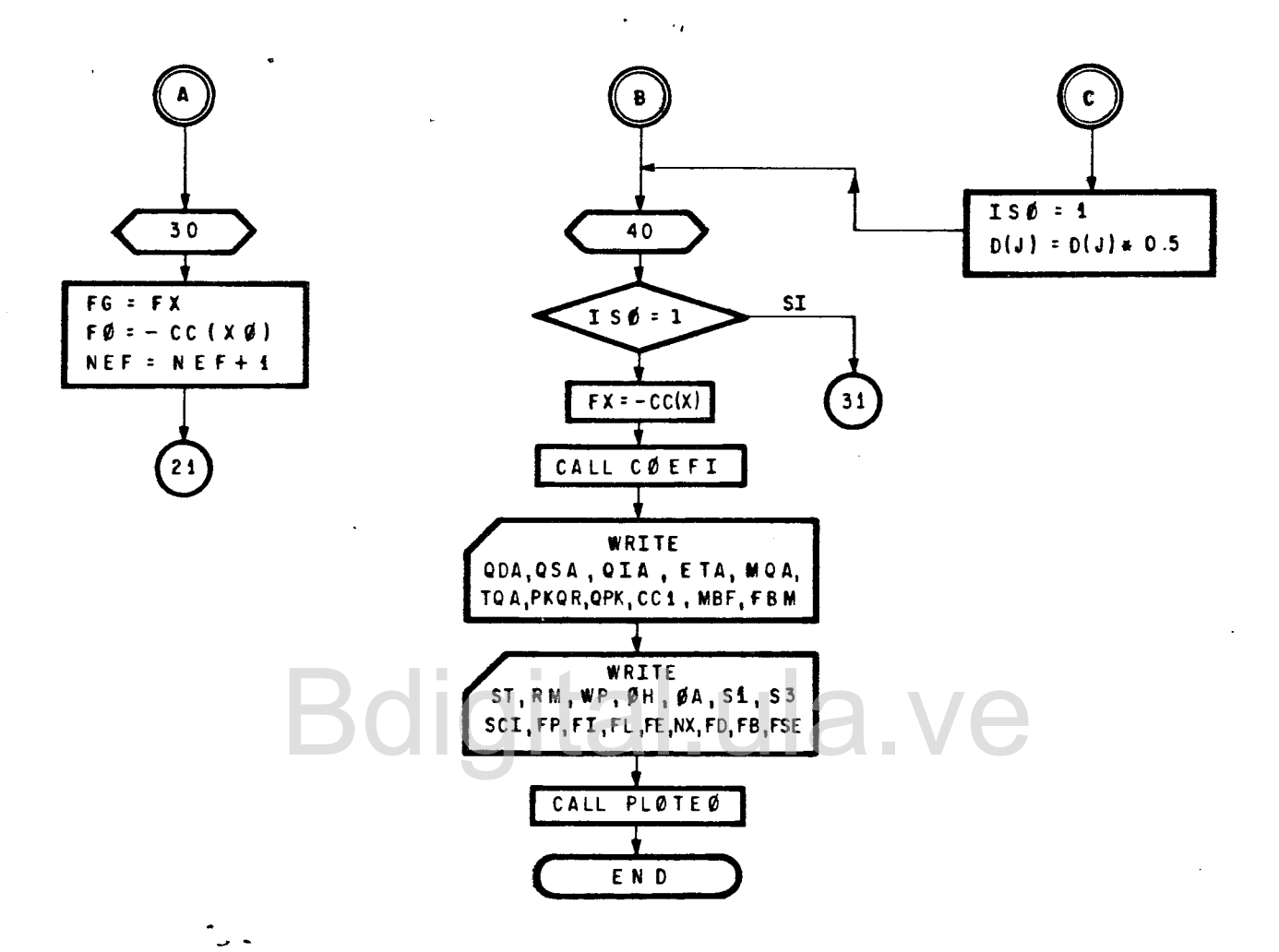
APENDICE II-B

Diagrama de flujo de la calibración automática,

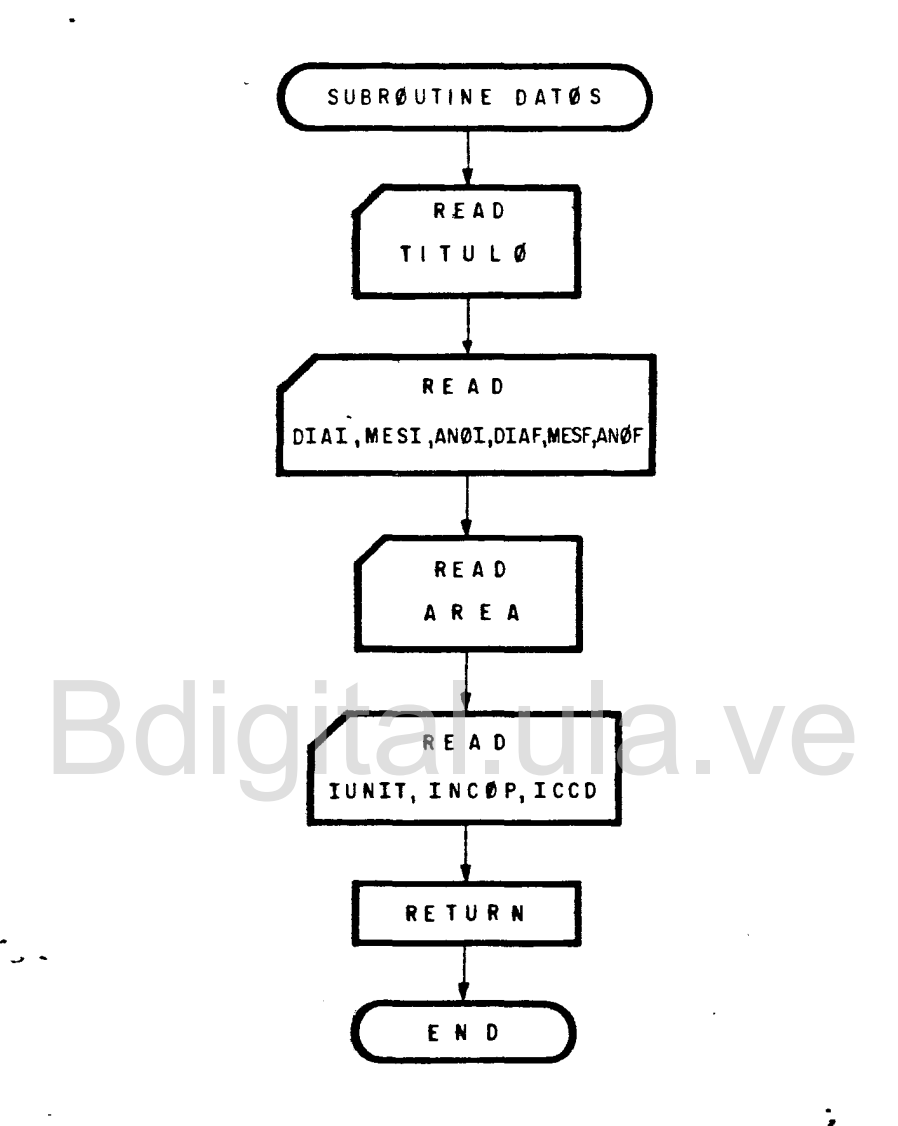
Boota Rehoj Boota Programa Kehoj Boota Programa Kehoj

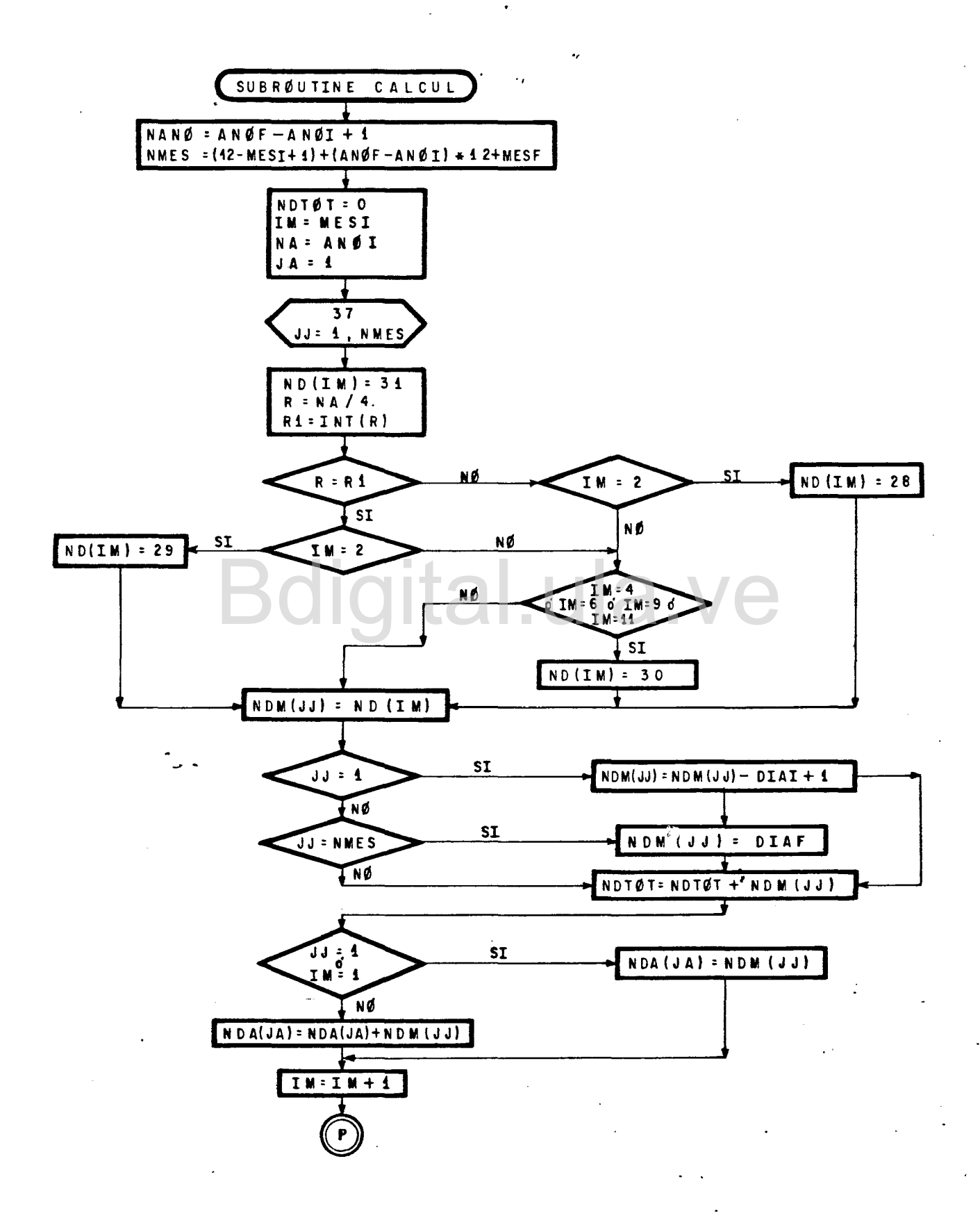


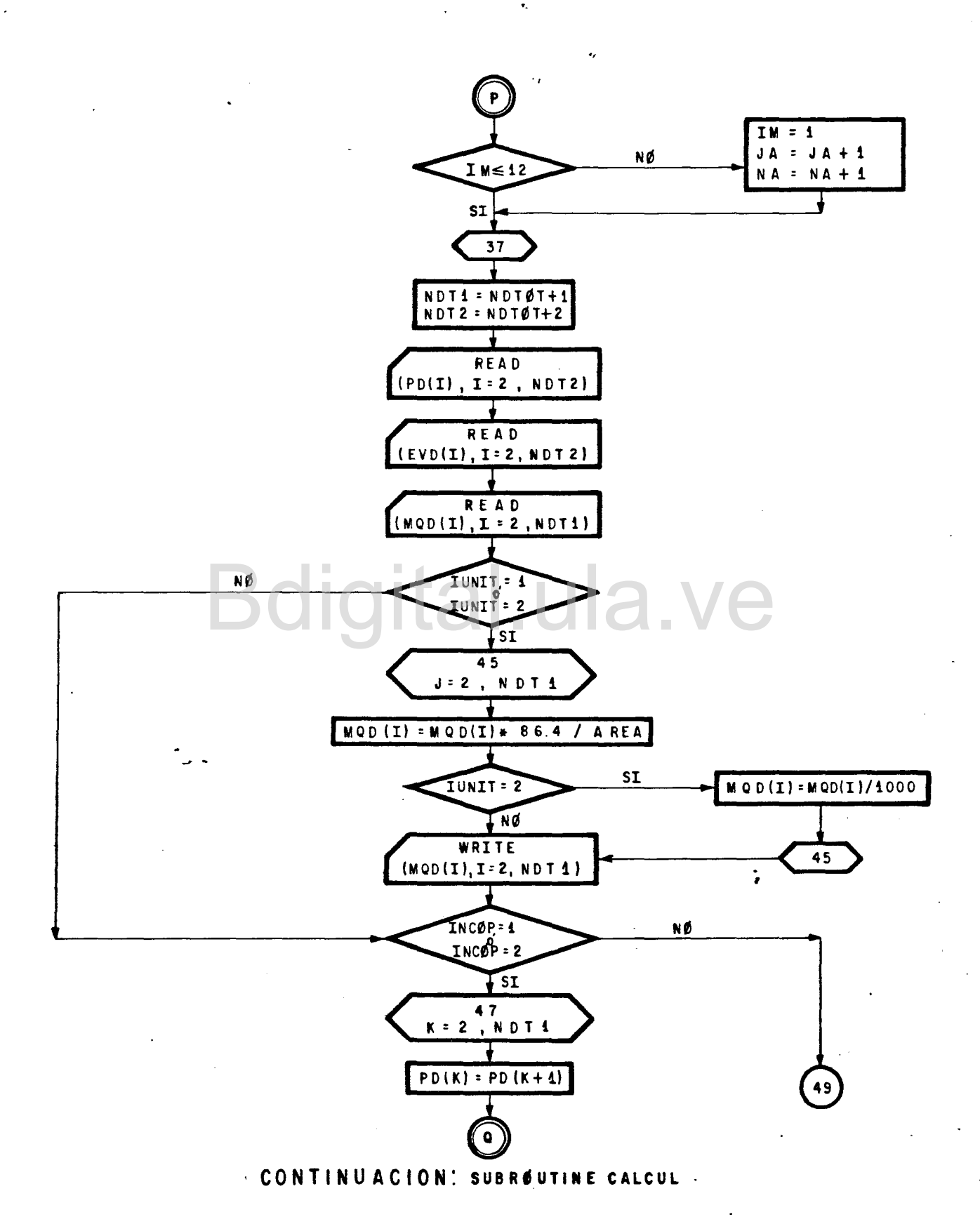


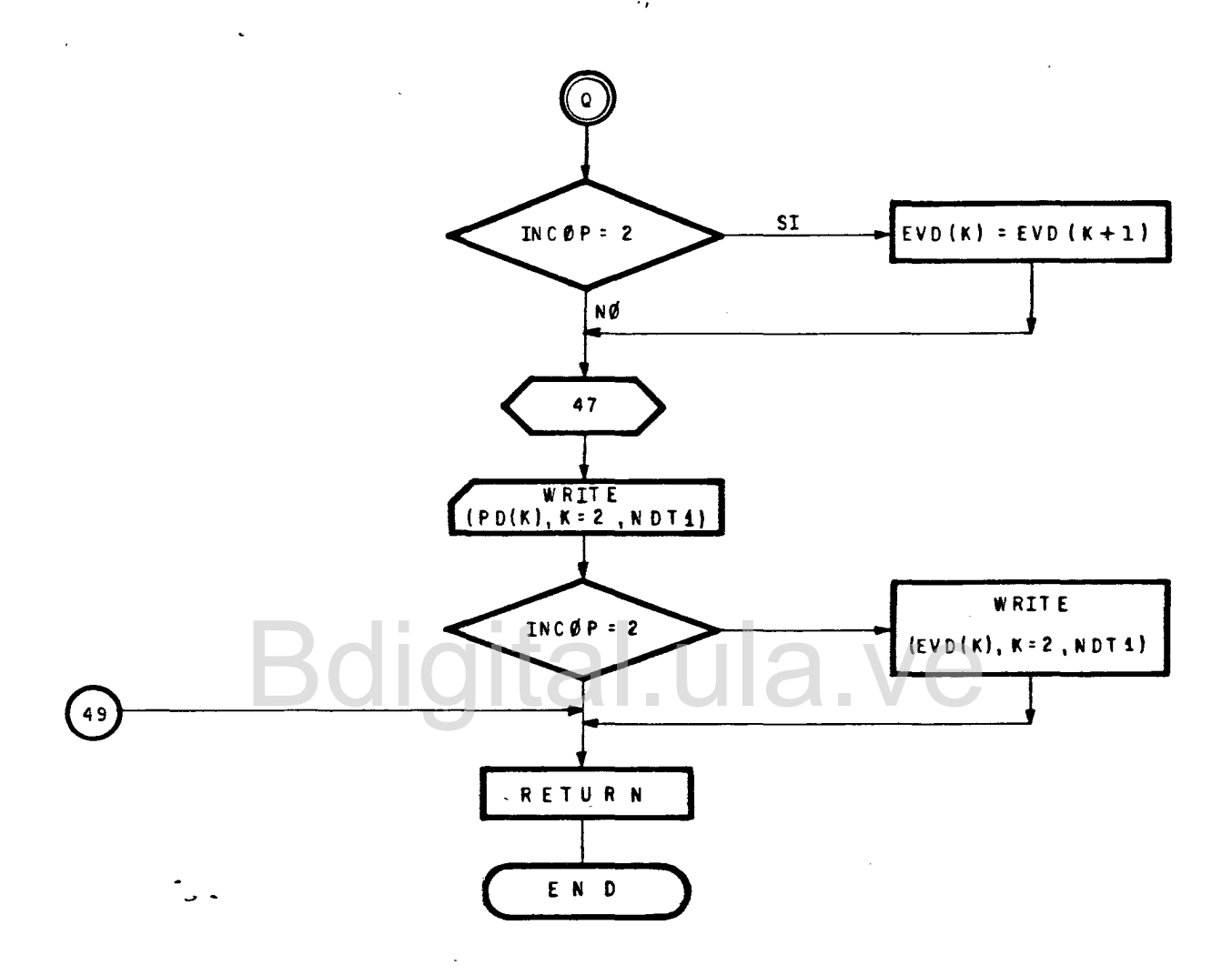


CONTINUACION: Programa principal

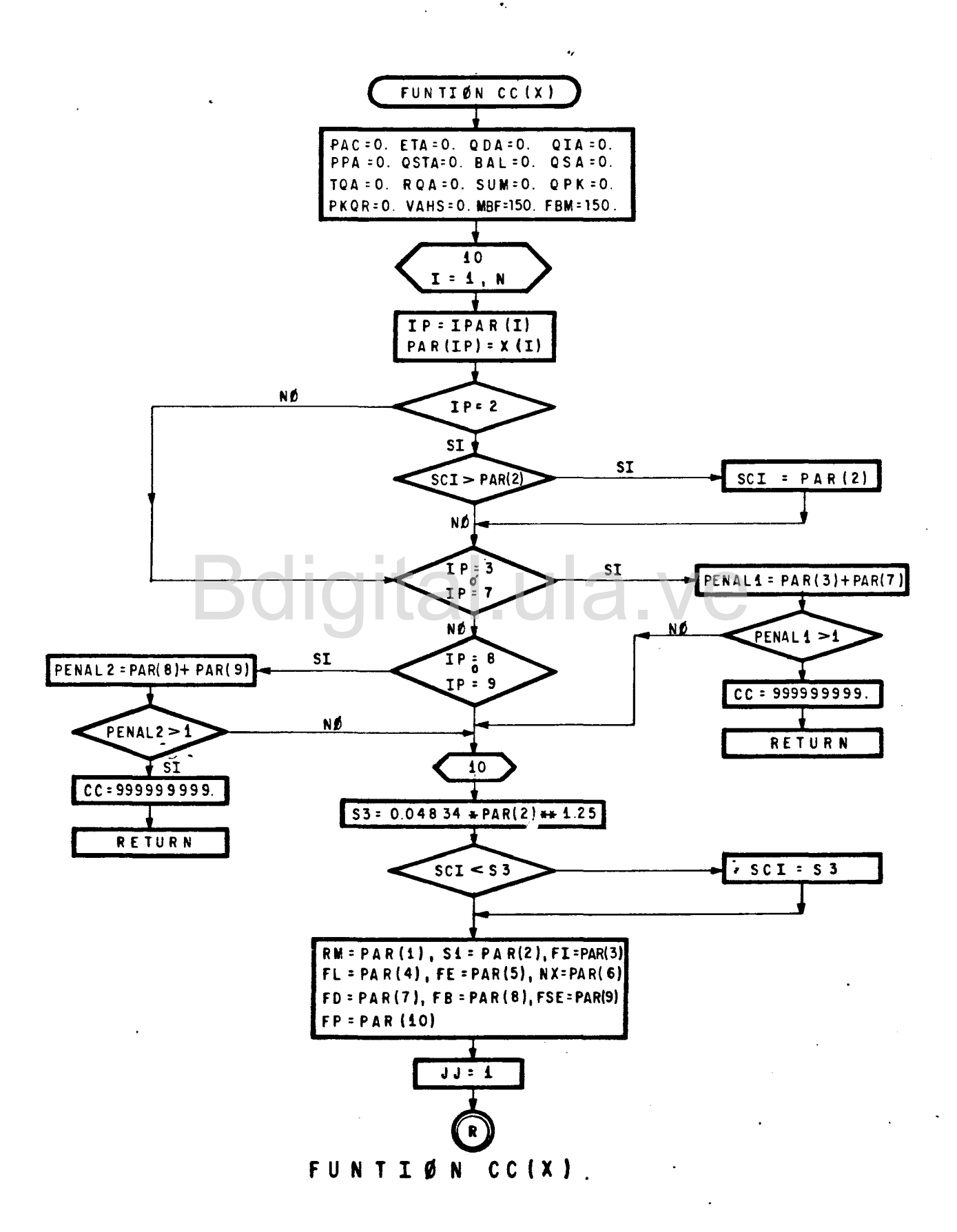


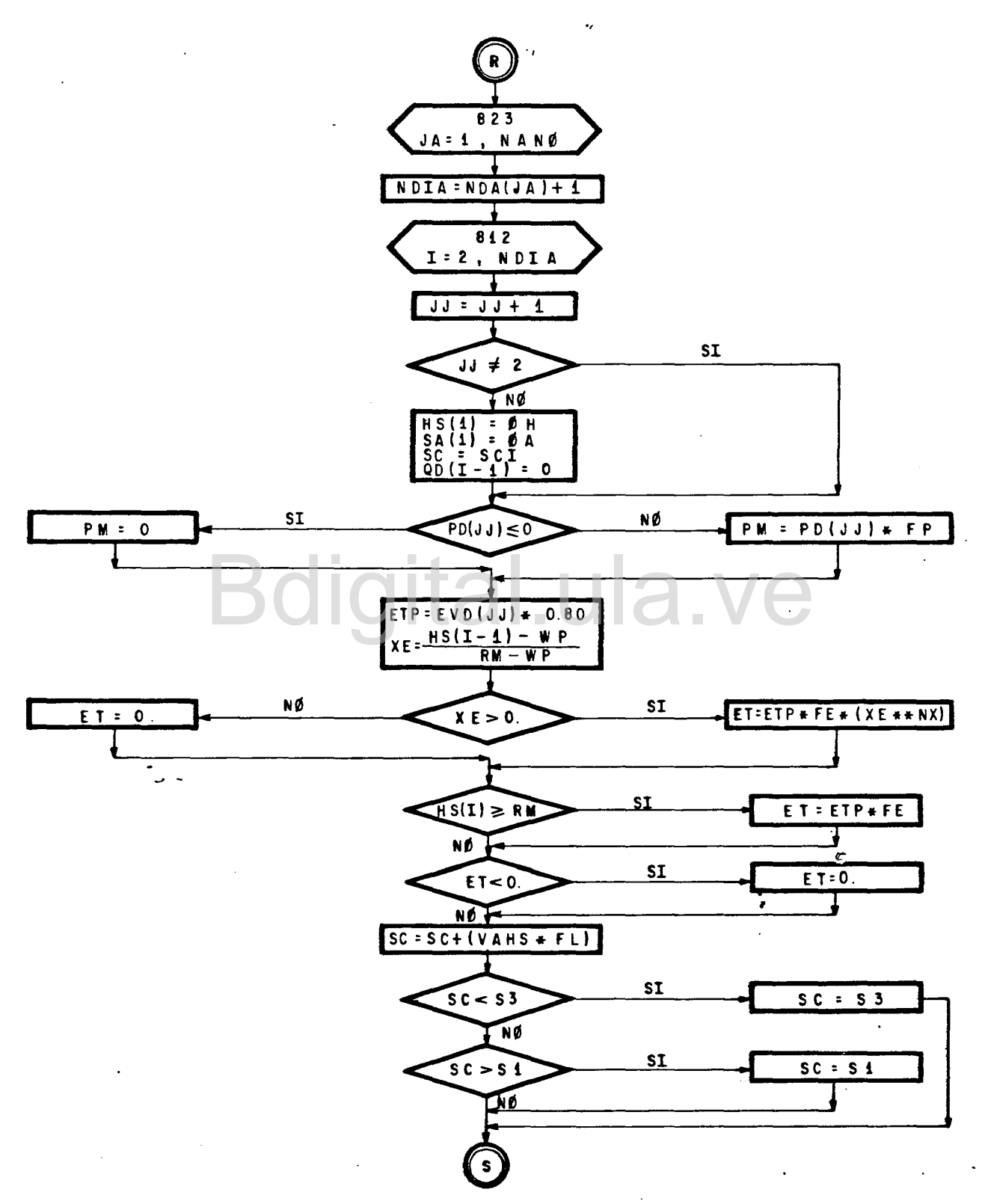




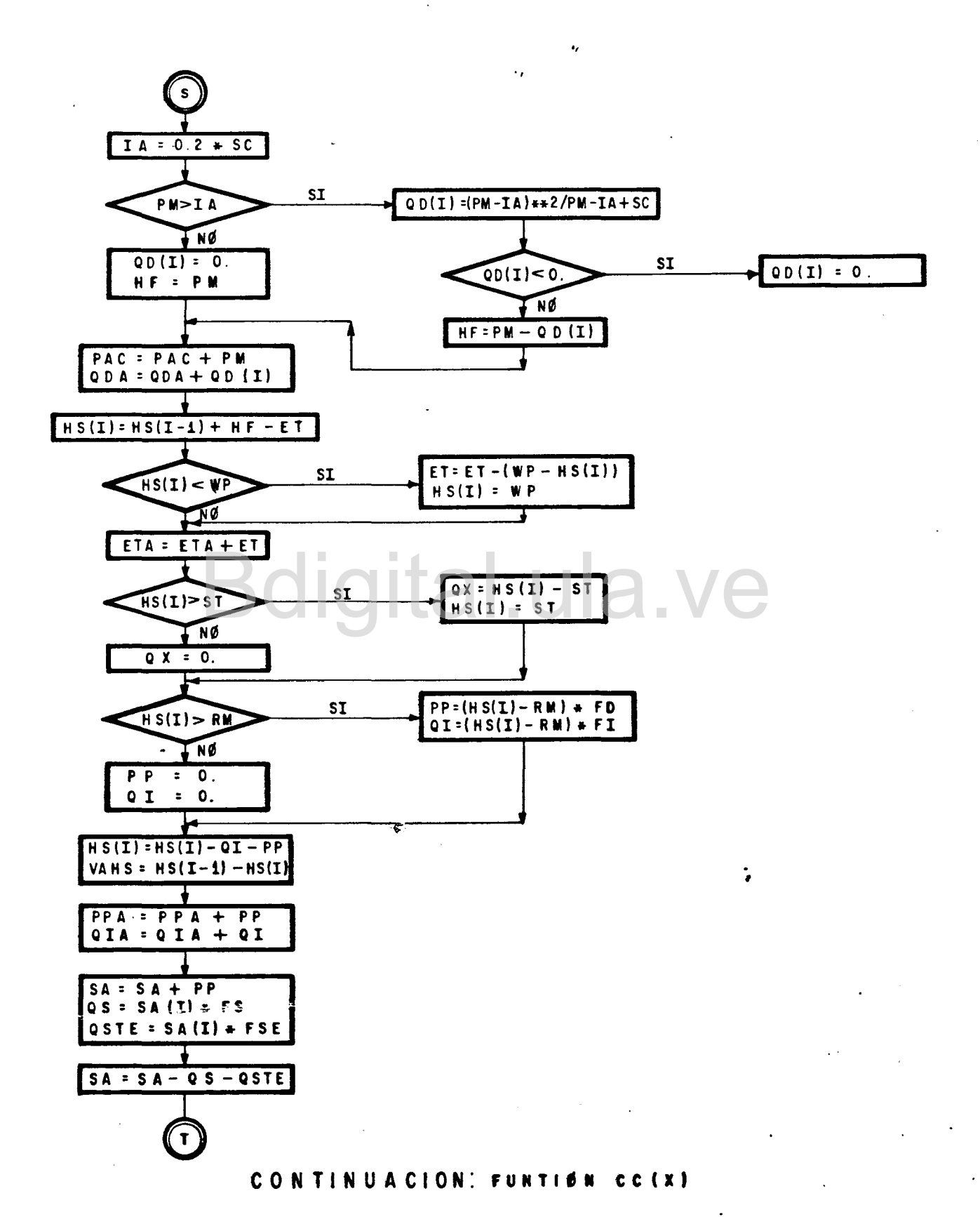


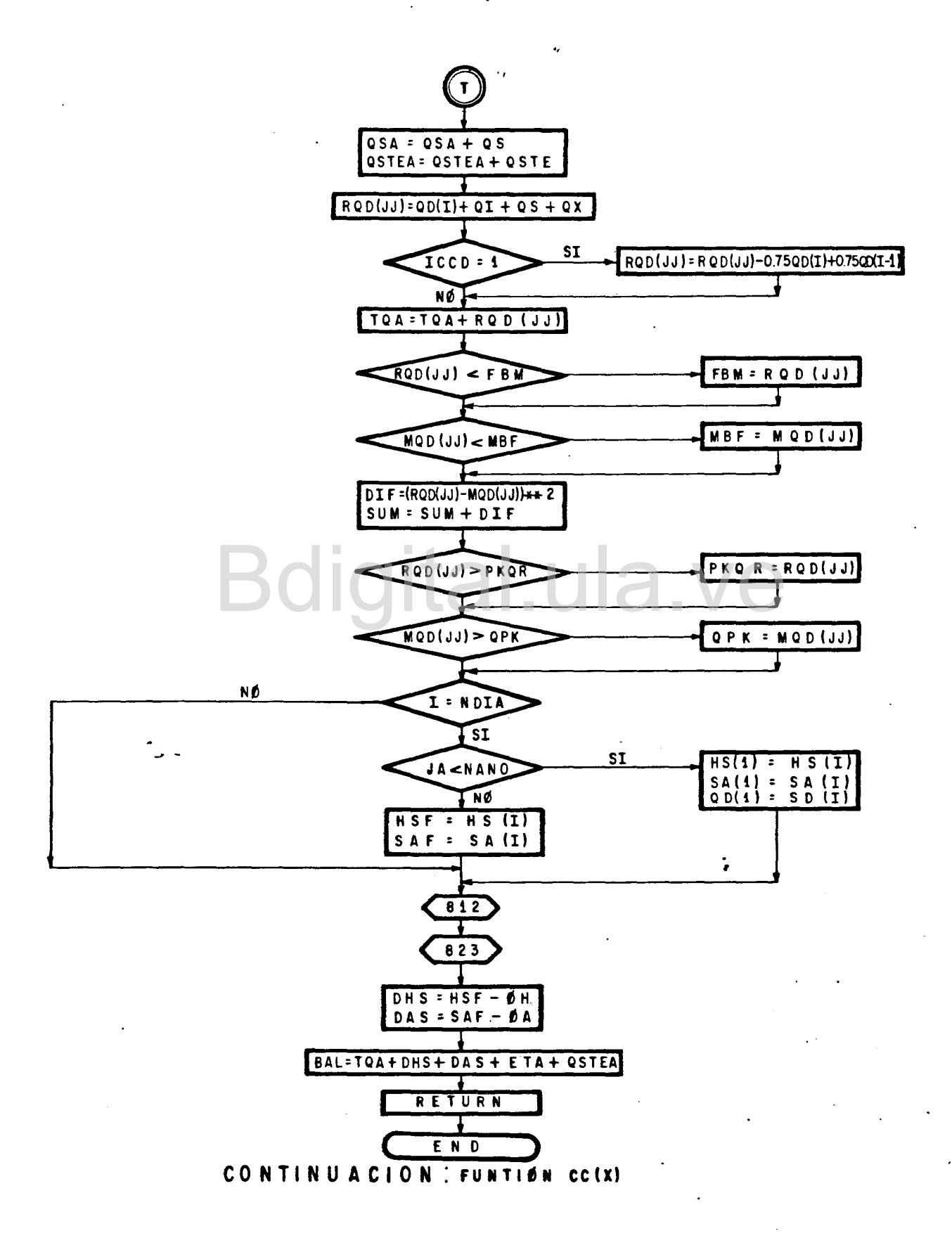
CONTINUACION: SUBREUTINE CALCUL ;

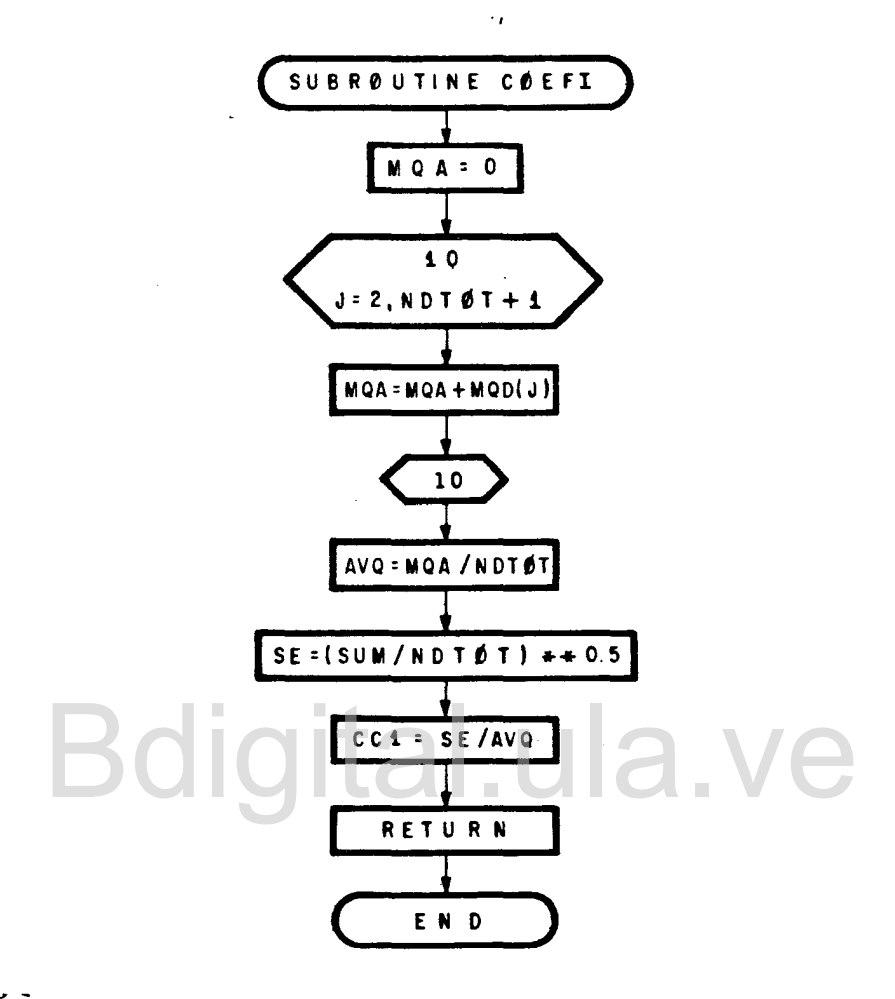




CONTINUACION: FUNTION CC (x)







APENDICE III

Listado de otros programas elaborados

Bdgltal.ua.ve

```
FIN
SFILES(0.2)
FROMMAN CAMBIO
THEOTER KO N
                      TROUGHN CHABLO
CHABACTER %6 NOYI
CHABACTER %6 NOYI
DINENSION EV(31),EVD(1097),CN(31),EM(1097)
DISTRESION EV(31),NEM(120),ND(12)
THICLER DIAI,DIAF,ANDI,ANDF
ELAI NO
PETTE(1./("DAR UNIDAD ENTRADA Y SALIDA")/)
                    REAL RO

VERICAL ("PARE UNIDAD ENTRADA Y SALIDA")")

LEAGE (1, "("PARE UNIDAD ENTRADA Y SALIDA")")

LEAGE (1, "("DAE NOADRE DE ARCHIVO DE ENTRADA")")

LEAGE (1, "("DAE NOADRE DE ARCHIVO DE ENTRADA")")

LEGE (1, "("DAE NOADRE DE SALIDA")")

LEGE (1, "("DAE ARCHIVO DE SALIDA")")

LEGE (1, "CADITAL ESTE ANON DIAC MORE ANOS
                     ERD IF
FCAD(LEC,8) DI41, MESI, ANOI, DIAF, MESF, ANOF
MESON ARDT - ANOI+1
NALS=(12-MESI+1)+(ANOF-ANOI-1)*12+MESF
HOTOT=0
IN=MESI
NA=ANOI
J4=1
DO 37 JI=1, NHES
DO (H)=31
R=NA-44.
R=1-INT(R)
                       RI=INT(R)
                       IF (R.EQ.R1) THEN
                       îr(îh.êQ.2) kD(îh)=29
ELSE
                     LLEE
IF (IM.EQ.2) ND(IM)=2B
END IT
IF (IM.EQ.4.OR.IM.EQ.6.OR.IM.EQ.9.OR.IM.EQ.11) ND(IM)=30
NDM(IJ)=NDM(IJ)=NDM(IJ)=DIAI+1
IF (IJ.EQ.1) NDM(IJ)=NDM(IJ)=DIAF
PROOT=MOTOT+NDM(IJ)
                       PDTOT=MDTOT+NDh(JJ)
IF(JJ,Eq.1.OR.1H.EQ.1) THEN .
                      NDA(JA)=NDA(JA)+NDK(JJ)
RLSE
NDA(JA)=NDA(JA)+NDK(JJ)
                      ERD IF
1K=1K+1
IF (IM.LE.12) GD TO 37
                      IX=1
JA=JA+1
NA=NA+1
                       1F (JA.GT.NAND) GO TO 37
           37 CONTINUE
                     JJ=U
DO I=1,NKES
RCAD(LEC,10) (EV(J),J=1,NDK(I))
DO J=1,NDK(I)
JJ=JJ+I
EVD(JJ)=EV(J)
END DO
END DO
END DO
                       JJ=0
                     JJ=0
DD I=1, NHES
READ(LEC, 10) (CH(J), J=1, NDH(I))
DD J=1, NDH(I)
JJ=J+1
QM(JJ)=CH(J)
END DO
END DO
```

 $X^{\prime\prime}$: .

C.C.Reconocimiento

٠.

Bdigital.ula.ve

```
Files(0,2)
                                         PROGRAM PROME
                                         ESTE FROGRAMA CAUCULA EL PROMEDIO PONDERADO DE CUALQUIER VARIABLE
     ESTE FROGRAMA CALCULA EL PRUMEDIO PONDENADO DE CUALQUIER VARIABLE

CHARACTER AFCHEMAO, ARCHSANO, TITULOXBO
DIFERCTION ACTO, FOLOS), PDC(1828), PDC(1828)
WESTE(1, "CTUAL OFFIRED DE ENTRADA Y SALIDA SEPARADAS POR COMA:")")
PEAD (1, X) LEC, INF

IF (LEC.GE, 10) THEN
LETTE(1, "CTUAL ACTORN, STATUS="OLD")
END IF
IF (TMP, GE, 10) THEN
LETTE(1, "CTUAL ACTORN DEL ARCHIVO DE SALIDA(6 CAR.MAX.):")")
PEAD(1, "CAS)") AFCHCA
CPEN(OMP), FILE-ASCHSA, STATUS="NEN")

XTERO IF
READ (LEC."(ABO)") TITULO
PEAD (LEC."(ABO)") TIT
                                                                                                                                                                                                                                                                                                                                                                                                                   tal.ula.ve
                                  FIR(1)=0.0

END IO

DO I=1.N

FEAD (LEC,12) (PD(J),J=1,NDTOT)

BO J=1,NDTOT

FDM(J)=PIM(J)+FD(J)*F(I)
                                    END DO
END DO
WRITE (IMP,12) (PDM(J),J=1,NDTOT)
            10 FOFHAT (12.F8.2)
12 FCSHAT (10F8.2)
14 FORHAT (15)
                                    STOP
END
```

```
.B(31)*4,TITVSC
CV,LLUV(31).A(4500)
CMIDAD DE ERTRADA Y SALIDA (*)')
RF
                                                                         DEL ARCHIVO DE ENTRADA (")')
                                         TIF
(IHP.GT.10) THEN
WRITE(1,'('NOMBRE DEL ARCHIVO DE SALIDA ?")')
EEAD(1,'('ACA') NOM
GFEN(IRF,FILE=NEM,STATUS='NEW')
) IF
                              D IF
(ABCLED, (ABC)) TIT
(TECIME, ABC) TIT
(TECIME, ABC)
   ITE (IM)

CTE(1: ('TAS NUMERO )

CTE(1: ('TAS NUMERO )

CTE(1: NACE & NA(1)=31 & END DO

CTE(NACE & NA(1)=31 & END DO

EAD(LEC ) ('14X; (SA4)') (E(3); C=18,31)

CTE(1: CTE(1) & NA(1)=ND

ED TO 2

END IF

END DO

CTATINUE
END DO
CCATINUE
END DC
CLOSE(LED)

WRITE(1,'(INCMBRE DEL ARCHIVO DE ENTRADA (')')

READ(1,'($\))') NOM
OPEN(6\); FILE=NOM, STATUS='GLD')

READ(6\); (AUC)') TII
L=0
D0 I=1, NMES
NP=NA(1)

READ(6\); ((AX, 1\); IA, EXX)') (LLUV(J), J=1, 15)
READ(6\); ((AX, 1\); IA, EXX)') (LLUV(J), J=1\); NP)
L=L+1
A(L)=(FLGAT(LLUV(J)))/10.
END D0
ENI ID
WRITE(INP,'(10F8.2)') (A(J), J=1, L)
STOP
END
```

```
ABRAY THOOGS IS EN CHOODIZ USING COCCT BLKS RHODOO
                                               FINDX

4FILES(5.3)

PRINTING BEAVE

CHEATTE WINK-6.B(J)/A,TITXED

DIRECTOR WARACON,LUCVOS),A(4000)

FLD LICU

WITCH: ("DAR UNDAD IE ENTRADA Y SALIDA ?")')

FLO LICU

WITCH: ("NOMESE DEL ARCHIVO DE ENTRADA ?")')

FLO LICU

FRO ST

IF (10. ST.10) THEN

LETTE: ("MOMESE DEL ARCHIVO DE SALIDA ?")')

FRO ST

IF (10. ST.10) THEN

LETTE: ("MOMESE DEL ARCHIVO DE SALIDA ?")')

END ST

FRO 
FTN7X
tal.ula.ve
```

APENDICES IV-A, IV-B, IV-C

Bdigital.ula.ve

Este Apéndice presenta algunos ejemplos numéricos que sirven para ilustrar la parte teórica, utilizando la metodología expuesta en el Capítulo VII y los datos de la cuenca del río Tucupido.

Se ha creido conveniente dividir el apéndice en tres partes:

El Apéndice IV-A es la ilustración de la metodología presentada para estimación de los valores promedios de la retención máxima y del punto de marchitez permanente. Se estima también en el mismo el valor inicial de la humedad de suelo.

El Apéndice IV-B presenta el cálculo del valor máximo de la infiltración potencial representativa para toda la cuenca del Tucupido así como la estimación del valor inicial de la misma.

El Apéndice IV-C muestra como estimar el valor del parámetro del flujo subterráneo con el cual se empieza la calibración y el valor inicial del almacenamiento subterráneo.

APENDICE IV-A

Estimación de RM, WP y OH

La Figura IV-A2 muestra la zonificación del área total según el tipo de suelo; permite sacar el porcentaje que ocupa cada suelo respecto al área total. El siguiente cuadro refleja esta distribución para la cuenca del Tucupido.

Textura	% Area	RM	
Fa - FA	66.70	73.650 -120.649	
Fa - a	6.50	3.745 - 8.1	
FA	21.30	31.950 - 46.221	
a - FA	5.50	5.675 - 9.21	



Figura IV-Al Ubicación de las estaciones de medición utilizadas en la calibración del Tucupido

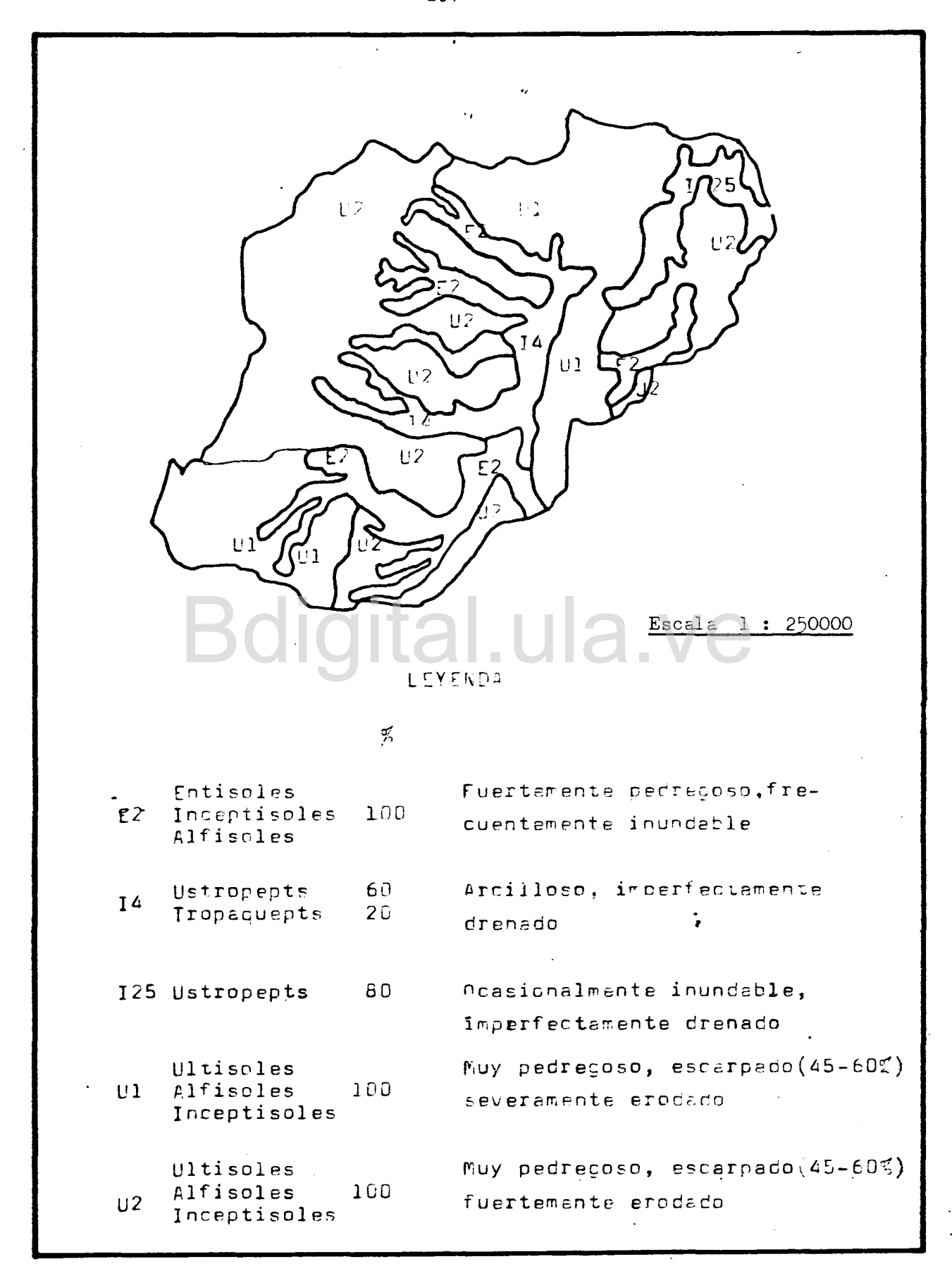


Figura IV-A2: Zonificación según el tipo de suelo de la

El valor promedio de la retención máxima para todo el área de la cue \underline{n} ca se calcula mediante la ecuación (7.5).

$$RM = \frac{1}{100} \sum_{i=1}^{N} P_i * RM_i$$

en la que

RM, es la retención máxima estimada para la zona i

P; es la proporción del área total que ocupa la zona i

RM; es la retención máxima promedio representativa de la cuenca

se tiene

RM >
$$\frac{1}{100}$$
 (66.70 * 73.65 + 6.50 * 3.745 + 21.30 * 31.95 + 5.50 * 5.675)

$$RM < \frac{1}{100} (66.70 \pm 120.649 + 6.50 \pm 8.1 + 21.30 \pm 46.221 + 5.50 \pm 9.21)$$

Se define entonces el rango de variación de la retención máxima para la cuenca como,

De igual forma se puede estimar el valor del punto de marchitez permanente representativo de toda el área:

Textura	% Area	WP
Fa - FA	66.70	45.173
Fa - a	6.50	2.605
FA	21.30	18.957
a - FA	5.50	3.545

$$WP = \frac{1}{100} \sum_{i=1}^{n} P_i * WP_2$$

siendo

WP. el valor estimado del punto de marchitez para la zona i

WP el valor representativo para toda el área del punto de marchitez permanente.

WP =
$$\frac{1}{100}$$
 (66.50 * 45.173 + 6.50 * 2.605 + 21.30 * 18.957 + 5.50 * 3.545)

$$WP = 70.28 \text{ mm}$$

Ya que el registro utilizado empieza en un período relativamente se co, se puede asignar a la humedad del suelo un valor igual o muy cercano al
punto de marchitez permanente. Para la calibración del modelo con los datos
de la cuenca del Tucupido, se comenzó con un valor de:

Estimación de S1 y SCI

Para la estimación de la infiltración potencial es necesario disponer además de la información de suelo de una información complementaria sobre tipo y densidad de cobertura vegetal. En vista de que se dispuso de un mapa sobre cobertura vegetal a la misma escala que el de tipos de suelo, el procesamiento de la información referente al complejo suelo-cobertura se hizo menos complicado.

El primer paso fue la determinación de la clase hidrológica de los suelos de la cuenca. Dicha clasificación resultó de consideraciones a cerca de la taxonomía de los suelos de la zona de los Llanos Occidentales obtenida del Programa de Inventario Nacional de Tierras, estudio realizado por el Ministerio del Ambiente y de los Recursos Naturales Renovables a través de su División de Información e Investigación del Ambiente. La Figura IV-B3 muestra la zonificación de la cuenca del río Tucupido según el tipo de vegetación.

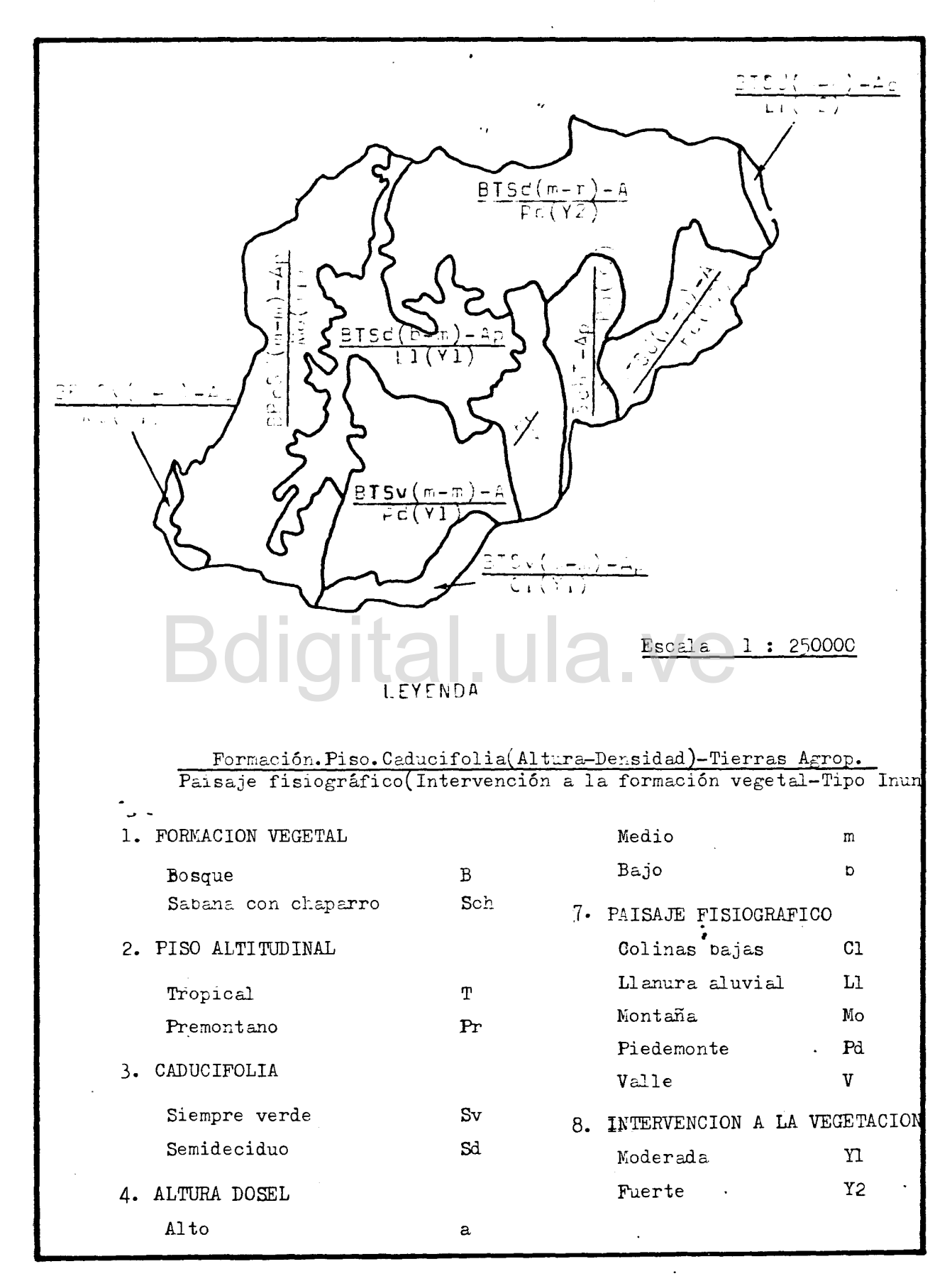


Figura IV-B3. Zonificación según la cobertura vegetal de la cuenca del Tucupido hasta Pte. Tucup

La distribución dentro de la cuenca del Tucupido hasta el Puente Tucupido del complejo suelo-cobertura es la siguiente:

	Pasto de pastoreo ralo	3%
Suelo de clase C	Bosque medio	2%
	Bosque ralo	2%
	Pasto de pastoreo ralo	2%
Suelo de clase D	Bosque medio	29%
	Bosque ralo	62%

Con la información así obtenida se pudo estimar la infiltración prome dio para la cuenca. Entrando a la Tabla ½, se sacaron los valores correspondientes al número de curva para cada asociación suelo-cobertura. Los cálculos realizados para la estimación del valor promedio de la retención máxima se llevaron a cabo en forma tabular.

Clase de	suelo Vegetación	% Area	cn;	_
c	Pasto de pastoreo ralo	3.0	86	_
С	Bosque ralo	2.0	77	
С	Bosque medio	2.0	73	¢
D	Pasto de pastoreo ralo	2.0	· 89	
D	Bosque ralo	29.0	83	
D	Bosque medio	62.0	79	

Con estos valores puede obtenerse el valor promedio de CN de la ecuación:

$$CN = \frac{1}{100} \sum_{i=1}^{N} P_i * CN_i$$

$$CN = 0.03 * 86 + 0.02 * 77 + 0.02 * 89 + 0.29 * 83 + 0.62 * 79 + 0.02 * 73$$

CN = 80.41

Este valor es el correspondiente a la condición de humedad antecedente II, la Tabla 6 proporciona el valor del número de curva para la ción I.

CNI = 63.41

La ecuación (7.6) permite calcular la infiltración potencial S1,

$$S1 = \frac{2540}{63.41} - 25.4 = 14.657$$
 cm = 146.57 mm

este valor es muy cercano al valor promedio de RM

Para empezar la calibración se asignó a la infiltración potencial inicial un valor muy cercano al estimado como máximo.

Se recomineda empezar siempre con un valor de SCI menor que S1.

APENDICE IV-C

Estimación de FB y OA

En la estimación del parámetro del flujo subterráneo, se usaron los registros de datos hidrológicos medidos en la cuenca.

Con datos de diferentes períodos de sequía se obtuvo el siguiente cuadro:

Qo;	· t _i	Qt i	$k_i = (Qt_i/Qo_i)^{1/t_i}$
2.42	2	2.20	0.9535
0.70	2	0.62	0.9411
0.22	8	0.18	0.9752
0.14	9	0.03	0.9685
0.09	6	0.06	0.9367
0.05	5	0.04	0.9563
0.04	4	0.02	0.8409
0.02	6	0.01	0.8906

$$k = \frac{1}{N} \sum_{i=1}^{N} k_i$$

$$k = 0.93285$$
digital.ula.ve

El valor de FB está dado por la relación:

$$FB = - \ln k$$
, $FB = - \ln 0.93285$
 $FB = 0.0695$

Para estimar el almacenamiento inicial subterráneo, se busca el valor de la escorrentía observada a la salida de la cuenca el primer día del período considerado para la calibración. En el presente caso es igual a 1.17 metros cúbicos por segundo. Se convierte a la lámina de agua equivalente haciendo:

$$MQD(2) = 1.17 * 86.4 / 440.0$$

$$MQD(2) = 0.23 \text{ mm}$$

y se obtiene el valor de OA como,

OA = MQD(2) / FB

0A = 0.23 / 0.0695 = 3.31 mm

NOTA: De acuerdo a la información del cuadro anterior, K no es constante.

Bdigital.ula.ve

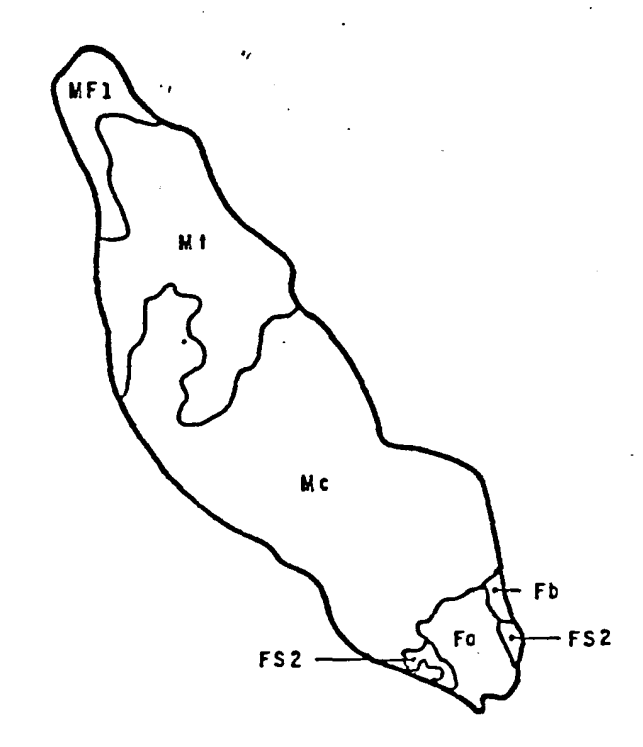
APENDICE V

OTRAS FIGURAS ELABORADAS

Bdigital.ula.ve



Fig. V-1 Zonificación según suelo y vegetación de la cuenca del río Acequia hasta Pte. Acequia.



LEYENDA

ESCALA 1:250.000

fontumes y cerros em-En pinacos(32:0-40:0 m.) Suelo pedrecoso do color gris oscuro.Páramo

nonteñas y cerros empint nados(700-1700 m.)Tierra templada. Suelo de color parco rojizo y perdo amarillento. Sosque

Terreno ligeramente endulado (a (2, a 5,) con orenaje imperfecto, cerivaco de depositos aluviales. Suelo Fe-Fp. Bosque talado, conucos y pas tos.

rontehas(1700-2700 m.) Tierra fria.Suelo pedrejoso de color p.rco grisseeo y peroo imeriilento.Bosque.Poca egricultura y ganaderia.

Fontañes(2700-320c m.) Tierra fría.Suelo pedregoso de dolor gris.Bosque.Poda agricultura y genedería.

tentañas y cerros muy empinate doz(200-730 m.)Tierra caliente.Suelo pardo rojizo y pardo anarillento.Bosque.

Figura V- 2.— Zonificación de la cuenca del Río Curvatí según suelo y cobertura vegetal.

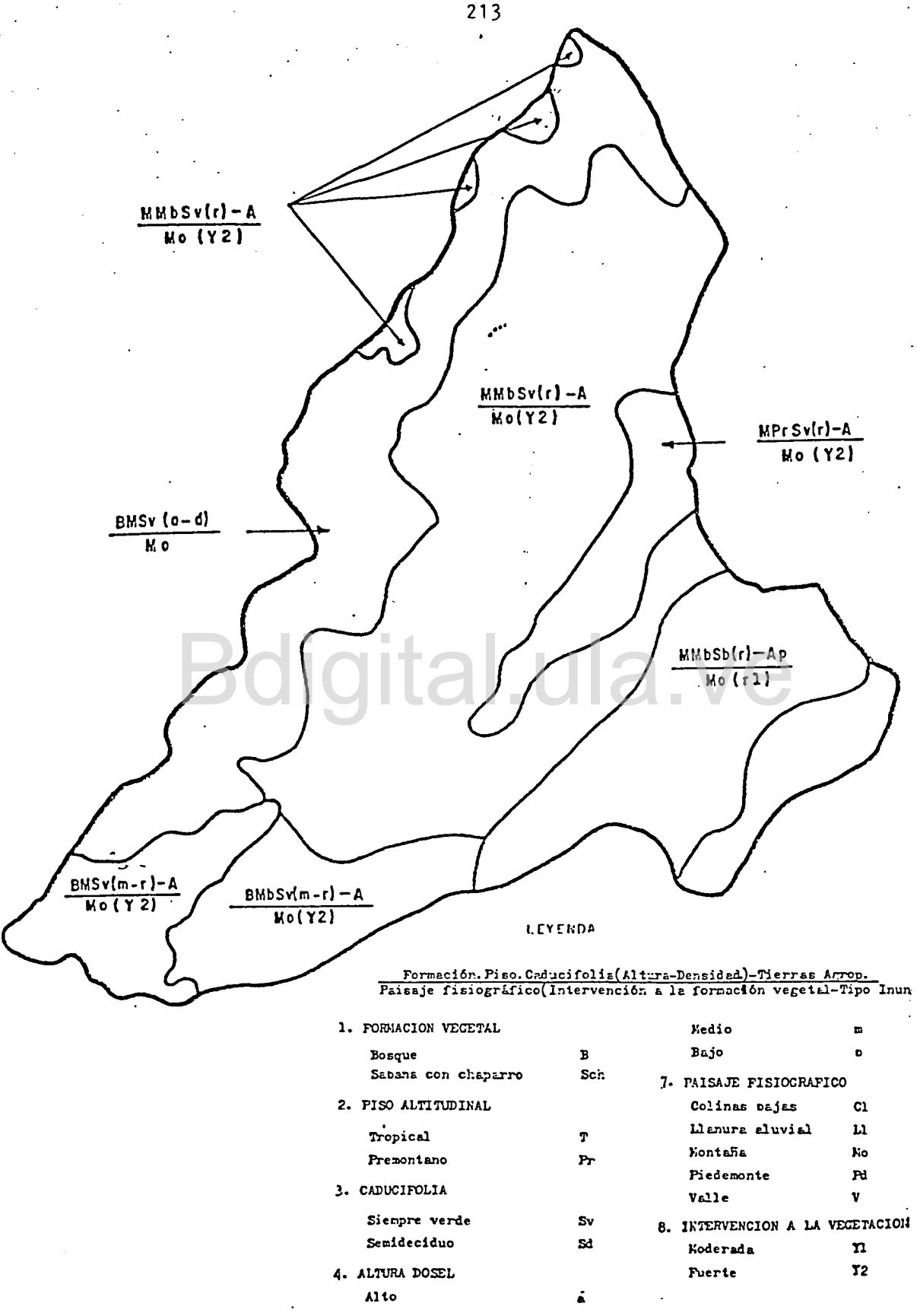
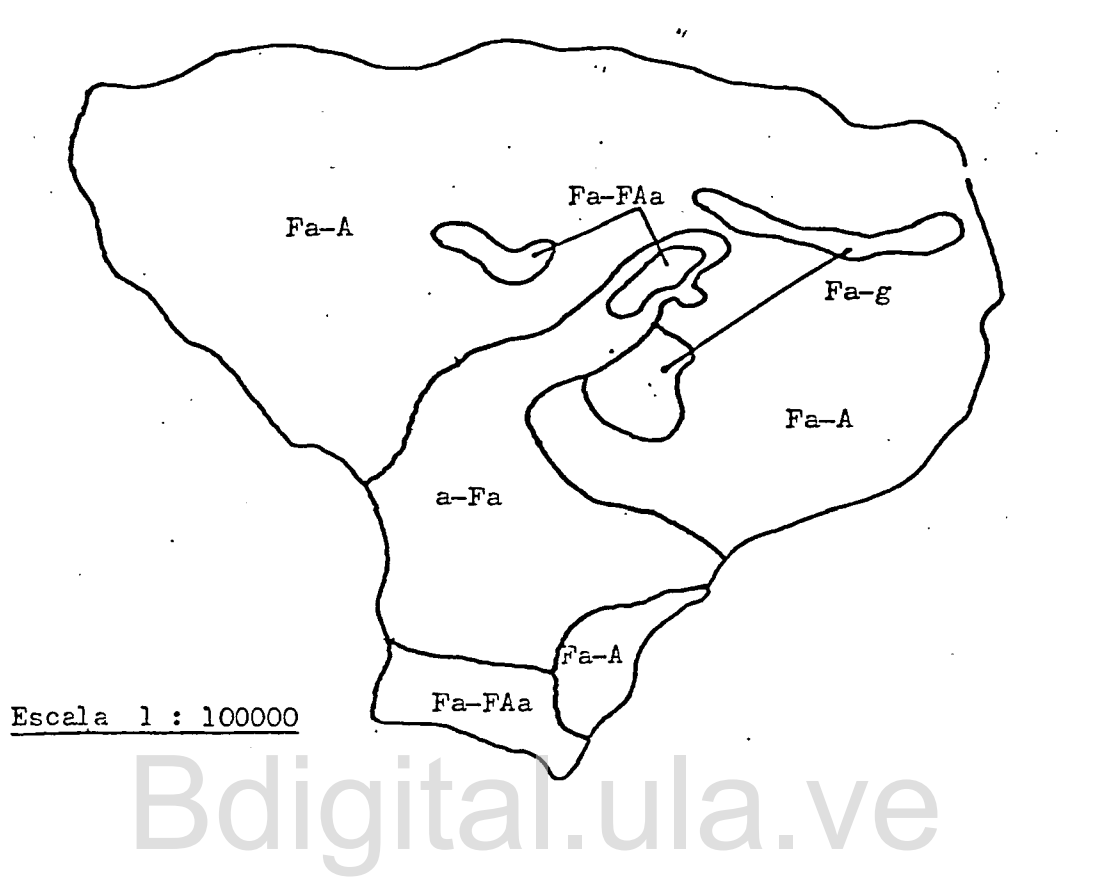


Figura V-3. - Zonificación de la cuenca del Río Canagua según la cobertura vegetal.



F : France

A - : Arcilloso

a : Arenoso

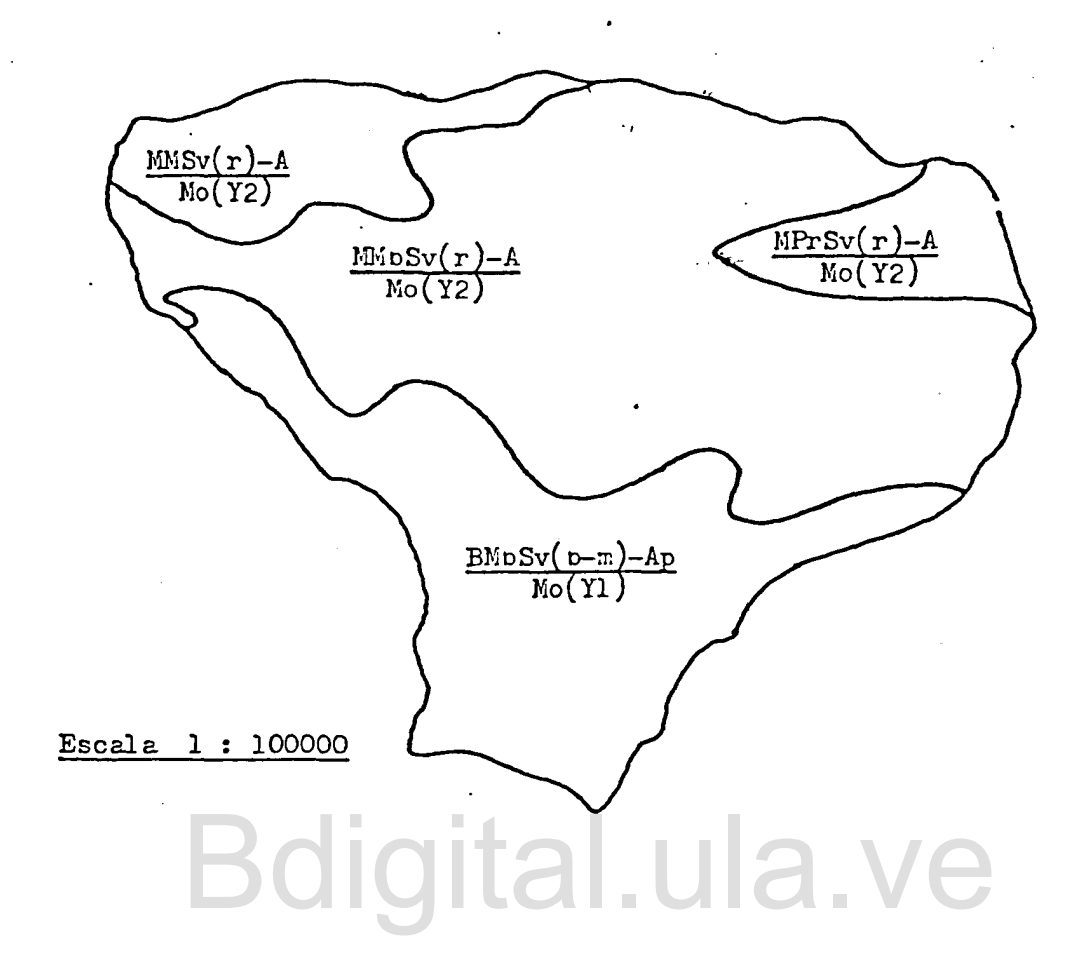
g : Graveso

FA : France arcillese

Fa : France arenese

FAa : France arcille arenese

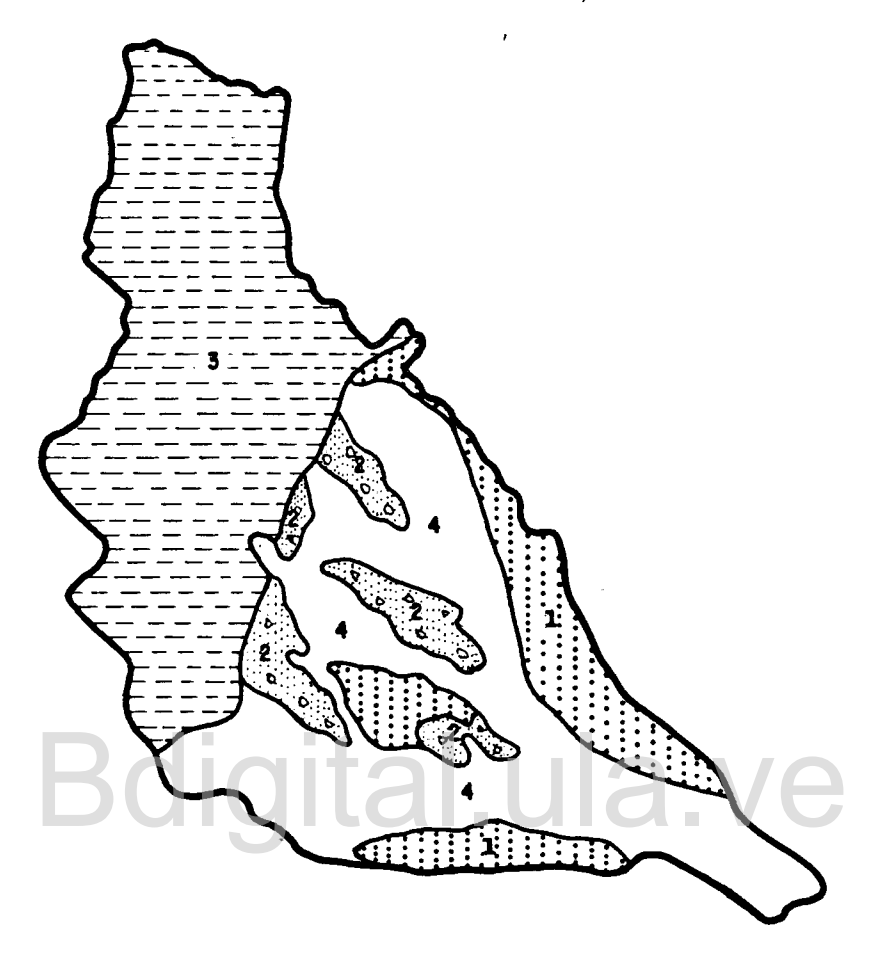
Figura V - 4 - Zonificación de la cuenca del río Guaraque según la textura del suelo.



Formación. Piso. Caducifolia (Altura-Densidad) - Tierras Arrop. Paísaje fisiográfico (Intervención a la formación vegetal - Tipo Inum.

1. FORMACION VECETAL		Medio	m
Bosque	В	Bajo	b
Sabana con chaparro	Sch	7. PAISAJE FISIOGRAF	ICO · €
2. PISO ALTITUDINAL		Colinas Dajas	Cl.
Tropical	T	Llanura eluvial	IJ
Premontano	Pr	Montaña	No
3. CADUCIFOLIA		Piedemonte Valle	₽d V
Siempre verde	Sv	8. INTERVENCION A LA	VEGETACIO:
Semideciduo	Sđ	Koderada	n
4. ALTURA DOSEL		Fuerte	Y 2
Al to	ā		į

Figura V-5 Zonificación de la cuenca del Guaraque según la copertura vegetal.



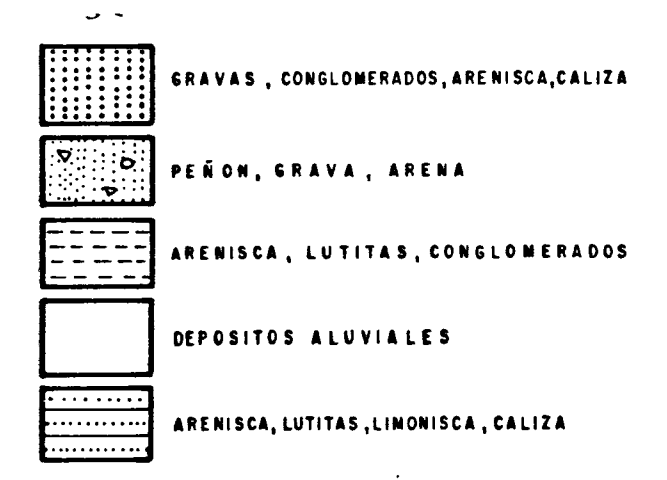
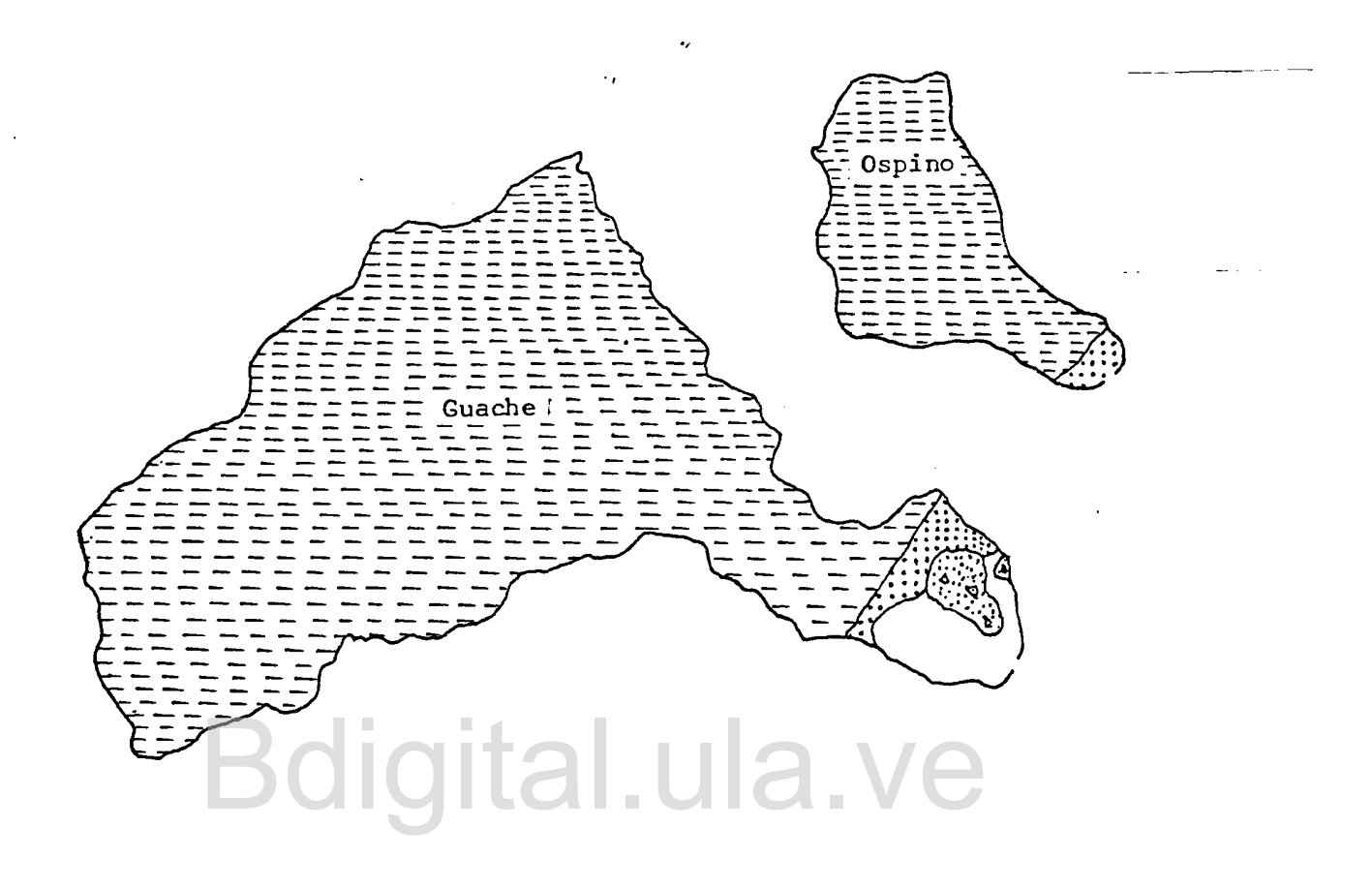


Figura V=6.—Zonificación de la cuenca del Río Las Marias según el tipo de suelo.



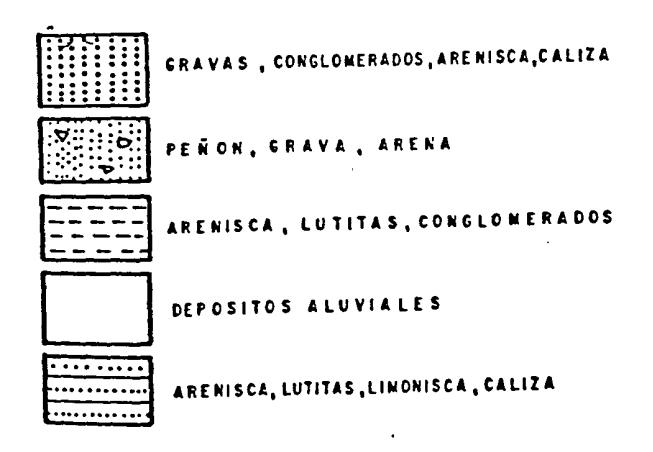
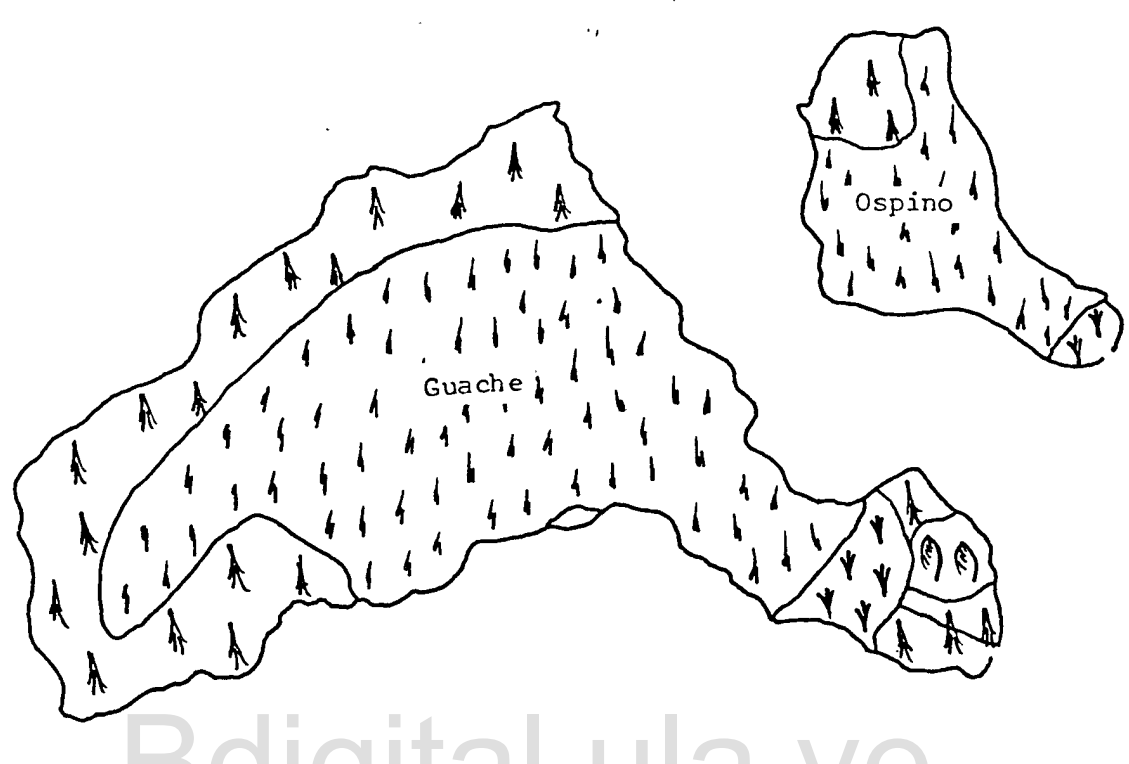


Figura V - 7.- Zonificación según su suelo de las cuencas de Guache y Ospino.



Bdigital.ula.ve

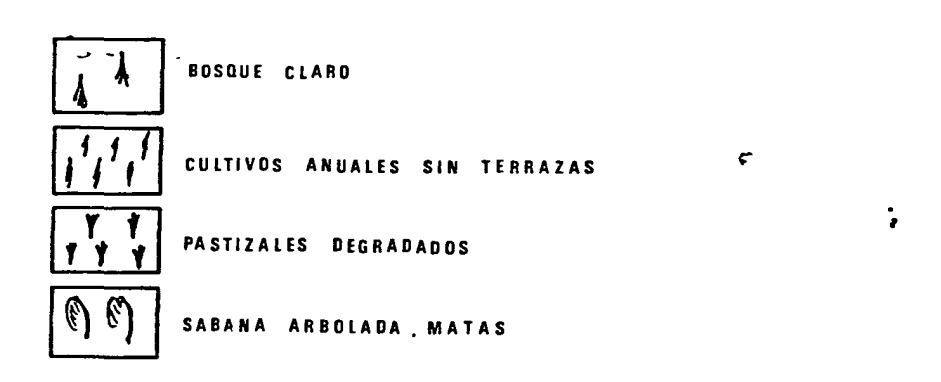


Figura V - 8.- Zonificación según la cobertura vegetal de los ríos Guache y Ospino.

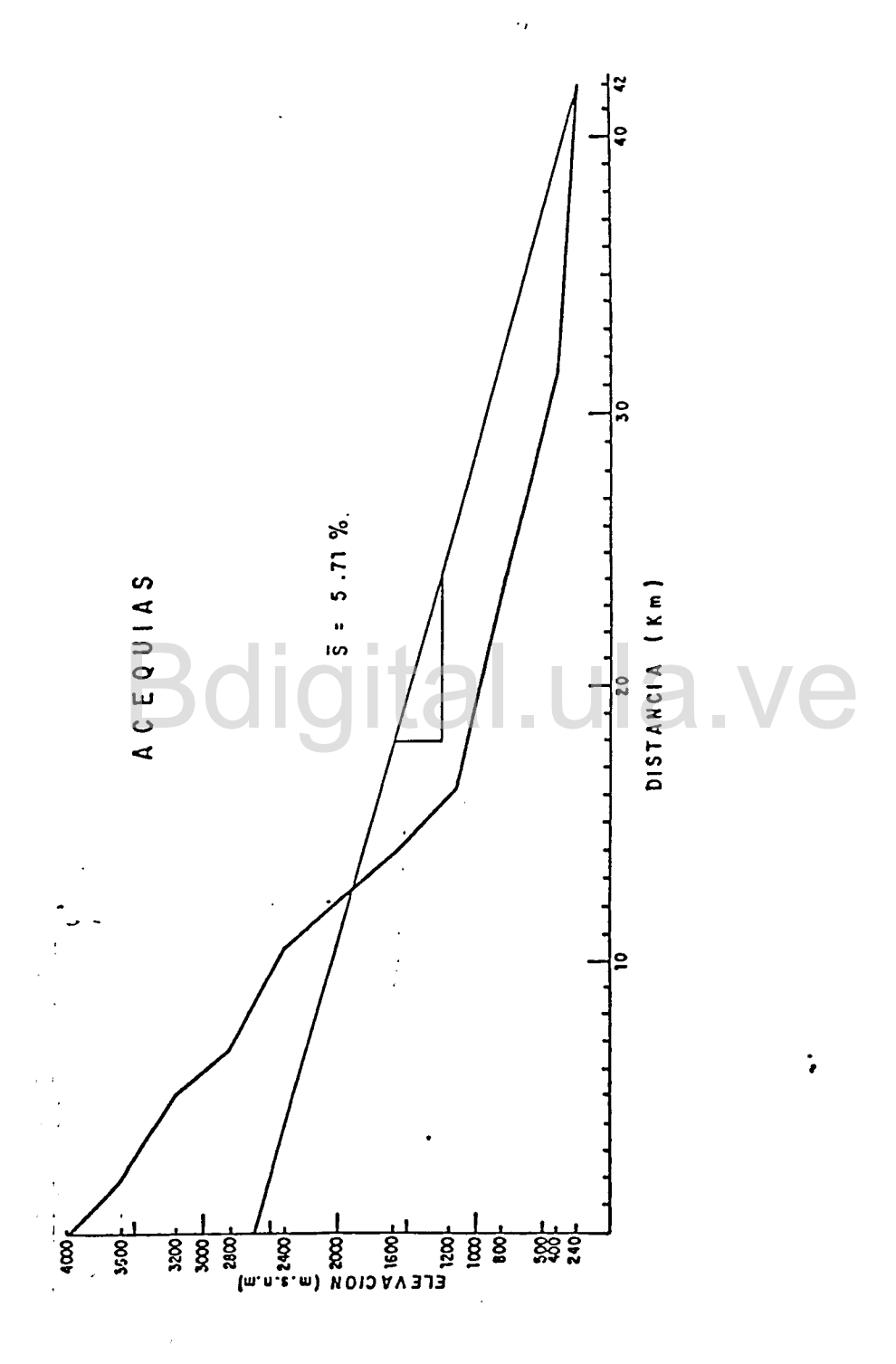
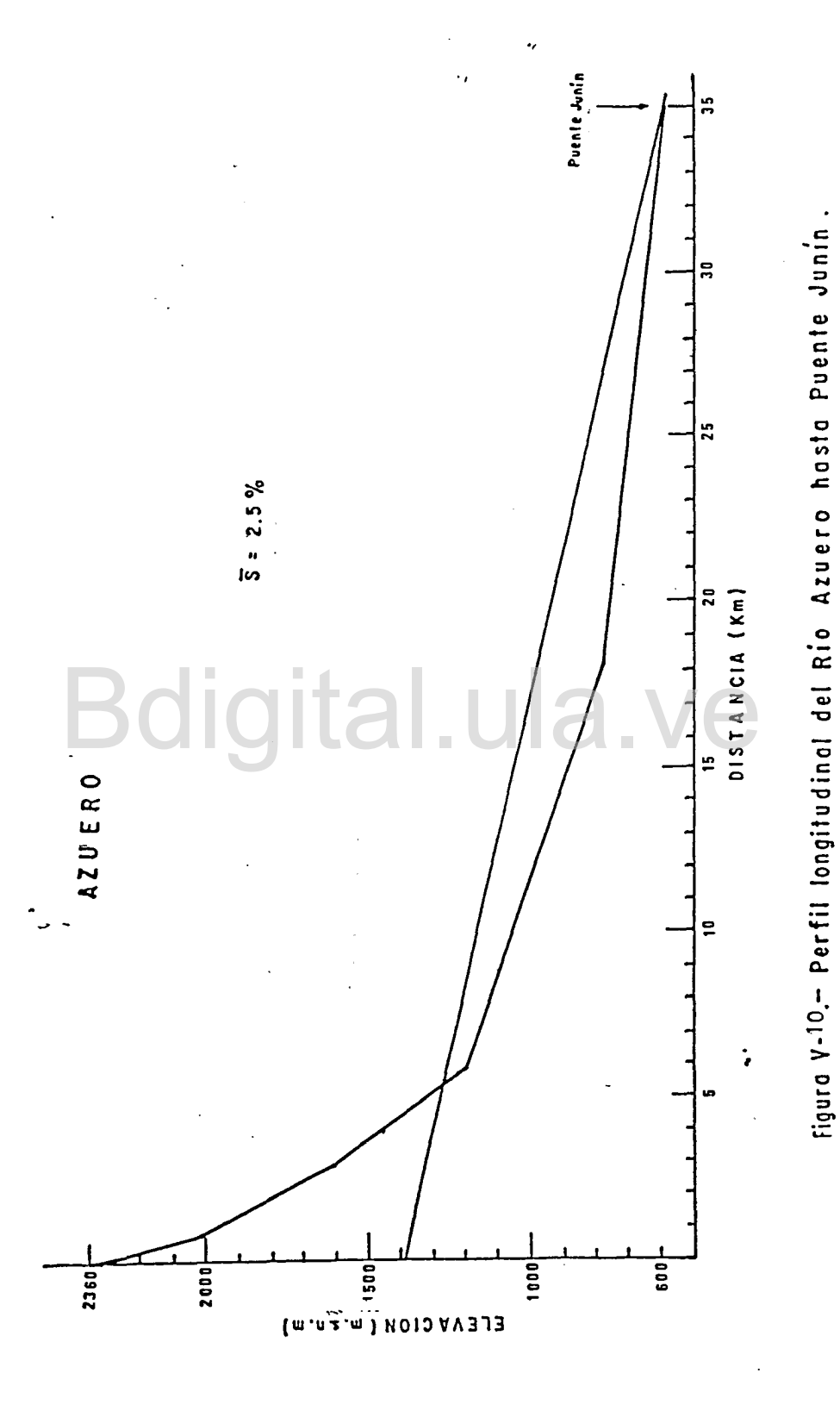


Figura V-9.- Perfil longitudinal del Río Acequias.



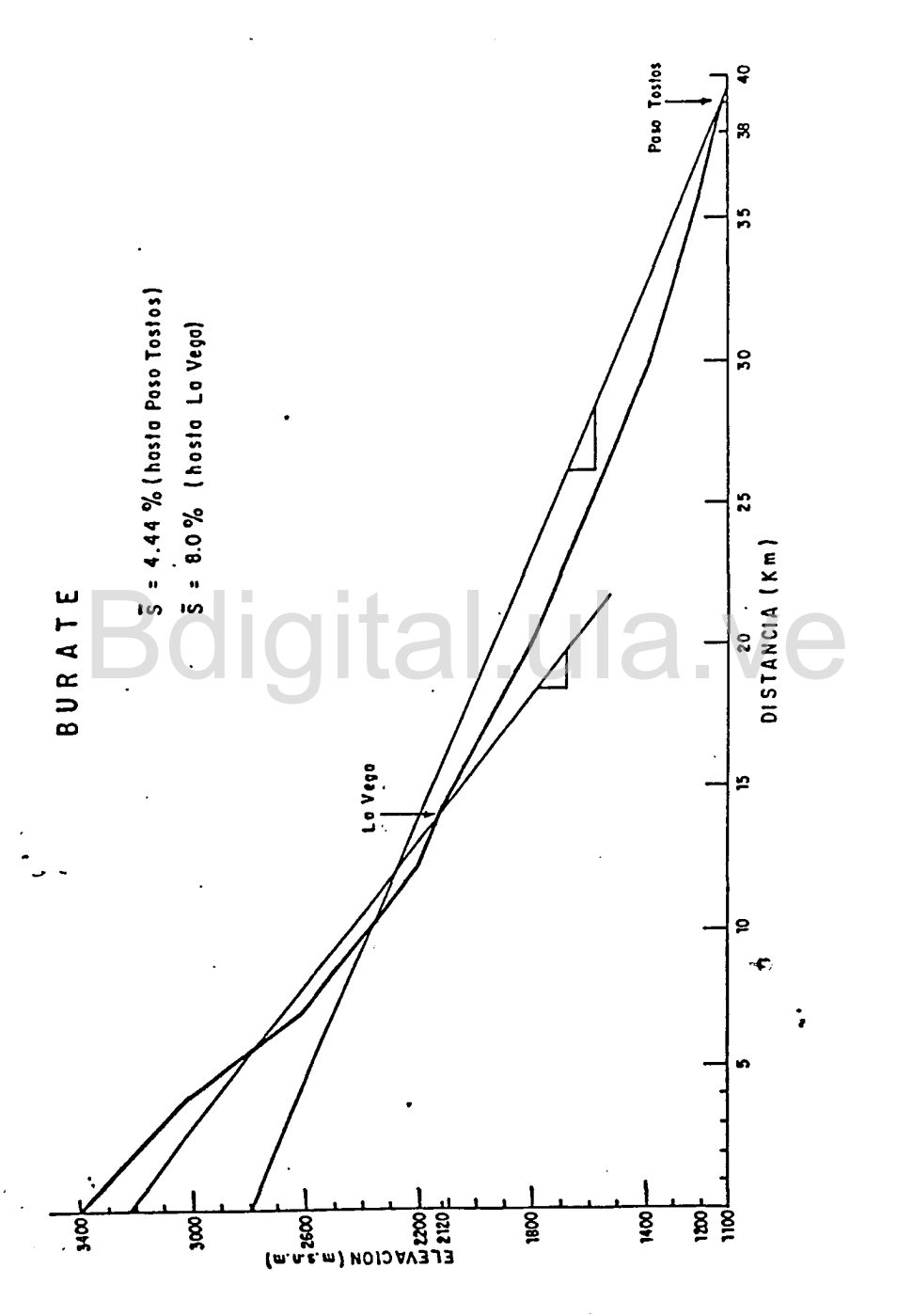
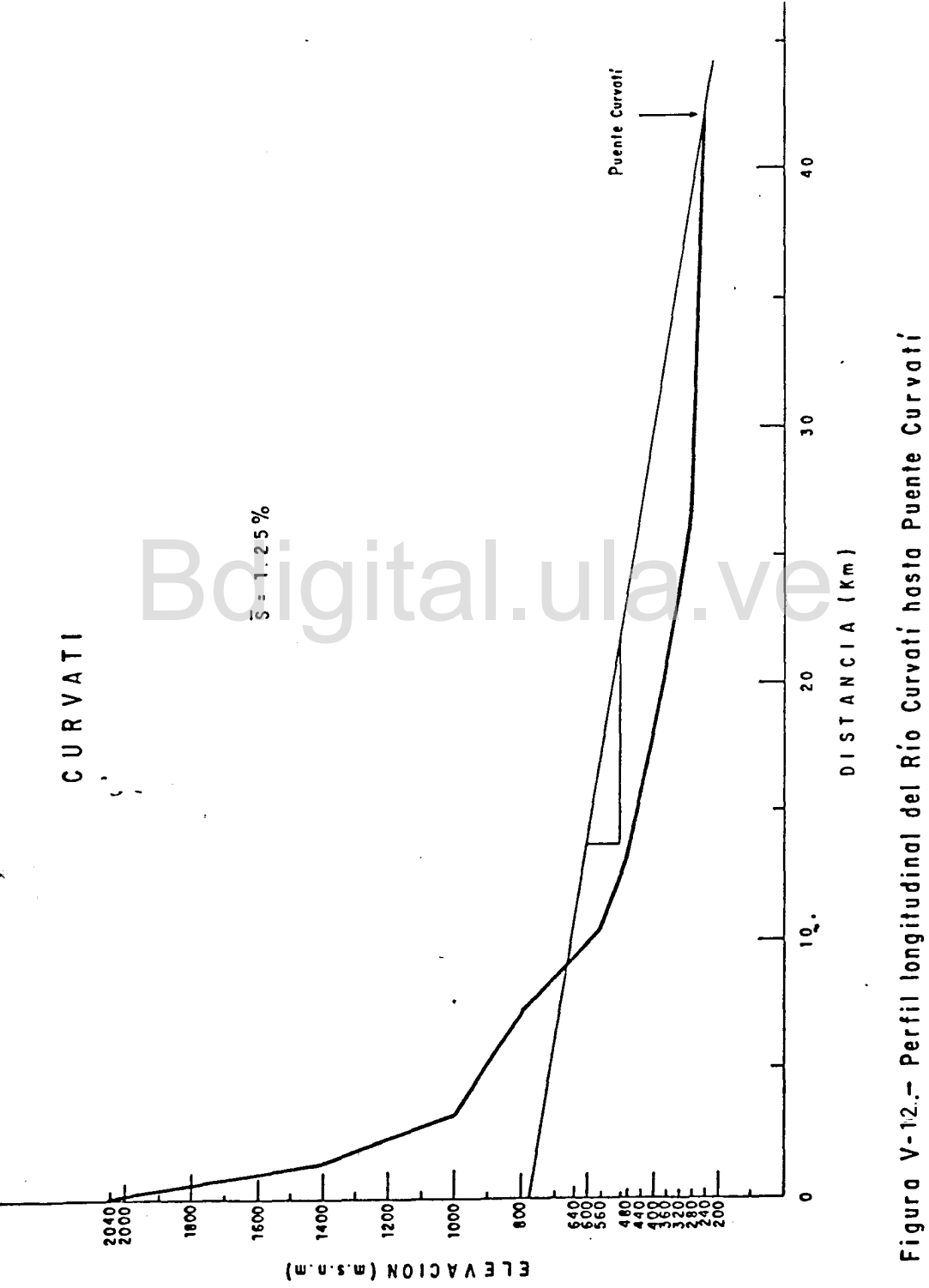


Figura V-11.- Perfil longitudinal del Río Burate hasta Paso Tostos.



ELEVACION (m.s.n.m)

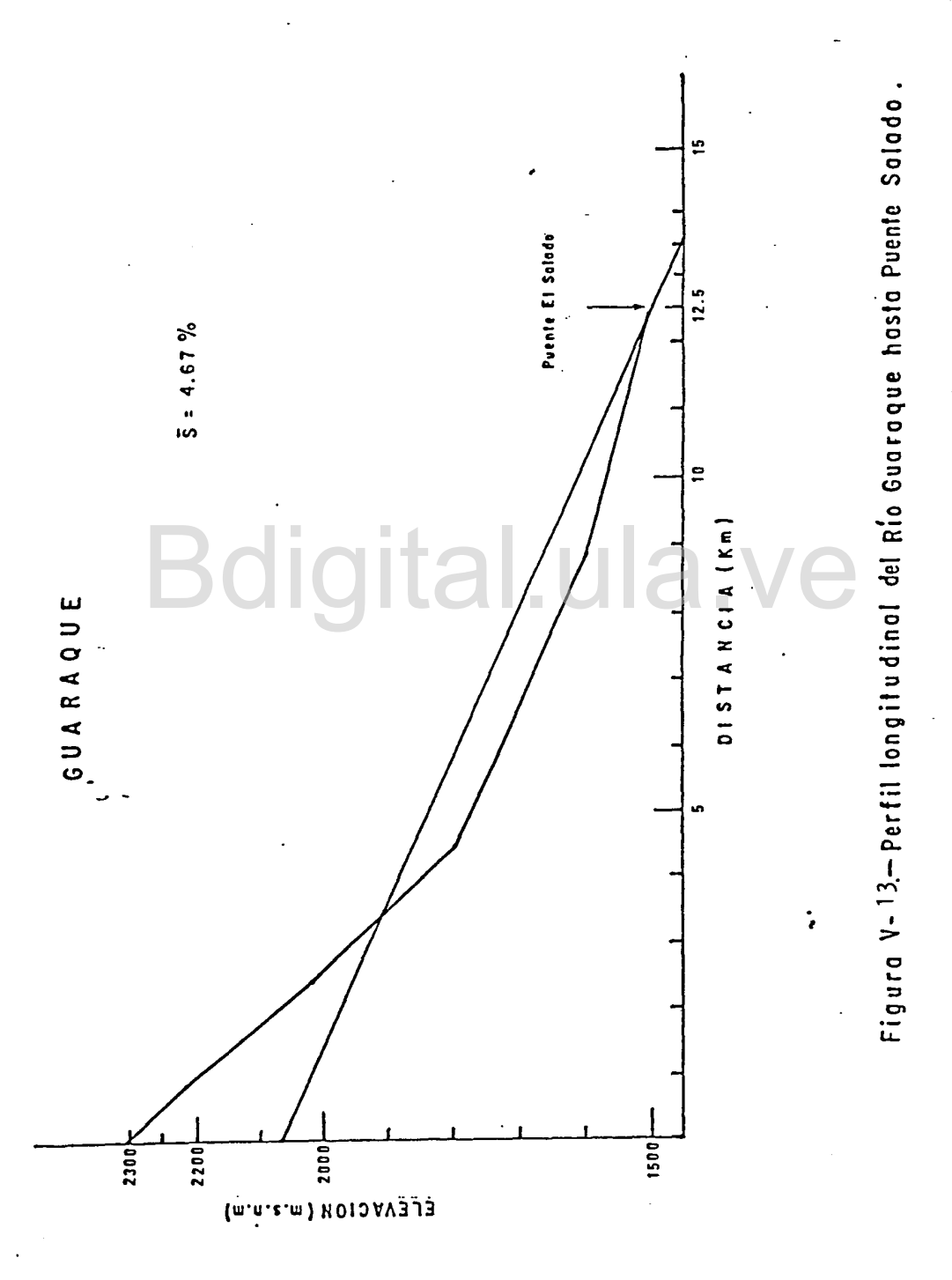




Figura V -14..— Perfil longitudinal del Río Las Marías .

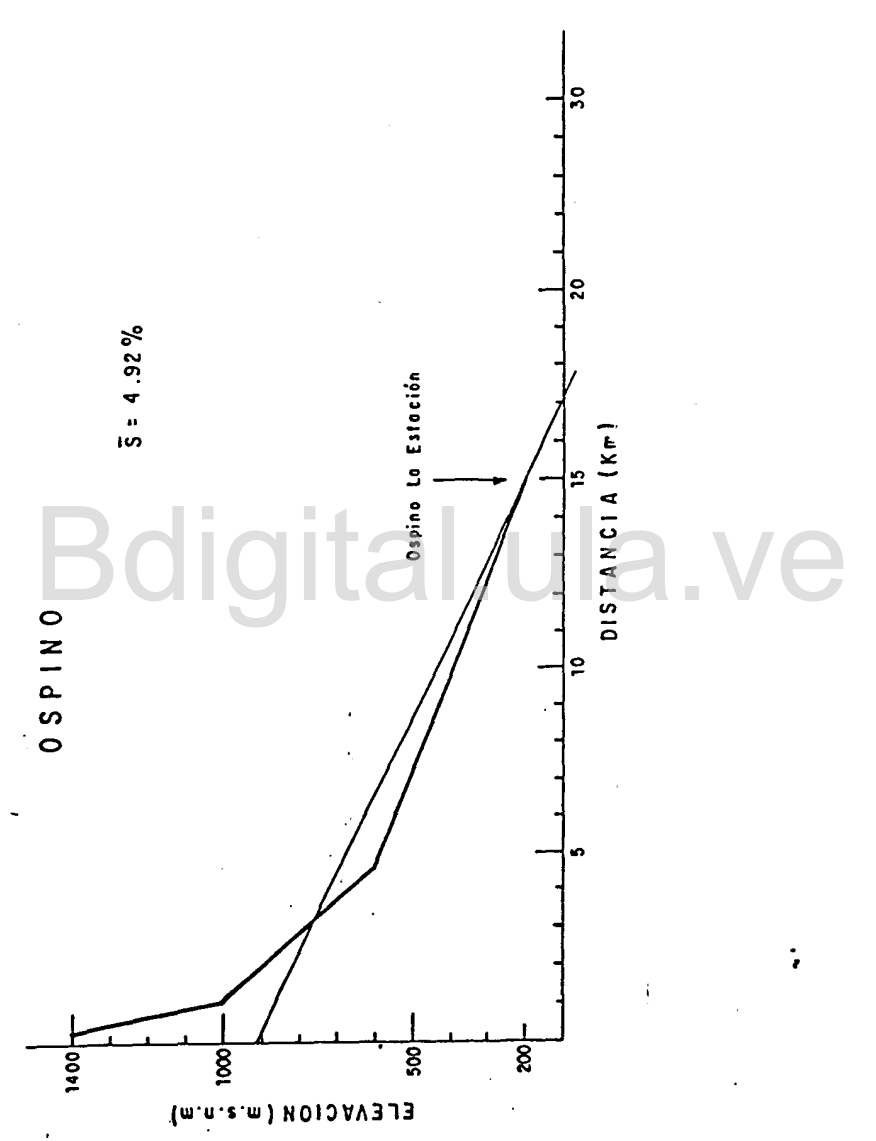


Figura V-15. - Perfil longitudinal del Río Ospino hasta Ospino La Estación.

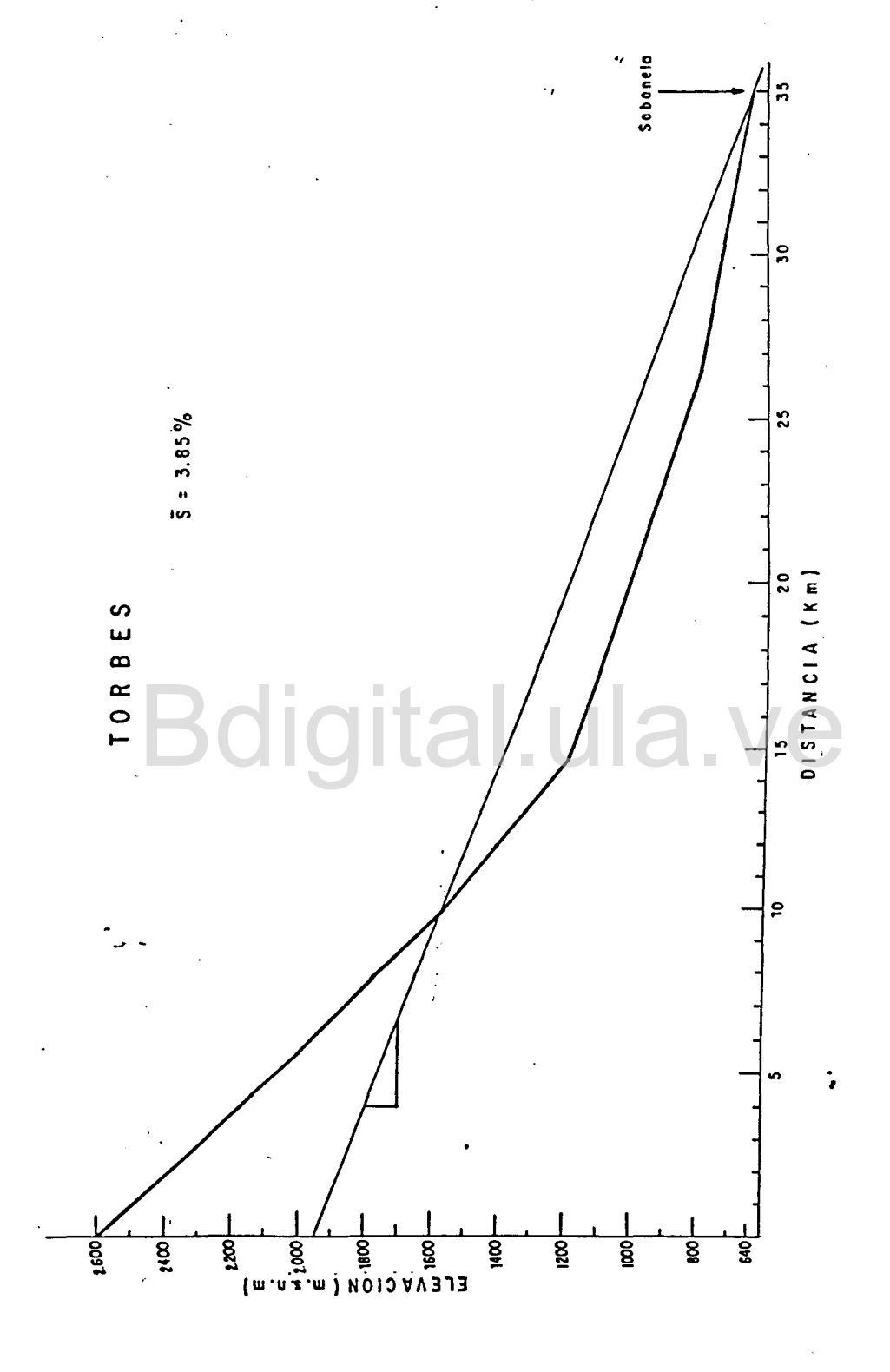


Figura V - 16.— Perfil longitudinal del Río Torbes hosta Sabaneta

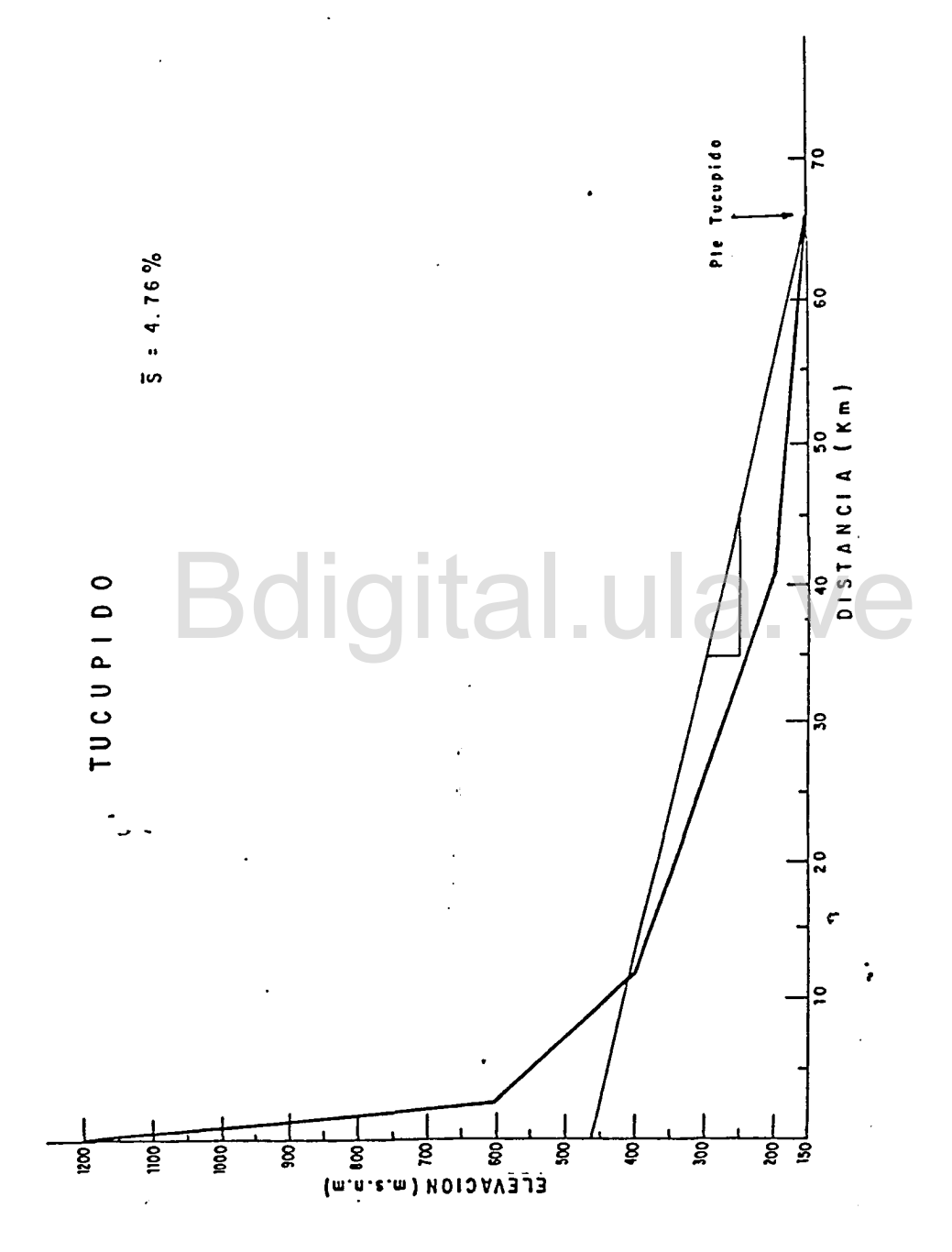


Figura V-17 .- Perfil longitudinal del Río Tucupido hasta Puente Tucupido .

Boolapendice VI-A VE

ENTRADA Y SALIDA DEL PROGRAMA DE CALIBRACION MANUAL

Bold Talua Ve

7KAN40	T=0000	3 IS EN	CREGG11	USING 0	elez flei	S R=COOL					
0001 0002		1	1	ANAGUA E 71		4 — 91K 31	ULACION 1 12	IE CANAL 73	DIARIO		
5003 <u>200</u> 0	200.00 9.00	6.66	9.00 14.00	2.20	0.00	0.00	0.00 0.30	9. 49	0.20 3.70	11.1	
0005 0006 0005	[.66 1.46	1.10 1.21	0.10 0.10	0.85 8.68	0.66 0.66 0.46	0.00 0.00	1.55	(.16 3,45 6.66	3,78 6,08 6,08	0.00 10.0 0.00	
		ومن و،	0.30 (. ()	2.50	4.56	4.20	0.00				
0010 [[1]	09.0 09.1	6.16 6.00	1.60	5.68	1.00 2.10	0,66 6,66	9.00 17.50 6.05	0.00 0.90	0.00 1.10	0.89 0,50	
0012 0013 0014	0.20 0.20 0.01	0.40 0.40 6.66	5.06 5.06 0.66	ե. 86	0.60 0.00 0.00	6.66 1.20 6.00	0.00 0.00	3.65 6.66 9.26	0,00 0,00 7,10	0.10 0.00 23.10	i
6515	4.50 9.60 2.60	0.00 3.70 8.60	0.00 21.90 0.00 1.30	0.00 2.50	99.9 93.9	5.66	1.55	32.3	5.60 1.90	0.90 2.30	
é (de le	6.36	9.40	1.30 11.50 8.40	8.50 1.30	2.3t [.66	0,00 0.30	6.60 5.40	66.70 0.80	8.10 0.40	15.50 21.20	
919 923 8651	0.20	15.70 0.00 6.00	6.40 8.80 1.50	2.40	8.90 5.50 0.00	1.36 6.16 6.66	5.46 5.46 1.96 1.96	0.60 0.60 1.10	0.00 94.4 93.5	3.80 0.00 3.20	
6655 6655 6653	6.66		0.50 6.60	6.00 9.10	0.£0 6.20	2.000 2.000 2.000 2.000		0.10	1.10	9.10 0.60	
0625	2.70 5.70	2.36	0.50 8.50	11.30	13.60 0.66	6.63	ti.20	23.46 16.30	1.60 9.46	4.46	-
0027 0027 0027	0.16 0.96 1.50	7.00 8.00 6.00	0.00 1.40 2.56	0.50 4.50 42.50	13.30 0.00 0.00	1.70 21.40 3.50	1.50 0.60 35.86	39.20 9.40 6.00	9.38 57.36 0.60	47.10 20.00 11.50	:
6136	5.90	2.40	2.50 1.80 8.50	7 011	0.00	0.98	35.60	0,40 8,40 3,65	6.40 0.60	3.10 0.00	
0031 0032 0033		2.80	2.70 6.50	16.40 2.30 9.90	2.60 0.16 1.66	0,46 3,56 6,66	5.16 9.16 5.20	0.00 0.80 4.68	1.60 1.60 1.60	1.60 6.50 0.80	
0035	1.40	8,00 8,00	0.00 0.00 4.70	9.20	20160600	28.16 1.10	0.00	1.00	1.10 5.36	0.60 6.20	
613 <u>6</u> 6037 6638	0.00 0.10 6.90	6.18 6.66 8.66	4.70 1.30 0.00	6.00	0.81 0.20 6.66	0.00 00.0 00.0	0.00 0.00 00.0	G . 611	0.00 0.00 00.0	0.05 03.0 00.0	
8839 8846	0.00 1.60	6.00 1.56 1.70	19.3 0.00	0.00	0.06 0.06	C.10	0.00 5.80	30.0 0a.a	0.30 0.00	0.60 0.10	
0041 0042 0043	2.50 0.00	1:70 1:60	2.25 7.89 0.00	9.00	04.3 00.0	4.40 7.90 7.90	0.00 00.0	0.50 4.76 0.80	0.40 0.10 0.06	10.40 6.60 6.80	
-6644 -6645	0.00	5.60 8.00	0.00 0.00	6.36	6.40	6.60	0.66	0.00 0.00	0.00 0.00	0.00 0.00	
0046 0047	0.00 0.00	0.00 6 66	99.0	0.06 0.26 0.00	0.00 0.20 0.00	0.00 0.20 0.50	fi 4fi	3.60 6 66	4.90 6.00	0.00 0.50	
648 648 615		0.00 1.45 6.00	0.00 1.30 0.60	2.20 6.30	13.20 13.20 4.16	9.30 3.20 21.10	0.00 3.50	0.000	2.40 0.00 0.00	2.90 8.80 23.20	F
(65) (652	0.20 7.30 5.10 22.00	2.10	16.40 10.10 4.60	5.30 15.50	46.75 0.76 3.30 1.20	9.30 21.76 1.96	5.80 11.70	5.60 4.60	7.96	13.60 9.16	
8854 6855	22.00 13.60	12.10 6.20	4.60 0.00 0.10	5.50 15.50 5.50 5.60	3.30 1.20 6.66	1.40 1.40 6.00	0.90 10.70 0.00	13.30 0.60 0.60	3.50 0.00 0.00	0.10 0.80 3.10	
10554 10554 10555 10555 10558 10558	13.66 6.38 17.66 6.10	20.100 20.100 20.000 12.0000 12.000 12.000 12.000 12.000 12.000 12.000 12.000 12.000 12.0000 12.000 12.000 12.000 12.000 12.000 12.000 12.000 12.000 12.0000 12.000 12.000 12.000 12.000 12.000 12.000 12.000 12.000 12.0000 12.000 12.000 12.000 12.000 12.000 12.000 12.000 12.000 12.0000 12.0000 12.000 12.000 12.000 12.000 12.000 12.000 12.000 12.000 12.0000 12.000 12.000 12.000 12.000 12.000 12.000 12.000 12.000 12.0000 12.000 12.000 12.000 12.000 12.000 12.000 12.000 12.000 12.0000 12.000	0.70 6.90 0.00	10.80 1.30 15.80	0.55 2.55 2.86	17.20 34.20 1.10	0.00 0.40 35.70	0.00 10.0 1.80	9.40 93.0 93.5	0.46 4.30 14.60	
0 (58 0 (59 0 (60	2.10	3.20 1.90 1.10	0.00 1.50	15.80 1.90	2.86 0.00	1.10 0.00	0.00	6.30	0.40	8.60	
1360	0.00 3.40 0.00 0.00	8.00 2.16	1.5000000000000000000000000000000000000	1.90 9.50 5.70 10.60	0.00 28.20 21.20 5.30 0.30	3.00 1.20	0.70 14.00 5.90	0.50 0.50 1.70	6.60 0.00 2.90 1.70	2.20 t.10 0.00	
0061 0062 0064 0065 0065	00.0 00.0	19.45 1.50 39.70 2.10	4.60	1.00 9.90	0.36 0.00	6.00 6.10	1.70 0.00 4.50	1.60	1.70 7.40	20.50 6.60	
0065 0065 0067	0.00 2.20 0.20 0.00	2.10	31.60 6.60 7.30	9.96 6.36 7.30 1.96	0.90 0.26 0.46	6.10 6.40	9.00 0.00 15.50	0.00 0.00 0.40	7.40 3.50 27.70 0.00	5.20 0.00 1.00	
0078 0078	0.60 0.00	25.50	0.00 1.36	6.00 8.50 1.40	0.925 0.925 0.45 1.53	0.90000 0000000000000000000000000000000	70.55.400 155.400 20.55	6.36 6.96 0.30	0.20 0.00	0.66 0.66	-
007E 0071 6672	1.00 7.40 0.00	8.30 0.40 0.40	35.00 3.30 0.00	1.40 0.10	4.30 22.20 0.10	6. <u>2</u> 9	0.00 2.00 0.60	0.30 0.00 10.40	0.40 0.40 6.60	0.00 6.00	·
0071 0072 1073	0.00	6.40 8.40	0.00	0.10 1.60 5.60	0.00 00.00		0.00	0.00	0.00	1.30 1.30 1.30	!

align**! \text{\te\text{\text{\text{\text{\text{\text{\text{\text{\text{\text{\tex{	on been arrangementen of an one are some one of the contract o	00 0000 00000 0000 0000 0000 0000 0000 0000	0.00 3.40 4.70 0.30 0.00	en ou en sucerno en entroparto de entroparto	,	00 0000 000000000000000000000000000000	eu e	00 00 00 00 00 00 00 00 00 00 00 00 00	00 00 00 00 00 00 00 00 00 00 00 00 00	60 60 60 60 60 60 60 60 60 60 60 60 60 6
545676501034568850123456885012345678 1111112022222222235555555555344444444 1111111111111111111	54 5 1 224 2 4 4 7 5 6 2 6 5 7 5 2 5 2 5 2 5 2 5 2 5 2 5 2 5 2 5 2	04 1235523 25 14 20 00 00 00 00 00 00 00 00 00 00 00 00	00000000000000000000000000000000000000	50 14-154214740000-0000000000000000000000000000000	\$10900000000000000000000000000000000000	0.6.2.3.72.5.2.9.1.0.0.0.0.0.0.0.0.0.0.0.0.0.0.0.0.0.0	00000000000000000000000000000000000000	5.5.4.4.8.8.4.5.6.9.3.1.6.2.8.7.7.5.7.1.5.4.7.4.2.8.7.7.5.7.1.2.8.7.4.2.8.7.7.5.7.1.3.4.7.4.2.4.5.5.2.5.2.2.2.2.2.2.2.2.2.2.2.2.2	00000 00000000000000000000000000000000	00000 00000000000000000000000000000000

1.5.6.6.6.6.6.6.6.6.6.6.6.6.6.6.6.6.6.6.	######################################
--	--

NAME OF THE PROPERTY OF THE PR	374555555555555544555445533655455455455555555	33455799775556120526664652326440951218645523266646523266644095752146866465232664409552146866	SIGARDUS PRASTALADELS SECTORISTA A SECTORIST	201412000000000000000000000000000000000	334559999942145545547552454754751322 644559999942145547557945454754751322	22222422222222225456245675497881754535352 22224222222222223456245675497881754535352	22122222222222222222222222222222222222	20000000000000000000000000000000000000	13411199999999999484813451598915989514441288 149121999999999948497816191395599714442188 149121999999999999999999999999999999999
0332 3.01 0333 2.82	2.62 2.52	2,8 <u>2</u> 2,63	2.8 <u>2</u> 2.63	2.63 2.63	2.82 2.83	2.62	2.82	2.82	2.82

∗KANAG	T=00004 IS	S ON CE00011	USING	86024	ELKS	K=0000
6061 6662	NANG=	3		•,		
5001	AMES=	36	٠,	-		
(665	71	1				
6617 1168	_1	31				
[7[7	2	28				
0010 0011	3	31				
0012 0013	4	36				
0015	5	31				
1017	6	30				
9010 9019 6036	7	31				
0021	8	31				
0023	9	36				
1625	15	3:				
6027 6555	11	36				
0025 0030	12	31				
092945 478 7 0 14234 547 890 12345 4723 4547 8747 47444444444444444444444444444	HDA(JA)=	365				
6633 6634	72	2				
6635 6635		31				VA
6637 6038	2	29		41		. 40
0035 0040	3	31				
0841 09 4 2	٠ 4	30				
0043 0044	ร	31				•
0045 0046	6	30				
0047 0048	7	31				
0049 0050	8	31				
0051 0052	5	36				
0053 0054	10	31 .				,
0055 0056	11	30				
0057 0058	12	31				
0059 0060	NDA(JA)=	365				
0062 0062		_				
0063 056 <u>4</u>	73	3				
0066	1	31				
6098 6698	2	28				
0070	3	31		-		
55555555555566666777777 5000000000000000	4	30				
0073 0074	5	31			-	

```
*KANAS T=E0004 IS ON ERODDII UBING 00024 KLKS R=0000*
                                                                                              30
 0075
076
0077
0078
                                              7
                                                                                              31
 £079
                                                                                              31
                                              8
 0080
 0091
1082
                                              9
                                                                                               30
                                          15
                                                                                              31
 5083
 0084
(085
                                                                                              36
                                          11
0087
0088
0089
0089
0089
0089
0089
                                          12
                                                                                              31
                                         NDA(JA)=
                                         =(CMAM)AGM
                                                                                                              365
                                          NDTGT=
                                                                                                         1096
 0095
                                                                                                               ARREGLO DE LA LAMINA ESCURRIDA EN MM.
 6696
6097
6698
                                                                                                                                                                                                                                                                       1.21
.53
.53
.85
                                                        .93
.98
                                                                                                                                                                                                                                                                                                                                                                                                                                                   1.53
                                                                                                                                                                                                                                1.29
                                                                                              1.62
                                                                                                                                                                               1.46
98.1
                                                                                                                                                                                                                                                                                                                                                            933000300002320
                                                                                                                                                                                                                                                                                                                                                                                                        1.022
1.029
999
995
995
998
998
1.02
                                           1.0999
9.0099
9.0099
2.0995
2.0995
                                                                                                                                                99999
                                                                                             1.0000
                                                                                                                                                                                                                             9939
9939
1938
1988
1988
 6659
 0166
0101
                                                                                                                                                                                                                                                                                . 53
53
                                                                                                                                   6162
                                                                                                                                                                                                                                                                              7000-0-0-0-0-0-
                                                                                                                                                                                                                                                                                                                                                                                                                                                         87
67
98
 0:03
 0104
                                                                                                                                                                                                                                                                                                                                                                                                                                                   .98
3.05
 0197
                                                                                                                                                                                                                                                                                                                                               2.20
1.15
1.56
                                                                                             1.56
1.15
1.67
                                                                                                                                                                                                                              1.15
1.89
1.79
                                                                                                                                                                                                                                                                       .98
1.02
1.29
                                                                                                                                                                                                                                                                                                                  .98
1.82
1.29
                                                                                                                                                                                                                                                                                                                                                                                                         1.09
4.15
                                                  2 112111154253456666577
                                                                                                                                                                                                                                                                                                                                                                                                                                                         .58
 6168
                                                                                                                                                                                                                                                                                                                                                                                                                                                    1.09
 0109
                                                                                             2.35
1.56
1.37
                                                                                                                                                                                                                                                                                                                  21.52.56
                                                                                                                                                                                                                                                                                                                                                                                                       1.91
1.67
1.56
                                                                                                                                        3.10
3.10
1.79
1.56
                                                                                                                                                                                                                             1.91
1.91
2.36
1.56
                                                                                                                                                                                                                                                                       1111116WBWBWBWBBBBT115
                                                                                                                                                                                                                                                                                                                                                            411122222686322221
 [111
 0112
0113
 0114
                                                                                              1.577301110
                                                                                                                                                                                                                                                                                                                                                                                                   2.75
2.75
2.53
12.44
                                                                                                                                        1.67
1.79
4.65
5.56
5.56
5.61
                                                                                                                                                                                                                             9415
 01<del>16</del>
0117
0118
                                                                                                                                                                                                                                                                                                             65242953252
155242953252
 6119
 0120
0121
0122
                                                                                              6.00
                                                                                                                                                                                                                                                                                                                                                                                                0123
0124
0125
0126
                                                                                             3.52
                                                                                                                                        3221.567
1.567
1.567
1.567
1.567
1.567
1.567
1.567
1.567
1.567
1.567
1.567
1.567
1.567
1.567
1.567
1.567
1.567
1.567
1.567
1.567
1.567
1.567
1.567
1.567
1.567
1.567
1.567
1.567
1.567
1.567
1.567
1.567
1.567
1.567
1.567
1.567
1.567
1.567
1.567
1.567
1.567
1.567
1.567
1.567
1.567
1.567
1.567
1.567
1.567
1.567
1.567
1.567
1.567
1.567
1.567
1.567
1.567
1.567
1.567
1.567
1.567
1.567
1.567
1.567
1.567
1.567
1.567
1.567
1.567
1.567
1.567
1.567
1.567
1.567
1.567
1.567
1.567
1.567
1.567
1.567
1.567
1.567
1.567
1.567
1.567
1.567
1.567
1.567
1.567
1.567
1.567
1.567
1.567
1.567
1.567
1.567
1.567
1.567
1.567
1.567
1.567
1.567
1.567
1.567
1.567
1.567
1.567
1.567
1.567
1.567
1.567
1.567
1.567
1.567
1.567
1.567
1.567
1.567
1.567
1.567
1.567
1.567
1.567
1.567
1.567
1.567
1.567
1.567
1.567
1.567
1.567
1.567
1.567
1.567
1.567
1.567
1.567
1.567
1.567
1.567
1.567
1.567
1.567
1.567
1.567
1.567
1.567
1.567
1.567
1.567
1.567
1.567
1.567
1.567
1.567
1.567
1.567
1.567
1.567
1.567
1.567
1.567
1.567
1.567
1.567
1.567
1.567
1.567
1.567
1.567
1.567
1.567
1.567
1.567
1.567
1.567
1.567
1.567
1.567
1.567
1.567
1.567
1.567
1.567
1.567
1.567
1.567
1.567
1.567
1.567
1.567
1.567
1.567
1.567
1.567
1.567
1.567
1.567
1.567
1.567
1.567
1.567
1.567
1.567
1.567
1.567
1.567
1.567
1.567
1.567
1.567
1.567
1.567
1.567
1.567
1.567
1.567
1.567
1.567
1.567
1.567
1.567
1.567
1.567
1.567
1.567
1.567
1.567
1.567
1.567
1.567
1.567
1.567
1.567
1.567
1.567
1.567
1.567
1.567
1.567
1.567
1.567
1.567
1.567
1.567
1.567
1.567
1.567
1.567
1.567
1.567
1.567
1.567
1.567
1.567
1.567
1.567
1.567
1.567
1.567
1.567
1.567
1.567
1.567
1.567
1.567
1.567
1.567
1.567
1.567
1.567
1.567
1.567
1.567
1.567
1.567
1.567
1.567
1.567
1.567
1.567
1.567
1.567
1.567
1.567
1.567
1.567
1.567
1.567
1.567
1.567
1.567
1.567
1.567
1.567
1.567
1.567
1.567
1.567
1.567
1.567
1.567
1.567
1.567
1.567
1.567
1.567
1.567
1.567
1.567
1.567
1.567
1.567
1.567
1.567
1.567
1.567
1.567
1.567
1.567
1.567
1.567
1.567
1.567
1.567
1.567
1.567
1.567
1.567
1.567
1.567
1.567
1.567
1.567
1.567
1.567
1.567
1.567
1.567
1.5
                                                                                             1.56
1.67
1.29
1.21
                                                                                                                                                                                                                             1.84
1.37
1.21
1.15
                                                                                                                                                                                                                                                                                                                 1.565
1.125
1.033
1.076
1.769
1.769
                                                                                                                                                                                                                                                                                                                                                                                                                                                    1.67
1.37
1.21
1.09
 0127
012E
0129
0130
                                                  421989009909
                                                                                                                                                                                                                                                                                                                                                                                                       1.02
                                                                                                                                                                                   1.09
.98
1.51
1.76
1.30
1.09
 0131
                                                                                             1.09850850890909
1.409
                                                                                                                                                                                                                             1.023
9.55
9.55
1.50
1.09
                                                                                                                                                                                                                                                                       1.02
.93
.83
1.63
1.19
21.198
                                                                                                                                                                                                                                                                                                                                                                                                                                                         .98
                                                                                                                                                                                                                                                                                                                                                                                                                                                         .89
.80
 0132
0133
0134
                                                                                                                                                                                                                                                                                                                                                            1.63
1.63
1.19
                                                                                                                                                                                                                                                                                                                                                                                                        1.51
1.19
 0135
                                                                                                                                         1.63
1.09
1.30
1.09
                                                                                                                                                                                                                                                                                                                                                                                                                                                         .98
0136
0137
0138
                                                                                                                                                                                                                                                                                                                                                                                                                                                    1.40
1.19
.90
                                                                                                                                                                                                                                                                                                                                                           .80
.72
                                                          .90
                                                                                                     .90
.60
                                                                                                                                               .80
                                                                                                                                                                                            .80
                                                                                                                                                                                                                                     .60
                                                                                                                                                                                                                                                                               98.
                                                                                                                                                                                                                                                                                                                          .80
.72
                                                                                                                                                                                                                                                                                                                                                                                                                .72
                                                                                                                                                                                                                                                                                                                                                                                                                                                         .80
0139
 0146
```

014454 014454 014456 01445 01445 01445	14737474 14737474	1131/134	7777264 0	780 54 586 1.996 1.30 5.137	78163328 0 3.67255	12747.640.88	7565459	795184659 125946	777888438	95-95-95-98-95-95-95-95-95-95-95-95-95-95-95-95-95-
	5.86 : T=00004		3,99 3,99	3.59 1NG 00624	3.78 : PLKS R:		3.38	3.17	3,38	5,38
\$\\\\\\\\\\\\\\\\\\\\\\\\\\\\\\\\\\\\\	9 114442130112670229777848429655444600000000000000000000000000000000	4466496679079257777484266311160000084891373044577954435714114996555444444444487357324457795443571411499	75.655.4.4.4.4.5.3.1.2.2.2.2.2.2.2.2.2.2.2.2.2.2.2.2.2.2	427279459446766774149663110000000000000000000000000000000000	5522597927725896741426631100000074162587992862919716163087 9499527921359479396131877655444444411376431692662919716163087 5444886674664431362222211111111111111111111111111	5 @56788629773258897814966311100800001805285738735346584332222296 5 @6618125212475894318776554444448978052436353465843322222277 7 1 @46763065439522222111111111111112343234363333465843322222221	\$4564192289444587678122266111000005881839779698729701987141429 54564192716245119430077555444444837819165136848679363108 456457443759435590022111111111112235133443364558432222222	4 46456454 6554 5242222111111111111111	\$ 659900990000000000000000000000000000000	6 6426 6 5 6 7 7 7 5 5 7 6 7 7 8 1 8 4 2 9 6 7 1 1 1 1 1 1 1 1 1 1 1 1 1 1 1 1 1 1

0207 0203		. 3	REGLO DE	LA PRECI	(PITACIO	V DORREGI	(DA			
	60 600 0 078 60 600 0 078	140		0.000000000000000000000000000000000000	00000000000000000000000000000000000000	0.000000000000000000000000000000000000	0.140.0003000000 0.140.0003000000000000000000000000000000	3.70 0.60 6.66	00.00000000000000000000000000000000000	1,4000000000000000000000000000000000000
XXANAG	T=00004	IS ON CR	00011 US	ING 00024	BLKS E	=(000				
3 415-67 107-61-1419415-67-89 0-1-45-4-54-44-44-4-55-6-6-6-6-6-6-6-6-6-6-	10.4700000000000000000000000000000000000	7.60 0.00 0.00	9.60	0.00 0.00 .40 0.00	0.00 7.90 0.00 0.00	0.44890000000000000000000000000000000000	7.000000000000000000000000000000000000	511900000000000000000000000000000000000	28000 # 64000000	32000000000000000000000000000000000000

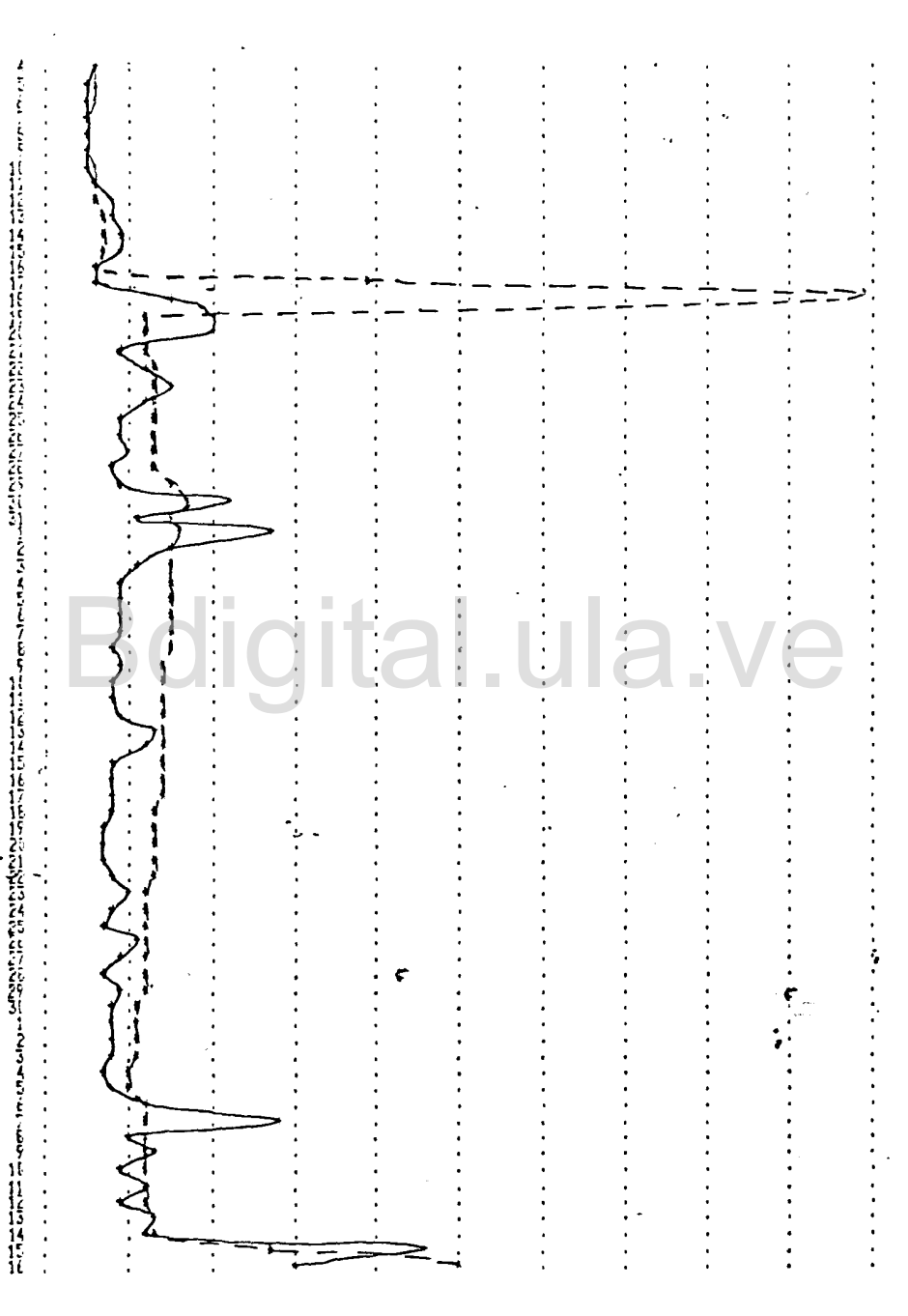
999123455 2229996 2229996 *KA96 22996 82996 92996	0.400000000000000000000000000000000000	6.00 6.00 79.90	0.00 1.50 0.00 23.70	2 000000000000000000000000000000000000	4.6400 14.6400 14.6500 16.0500 16.0500 16.0500 16.0500 16.0500 16.0500 16.0500 16.0500	5.40 3.60 0.60 0.60 0.60 1.60 1.60	0.000000000000000000000000000000000000	40000000000000000000000000000000000000	01010000000000000000000000000000000000	
6789-1211145-6789-6 3733-373733335777777575	0.000000000000000000000000000000000000	90000000000000000000000000000000000000	584 050 600 3	1.5000 1.5000 1.700 1.700 1.700 1.700 11.700 11.700 11.700 11.700 11.700	01.400 12.000 02.000 00.000 00.000	00000000000000000000000000000000000000	0.00	0.00 16.40 0.00 4.50 0.00 0.00 1.30	13.80 4.550 20.70 1.90 0.00 1.50 0.10 1.00 1.00 1.00 1.00 1.0	138 2000 138 2000
0321 0322 0323 0324				LA EVAPO						
00000000000000000000000000000000000000	4-2555254 31-2	96666666666666666666666666666666666666	594512865588318 1415422222312	2421.421.880 2421.421.880 2421.880	62000000000000000000000000000000000000	43422131422554	334498600000 33449860843883 323222221243112	23432271133000 23432271133124	3233.400 3233.4300 3233.2300 3122333.200 3.000	7.5.8.4.2.2.2.2.5.8.6.2.7.2.2.4.2.4.2.5.3.2.7.2.3.3.2.7.2.3.3.3.2.7.2.3.3.3.2.7.2.3.3.3.3

00000000000000000000000000000000000000	7479.00000000000000000000000000000000000	23412342215132222532434221514442142 916532984446516000000000000000000000000000000000	50000000000000000000000000000000000000	4.66	14797730117110716822734762749198087581 1479773011710716822734762749198087581 2279331311423329446424312828287581	PROCESSES TO A TABLET TO A TABLET OF THE PROCESS OF	1928192877391341287429572256040500 1928192877391341287429572256040524 194413235221133434245515125221333424	679000000000000000000000000000000000000	0.692772571615718347986928389275456 2025112322334133451435312423322323	00000000000000000000000000000000000000
* 0.000 0.00	19	0 343433433234123431232341434445	11 144423344443342334233314463	4 0 0 0 0 0 0 0 0 0 0 0 0 0 0 0 0 0 0 0	### ##################################	00000000000000000000000000000000000000	00000000000000000000000000000000000000	0 000 0000 0000 0000 0000 0000 0000 0000	00000000000000000000000000000000000000	50000000000000000000000000000000000000

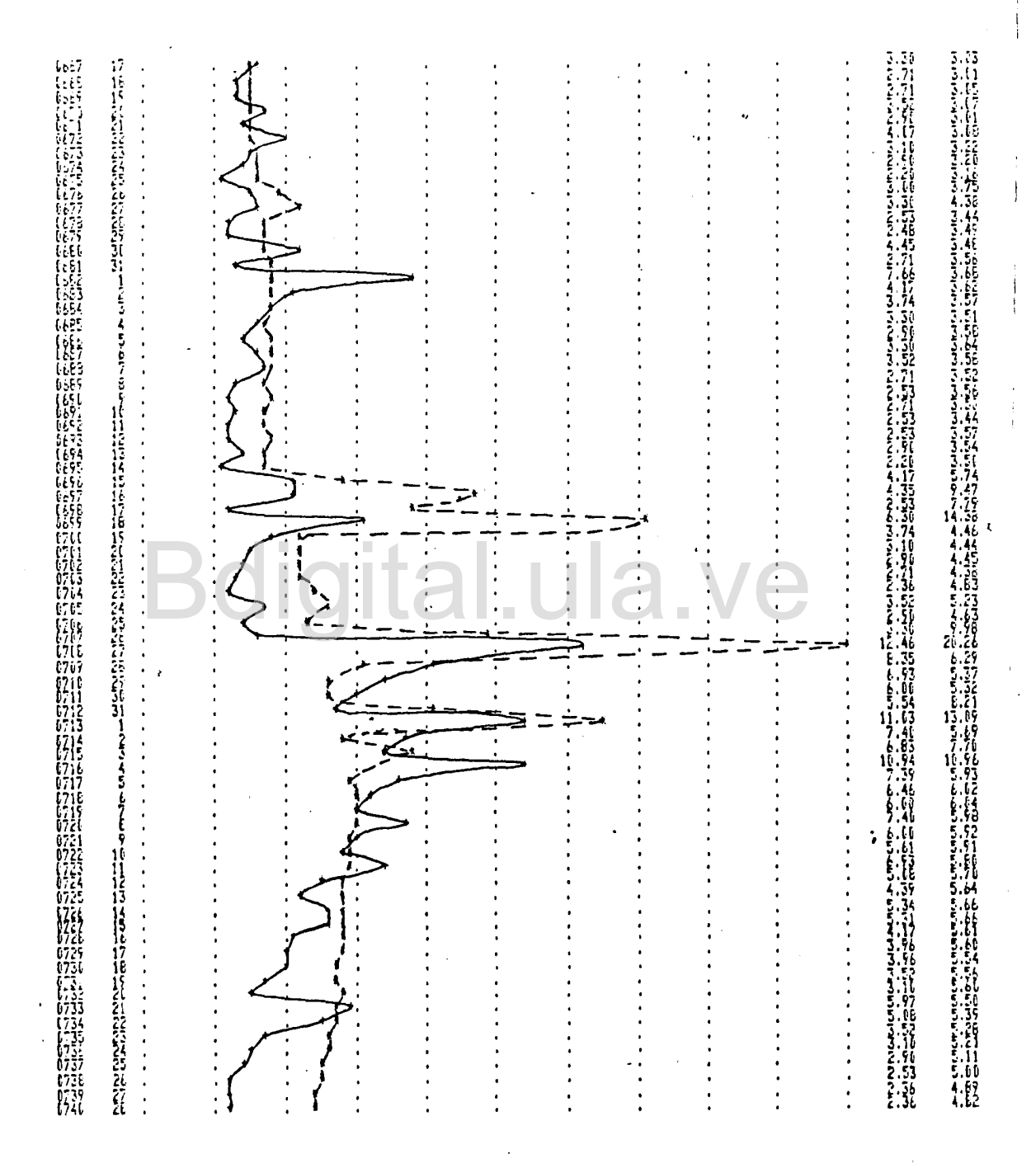
123452789012345678901234567690123456 9000000000000000000000000000000000000	555,71664164385592522828395174386 555,71664164385592522828395174386	5413414131313222222244124223222222222 621059842666655111176579884696	464547231322112244311443333234222	#71247472217755125441556544565656565656565656565656565656	57.57.427.751.4019.650.6000.000.000.000.000.000.000.000.00	100 000 000 000 000 000 000 000 000 000	######################################	4.40 2.60 2.60	4325E3E523+43141+325E2244200000000000000000000000000000000	\$13.40.654.4.41663.050.000.000.000.000.000.000.000.000.00
0437 - 0438 - 0439		60	A=	193.396	QSA=	2461.375	EIA=	129.518	3	
0437 0440 0441		ET	A=	1036.465	HQA=	3299.301	T04=	2784.373	3	
0442 0443			GPK:	= 16.60	PKOR=	20.26	CC1=	.5480		
6444				· KEF=	.54	FBH=	.11			

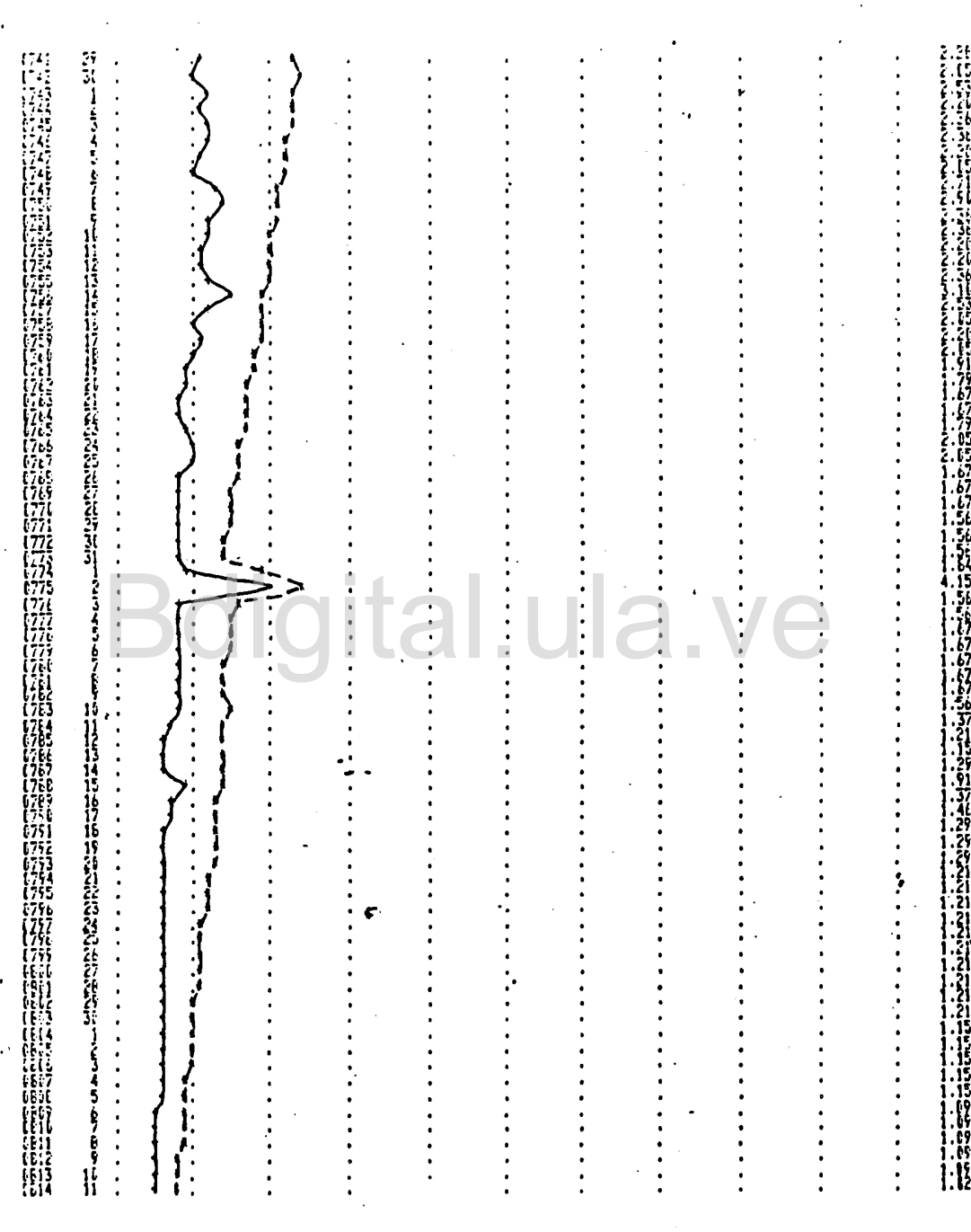
######################################	71 1212413-61-62-61-62-7-62-7-62-7-62-7-62-7-62-7-	20,26 :AMAGU4 EDO 1 OTEO DE LOS 1	EMIN= MERIDA VALORES DI 6.1	SIHÚLACIO E ESCORREN 8.1	RGA= 27 N DE CAUDA TIA 10.1	12.2	14.2	PEF 16.2	20.3	######################################	At 1912 A 2010 CHO CHO A CARACTER CONTRACTOR
\$\\\\\\\\\\\\\\\\\\\\\\\\\\\\\\\\\\\\\	222222233 127456789									955995995533369995559 9559988886995898885888	

9 tal d



THE PROPERTY OF THE PROPERTY O





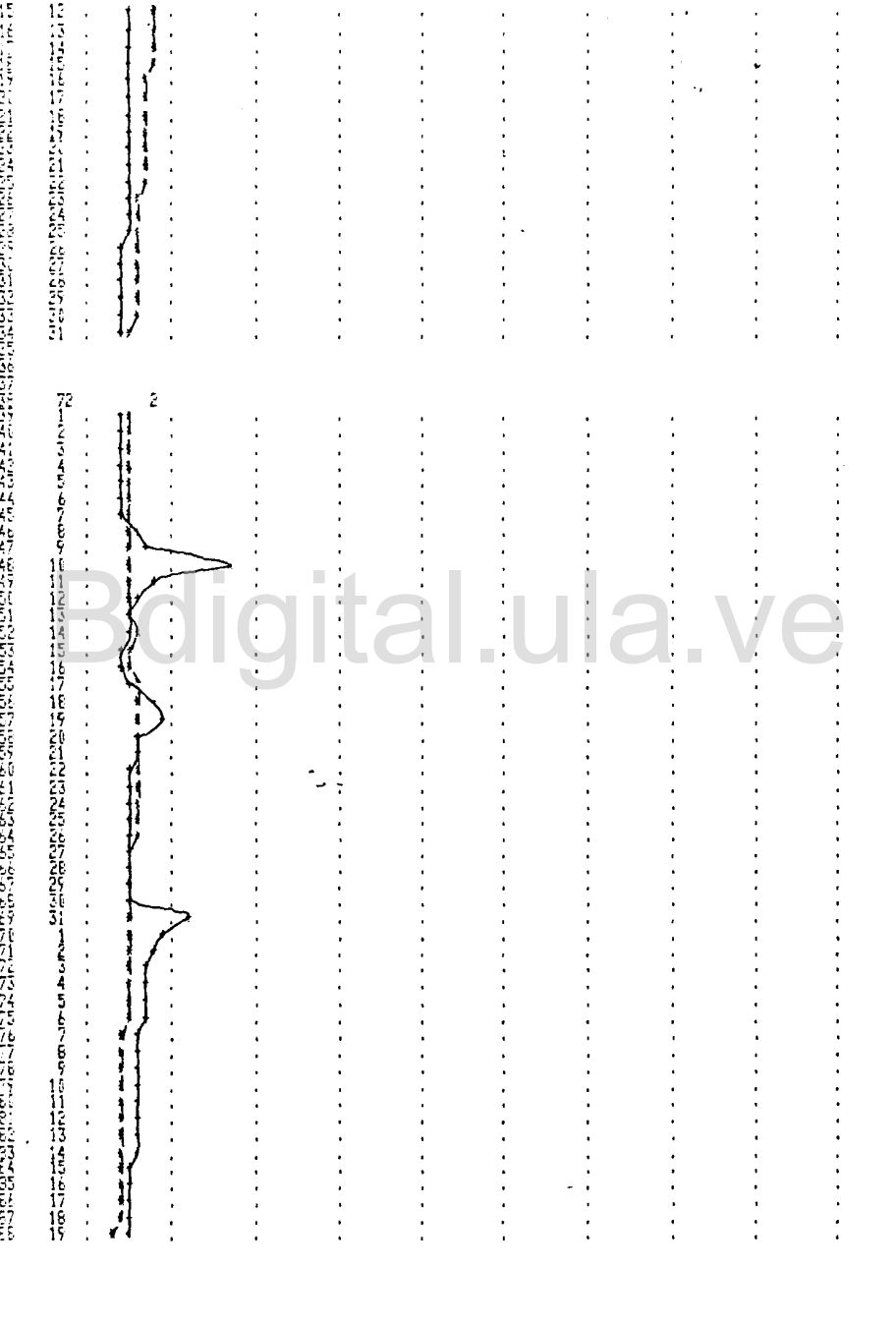
16234 W 67475 X 65

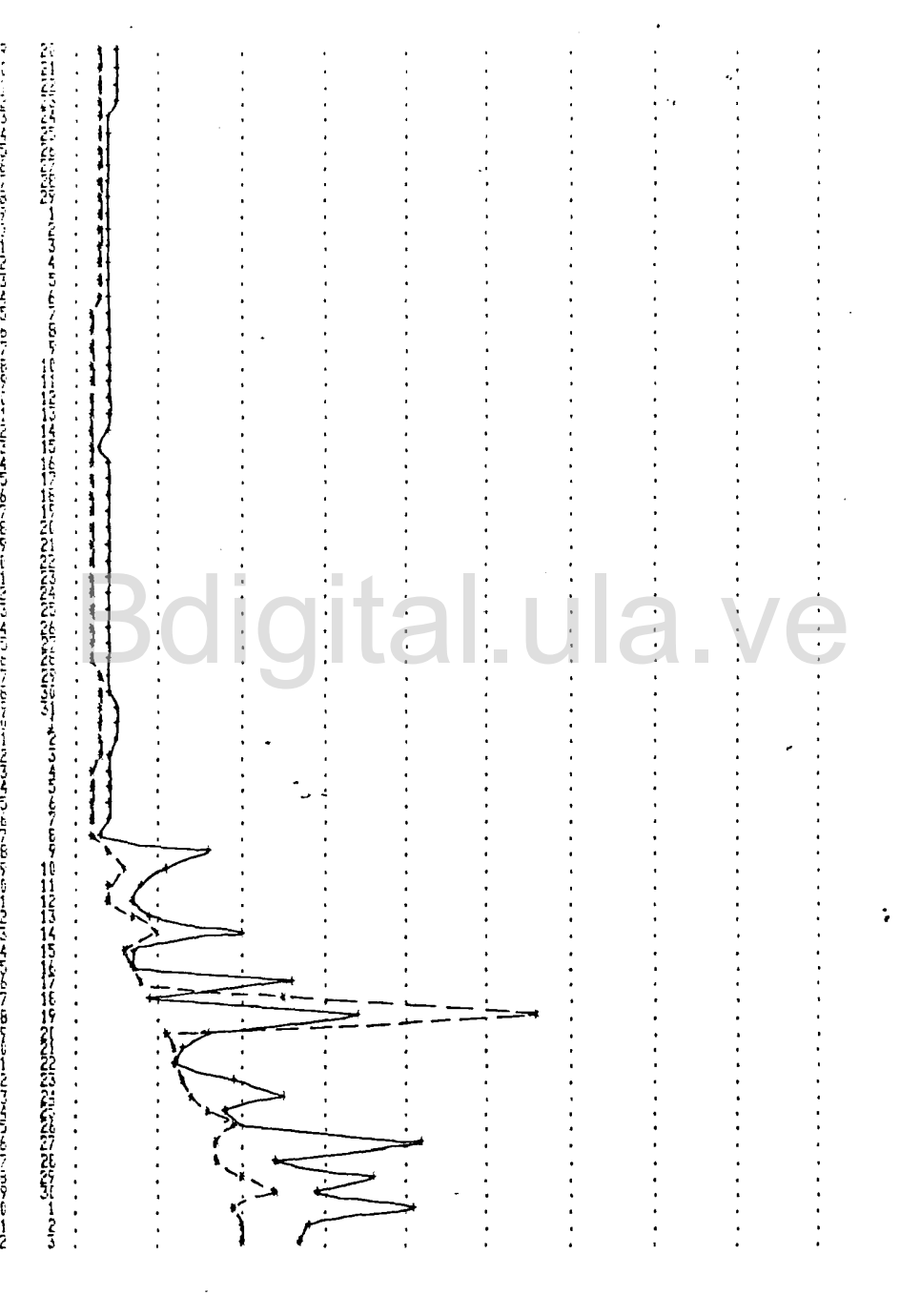
MANAGE BUILDING TO THE BOOK OF SHIP

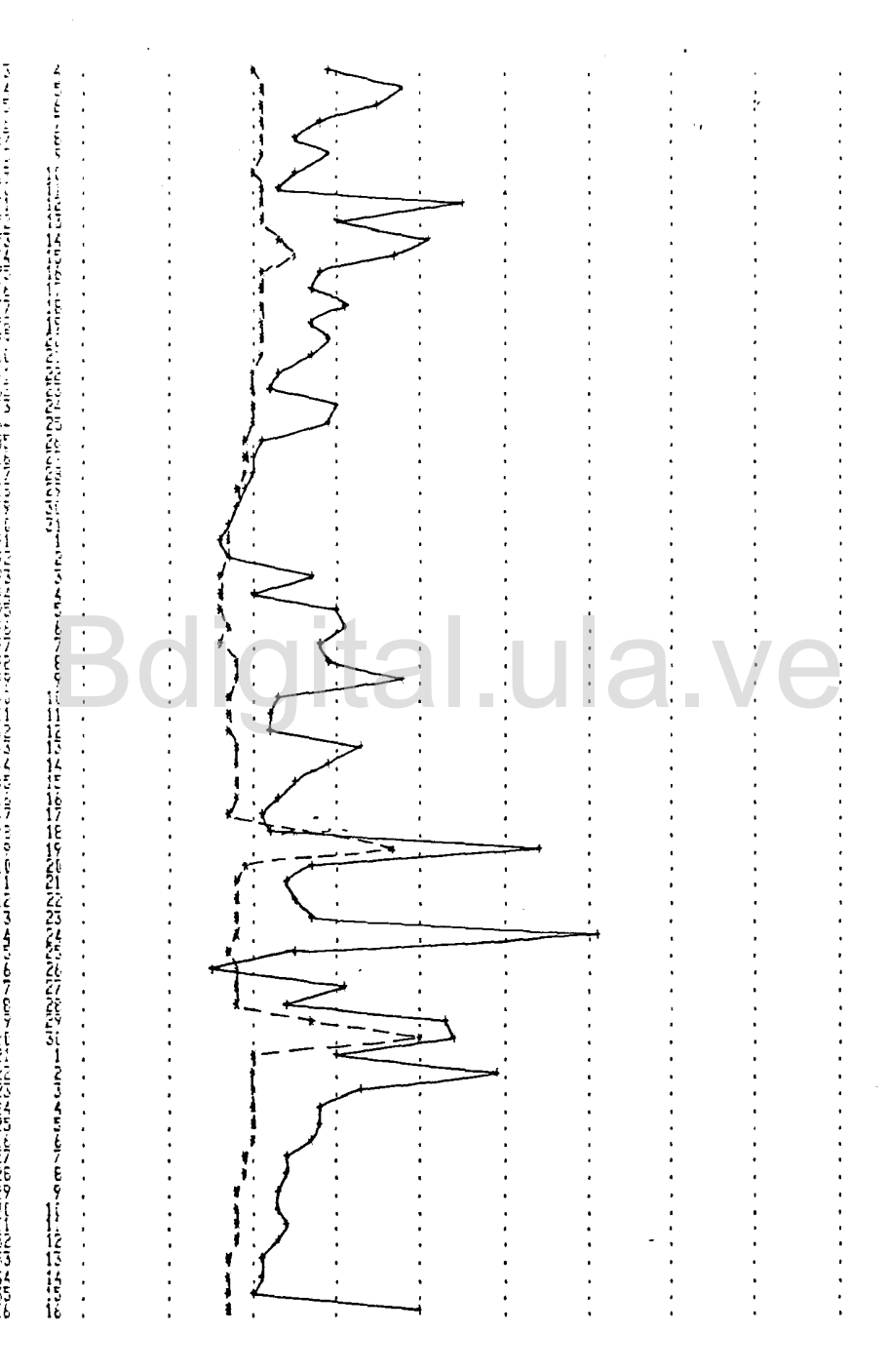
the first contraction for properties and members are the forest form of the fo

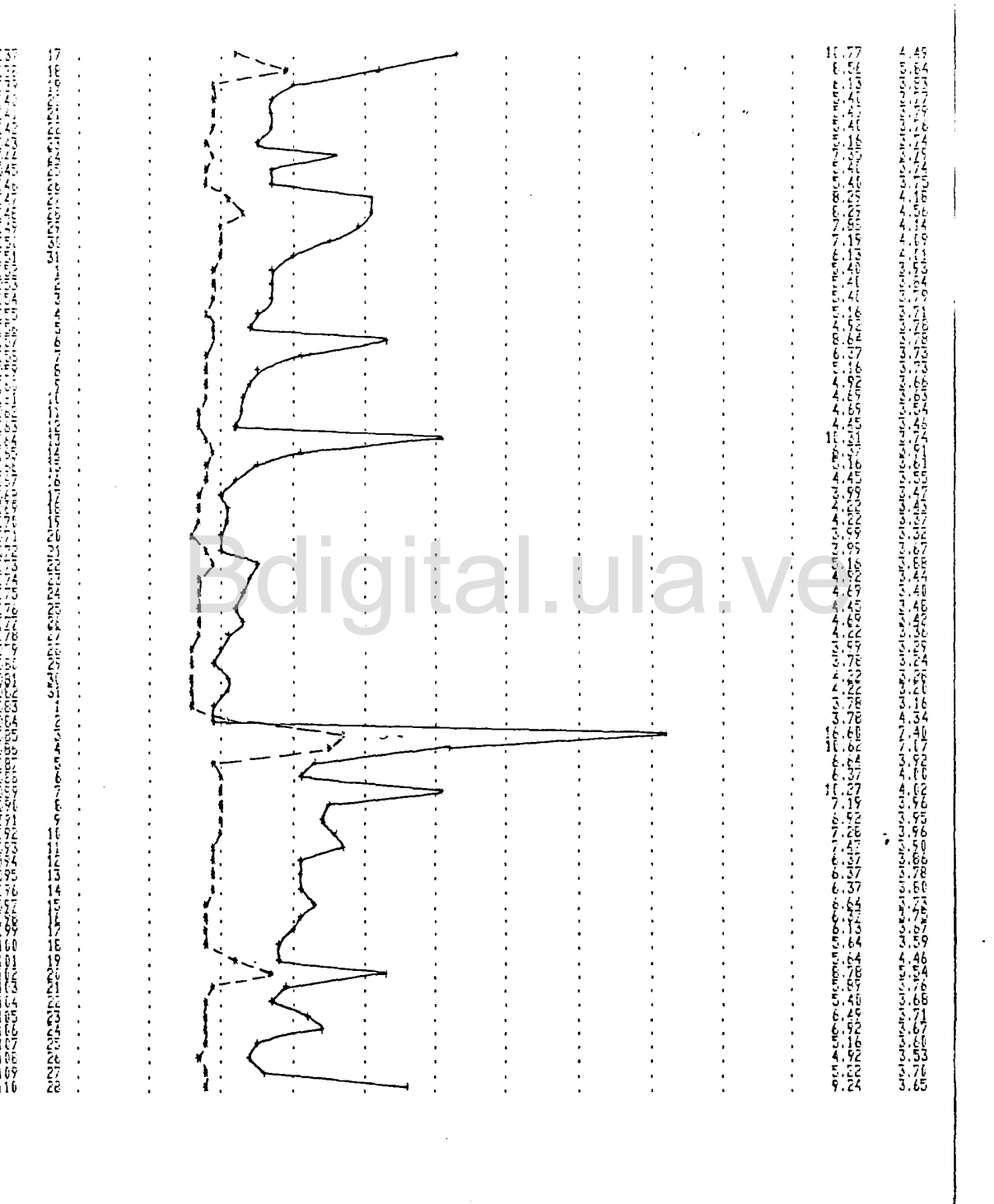
86.642-664273110917464285297274669844-677643817727777

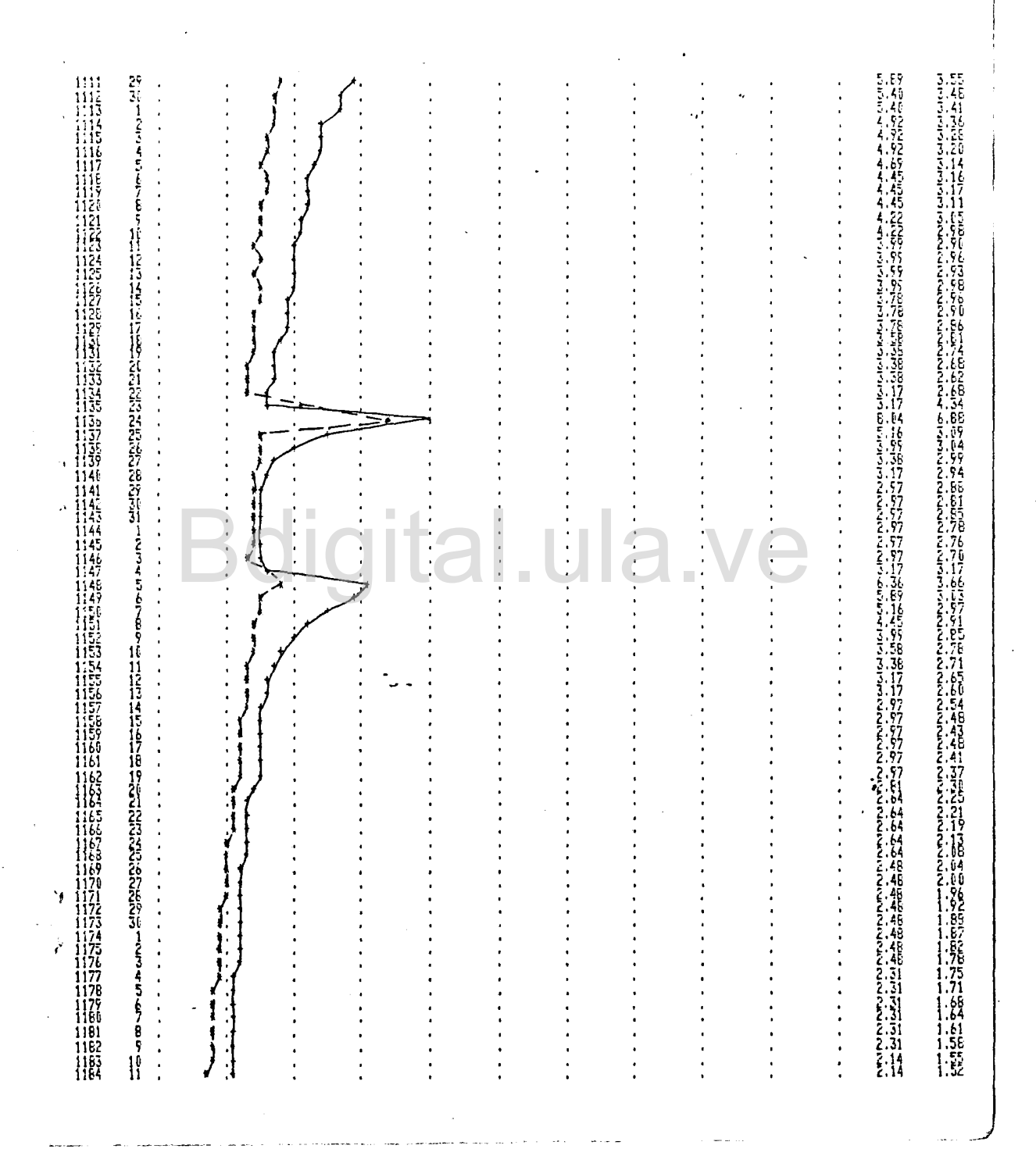
. •



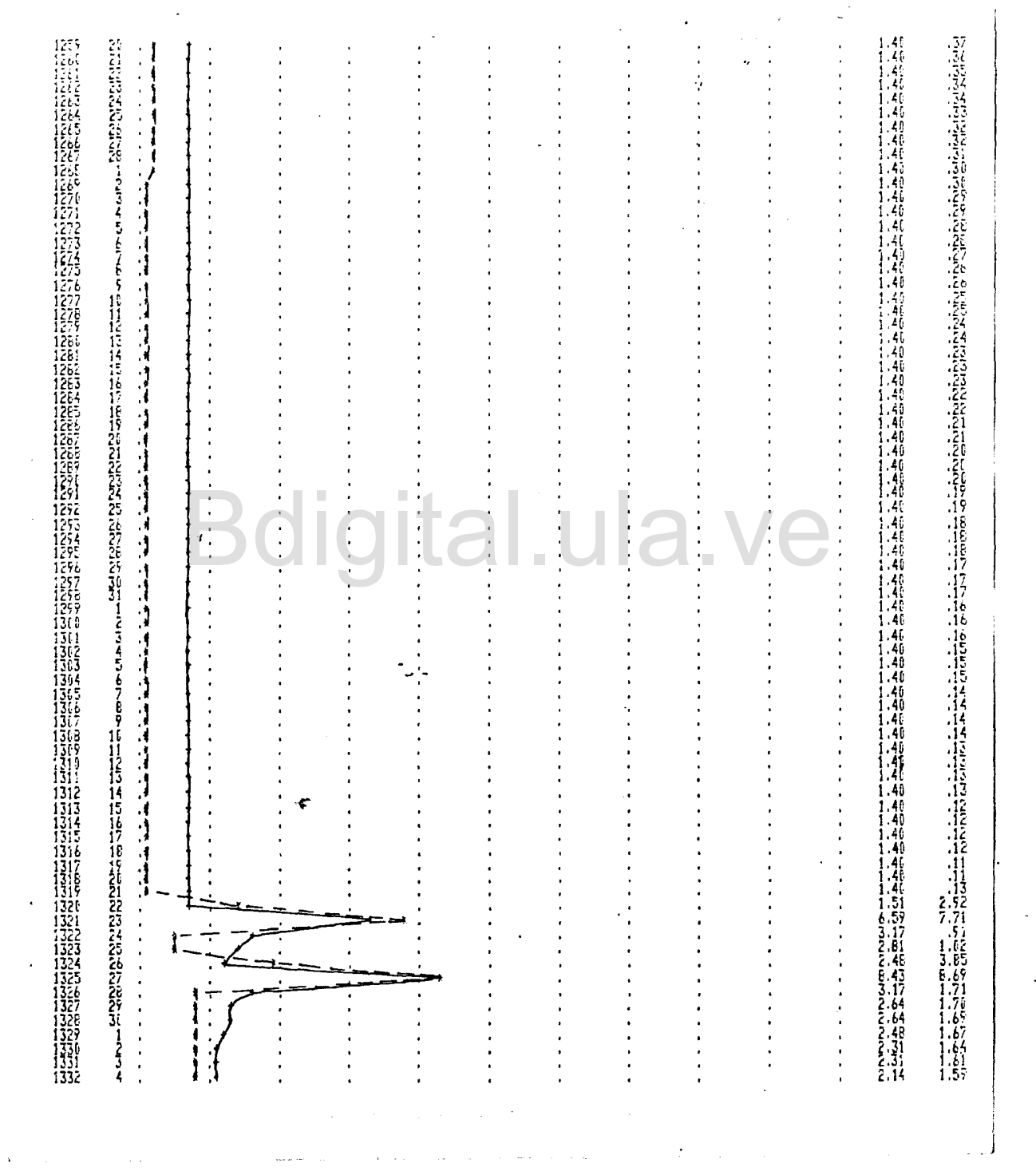


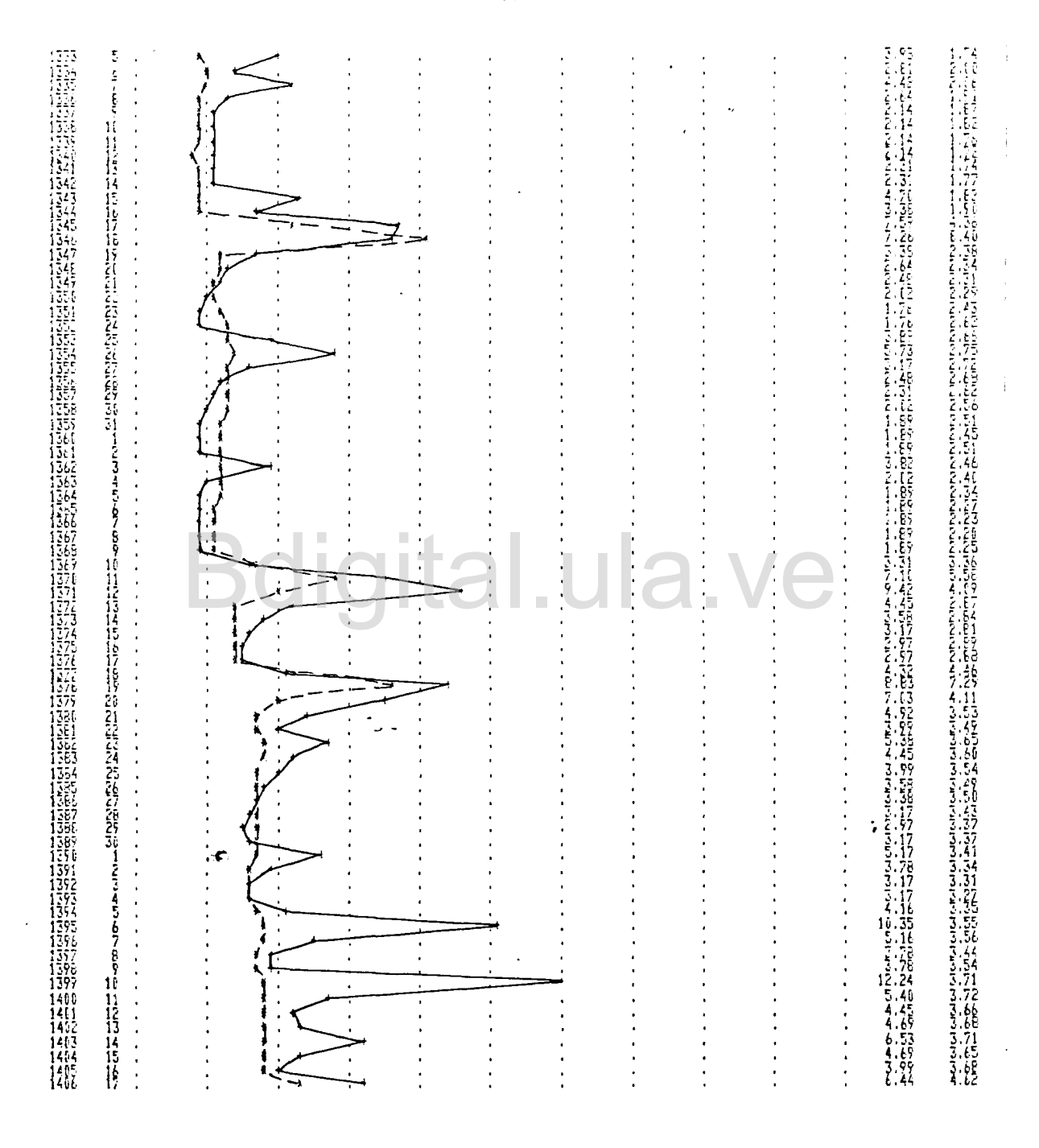


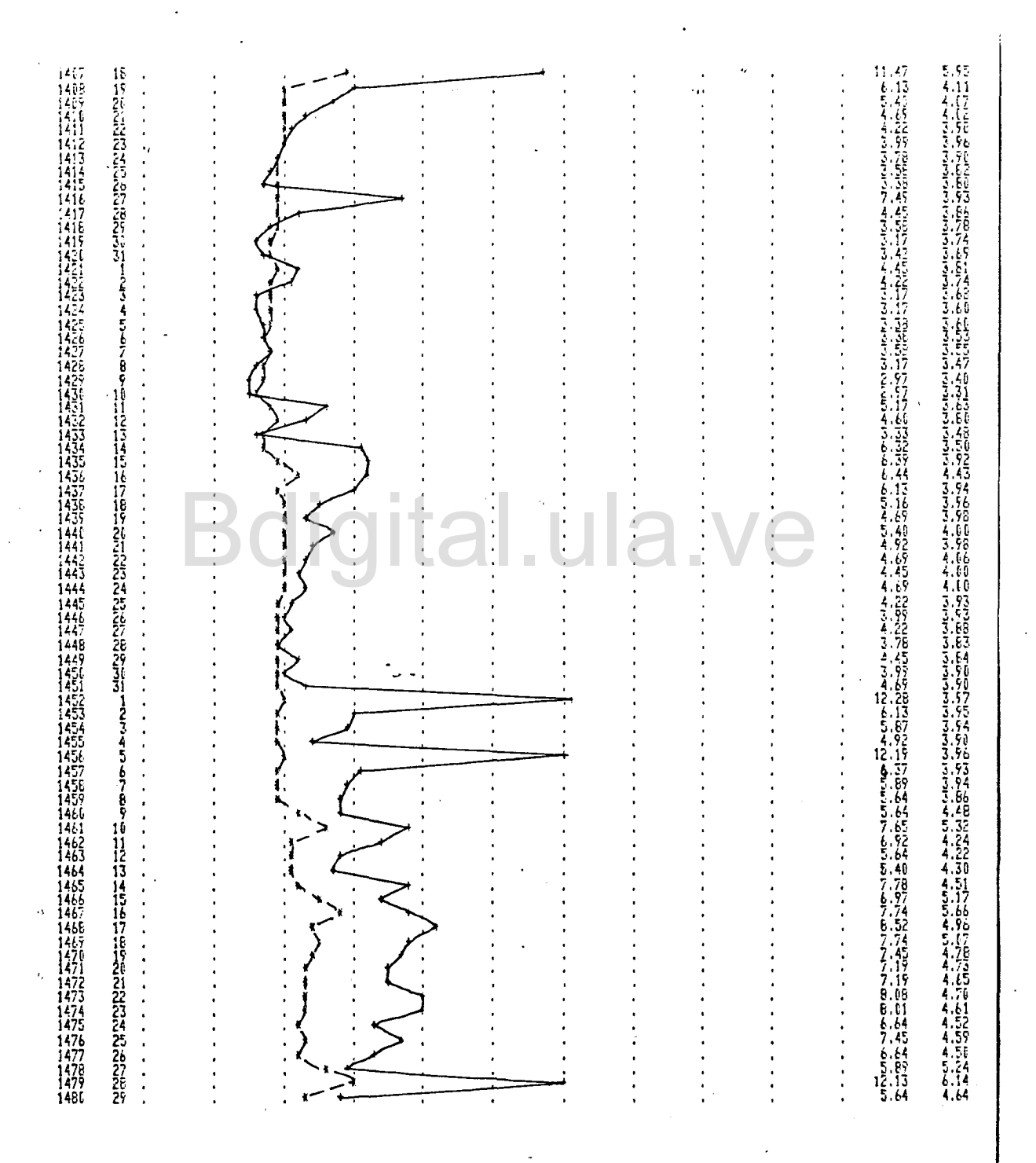




Section of the sectio THE PROPERTY OF THE PROPERTY O SOUTH THE CONTRACT OF THE CONT ula CHASTATA CALAMANA PARA LA CALAMANA CALA CACAMINATION OF THE PARTY CACAMINATION OF TH The deligation of the property CONTRACTOR CONTRACTOR AND THE PROPERTY OF THE







THE PROPERTY OF THE PROPERTY O

THE TANK THE PROPERTY OF THE P

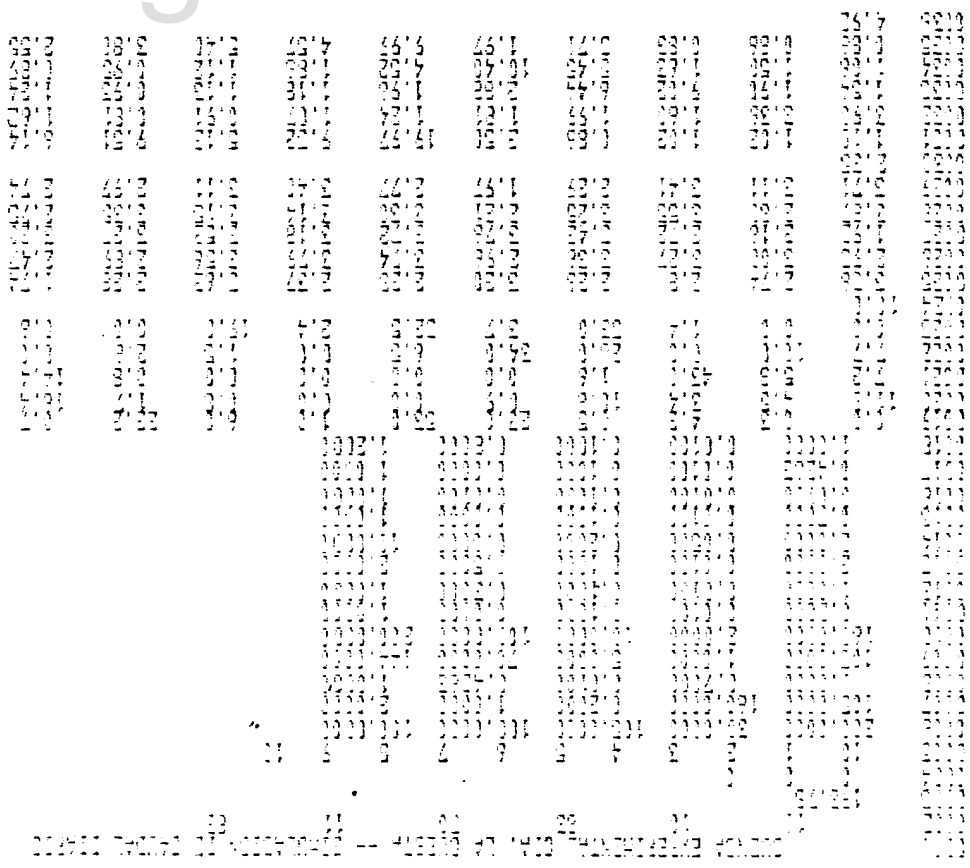
Bdigital.ula.ve

APENDICE VI-B

ILUSTRACION DE LA CALIBRACION AUTOMATICA

- Entrada y salida para la cuenca experimental Quebrada La Cuesta
- Entrada y salida para la cuenca del río Guaraque

Bdigital.ula.ve



33,821 PAL= 382.231 FmC= 362,230 FAFACTFIL milen einer Man kinn aften allen eine Anne EMAKE 19,57 EMINE 145 FOLE 169,585 CUENCA EXPERIMENTAL GDAN LA CULCTA -- BINCLACIEN DE CAUCAL INFIE PLOTED BE LOS VALORED DO ESCOPPENTA-14.0 :2.0 16.1 18.0 20.5 +775 1.4 3.3 15.5 ital.ula Colored for the contract of the colored for th THE PROPERTY OF THE PROPERTY O الكانية المرتبي من المرتبي المرتبية المرتبية المرتبية المرتبية المرتبية المرتبية المرتبية المرتبية المرتبية الم

Bdigital.ula.ve

		IND COSAS FLAS SUPRAGUE ESTAID 70 87	R=1000 MERIUA 3 12	5188141118 F3 73	CAUTAL GTAFIC
				10	
		27.2	AD APPLICATION OF THE PROPERTY	i lii 4.51	
Colonia de Caracteria de Carac	1117779 CB277011 111779 CB277011 111779 CB277011	25.770 11.370 5.50 25.770 12.570 5.60 25 25 25 25 25 25 25 25 25 25 25 25 25	5 + 1/115461 11418213661666	71.00 4.50 5.00 5.00 5.00 5.00 5.00 5.00 5	
الماري في ا		0.00 0.10		25. 35. 35. 35. 35. 35. 35. 35. 35. 35. 3	3.60 4.150 12.50 6.500 12.50 16.20
7.5 - 1.15 - 1.16 - 1.1	200 00 00 00 00 00 00 00 00 00 00 00 00				

Cil	6,26	2.20	14.3	.50	12.20	"Esti	Ę.ĘĮ	17.00		1.5
	(, <u>v</u> ;	9.00	21,29 13 5	1,40	31.45	1,45	6 : 4 5	1124	1 1 2 2	يان د الله الله الله الله الله الله الله ال
1111		2.5	11.57	2 21	8 5	11.15		3	2 12 2	
344	4 5	1 <u>9</u> 3	it ioi	1.7	\$ 1. V	2,40	1.51	7 (19	<u> </u>	1,4,
<u> </u>	\$.72 \$.72	֝֞֞֓֓֓֓֓֓֓֓֓֓֓֓֓֓֓֓֓֓֓֓֓֓֓֓֓֓֓֓֓֓֓֓֓֓֓	1,21		9,5;	يَ نِي اللهِ ا	1,21	ن ا اولون	351	وَ . وَ وَ
vi 3 (17)	<u>.</u>	6.57	2,26 1.11	7 - \$ b 3 - 3 b	3.1	1.5t	2,50 7,50	3 41	2 V E EC U (V) 4 E	<u> </u>
1141	4.55	17.29	3.40	2,50	11.59	7.50	5.59	7.65		1
<u> </u>	5,40	4,2,	3.71	7,7¢ 5.61	1.78	: / L	, 50 6 , 50	€ . ± € 5 . € ±	6,6 <u>1</u>	2,40
U7E	2,46 2,56 2,56	5.70	0.00	1.65	6.65	3.20	, , , (.26	11	4,50
155	도, 7년 , 무급	1.50	6.60	27.50 27.50	7.20 7.20	1,20 22,61	1,50 2,30	5,5	9.91 5.51	7,14
5151	1 6 0	Ĕ,Ē,	3.61	4.55	35.55	7.50	1.05	.56	15.70	
6 0 5 5 5 0 5 5	1.14 2.24	17.10	ئالى، <u>ئا</u> ئارى، <u>ئا</u>	[.[]		ZŹ.ÍÌ	£,76	1,45	Ş. ? }	12179
6654 665	0 . 5 . 	27,6, 3,60	7.76 25.00	i.ii 0.00	_ <u>0</u> , ∳ , 30, , 4 9	20. <u>11</u> 20.00	40.21 11.01	<u>2.79</u> E.70	1,11	.51
6.55	31.15	23.16	.65	26,96	51.49 11.49	5.50	12.66	16,80	Ė	:ຊີເວີເ ກິ່ງເວີເ
0007 [[8]	1,50 10,61	2.6	176	6.66	16.50 ,4(15.91 (1.60	2.00 8.00		5,E0	<u>دِين</u> وڻ,
[[]]	7.00	1,45	3.20	1.30	. 56	7.50	1,21	.46 5 30	.3∮ 4.50	2,42 7,43
6.71 6371	0.7e [,3[, <u>6, 7</u>	1,10	7.56	2.20	21.70	7, 56 7, 56	1/2	.16	1.00
1092	j , <u>j (</u> j	7.5(5.66	25.56 36	.20 .15	3.46	્રે, <u>ફિ</u> 10.30	.1 <u>[</u>		i	. t. e
1174	-6.		្រុំ	= 0.465	ខិ. ម៉ូម៉ូ	£.1[16.29	1,00	4.20	1.66
0 0 7 C	6.00	17.00	8.50 1.50 1.50	23.25	10	, 29 11	1,15	Proprosed Company		3, <u>64</u> 3,73
6.77	0 - 0 t	6,76	1.51	23. Ft			12 - 12 - 12 - 12 - 12 - 12 - 12 - 12 -	Σ, 5 ў 1 ()		2 (<u>3</u>)
0177	4, 55 4, 55	1.66	1.20		22.70	2:75 1-0 1-0	2.20	47.8	10.8	5,5,
9199 1414	<u>i.ki</u> 13.71	ار دار این مار دار این	ياً لواء الأماء	22.31	4.5	0.50 [.60	11.00	, <u>o (</u>	1 <u>4 5</u> 1 4 5 5	ا <u>با</u> د د د
0102	1.00	5.30	2.16	4.59	6.66	0.10	11.00 .Eu	֓֞֝֓֓֓֓֓֓֓֓֓֓֓֓֓֓֓֓֓֓֓֓֓֓֓֓֓֓֓֓֓֓֓֓֓֓֓	6.66	1,[[
6164	5.65	2,38 2,38	1,29 1,79	2.46	.45	, <u>E</u> 0	1.5g	0.00 0.00	0.00	<u>ال</u> والم الم
0165	0,00 SF 11	0.00	10 10 0 10 10 10 10 10 10 10 10 10 10 10	0.00 15.50 27.50	ପି.ପିଥି ମ୍ୟୁ	0.[0 1.2f		1.10	1.86 1.88	1,70 2,78
6165 -	2.36	.50	0.60	2.70	5.56	0.00	0.10	0.00	.10	باء ، ا
	5.45 7.20	17.36 3.36	32.20 15.76	17.20	18. i.	15.50	6.21	0.000 24.000 24.40	37.70 3.40 3.90	23.10
6116	44.21	21.70	5.70	33. 05.01	3.36	23.6[107.75	5.00 1.40	3.90 30	13.1 16.30
6112 6112	3,85	7.66	6.50	.60	14.60 6.60 3.50		7.60	.20	ءِ بُجْرُ	0,00
0113 0114	1.91 1.45	0.66 9.56	10000000000000000000000000000000000000	1.00 1.10	3.90 7.45	1.70	5.10 6.50	7.20 2.80	2.35 4.15 1.15	5,4± 2,70
	111	25.70	.76	0.00	1.00	4.10	13,90	2.000		14.90 12.70
6117	140	6.96	6.66	6.60	4.3	.70	.26	03.3	6.05	16.80
0118	25,86	16.10	8.50	34. 94. ED	2.18	3.30 0.00	1.20	3.68 50	4.76	3.56. 5.45
6120	15.1:	5.16	16.55	.66	2.39	.56	.55	5.50	5 6	7.20
0121 0122	8.10 2.11	1.66 .51	5.10 2.10	4,48	3.70	7.20 1.30	11. 30.3	15.00	20,40	3,10 37,
0123	- Ei	4.75	2.30	0.00	12 c	5.50	9.[[1.20	0.60	7.91
0.25	7.66	4.10	24.50 24.50	6.66	ניים בארוים ביינים ניסיים איינון ביינים בארוים ביינים ניסיים בארוים ביינים בארוים בארוים בארוים בארוים בארוים ביינים בארוים	Note of the control o			mercher signification of the February of the F	13.5 3 783547.0 C
1120	باِدَ.	7.10	E.40	.10	J.5.		្រ. ភ្នំព្	11.76	19.50 8.70	5.30
0125	15.00	6.00	֓֓֓֓֓֓֓֓֓֓֓֓֓֓֓֓֓֓֓֓֓֓֓֓֓֓֓֓֓֓֓֓֓֓֓֓֓	ş.a;	វេរីធ្វើ	28.45	,70	. 5	3,66	17.51
6129 6130	17.50 6.66	13.61 11.	4,88 9,40	80,00 84.51	176 11.	0.66 23.35	0.16 10.86	4.76	.70 33.)	6.8i .4i
اِجْدَا مُ	9.09	0,00	0.55	Į.00	1.40	1.50	0.03	0.00	2.21	.46
Trees and the control of the control	5 1 1 6 2 1 1 1 1 1 1 1 1 1 1 1 1 1 1 1 1		and the sound the sound of the	7.43500 -03500 3.43500 -03500	3.20 20	2.70	7.20	0.00 0.00 0.00	0.00	6.65

	ישור ביי ביי ביי ביי ביי ביי ביי ביי ביי בי
CHETAND CONTRACTOR OF THE TRACTOR OF THE SECOND CONTRACTOR OF THE SECON	Charles of the property of the
AAAAAAAAAAAAAAAAAAAAAAAAAAAAAAAAAAAAAA	
CHAISTE CONTRACTOR TO THE PROPERTY OF CHAISTER CASTS AND	
AAAAAAAAAAAAAAAAAAAAAAAAAAAAAAAAAAAAAA	1.71
היה לביב על על הליקלים בה למוסונים נהימת המתחת המל בתחת המתחת המתחת המשחת המהיה ימי-מייתים ומתחת המתחת המתחת המתחת המתחת המתחת המתחת המתחת המלחת המלחת המלחת המתח באת היה את מתחת המתחת המתח	الما المراوية والمدين المرودي والمرودية المرودية والمرودية والمرودية والمرودية والمرودية والمرودية والمرودية و والمرودية والمرودية والم
Antitated tolerants a material production to the material content of the states of the	A TOTAL TOTAL CONTRACT CONTRAC
ייז אבינבאן אבינבאל אבלטומים ומיומיותיוניונטלטמיות נמימימית מתמתית מתמתית ממקומוס וסימים ומ מיימימיתי מימינונטונטוטי אביא איניסימים ומיומיתי מאימימית מתמתית מתמתית מתמתית מתמתים מסימים מסימים מסימים מי מיימים ייז ייז ייז ייז ייז ייז ייז ייז ייז י	Particular de la conceptação de concepção de concepta do transferior de concepta de concep
A FLAL AL ALALA CALA CALA CALA CALA CALA	Control of the contro
ALL LA ALL AM ALGUNA DEGLO DEG	נייניים בייניים בייניים בייניים ביינים ב ניינים ביינים בי
NOONG GEART PEOPLE METER PROPERTY OF GEART GRAPHER GEORGE AS AS A SECTION OF THE PARTY OF THE PARTY OF THE PROPERTY OF THE PRO	

	nyanananananananananananananananananana		and the property of the proper	and between the proposition of t	and and the control of the control o	# 1991 DAL-LA A LANDENININININININININININININININININININ	1010 Note that the Note of the following particular interesting the following the following the state of t	NOWNA ALLEN	iange in a service de la companie de	ignation of the contract of th
0316 0317 0322 0322 0322 0322 0322 0322 0322 032	ENCREMENT OF THE PROPERTY OF T	SCHOOL OF CHANGE OF THE CONTRACT CONTRACT OF CHANGE OF C	PCHCHCHCHCACA CALCACA		ייי ייייים ארטובים ארטובים מוטער אומערט מוטער אומערט מיייין אומערט מוטערט ארטובים ארטובים מוטערט מוטערט אומערט ארטוער ארטובים ארטובים ארטובים מוטערט מוטערט מוטערט מוטערט מוטערט מוטערט מוטערט מוטערט אומערט מוטערט מוטערט מו	1 7 7 7 7 7 7 7 7 7 7 7 7 7 7 7 7 7 7 7	CHERT SERVICE SECTION TO THE SECTION OF SECT	13 cm (14 cm cm cm cm) cm (15 cm (15 cm) cm)	CCCCCCCCC FORMATION CONTRACTOR PROPERTY	85 6379 6414:185 (64 22:06 717 6414:185 (64 22:06 717 6414:185 (64 22:06 717 645)

The property of the property o	A STATE OF THE STATE OF THE PROPERTY OF THE STATE OF THE	State Stateday	POUR AND THE TOTAL OF THE PROPERTY OF THE PROP	BOOLE A COLORIGA COLORIGA MARCALO BOOLE COLORIGA COLORIGA COLORIGA COLORIGA COLORIGA COLORIGA COLORIGA COLORIGA COLORIGA COLORIGA CO COLORIGA COLORIGA CO	TAGA CALANTA C CALANTA CALANTA	0-10-00-00-00-00-00-00-00-00-00-00-00-00	ALCHOROLD PLACE FOR CONTRACTOR CO	J. 0.7	A of older month of the contract of the contra	A DOTATION OF THE PROPERTY OF
A CONTROL OF THE PROPERTY OF T	A TEMPORAL TO THE COMPANY OF THE COM	المالية من المالية الم المالية المالية المالي	And the state of t	7.5	1.00 de 1.00 d	7.10.10.0 F. 10.10.10.10.10.10.10.10.10.10.10.10.10.1	o with the control of	Calculated and a fall of the calculated and a	Andrain managed by solution of characteristics of the control of t	الموارية والمراجعة مسامسة والمراجعة المراجعة المراجعة والمراجعة والمراجعة والمراجعة والمراجعة والمراجعة والمرا والمراجعة والمراجعة
Control of	Andread State (State of the Colors of the Co	0.000 0.000	100044446005-0005-7-7-00055-7-7-00055-7-7-00055-7-7-7-0055-7-7-7-0055-7-7-7-0055-7-7-7-0055-7-7-7-0055-7-7-7-0055-7-7-7-0055-7-7-7-0055-7-7-7-0055-7-7-7-0055-7-7-7-0055-7-7-7-0055-7-7-7-0055-7-7-7-0055-7-7-7-0055-7-7-7-0055-7-7-7-7	TOTAL SECTION OF THE PROPERTY	10 11 11 11 11 11 11 11 11 11 11 11 11 1	10.100 mm 10.00 mm 10	CTGL** as established by the property of the p	SOURCE STATE	0.00 - 1.	And Last American

11.1.1.1.1.1.1.1.1.1.1.1.1.1.1.1.1.1.1	COLUMN DE COLUMN	ab peroperator and an area (alternation) and the second of	de interesta de contratación de de la forma de la form	Selection of the select	Mothypidateleteleteleteth Pelgrah melatelete	encina de la constante de la c	vo impoloinded observatory or destributed observatory or ex-	Wei in paterini atau tan manasa da sa	Argine professor for professor from the lifetime commission from the contraction of the first from the contraction of the contraction of contraction	organisation for the responsibility of the second s	etrojandrapajajajajajajajajaj etrojandrapajajajajajajajajajajajajajajajajajaja
6430 .54 .57 .47		1.15	יים ביים מיים ביים ביים ביים ביים ביים ב	ALTHOUGH POTOTO AND SECTIONS OF THE PROPERTY O	A CHURCH CAN TANDARI CACAMANA TANDARI CA	Alound to the fight of the first of the firs	1.07	A WEST AND COLOR	1	# 14444 TUDES	CHARLES CONTRACTOR CON
\$\\ \begin{array}{cccccccccccccccccccccccccccccccccccc	443545454 44354545454 443545454 44354435	1.547.564.555 1.545.565.545 1.545.565.545	1000 P. 4. 1010 D. P. 4. 1000 P. 4. 1000 P. 4. 1000 P. 4. 1000 P. 1000	ر شار چو	1 1 1 1 1 1 1 1 1 1 1 1 1 1 1 1 1 1 1	. 477500 4 477500	1900 C - 1000 C	Action of the Ac	4473197050-4-46-6411-	1.15 1.15 .66	04-77-5-31-5-4-9-4-4-7-4-0 04-5-4-7-3-3-4-5-5-4-7-4-6 04-5-4-7-4-6-4-7-4-6-4-6-4-4-6-4-4-4-6-4-4-4-6-4-4-4-4
0455	**************************************	111111111111111111111111111111111111111	1,25 2,15 1,48	1.4000000000000000000000000000000000000		2.75 1.74 1.25 1.61	1.45	A 4 NA CARRIA A BARRANTO NO PROPERTO A PROPE	1.0000 1.00000 1.000000 1.000000 1.00000 1.00000 1.00000 1.0000000 1.000000 1.00000000	445 445 45 45 45 45 45 45 45 45 45 45 45	400047545460444460446 400047545460444460446

PECIS 7:	::::::::::::::::::::::::::::::::::::::	3 0% CRC	ICIE WIL	K3 (151)	F_FE	m				
11 v.		: <u>1</u>	EFLE TE	l e Lamin	4 2 5127F	IÍA E≺ n	<u>.</u>			
content and the content of the conte	CAPACIONADA PROTECTO AND TO THE CONTRACTOR OF PROTECTOR OF THE CONTRACTOR OF THE CON	Commentation of the intervention of the control of	CHALACTORISM PROTESSES FROM THE PROTESSES FOR THE PROTESSES FOR THE CONTRACTORISM CONTRACTORISM FOR THE PROTESSES FOR TH	Chalcin Grand and the character than the control of the character of the character than the character of the	CHAINEL CACIDIAN WITH THE STATE OF THE WASHINGTON DESIGNATION OF THE STATE OF THE S	CAR ASCICIONE E TORRE - FOR STANDED FROM THE CONTRACT CONTRACT AND ASSICIONAL AND	ALE CALIFORNIA WAS MADERIAL CONTROLL WAS AND WAS AND TO BE AND ACTOR OF A STANLING CONTROLL	CHP CACH LANGE TO AND AND CHAPTER AND TO SELECTION OF A SACTOMETRIC PROJECT OF THE CHAPTER SELECTION OF A SACTOMETRIC PROJECT OF A SACTOMETRIC PRO	TOTAL CONTRACTOR OF A CONTRACTOR OF A CONTRACTOR AND CONTRACTOR OF A CONTRACTO	CHARLE GEORGE AND THE CHARLES AND THE TOTAL OF THE CHARLES OF THE CHARLES AND THE CHARLES OF THE

##################################
The transfer of the property o
House the property of the prop
The transmitted of the control of th
1917-96-11-11-11-11-11-11-11-11-11-11-11-11-11
SECTION OF THE SECTIO
The state of the s
CHOISTAND CONTRACTOR C
CHOICE CONTRACTOR IN THE PROPERTY OF THE PROPE
Discount for the state of the s
0.0 0.0 0.0 0.0 0.0 0.0 0.0 0.0 0.0 0.0

Commentarion (International International In	And the Charlet all all and a strain at the control of the control	the consequent broken design of the consequent o	the carried to health and the first form of the form o	A CONTRACTOR OF THE PROPERTY O	produced and relative to the first of the production of the first of t	A COMPANY OF THE SECTION OF THE SECT	tell afforest broth tell to the same after the forest tell and the same after the	A 19 CAMPA TO THE POST OF THE PARTY OF THE P	The first term of the first of the second statement of the first of the first of the second statement of the first of the first of the second statement of the first of the fi
	P. I	12010 PE	LA FEEL	PITALIL					
More than the state of the stat	, ,.				, , .	10 10 10 10 10 10 10 10 10 10 10 10 10 1	25 (4-0-0-0-0-0-0-0-0-0-0-0-0-0-0-0-0-0-0-0	60.18.40.10.40.40.10.10.10.10.10.10.10.10.10.10.10.10.10	CHANGE TO THE CONTRACT OF THE

The officent was a first from the first to the control of the cont	to the state of the second sec	CIVE SINGLE CONTROL CO	A CALL CONTRACT OF THE PROPERTY OF THE PROPERT	19 Brownship House Property and the first of the property of t	The state of the s	Caracata to the control of the caracata to the	Constitution of the Consti	المورور المراجع الماعية المراجع المرا	tra Colon estra es	A Commission of the Commission
redeer er er mener er e	Town of the country o	To the control of the	01-01-01-01-01-01-01-01-01-01-01-01-01-0	6475-686-6-4-5-5-5-5-6-5-6-5-6-6-6-6-6-6-6-6-6-				A CONTROLLE SECTION DE CONTROLLE SECTION DE LA CONTROLLE SECTION DEL CONTROLLE SECTION DE LA CONTROLLE SECTION DEL CONTROLLE SECTION DE LA CONTROLLE S	A CHOSTO CONTRACTOR CO	######################################
######################################	25-64-61-65-6-6-6-6-6-6-6-6-6-6-6-6-6-6-6-6-6	726555554766577665476666	00.54.4.64.2.0004.8.0.4.0.000.000.000.000.000.000	12420213 100 C1 15 0	14743 UP STROGGGGGGGGGGGGGGGGGGGGGGGGGGGGGGGGGGGG	136 1	And himself with the conditions of the condition	020405 20 2583 02000 020405 20 2583 02000	\$7.85.42.15.000.00.000.00.00.00.00.00.00.00.00.00.	X 64 61 65 10 2 7 7 66 66 6 8 7 1 1 1 1 1 1 1 1 1 1 1 1 1 1 1 1 1 1

	The property of the control of the c	Control of the second of the s	ST-morning of the state of the	The control of the co	The states of the property of	City in the result of the resu	Enter Diversional Control of the Con	Constitution of the state of the constitution	Charles of the second of the s	ementement metal metal production of the transfer of the trans
9415 41 (3) 9419 415 67 8 9 64 78 415 9 78 9 415	GLOUND NORTH TO THE PROPERTY OF THE PROPERTY O	AA 44 44 45 19 MANAMANAMANAMANAMANAMANAMANAMANAMANAMAN	AA 44 44 44 46 1919 MAD	ALL ALL ALL ALL BOOMER DESCRIPTION OF THE PROPERTY OF THE PROP	ALA ALA ALA ALA BUDGENO DESTA DESTA ALA ALA ALA ALA BUDGENO DE SUR COMPANDA DESTA DESTA DESTA DESTA DESTA DE COMPANDA DE SUR C	ALL ALL ALL ALL ALL BODY OF THE POPULATION OF TH	איל יגיל איל איניאיטיטיטיסייטיטיטיטיטיטיטיטיטיטיטיטיטיטי	יייין יוייי אילי אין אין אייי אייין אייי אייין אייי אייין איייאיין איייין אייין אייין איייין איייין איייין אייין איייין איייין איייין איייין אייין איייין איייין איייין איייין איייין איייין אייין איייין אייין אייין אייין איייין אייין אייין איייין אייין אייין אייין איייין אייין איייין	ALAA AA AA AA AN MUNIONA MARINA MARINA AA A	Ash de

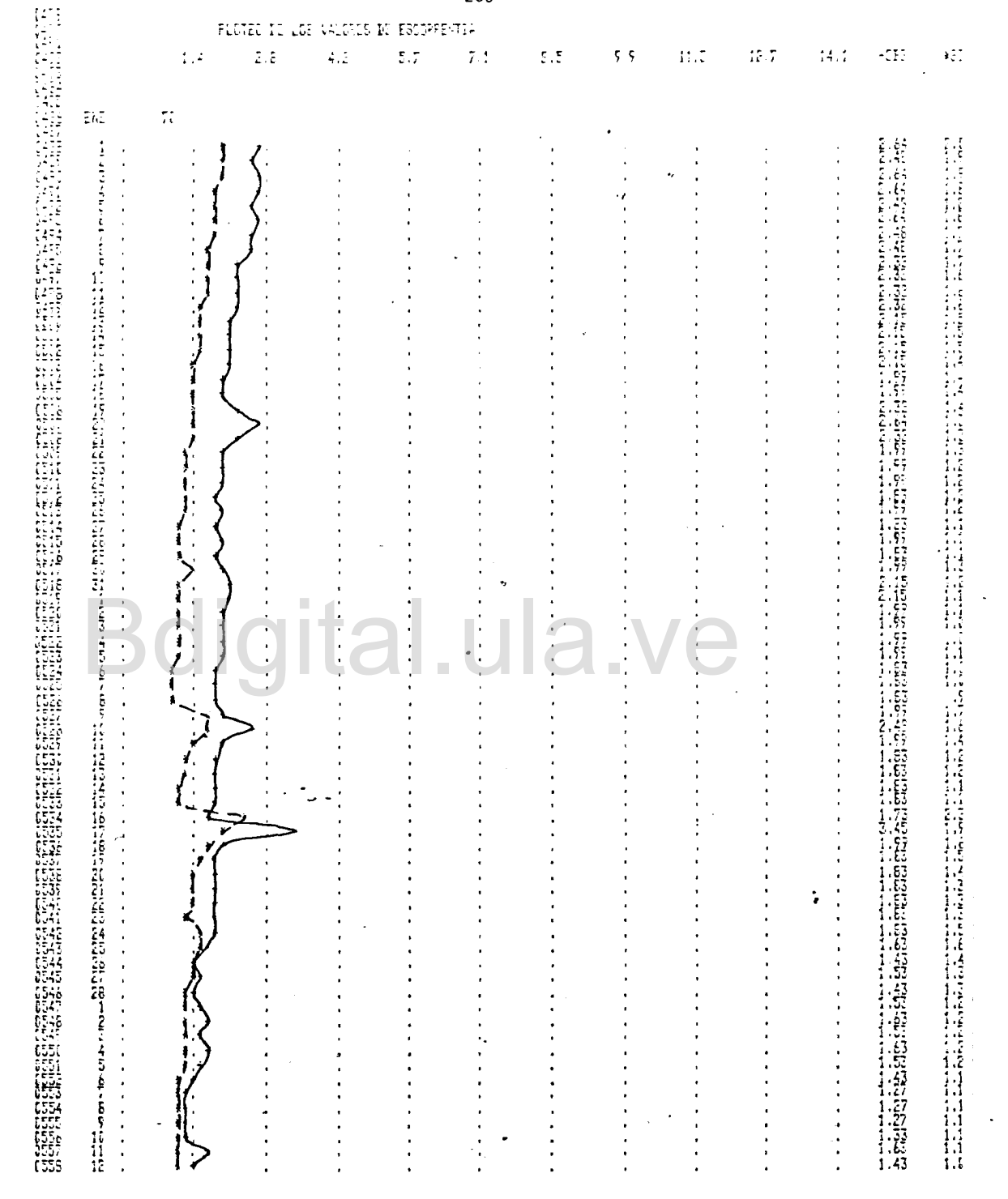
	3	A TOTAL CONTROLL OF THE CONTRO	and contraction of the property of the propert	inacidade la desprima en la composito de la co	יאנאיאי הייסימאס איני שטואיאי הייסימאס אס נסיסימאס אס נסיסימאנא נסיס פיסימים יסיסימים נסיסימים נסיסימים נסיסימים נסיסימים נסיסימאנאי	יייריי היייי האוני האיני היייי אוני היייי היייי ביייי באיני האיני אוני היייי היייי ביייי באיני היייי	and statement and through the statement of the statement	Amorona caloteded cardinara ta appear to taking a same at the figures of the figu	אנא האונא החומים ומוא אוא אוא אוא אוא אוא אוא אוא אוא או	Para catalona la tal rata rata de la tradación	ישימיים באים האים האים האים באים מונה השובי באים האים האים השיבים ביית פייתים
			הייה אים הייה האים האים הייה האים האים ה	ani mpaniani Sila Sila Sila Sila Sila Sila Sila Sila	Parameter personal pe	אנייאנאנאנאנאנאנאנאנאנאנאנאנאנאנאנאנאנא	CHAINTENNA NA CHO NA CHORATA C	A CONTRACTOR DE LA CONT	tomorphism change in the part of the part	להיקות נתנתנישה התתנתות נתנת היקות היים (10) ליות היקי היקי מחקני היים לחרים בית היקי היקי	And company printers to company and company of company of the comp
		2,50 2,50	Ledentra Patricia Principal Commencial Comme	MANAGED TO TO THE TO TH	GERGERA CHANTANANANA STANDAN AND AND AND AND AND AND AND AND AN	0.000000000000000000000000000000000000	MANANA NAMANA	Apple (1970年) 1970年 19	אליי אין השיחבית ביו ביולים. היהי בימה מיולים היה אילי היהי כי מיי בימה מיולים היה היהי כי מיים היאכה מיום בימה	outsicin minima and china the top complete for compare the china comp	ניתיה ניתה ניתה ניתב ומבין ניתה ניתה מים ניתם מבייה ניתה מים ניתה בייה
137123443397 137123443397 137123 137123 137123 137123 137123 137123 137123 137123 137123 137123 137123 137123 137123 1	: : : سرر : ا		oterals eleteral eleteratoriste derivantamental de la company de la comp	المالم المالمالمالمالمالمالمالمالمالمالمالمالما	5,000 capa on 10,000	ekalota kotota etatota 27. 27.aba etatota 60.aa. etatota esenera etatota	Colora Caracteristics	Selections des des des des des des des des des de	અંદ્રમાં અંદ્રમાં આવેલા છે. પુરાયમ અંદ્રાદ્રાદ્રા લાગુ પુત્રમ લાગ છેલા હતા હતા હતા હતા હતા	entitional substational and the control of the cont	Maria de des cales de sos estados esta
13355555550 1335555555555555555555555555	2		194157131471345444555555555555555555555555	3.76 3.16 3.10 3.10	3.76 3.16 3.16	3.76 3.16 3.16	7.70 7.70 7.70 7.70 7.70 7.70 7.70 7.70	3.71 3.10 3.10 3.20	3,10 3,10 3,10 3,10 3,10	55.16 5.16 5.16 5.20	110 15 15 15 15 15 15 15 15 15 15 15 15 15
**************************************	-	10 0 0 0 0 0 0 0 0 0 0 0 0 0 0 0 0 0 0	445555 44545 555 44545	richan a transmontantantantantantantantantantantantantan	0-000 of delicated sections of the Control of the C	00000000000000000000000000000000000000	0.000000000000000000000000000000000000	00000000000000000000000000000000000000	A the transfer of the transfer	00000000000000000000000000000000000000	5-50-50-50-50-50-50-50-50-50-50-50-50-50

459 460	NEF= .25 FBM= .13
------------	-------------------

ST 200.0000 70.0000 35.0000 35.0000 100.0000 200.0000 36.3575 180.0000 FP FI FL FE NX FD FB FSE 6.0000 6.0000 6.0000

EMAX= 14.13 EMIN= .13 RBA= 3443.987

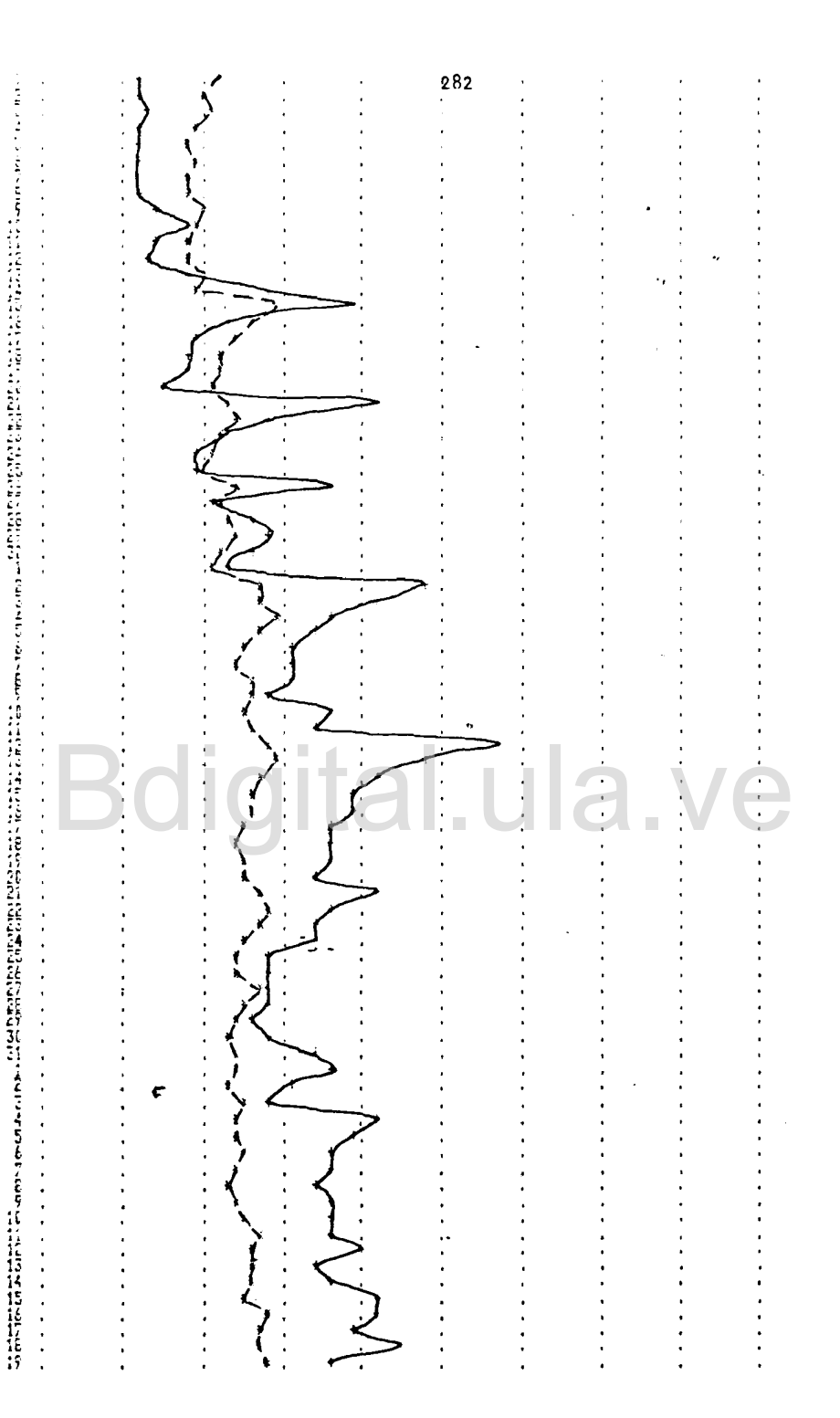
CUENCA DEL RIO GUARAQUE ESTADO MERIDA -- SIMULACION DE CAUDAL DIARI : PERIODO ENE 7.0-DIO 73



¢

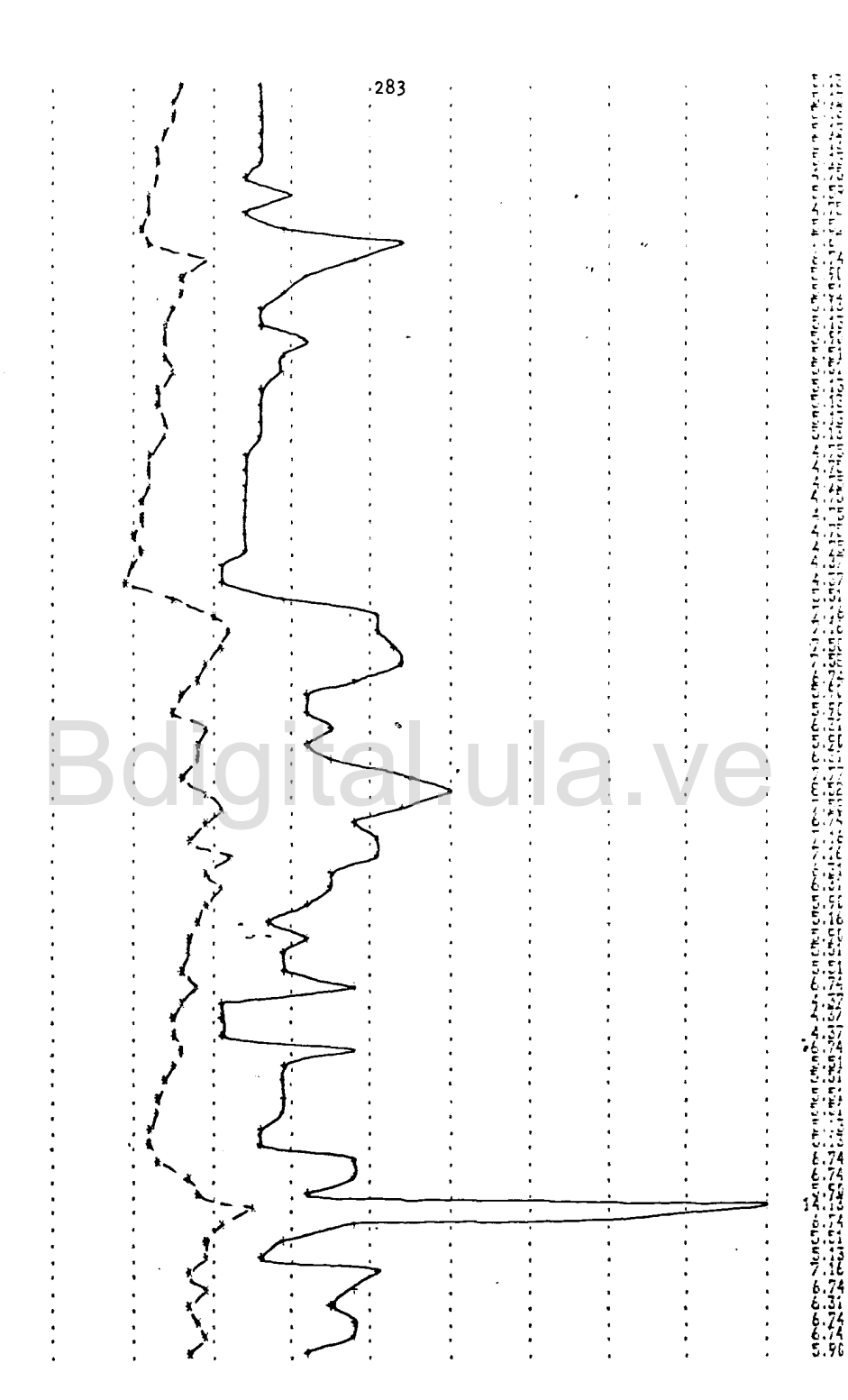
instry of the state of the stat

NONGOLOGIANAMA AND SAMENDA AND AND CRECKET OF THE CHARGE OF THE PROPERTY OF THE CONTRACT OF TH

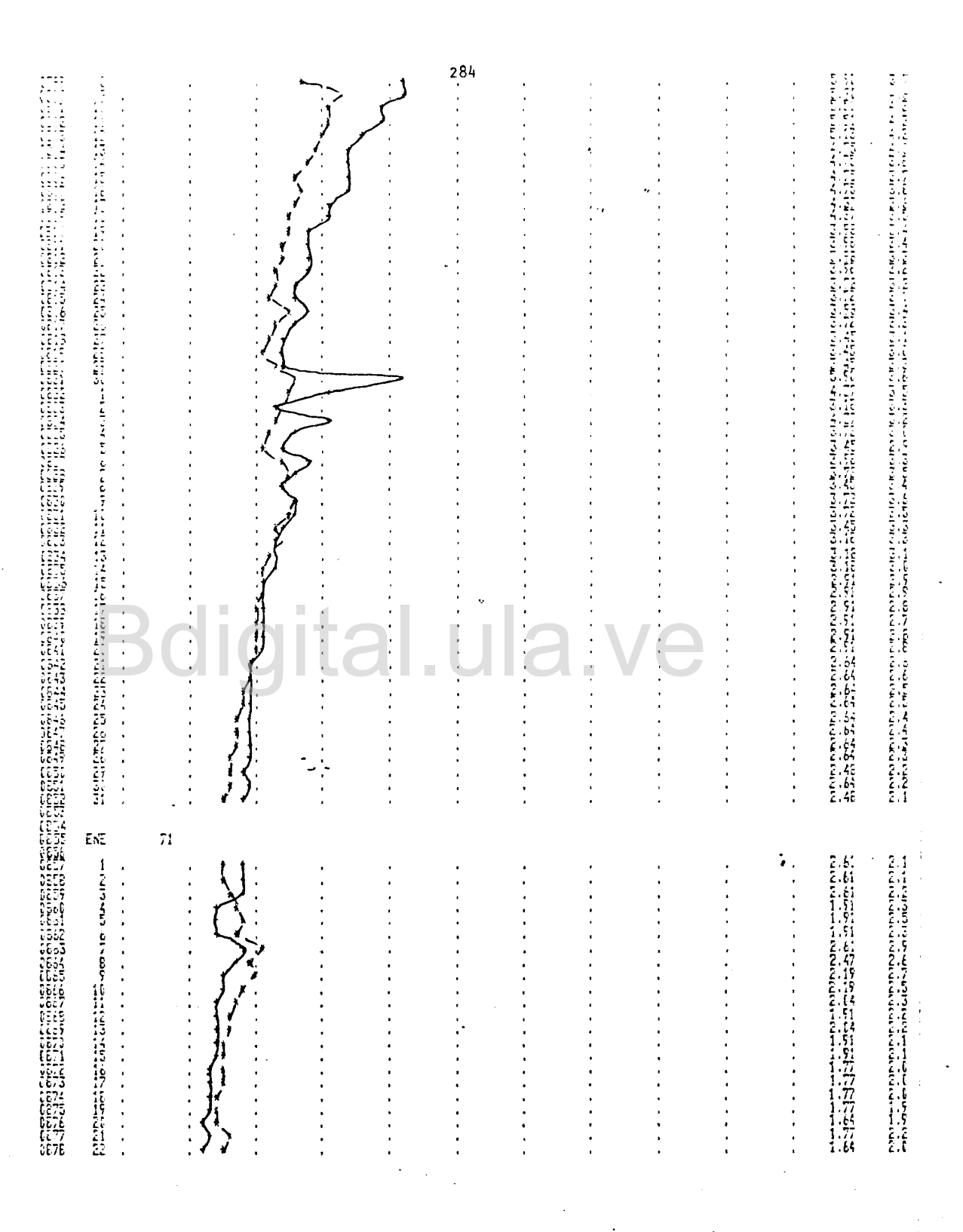


THE CONTROL OF A CONTROL OF THE CONTROL OF A CONTROL OF A

underest telescoloristical contents between the contents of the second of the contents of the second of the second



THE PROPERTY OF THE PROPERTY O CASA CASA CASA CONTROLL CONTROL CONTROLS AND POLICE PORTOR CONTROL TO A DESCRIPTION OF CONTROLS CONTROL CONTROL CONTROL TO THE CONTROL CONTROL



3digital.ula.ve

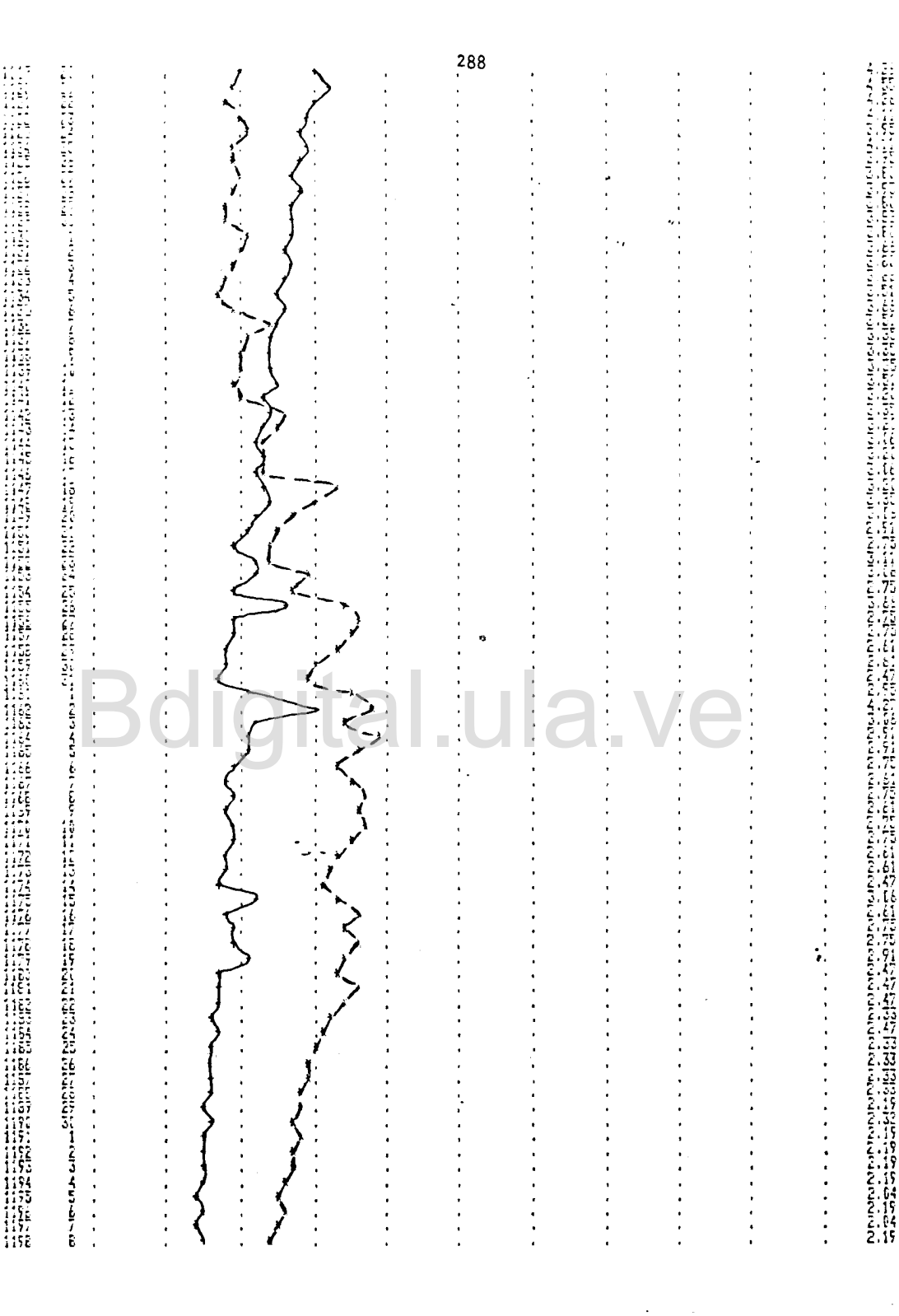
TO THE STATE OF THE PARTY OF TH

CACHANDA INDIANA IN THE CONTRACT OF THE CONTRA

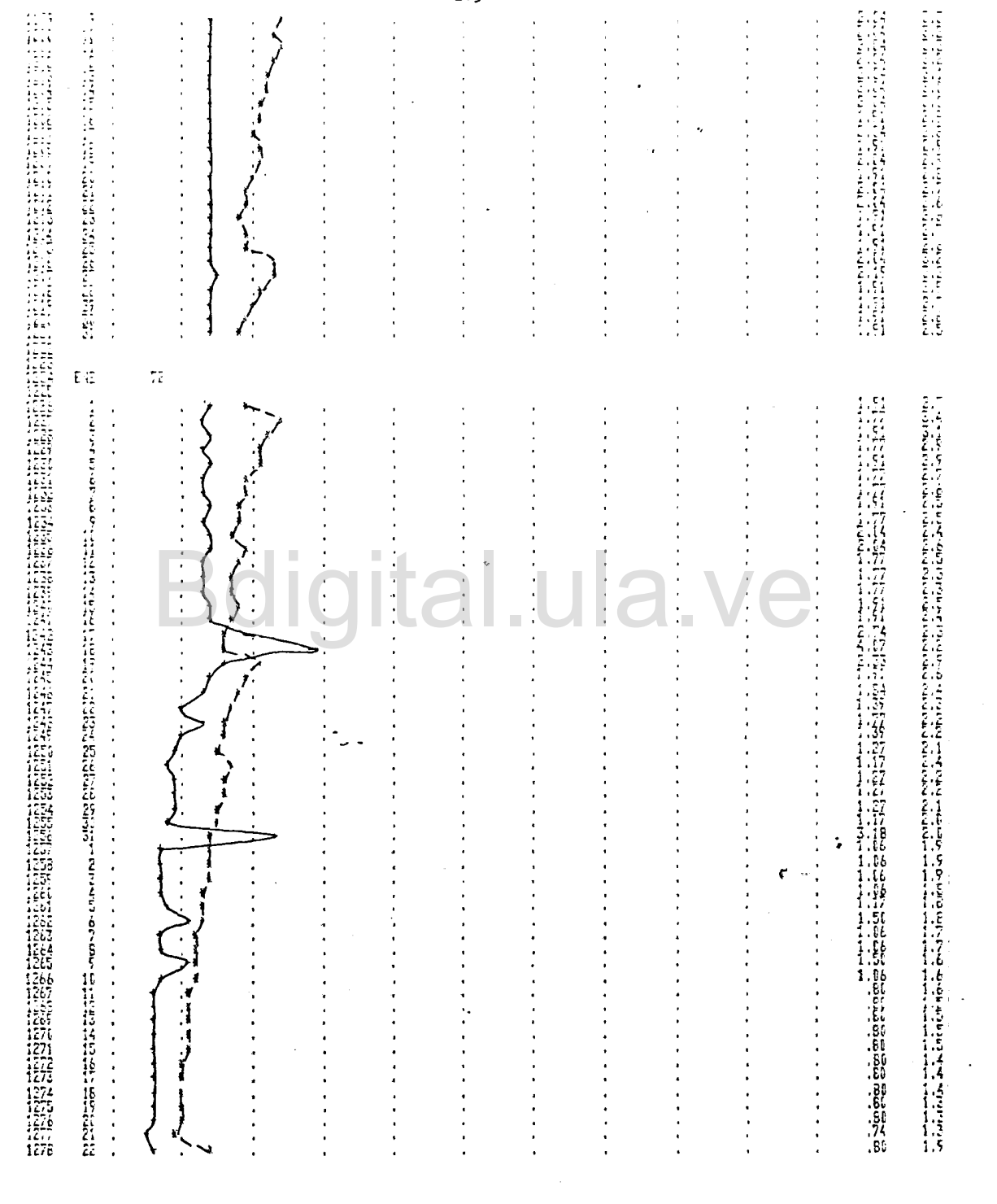
The state of the s

PINNED DINIONNING CONTRACTOR CONTRACTOR CONTRACTOR STATES STATES

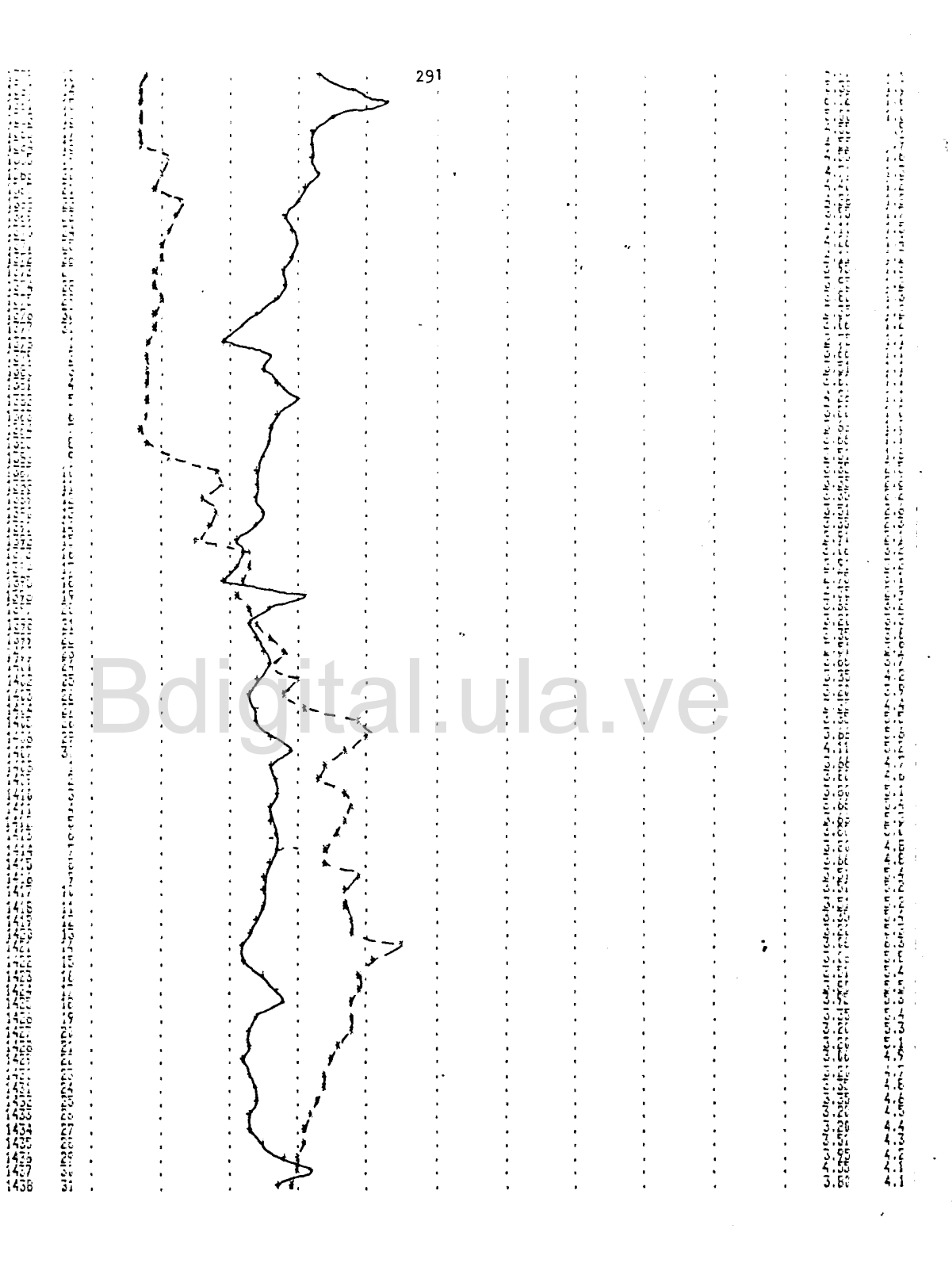
estable di della de la constanta della del

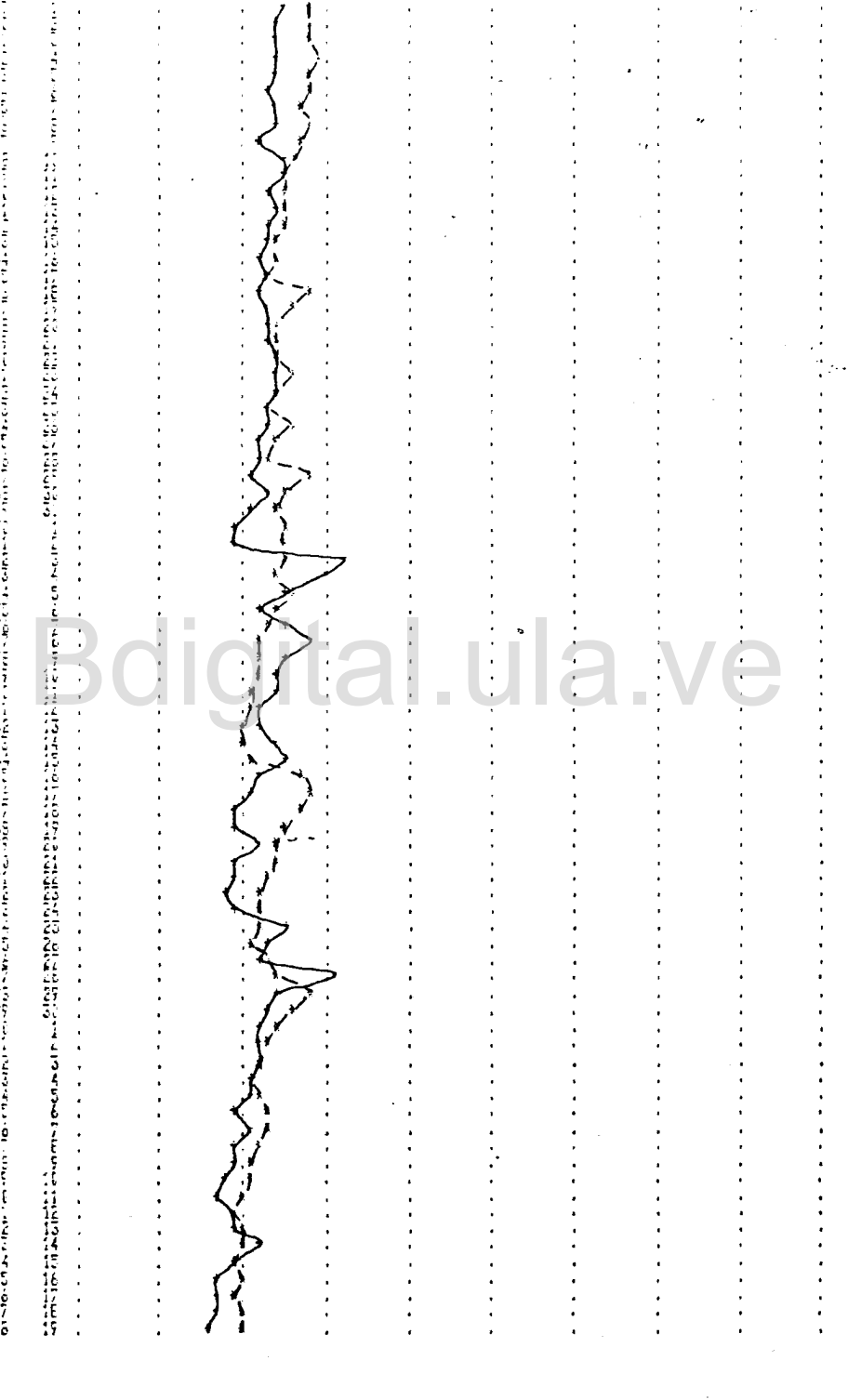


CONCOLOGICACION SE LA LA LA LOCATION DE CONCOLOGIA LA LA LA LA LA LA CONTRACTA CONTRAC



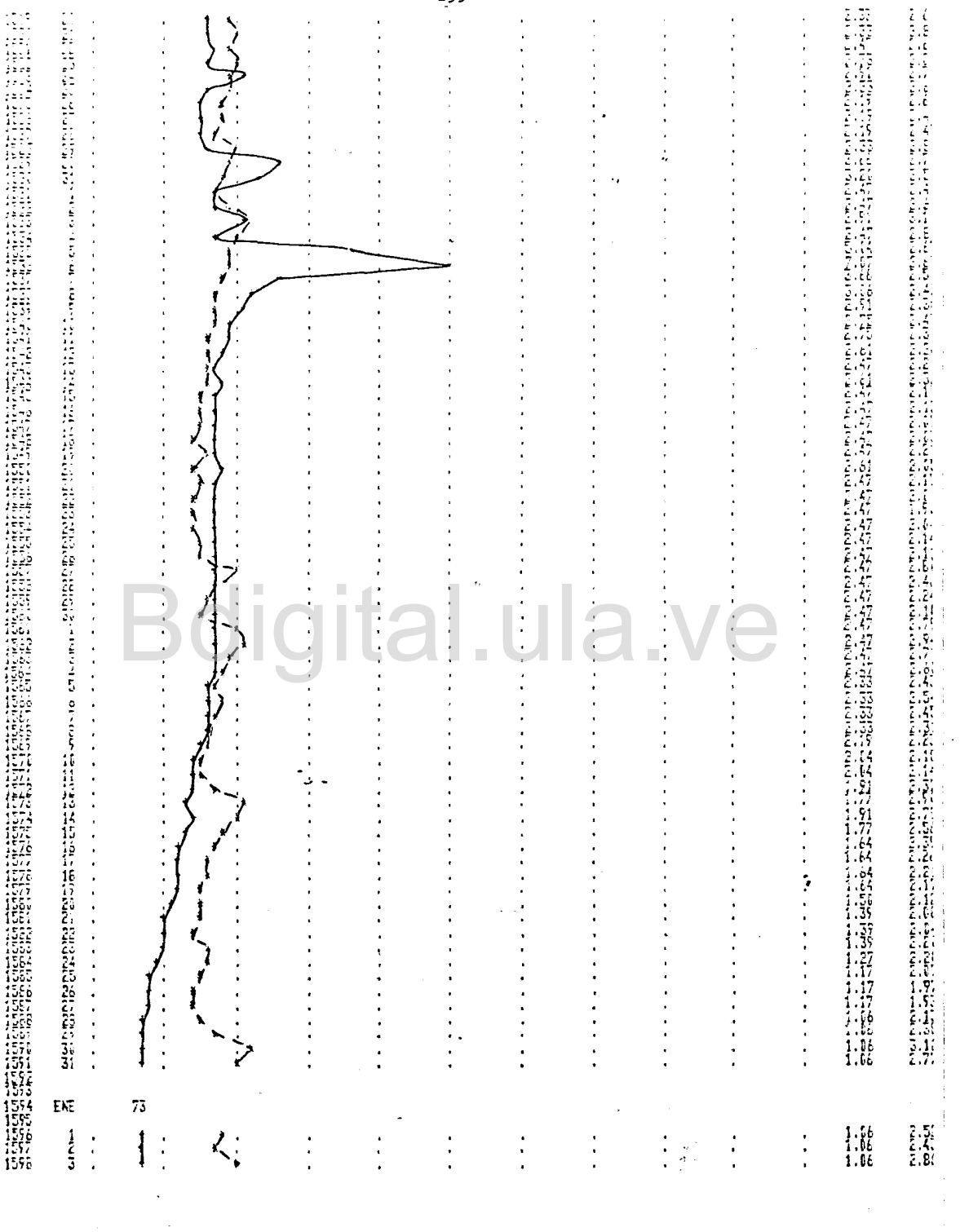
AND THE PROPERTY OF THE PARTY O





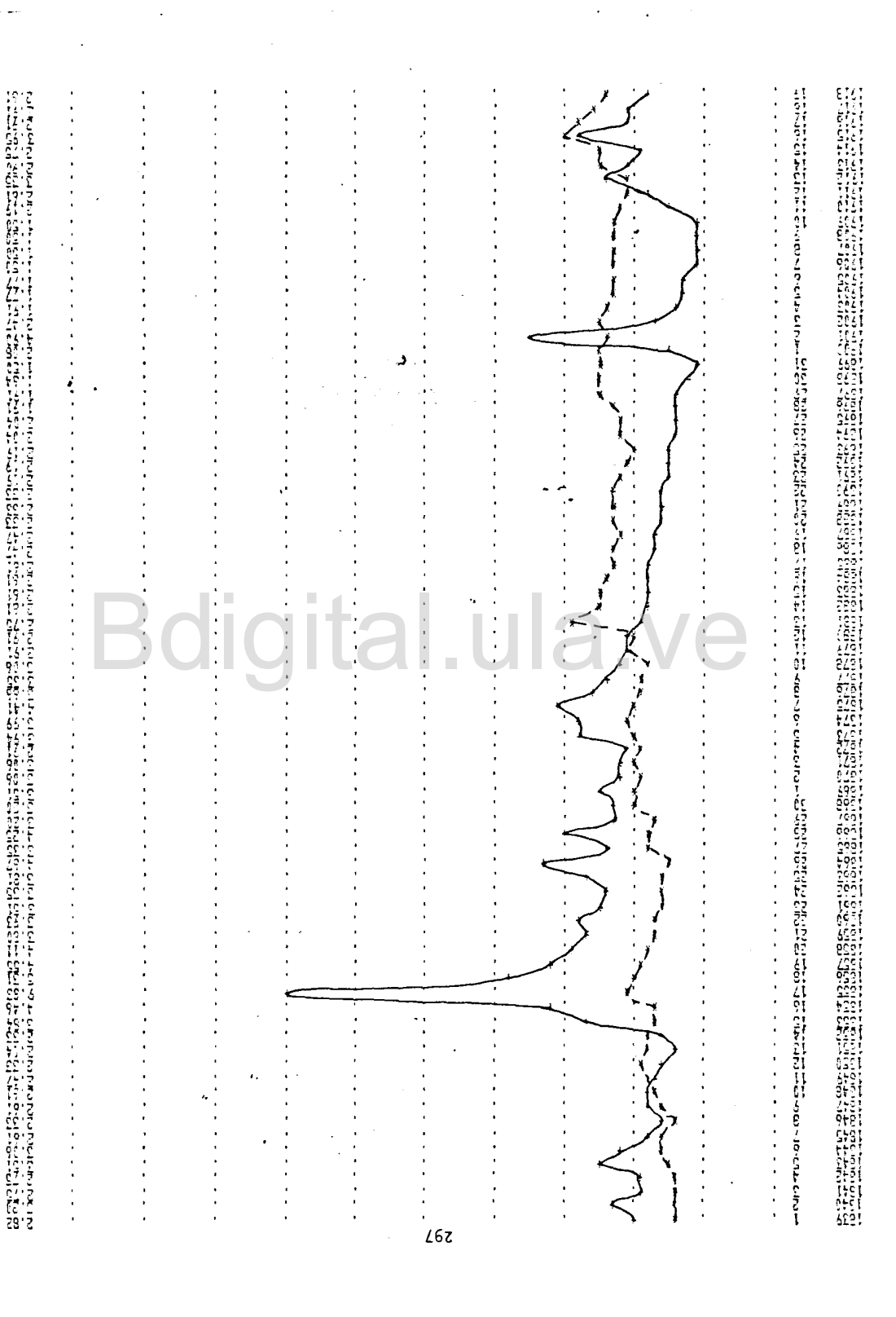
poporandamente de la comprese de la composition della composition

aria de la companya de la compa

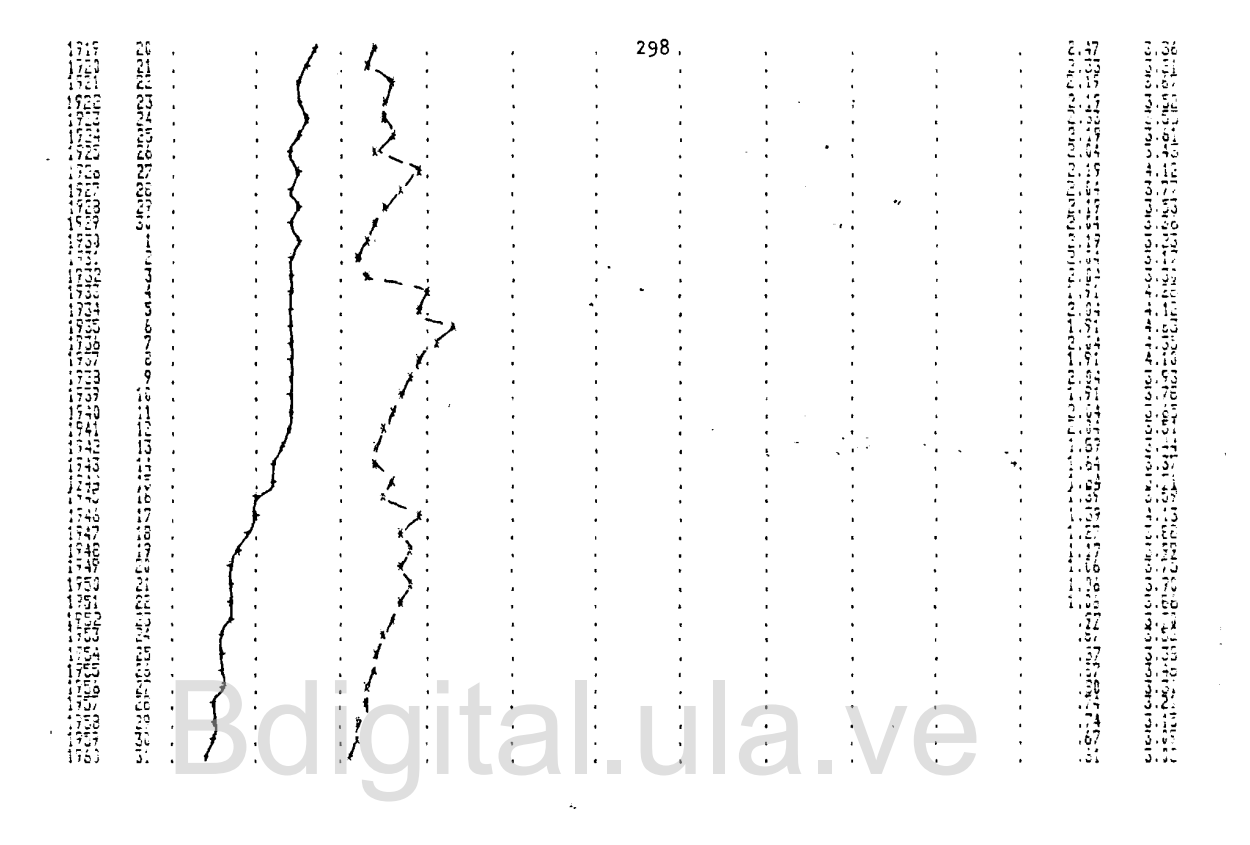


ج

and and and and and any of the angle of the



certain and the topical optical and continued to the optical of the entire optical and optical anamed and optical and optical and optical and optical and optical



APENDICE VII-A

PLOTEO CORRESPONDIENTE AL RESULTADO DE LA CALIBRACION AUTOMATICA DEL MODELO PARA CURVATI

CHADRO RESUMEN

PARAMETROS

EMAX= 112.47 EMIN= .01 R04= 6133.230 EULENCA DEL RIO CURVATI, EDO BARINAS -- SINULACION DE CAUDAL DIARI PERIODO ENE 70-DIC 73

PLOTEO DE LOS VALORES DE ESCOPRENTIA

11.2 22.5 33.7 45.8 56.2 67.5 78.7 99.0 101.2 112.5 +035

MSIM

,一次没有这个,我就被我就好这种种种情味就没到了我们的一种我就被使给我们一个个个一个个人,我们也不会想到一个一个一个一个一个一个,我们还是我们的人们的人们的人们的人们的人们的人们的人们的人们的人们的人 į g la

G a tal di .ul 'e

** *, + **; * - 4 . - 4

100 - 100 -

5.44755544.655447545754955452545574756655466766987659876544.45555449776655446956876554443558775657754

. 304

C.C.Reconocimiento

Bdigital.ula.ve

ANDINATION OF THE PROPERTY OF

•

ان انو 1

IKI

71

NONDARD MENDER CONTRACTOR CONTRAC

1.40

.78 .74 .74

TOTAL STATE OF THE PROPERTY O ula

•

Reconocimiento

di ital B . a.

* .

LA TERRETARIA DE CONTROL DE LA TERRETARIA DEL TERRETARIA DE LA TERRETARIA DEL TERRETARIA DEL TERRETARIA DE LA TERRETARIA DEL T

Edigital.ula.ve

\$\;\begin{align*}
\text{\fightarrow} \text{\fightar

+ +

+ 3 +k +k +3 +3

**

;

311

ula ita ig

THE PROPERTY OF THE PROPERTY O

gi <u>u</u>l a ta

- : - :

ACONDESSE DE L'ARTINION DE L'A

. . .

THE CONTRACTOR AND ADDRESS OF THE PROPERTY OF ital.ula.ve

ula •

THE STANDARD CHARLES IN THE CONTRACT OF THE PROPERTY OF THE PR

Reconocimiento

TATOPRO AND THAT IN A PART AND THE ARCHEOLOGICAL AND PARTICULAR AN 1 al ۳. : ***

;

. .

CICANDANNANANA CONTRACTOR OF THE CITY OF THE CONTRACTOR OF THE CON

8 al

DE ACAMENA POR CONTROL PROGRAMA A A COMPANIA DE CONTROL POR CONTRO

APENDICE VII-B

APLICACION DE LA ESTRUCTURA DE REGIONALIZACION
A LA CUENCA DEL CURVATI

CUADRO RESURTA

 ODA=
 586.250
 QSA=
 19.005
 QTA=
 4485.197

 CTA=
 2015.720
 H9A=
 6785.217
 TQA=
 5084.744

 QPK=112.47
 PK9R=
 64.90
 CC1=
 1.5147

 HBF=
 .29
 FBH=
 0.00

 PAC=
 7128.616
 DAL=
 7128.626

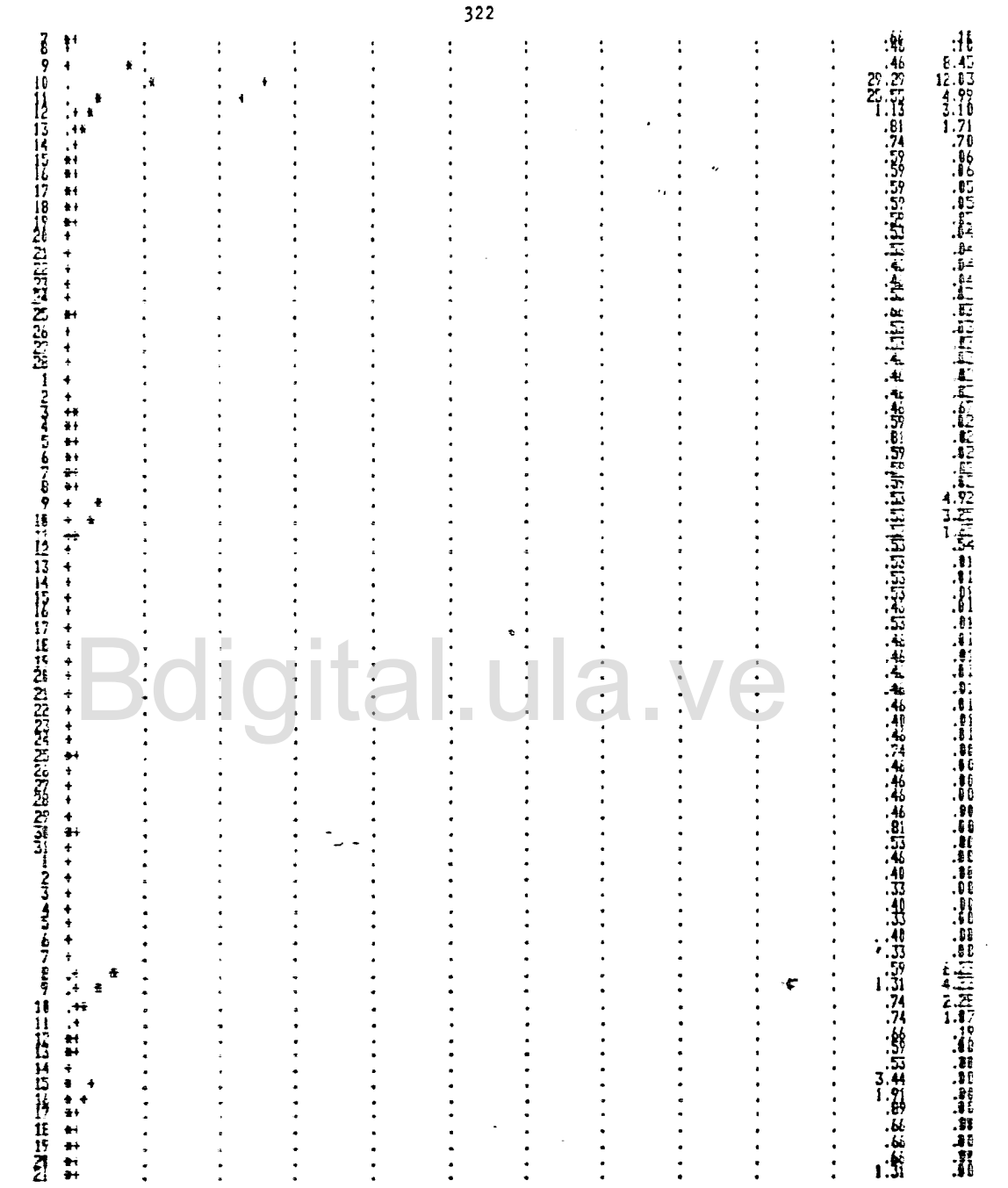
PARAMETROS

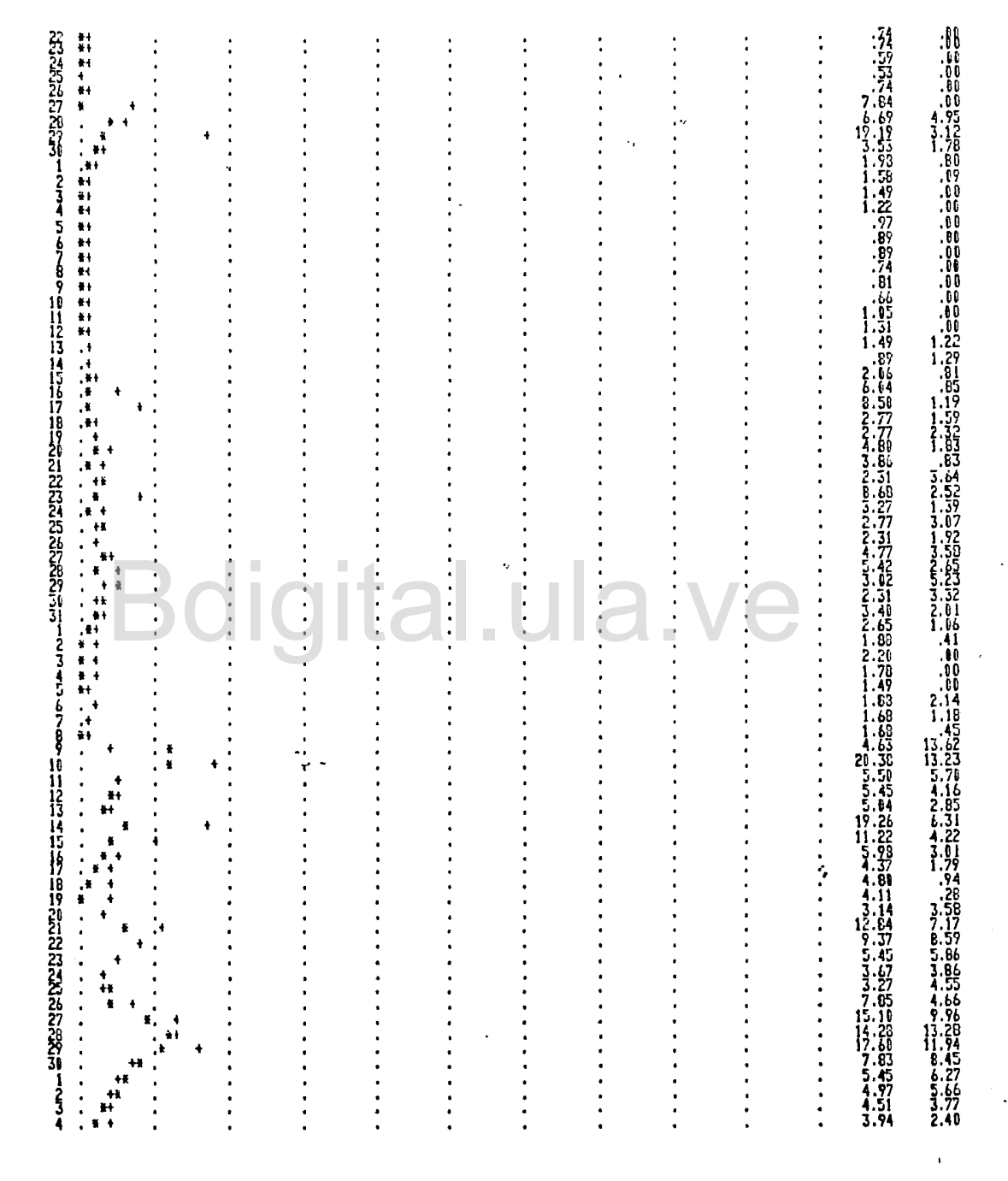
ST	RN	57.4872	DK	DA	\$1	53	SCI
200.0006	118.9744		63.0000	32.5000	164,5505	28,4892	164.6000
FP .9000	ΓI .2702	FL 1.0000	FE .5000	NX 5.8883	FD 0.0000	Γŀ .0374	FSI .8267

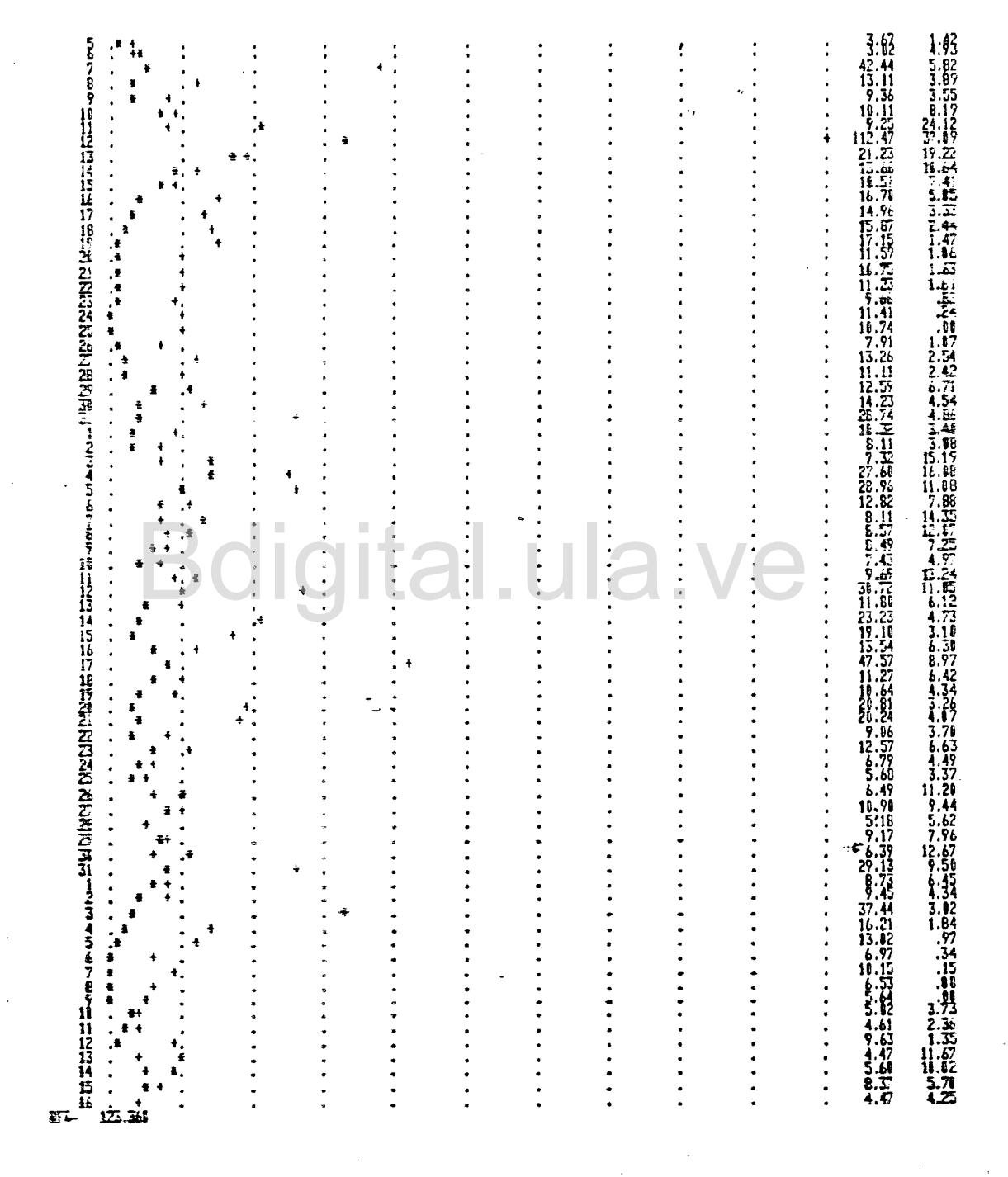
EMAX= 112.47 EMIM= 0.00 ROA= 5854.750 CUENCA DEL RIO CURVATI, EDO BARINAS -- SINULACION DE CAUDAL DIARI

•	DOLINGII DEL	K10 900.111			01110211010							
	PLOTED DE LOS VALORES DE ESCORRENTIA											
	I DO TE DOS MEDRES DE LOCORRENTA											
	44.5	65 E	77.2	AT D	E/ 9	67.5	78.7	90.0	101.2	112.5	+01/5	*51H
	11.2	22.5	33.7	45.0	56.2	67.3	10.1	70.0	101.2	112.5	1010	-5111
					_							
						5						
ENE	70											
												4 55
1 .4							4	•			1.22 1.22 1.13 1.13	1.22 1.14
Ž.i											1.22	1.14
3 .4										_	1.13	1.87
			•	•	•	•	•	•	•		1.13	1.00
4 .4				•	•	•	•	•	•	•	1115	. Q.A
5 .4		•	•		•	•	•	•	•	•	111	60
6 .1		•					•		•	•	1.15	.00
7 .4	٠,									•	1.05	.02
8 .	٠.					•			•	•	1.13 1.05 1.05	.47
9.4	٠.						•				1.05	. / 2
10 .4	٠.									•	1.85	.67
11 .4				-							1.65	.63
12 .1		•		•	•	-					1.05	.59
12 .4		•	•	•	•	•					.97	.55
14 4		•	•	•	•	•	•	•	•	•	1.70	52
	•	•	•	•	•	•	•	•	•	•	1.41	. 40
15 #H 16 #H 17 #H			•	•	•	•	•	•	•	•	1.31	.75
16 **			•	•	•	•	•	•	•	•	1.15	175
17 *1		•	•	•	•	•	•	•	•	•	1.05	70
18 **			•	•	•	•	•	•	•	•	1.05	127
19 ki				•	•		•	•	•	٠.	1.05	137
28 ∗1		•			•	•	•	•	•	•	1.05	رَةٍ،
21 #H	٠.		•		•	•	•		•		. • 1/	.34
22 *1				•		•		•	•	•	1.05	.20
25 🙀										•	.97	.28
19 ## ## ## ## ## ## ## ## ## ## ## ## ##			•			-					.97	.2٤
25 🔐			•	:							.97	.25
26 *1		•	•	•	•	•					.97	.23
27		•	•	•	•	•	•	•	•	•	.97	.22
27 **		•	•	•	•	•	•	•	•	•	.89	วัก
28 **		•	•	•	•	•	•	•	•	•	- 86	10
£7 #1		•	•	•	•	•	•	•	•	•	òã.	iń
30 *1		•	•	•	•	•	•	•	•	•	.66	117
		•	•	•	•	•	•	•	•	•	4D7	111
1 *1			•	•	•	•	•	•	•	•	• 87	· 15
2 **		• .	•	•	•	•	•	•		•	• 47	.13
3 *1		•		1		•		•	•	•	. <u>6</u> 6	-14
4 **											1.85 1.85 97 1.73 1.35 1.05 1.05 1.05 1.05 1.05 1.05 1.05 1.0	1.04 00 277247 1395 144 2957 122 00 822 20 10 10 11 11 11 11 11 11 11 11 11 11 11
5 #1	r .										.66	.12
6 **		:	:	:	:						.9 7	.11
•	-	•	•	•	•	-	•	•	=			

PERIODO ENE 70-DIC 73



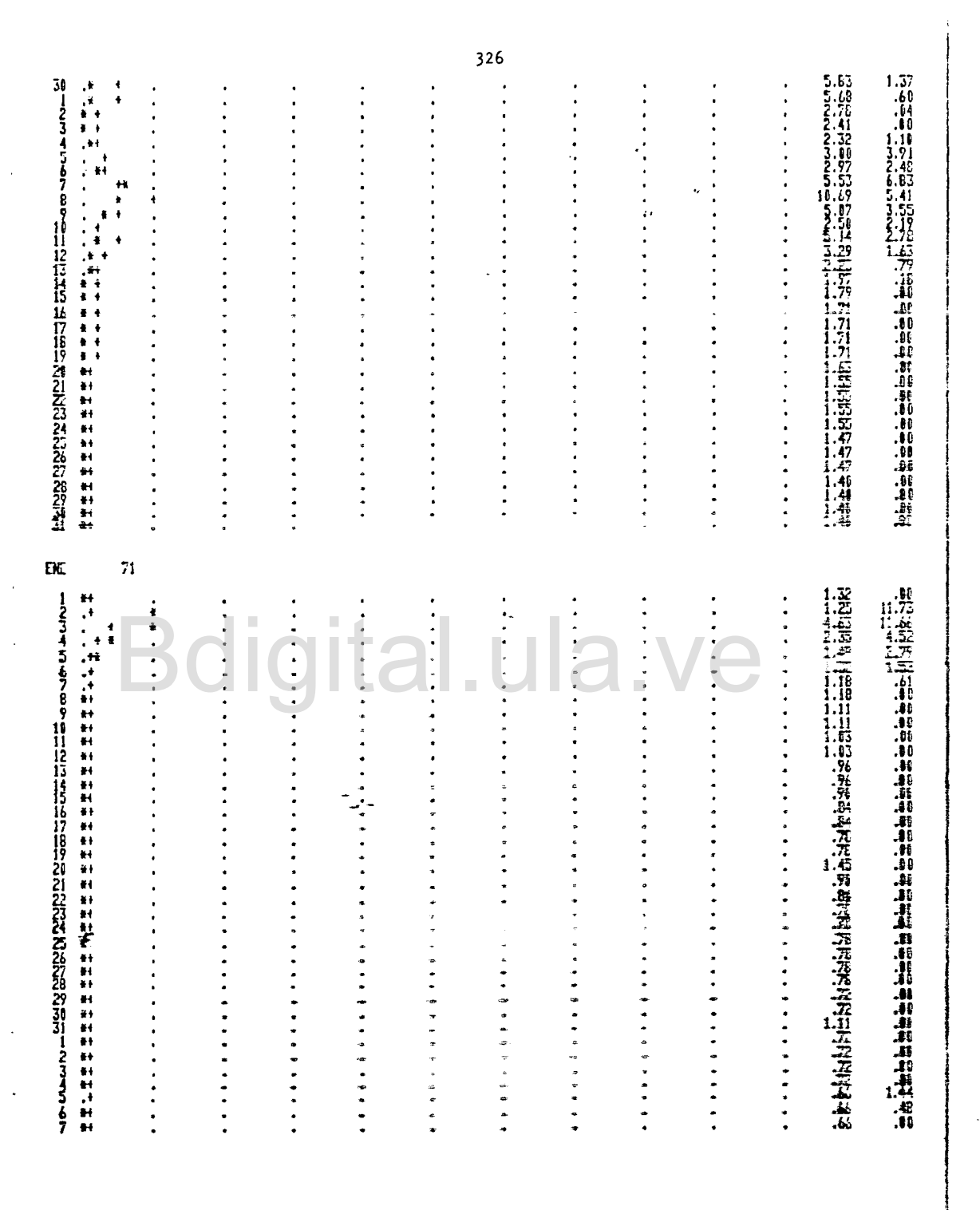




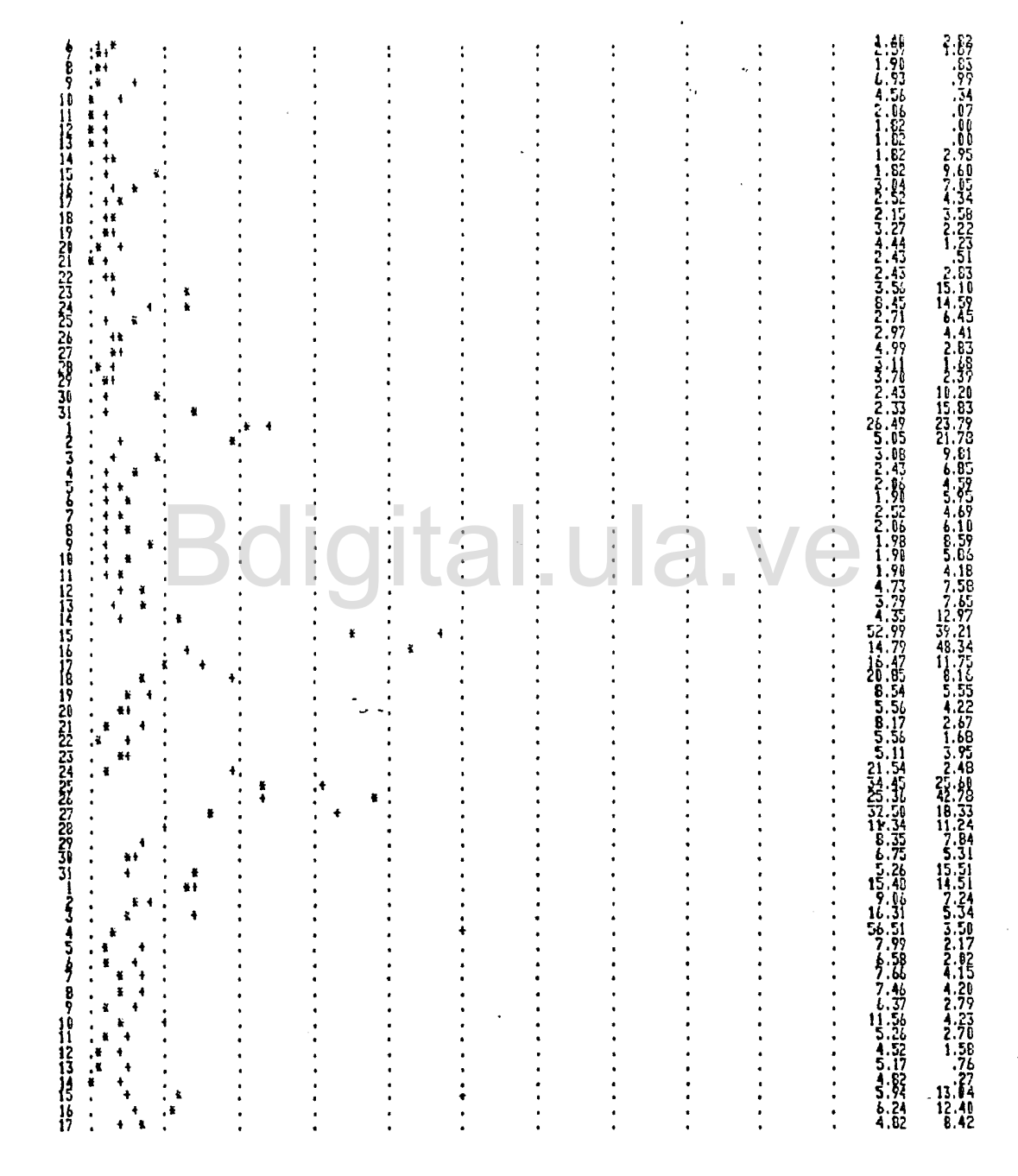
Bdigital.ula.ve

74311926506506411450528009665064114505066009665064114506414506414506411450641145064114506411450641406411450641145064114506414064114506411450641

443.443.644.55.6647.55.75.55.547.75.53.222.75.3229.35.244.37.443.25.222.222.222.23.647.3999.447.3999.447.35.443.644.55.6647.55.75.55.57.3488.87.8999.886.288.397.447.305.612.4887.595.75.85.67.287.9889.886.57.887.75.612.4887.595.75.8865.524.71.9999.886.57.847.56.57.8865.524.71.9999.886.57.847.57.57.57.786.57.78



23 .+ .+	:			•		. 1.49 1.61 . 1.18 .59 . 1.11 .00 96 3.77 . 1.09 2.22
257	•					1. 1.1. 1.2. 1.2. 1.1. 1.2. 1.1. 1.2. 1.1. 1.2. 1.
5 .+	•			•		96
	: : : :	· · · · · · · · · · · · · · · · · · ·		:		11.52 9.97 6.90 5.96 2.15 5.91 1.82 2.41 1.65 3.72
100 + 100 -				:		1.85 8.65 2.54 5.45 14.36 18.51 13.58 3.75 6.45
25/ · · · · · · · · · · · · · · · · · · ·	Rdio	aite		ıla	VA	1998 20174 1982 1982 1982 1982 1982 1982 1982 1982
1 .4 +		9110				1. 4.23 1.60 11.76 6.15 8.14 4.67 4.25 2.55 3.60 1.37 2.80 .58
6 . H 7 . H 8	•			:		2.86 .89 1.65 4.39 1.65 3.86
	•	 8 9 2 4 5 6 7 8 9 4 10 10		:		1.05 1.75 1.55 1.55 1.55 1.55 1.55 1.55 1.55 1.55
				•	· · · · · · · · · · · · · · · · · · ·	1.74 H.11 2.75 7.51 2.75 5.72 1.75 2.72 1.79 2.72
* * * * * * * * * * * * * * * * * * *	•	, A		:		1.47 .170 1.48 .86 1.49 .00
5 +			: :	:	: :	. 1.48 .86 . 1.44 .80

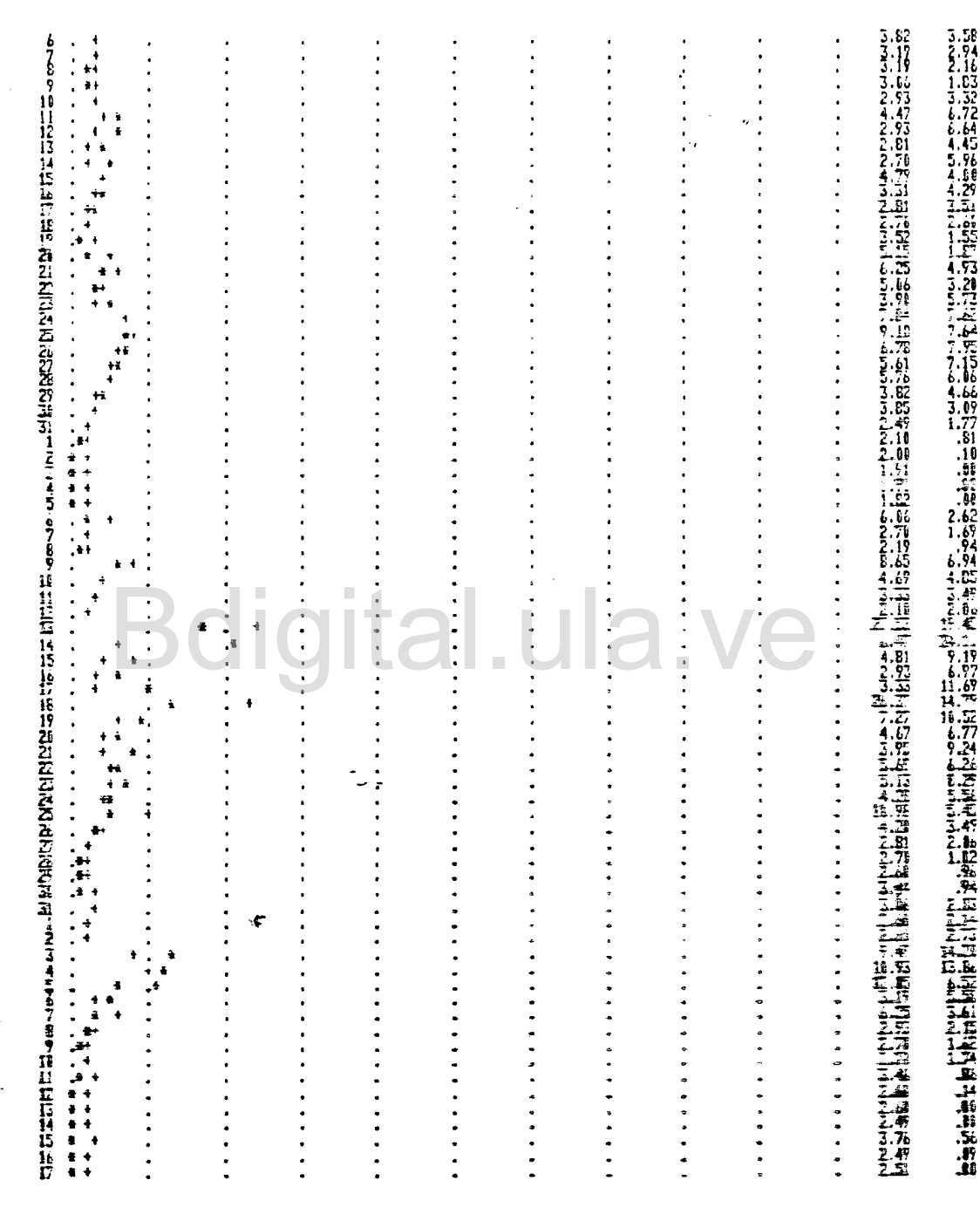


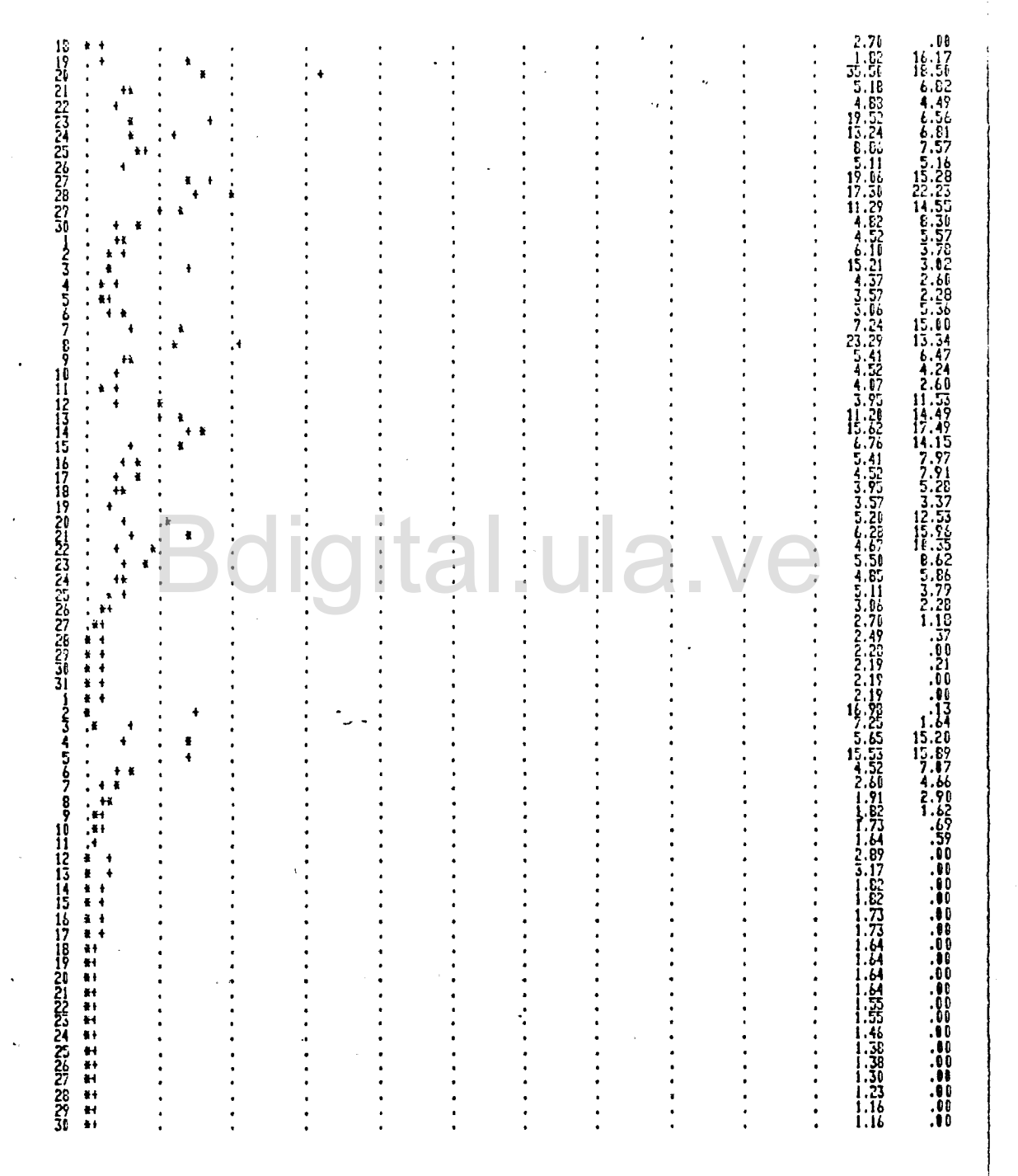
#1 #1	· · ·	· · ·	, , ,	•	1 1 1	•		: .		4.52 3.69 3.57 3.44	•
* + ;		• • •	• •			:	:	•	· · · · · · · · · · · · · · · · · · ·	WOODSTAANTSSCHEEN AUGUSTERSTER AUGUSTA STEER AUGUSTER AUGUSTE	11.1
,		• • • •		•	•	•		•		4.65 6.65 6.65 6.65 6.65 6.65 6.65 6.65	1. 1.1.1.1.1
+ + + + + + + + + + + + + + + + + + +	. 3. k	•	• •	• • •		:	:			3.64 4.60 2.61	1
. * *			• • •	• • •	• • •	:	:	:	· · · · · · · · · · · · · · · · · · ·	1.45 1.55 1.52 1.52 1.52 1.52 1.52 1.52 1.5	
, #1 , # 1 , <u>3</u> 1		: : :	,	• • •	• • •	•	•	:	• • •	4.41 4. <u>07</u> 3.3;	
## # # . * #	• • •	•	• • •	•	•	•	•	•		2.20	
. *** . * * * * *	: : •	, , ,	• • •	: • •		* .	•	:		3.15 3.19 16.74	
. + + .				::4				:		2.37 2.35 4.31 6.11	
, \$1 , \$ 1				Ita				1.	VE	2.71 2.70 2.70	:
, ÷ ė, , ÷		. †		•	•		•	•		3.25 25.45 19.27 6.75	
2 + 2 + 2 +	•	•	•		• • •		•	•		5.11 9. <u>12</u> 4.37 2.61	
a + .	•	* *	•		•	:	:	:	: :	4.85 2.86 8.82	
	•	•	•	•		•		:	: :	3.4: 2.15 2.16 5.16	;
* * .		•	• • •	- • •	•	•	:		: :	3.19 6.34 7.31	1
. +	• † • •		• • •	• •	• • •		:	:		1.E 4.E 4.E	
, 20 * • 2 * • 2 •	• •	•	•	• • •	• . • • • • • • • • • • • • • • • • • •	•	•	•	: :	2.E 2.71	
# + , 42 ,#i , +		•	• •	• •		:	•	•	: :	2.71 2.71 2.61	•

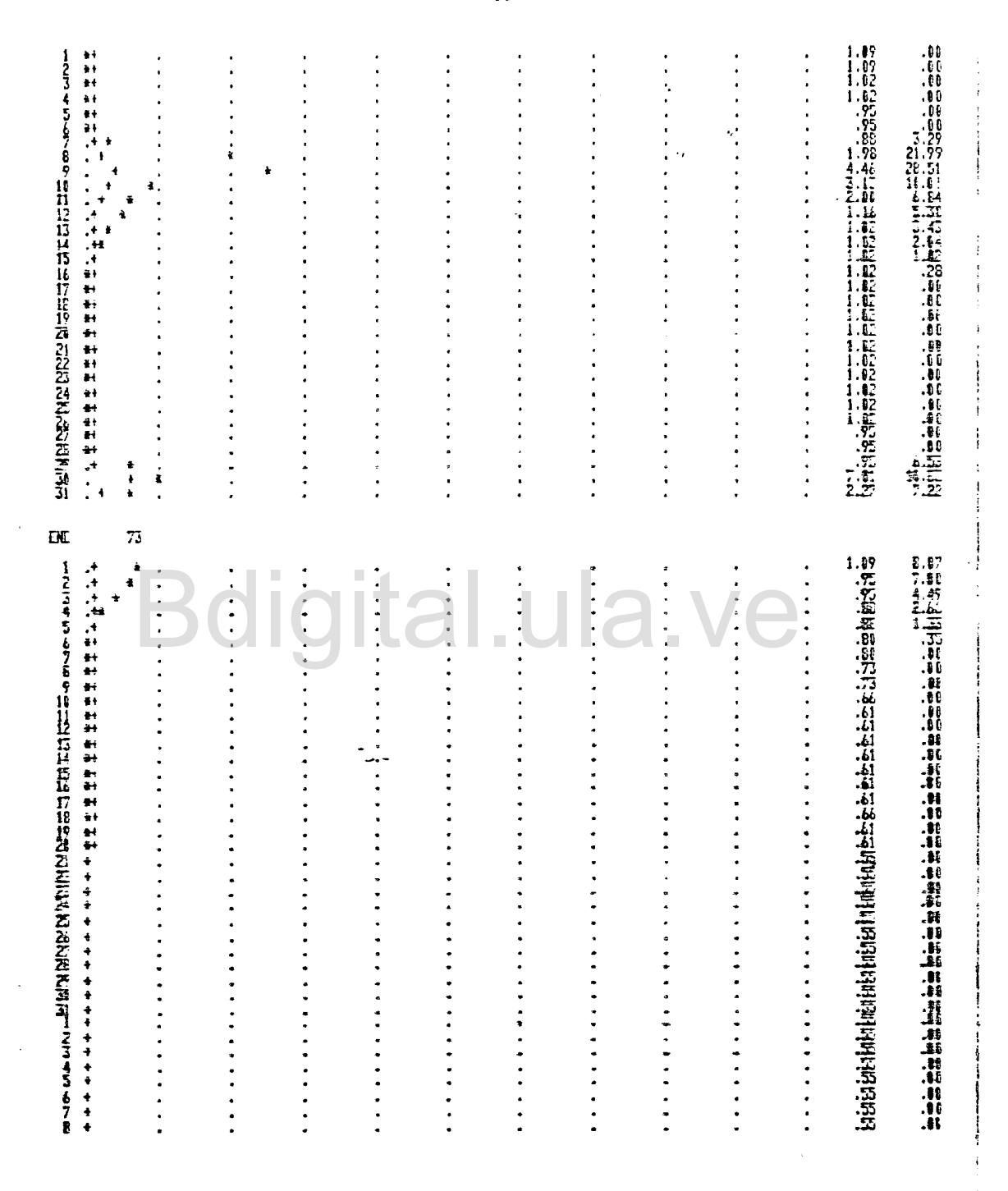


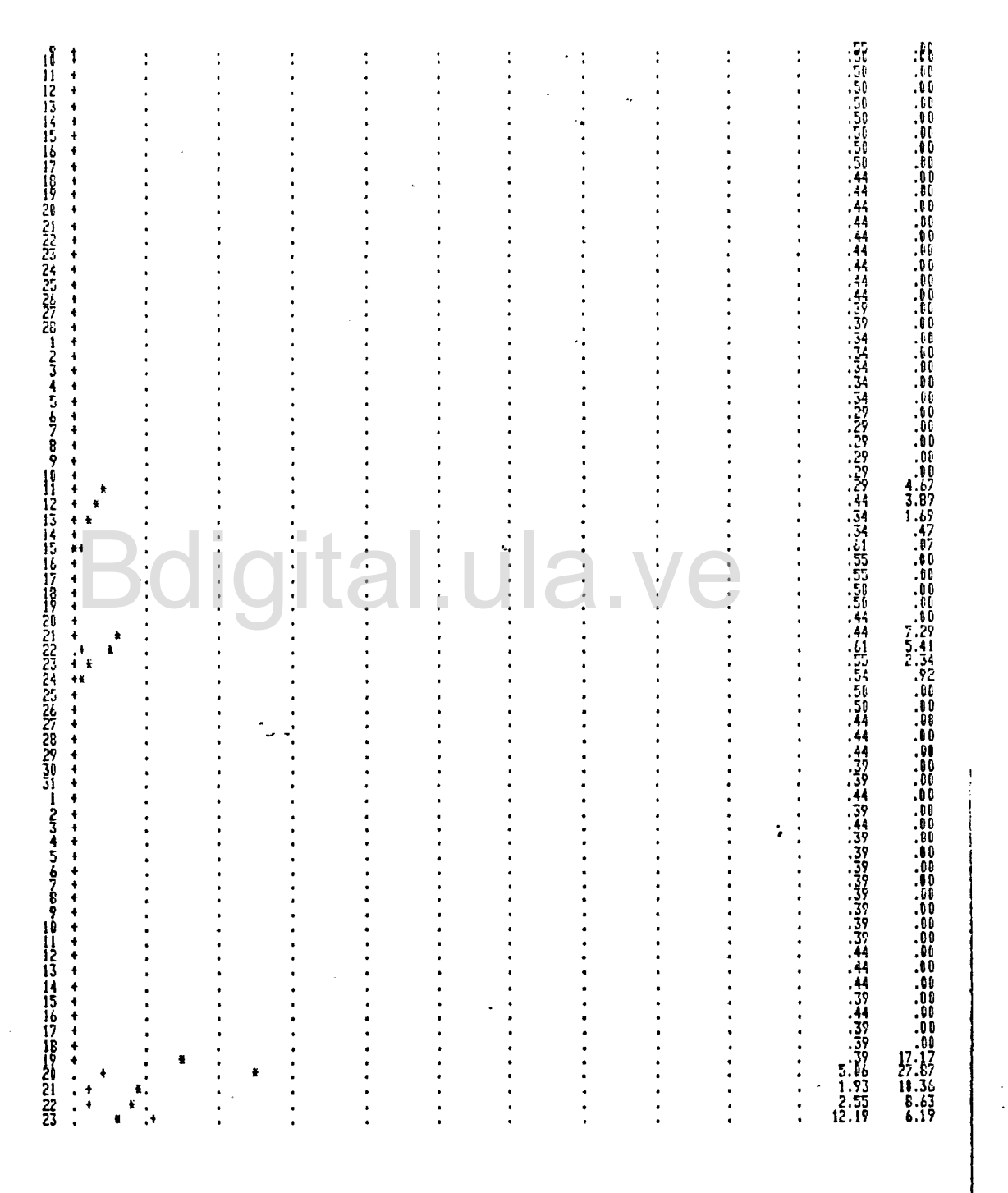


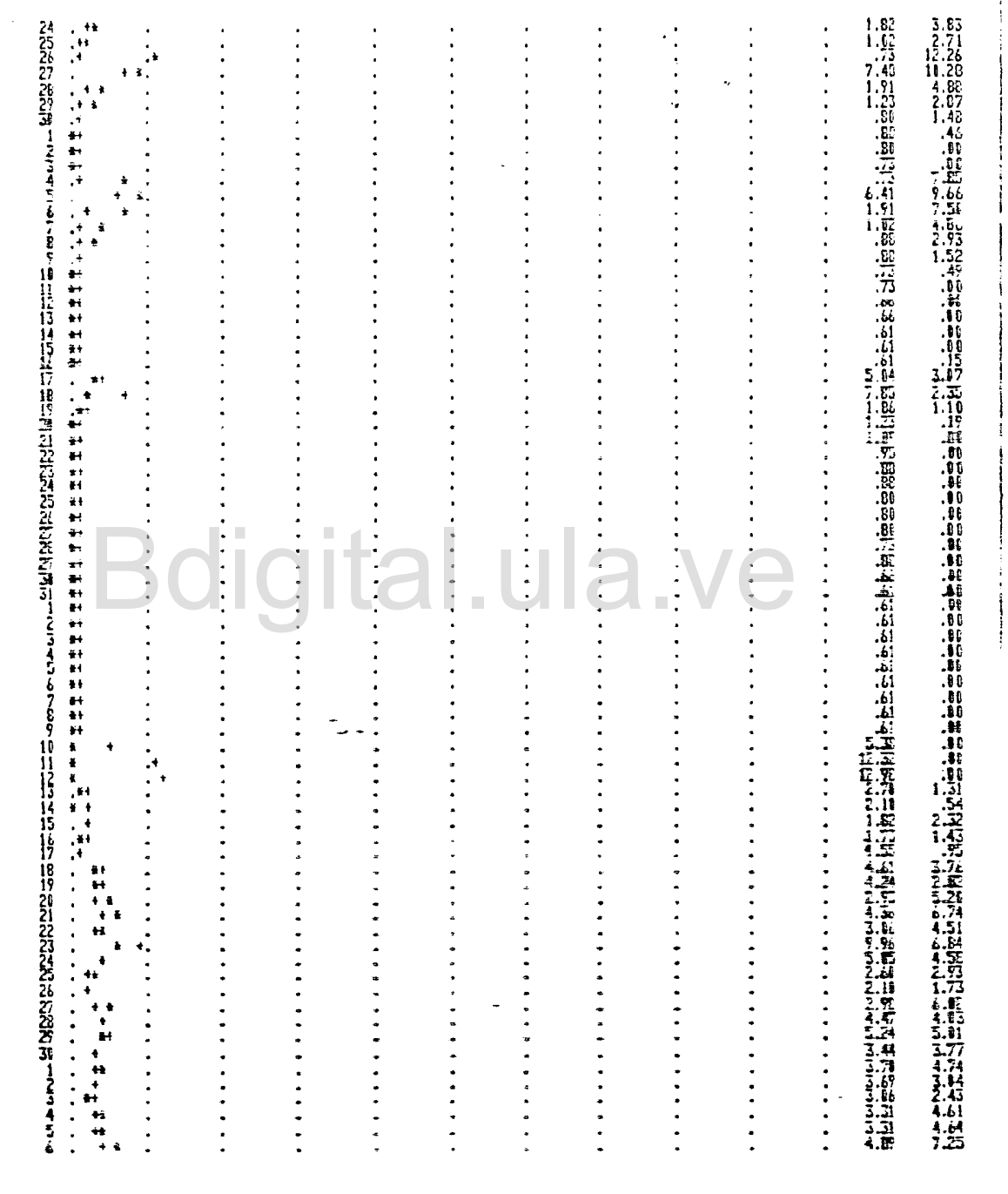
22222223123					· · · · · · · · · · · · · · · · · · ·	7.63 5.87 13.75 7.52 8.17 5.47 7.50 3.54 26.85 15.46 16.93 14.84 33.79 17.63
45678	# # # # # # # # # # # # # # # # # # #					10.53 14.84 13.32 25.50 15.84 20.34 14.96 11.77 15.84 20.34 14.96 19.42 15.96 9.42 15.92 7.91 17.25 14.92 9.91 4.79 4.79 8.95 32.53 6.72 9.87 11.35 8.22 13.82 5.98 6.73 13.82 5.98 6.73 15.92
9 11 12 13 14 15 16	# 1					5.790 2.53 6.17 2.82 10.23 5.63 6.72 9.87 11.34 8.94 11.55 6.22 13.02 5.98
11 12 13 14 15 16 17 18 19 19 19 19 19 19 19 19 19 19 19 19 19		ligit	alı	ıla v	ve	7.20 1.76 7.39 3.03 7.56 1.62 4.62 .94
\$282351-234	. + k	911			V	10.27 8.49 22.08 13.58 7.15 7.22 5.26 7.22 3.44 3.33 3.19 2.06 3.44 13.33 3.19 .63 3.19 .63 3.19 .63
5 6789	# 4					3.77 .80 5.69 .80 3.31 2.65 3.73 2.65 4.54 5.35 5.63
11123 145 167 189 189 189 189 189 189 189 189 189 189	**************************************					55.634 5.57 5.686 5.586 5.586 5.587 5.587 5.587 5.587 5.587 5.587 5.587 5.587 5.587 5.588 5.
212222222222222222222222222222222222222	. #1					4.37 3.83 4.37 2.73 7.37 7.19 5.32 4.86 4.87 3.16 3.95 4.61 18.94 4.87 5.36 4.84
29 30 123 45	. * #					2.81 4.46 4.88 4.12 5.35 2.36 4.22 1.47 3.69 1.47 7.25 1.89







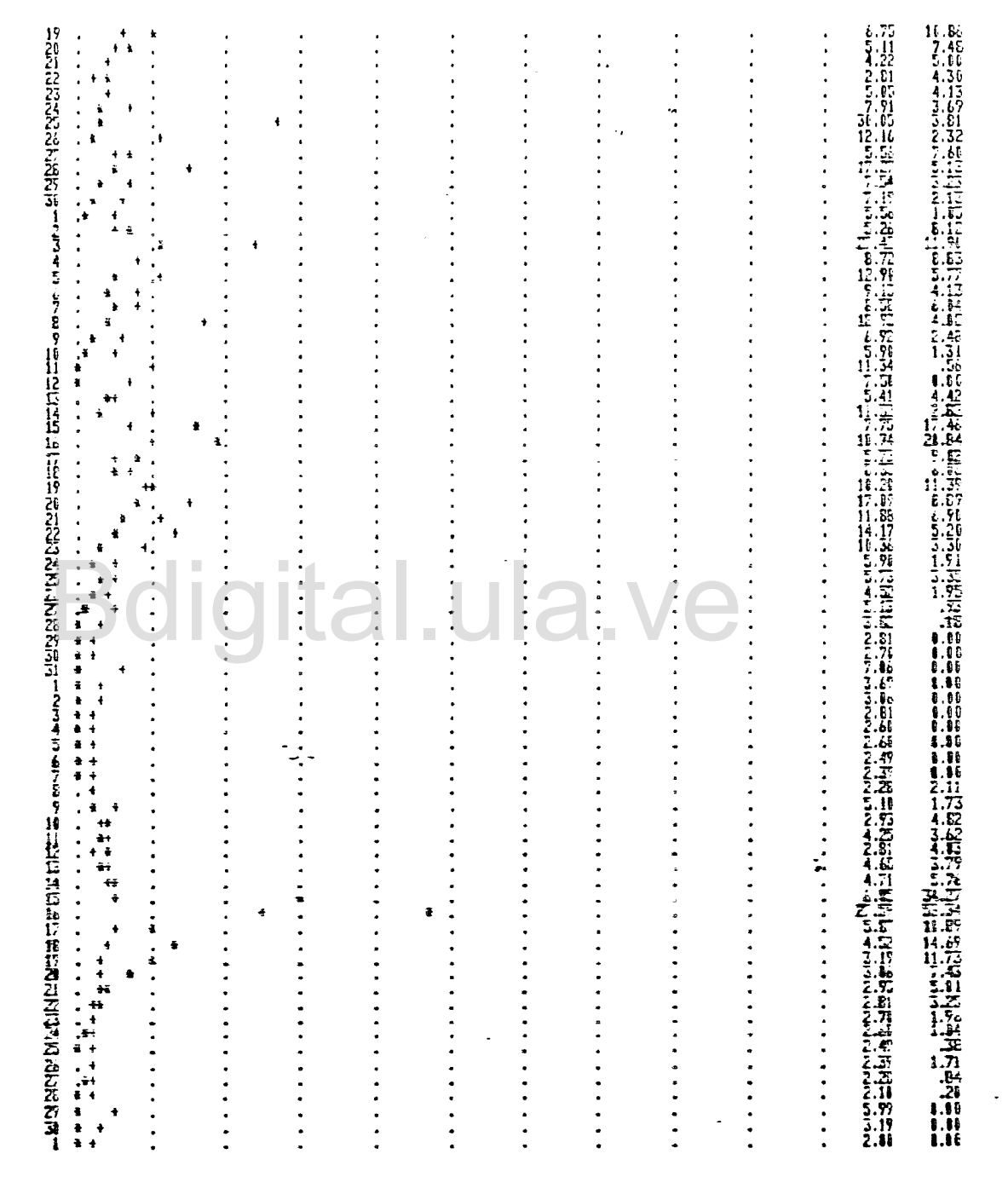




Bdigital.ula.ve

\$7.000 10.00

7.97.111234512710922222222222222312345678901112345147619222222222222331234545989911123451478



;

Bdigital.ula.ve